

Sensore di Irraggiamento Predittivo

Paolo Casoretti

August 30, 2019



Abstract

La principale sfida odierna è il rispetto dell'ecosistema in cui viviamo e il sostentamento dello stesso tramite energie, sempre in maggiore percentuale rinnovabili, che vanno a sostituire le più obsolete e inquinanti fonti di energia derivanti dai combustibili fossili.

L'energia rinnovabile più interessante e più utilizzata ma anche quella su cui si pone un maggiore focus è sicuramente il fotovoltaico nonostante la sua particolarità di concentrare la maggiore produzione nelle ore centrali della giornata per poi lasciare spazio a una produzione quasi nulla nelle ore notturne.

La continua diffusione delle energie rinnovabili sulla rete elettrica pone delle sfide di gestione per via dell'aspetto stocastico delle nuove fonti di generazione.

La difficoltà di previsione e la necessità di avere una stabilità di rete sempre migliore implica l'utilizzo di nuove tecnologie.

L'avvento di una elettronica sempre più compatta ed economica, anche per basso numero di prototipi prodotti, sono la chiave di volta per lo sviluppo, il design e la prototipazione di un dispositivo atto alla cattura dei dati ambientali, gestione e previsione dell'irraggiamento solare, che in futuro rappresenta con assoluta certezza la maggiore fonte di energia per il nostro pianeta.

Chapter 1

Summary and Index

Contents

1	Summary and Index	1
2	PV Scenario	10
2.1	2000-2017	10
2.2	2018-2022 Scenario	13
3	Irradiance Forecasting	14
4	Sensors	17
4.1	Pressure, Temperature, Humidity	17
4.1.1	BME280	17
4.1.2	BME680	20
4.2	Irradiance	22
4.2.1	VEML7700	22
4.2.2	PV Module - INA219	24
4.2.3	AS7262	27
4.3	UV Content	29
4.3.1	VEML 6070	29
4.3.2	VEML6075	31
5	Input Communication	32
5.1	I^2C	32
5.1.1	Advantages vs Uart	32
5.1.2	Advantages vs SPI	33
5.1.3	General Advantages I^2	33
5.1.4	History I^2	33
5.1.5	Funzionamento	34
5.2	I^2C Sensor Application e Modalità	36
5.2.1	BME280	36
5.2.2	VELM7700	39
5.2.3	VEML6070	40
5.2.4	VELML6075	40
5.2.5	AS7262	41
6	Ambiental Factor Correlation	43
6.1	UV	43
6.2	Temperature	46
6.3	Humidity and DewPoint	47
6.3.1	Relative Humidity	47
6.3.2	DewPoint	48
7	Output Communication	49
7.1	RT5370	49
7.1.1	Block Diagram	50
7.1.2	Register	51

8 CM3	52
8.1 CM3 Regular vs Lite	52
8.2 Hardware Periphery	53
8.3 Software Periphery	53
8.4 Mechanical Characteristics	53
8.5 Block Diagram	54
8.6 First Start Configuration	54
9 Dev Board Prototyping	57
10 Math Models	58
10.1 Naive Models	58
10.1.1 Persistence	58
10.2 Machine Learning Models	60
10.2.1 Arma	60
10.2.2 Multi-Layer Perceptron (MLP)	60
10.2.3 Decision Trees	61
10.2.4 Random forest	61
10.2.5 Neuronal Network	62
11 Historical Data	67
11.1 Raw Data	67
11.1.1 G	68
11.1.2 Pressure	69
11.1.3 P-DC	70
11.1.4 T Ext	71
11.1.5 HR	72
11.1.6 WS	73
11.1.7 DewPoint	74
11.1.8 Filtering	75
11.1.9 Correlation and Autocorrelation Analysis	76
11.1.10 Results	81
11.1.11 Matlab Code	83
12 Models Evaluation	90
12.1 SubSet Fragmentation	90
12.2 Persistence	91
12.3 Linear Model	92
12.4 AR	93
12.5 ARMAX Model	95
12.6 Bagger Tree Model	96
12.7 NN Model	98
13 Circuit Development	100
13.1 Official CM3 Schematic	100
13.1.1 Pag.1	100
13.1.2 Pag.2	101
13.1.3 Description - Available BLOCKS	102
13.1.4 Description - Unavailable BLOCKS	107
13.2 Official Sensors Schematic	111
13.2.1 BME680	112
13.2.2 VEML7700	113
13.2.3 AS7262	114
13.3 Development CM3 Schematic	115
13.4 Development Sensors Schematic	116
13.5 Development CM3 Layout	117
13.6 Development Sensors Layout	119
13.7 Prototype	121
13.7.1 CM3 Board	121
13.7.2 Sensor Board	124
13.7.3 Sensor Revision	126

14 Python Code	129
14.1 Story	129
14.2 Prototyping - PyCharm	131
14.3 Design Software	132
14.4 UML Diagram	133
14.5 Main.py	135
14.6 BME680Sensor.py	137
14.7 VEML6075Sensor.py	142
14.8 VEML7700Sensor.py	144
14.9 AS7262Sensor.py	147
14.10 DataVault.py	150
14.11 PySensorsDialog.py	152
14.12 PySensorsDialogImpl.py	155
14.13 adapter.py	158
14.14 __init__.py	160
14.15 Test Software	163
15 Structure	165
15.1 Lenticular Dome	166
15.2 Wifi Antenna	167
15.3 Antenna Cable	169
15.4 Power Connector e Plug	170
15.5 3D Model	172
15.5.1 Material	172
15.5.2 Views	174
15.6 PLA-Prototipe	179
15.7 Final Object	180
16 DataLogging	182
17 Data Visualization using Hi-Charts	191
18 Project Conclusion	205
18.0.1 Electronic	216
18.0.2 3D CAD	216
18.0.3 Software	216
18.0.4 Issues	217
18.0.5 General Consideration	222

List of Figures

2.1	Energy Pie Chart Worldwide	10
2.2	Renewable Energy Change Ratio	11
2.3	Energy Installed	12
2.4	Energy Installed Prevision	13
3.1	Classic Daily Production	14
3.2	Base Load and PV Peak	15
3.3	Temporal Analysis	16
4.1	Schema Blocchi BME280	18
4.2	Temperature Details	19
4.3	Humidity Details	19
4.4	Pressure Details	19
4.5	Schema Blocchi BME280	20
4.6	AQI Spec	21
4.7	AQI Scale	21
4.8	VEML 7700	22
4.9	VEML7700 Block Diagram	22
4.10	Spectral Response Normal Channel	23
4.11	Spectral Response White Channel	23
4.12	One Diode Model	24
4.13	G vs I Chart	25
4.14	INA 219	25
4.15	Ina 219 Schematic 1	25
4.16	Ina 219 Schematic 2	26
4.17	Ina 219 Register Block	26
4.18	AS762 Block Diagram	27
4.19	AS7262 Channels List	27
4.20	AS7262 Spectrum	28
4.21	VEML 6070	29
4.22	VEML 6070 Block Diagram	29
4.23	VEML 6070 Spectrum	30
4.24	VEML 6075 Diagram	31
4.25	VEML 6075 Spectrum Response	31
5.1	I^2C	32
5.2	I^2C Vs Uart	32
5.3	I^2C Vs SPI	33
5.4	SDA and SCL Explained	34
5.5	Communication	34
5.6	Start Frame	35
5.7	Stop Frame	35
5.8	BME 280 Block Diagram	36
5.9	Filter Phormula	37
5.10	Pass Filter	37
5.11	Registers Structure	37
5.12	Register Structure	39
5.13	Register Structures 2	39
5.14	UV Registers 1	40
5.15	UV Registers 2	40

5.16 Use Mode	41
5.17 AS7262 Register Structure	42
6.1 UV chart	43
6.2 Detail 1	44
6.3 Detail 2	44
6.4 Detail 3	44
6.5 V vs I Chart	46
6.6 HR Correlation	47
6.7 Cloud Cover vs DP	48
7.1 RT 5370	49
7.2 EXT Antenna	50
7.3 Internal Antenna	50
7.4 RT5370 Block Diagram	50
7.5 RT5370 Block Diagram with Antenna	50
7.6 RT5370 Block Diagram	51
8.1 Raspberry CM3	52
8.2 CM3 Dimensional Draw	54
8.3 Block Diagram	54
8.4 Pinout Detail	55
8.5 LXQT	56
9.1 Dev Kit	57
10.1 Persistence Model	59
10.2 Arma Phormula	60
10.3 MLP Phormula	60
10.4 MLP Graph	60
10.5 Random Forest Sketch	61
10.6 Neuronal Network	62
10.7 Neuronal Network 2	62
10.8 Neuronal Network 3	63
10.9 Neuronal Network 4	63
10.10Neuronal Network 5	64
10.11Neuronal Network 6	64
10.12Neuronal Network 7	65
10.13Neuronal Network 8	65
11.1 Irradiance on plane	68
11.2 Irradiance Contour	68
11.3 Irradiance Surf	68
11.4 Pressure	69
11.5 Pressure Contour	69
11.6 Pressure Surf	69
11.7 P-DC	70
11.8 P-DC Contour	70
11.9 P-DC Surf	70
11.10Temperature	71
11.11Temperature Contour	71
11.12Temperature Surf	71
11.13Relative Humidity	72
11.14Relative Humidity Contour	72
11.15Relative Humidity Surf	72
11.16Wind Speed	73
11.17Wind Speed Contour	73
11.18Wind Speed Surf	73
11.19DP	74
11.20Dp Contour	74
11.21DP Surf	74
11.22G not Filtered	76

11.23G Filtered Linearly	76
11.24Correlation Exogenous not Filtered	77
11.25AutoCorrelation not filtered	77
11.26Filter 5 $\frac{W}{M^2}$ Correlation	78
11.27Filter 5 $\frac{W}{M^2}$ Autocorrelation	78
11.28Filter 50 $\frac{W}{M^2}$ Correlation	79
11.29Filter 50 $\frac{W}{M^2}$ Autocorrelation	79
11.30Autocorrelation Mesh	80
11.31Surf Autocorrelation Mesh	80
11.32Correlation Box	80
11.33Correlation gain vs Treshold	82
12.1 Persistence	91
12.2 Persistence Detail	91
12.3 Linear Model	92
12.4 Linear Model Detail	92
12.5 AR	93
12.6 AR Detail	93
12.7 Ar Model 14	94
12.8 Ar 14 Detail	94
12.9 Armax Model	95
12.10Armax Detail	95
12.11Bagger Tree	96
12.12Bagger Tree Detail	96
12.13Bagger Tree Structure	97
12.14NN	98
12.15NN detail	98
13.1 CM3 Schematic Pag1	100
13.2 CM3 Schematic Pag2	101
13.3 CM3 Power	102
13.4 Power Supply	102
13.5 Power Supply 2	103
13.6 Filter 1	104
13.7 Power Detail	104
13.8 PIN 0-100	105
13.9 Pullup resistor	105
13.10PIN 100-200	106
13.11Bank Voltage Select	107
13.12Boot Enable	108
13.13VideoCore	108
13.14Cam and Disp Out	109
13.15HDMI	109
13.16USB Host	110
13.17Regulator	111
13.18Level Shifter	111
13.19BME 680 Board	112
13.20BME 680 Schematic	112
13.21VEML 7700 Board	113
13.22VEML 7700 Schematic	113
13.23AS7262 Board	114
13.24AS7262 Schematic	114
13.25CM3 Schematic 1	115
13.26Wifi Detail	115
13.27Sensor Schematic	116
13.28Front	117
13.29Bottom	117
13.30Front	118
13.31Bottom	118
13.32Front	119
13.33Bottom	119

13.34Front	120
13.35Bottom	120
13.36Front	121
13.37Bottom	122
13.38Front	122
13.39Bottom	123
13.40Front	124
13.41Bottom	125
13.42Revision 1 Front	126
13.43Revision 1 Bottom	126
13.44Front	127
13.45Bottom	127
13.46Sensor Board Front	128
13.47Sensor Board Rear	128
14.1 PyCharm 1	131
14.2 PyCharm 2	131
14.3 Py Charm 3	132
14.4 UML STRUCTURAL	133
14.5 UML SEQUENCE	133
14.6 UML CALL	134
14.7 BOX 1	163
14.8 BOX 2	163
14.9 BOX 3	164
14.10BOX 4	164
15.1 General View	165
15.2 Dome	166
15.3 Antenna	167
15.4 Antenna Dimensional Draw	167
15.5 3D Radiation Pattern	168
15.6 Attenuation vs frequency	169
15.7 Radiation Pattern	169
15.8 Plug Front	170
15.9 Plug Rear	170
15.10Plug Dimensional Draw	171
15.11Cap Front	171
15.12Cap Rear	171
15.13LPA Data	172
15.14Z Asa Pro Data	173
15.15Top	174
15.16Rear	175
15.17Left	176
15.18Right	176
15.19Front	177
15.20N/E	177
15.21S/W	178
15.22S/E	178
15.23Pla Prototipe 1	179
15.24Pla Prototipe 2	179
15.25Z Asa 1	180
15.26Z Asa 2	181
15.27Z Asa 3	181
16.1 SQL 1-11	183
16.2 SQL 12-21	183
16.3 TEMPERATURE	184
16.4 PRESSURE	184
16.5 RELATIVE HUMIDITY	185
16.6 VEML 6070 LUX NORMAL CHANNEL	185
16.7 VEML7700 WHITE CHANNEL	186

16.8	VEML 6075 UV CONTENT	186
16.9	AS7262 VIOLET CHANNEL	187
16.10	AS7262 RED CHANNEL	187
16.11	AS7262 ORANGE CHANNEL	188
16.12	AS7262 YELLOW CHANNEL	188
16.13	AS7262 GREEN CHANNEL - Not Filtered	189
16.14	AS7262 GREEN CHANNEL	189
17.1	HiChart Render	204
17.2	WebChart	204
18.1	Final Product	205
18.2	Final Product 2	206
18.3	Final Product 3	207
18.4	Final Product 4	208
18.5	Final Product 5	209
18.6	Final Product 6	210
18.7	Final Product 7	211
18.8	Final Product 8	212
18.9	Final Product 9	213
18.10	Final Product 10	214
18.11	Final Product 11	214
18.12	Final Product 12	215
18.13	New Sensors Pcb Schematic	218
18.14	New Sensors Pcb 2d	219
18.15	New Sensors Pcb 3d front	220
18.16	New Sensors Pcb 3d back	221

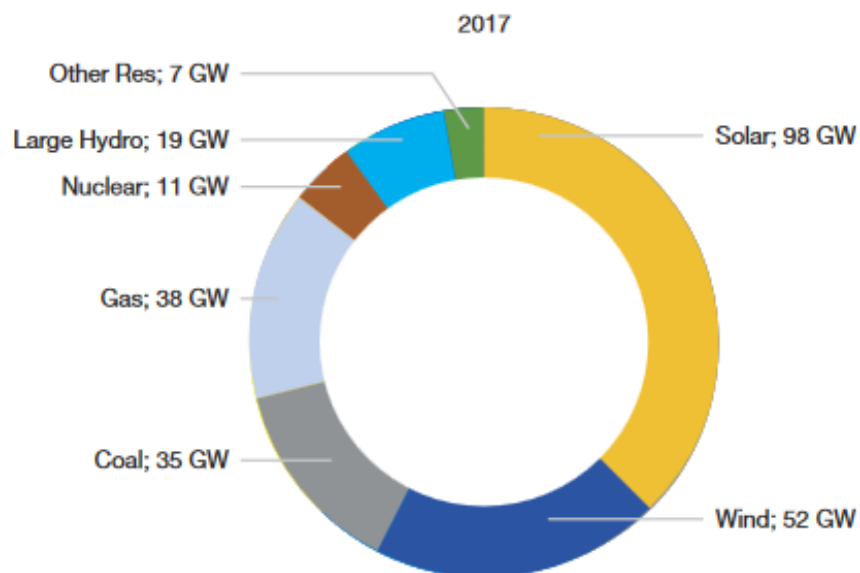
Chapter 2

PV Scenario

Lo scenario del fotovoltaico nel mondo è importante per capire quanta importanza abbia oggi la previsione e il monitoraggio della sua produzione vista la potenza installata sempre più alta in ogni continente, e i ratio di crescita molto incisivi che fanno del fotovoltaico la più diffusa fonte di energia rinnovabile.

2.1 2000-2017

Il 2017/8 è stato un altro biennio storico per il settore dell'energia solare. Sono state installate a livello globale più impianti SolarPV rispetto a qualsiasi altra tecnologia di generazione di energia. In effetti, il solare ha visto l'impiego di molti nuovi impianti di produzione rispetto ai combustibili fossili e al nucleare combinati. Il solare ha addirittura aumentato di quasi il doppio la capacità rispetto alle altre energie rinnovabili. Infatti, il solo solare ha visto dispiegare più nuovi impianti rispetto ai combustibili fossili e al nucleare combinati. Il solare ha persino aggiunto quasi il doppio della capacità rispetto alle altre energie rinnovabili, l'energia eolica. Nonostante i notevoli tassi di crescita degli ultimi anni, c'è ancora molta strada da fare per le energie rinnovabili.



Source: Frankfurt School-UNEP Centre and BNEF (2018)

Figure 2.1: Energy Pie Chart Worldwide

Il potenziamento del solare è in gran parte il risultato del suo incredibile abbassamento dei costi. I prezzi record raggiunti nel 2016 hanno colto di sorpresa molti esperti di energia. Quell'anno, le offerte aggiudicate dai costruttori erano al di sotto dei 3 centesimi per kWh (2,95 centesimi per un progetto da 800 MW a Dubai, 2,81 centesimi per un contratto di fornitura di energia in Cile, 2,42 centesimi per la fornitura "invernale" del 1,18 GW impianto PPA ad Abu Dhabi). Le discussioni sulla sostenibilità sono diventate rapidamente obsolete man mano che la spirale dei prezzi ha continuato a scendere. Nel febbraio 2018, una gara d'appalto di 300 MW in Arabia Saudita è stata vinta dalla società locale ACWA Power a un prezzo basso da newworld di 2,34 centesimi / kWh, mentre le prime offerte finalizzate erano tutte inferiori a 2,90 centesimi / kWh.

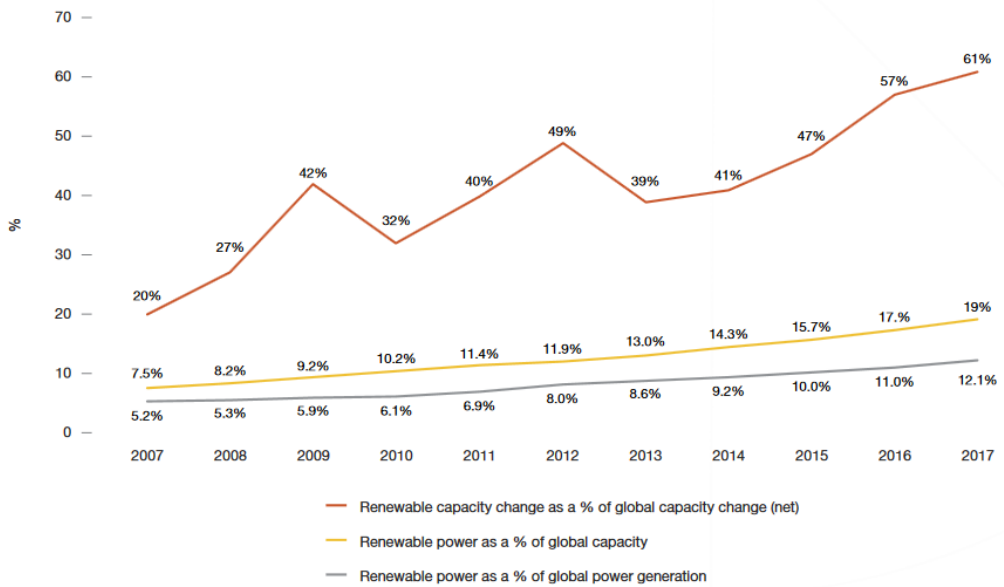


Figure 2.2: Renewable Energy Change Ratio

Nel 2017 sono stati installati un totale di 99,1 GW di energia solare collegata alla rete. Si tratta di una crescita di quasi il 30% su base annua rispetto ai 76,6 GW aggiunti nel 2016. Questo è molto inferiore al tasso di crescita del 49% registrato nel 2016, ma molto superiore alle aspettative di qualsiasi analista solare. Dopo la crescita eccezionalmente forte del 2016, la maggior parte degli analisti solari inizialmente non avevano previsto alcuna crescita. Lo scenario medio, stimando un leggero tasso di crescita del 5% a 80,5 GW, è stato tra le previsioni più ottimistiche per il 2018. Il 2017 è stato dominato più che mai dalla Cina. per la prima volta, la Cina ha installato oltre la metà della capacità solare del mondo in un anno per la precisione, il 53,3%. Questo 52,8 GW di capacità appena aggiunta significa un aumento del 53% rispetto ai 34,5 GW installati nel 2016, quando il mercato cinese è cresciuto del 128% rispetto al 15,1 GW distribuito nel 2015. Mentre l'enorme crescita nel 2017 ha stupito quasi tutti, la spiegazione è molto semplice : Il programma tariffario cinese era sostanzialmente senza limiti, i livelli tariffari per le centrali solari erano più alti che in molti altri luoghi del mondo e le aziende volevano ridurre i sussidi previsti per le sovvenzioni. Ecco perché i produttori di moduli cinesi hanno nuovamente dato la priorità al mercato pericoloso rispetto alla domanda dall'estero.

Come l'anno precedente, gli Stati Uniti erano il secondo mercato fotovoltaico più grande del mondo nel 2017. Hanno installato 10,6 GW, e il ratio annuale è sceso del 42% rispetto al livello record di 15,1 GW raggiunto nel 2016. Mentre il solare su scala industriale è rimasto il segmento più ampio, quasi l'intera recessione deriva da quella parte. Tuttavia, questo declino era ampiamente previsto, poiché nel 2016 molti progetti sono stati finalizzati a battere la scadenza inattesa del Federal Investment TaxCredit (ITC) del 30%, che non si è concretizzata alla fine. Inoltre, diversi progetti sono stati accantonati a causa dell'incertezza che circonda le tariffe d'importazione.

Il 2017 è stato un anno record per il fotovoltaico in India. La capacità installata cumulativa ha superato i 19 GW, con aggiunte annue nette di 9,6 GW, una crescita del mercato sconcertante del 127% rispetto ai 4,3 GW dell'anno scorso. La crescita avrebbe potuto essere più accentuata, se non fosse stato per gli aumenti dei prezzi dei moduli dalla Cina nel corso dell'anno, un segmento sul tetto in ritardo e un'incertezza per quanto riguarda le tasse sulle importazioni. Tuttavia, nel 2017 il solare era la principale fonte di nuova potenza installata, costituendo il 45% della nuova capacità aggiunta. L'India ha preso il posto del Giappone come il terzo mercato più grande al mondo.

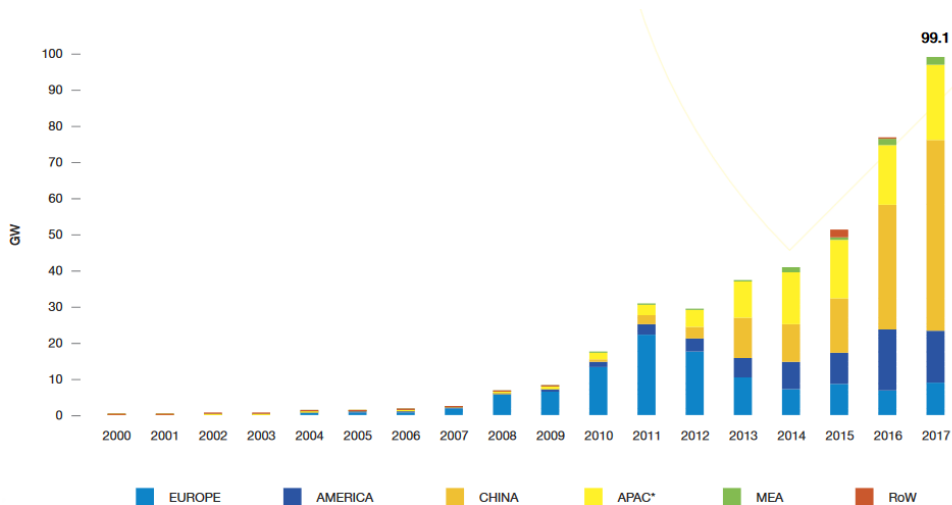


Figure 2.3: Energy Installed

2.2 2018-2022 Scenario

Ancora una volta, tutti gli scenari di Global Market Outlook 2018 mostrano una crescita più forte rispetto alla precedente previsione. Nel 2017, si ipotizzava una capacità installata cumulativa di 4271,2 GW per lo scenario medio nel 2018, quest'anno stimiamo 505,2 GW, che è superiore di circa il 7% . Nell'OGM 2018, si prevede una crescita che sta nell' intervallo compreso tra 714,6 e 1.042,1 GW, con 871,3 GW previsti per lo scenario più probabile per il 2021 ossia circa il 13% in più. In condizioni ottimali, la capacità dell'impianto di solargenerazione mondiale potrebbe raggiungere i 1.270,5 GW entro la fine del 2022, ma si ritiene più probabile una cifra intorno a 1.026,2 GW. Tuttavia, ciò significa che il solare raggiungerebbe il livello di 1TW di capacità di produzione di energia elettrica nel 2022. Raggiungendo il traguardo di 400 MW già nel 2017, ora si prevede di superare i 500 GW nel 2018, 600 GW nel 2019 700 GW nel 2020 , 800 GW nel 2021 e 1 TW nel 2022. Sebbene il solare stia diventando sempre più la fonte di generazione di energia a basso costo in molte regioni, ha bisogno di condizioni di gioco pari con il giusto design del mercato per liberare i suoi costi e vantaggi tecnici rispetto alle centrali elettriche non flessibili. Oggi, molti ostacoli sono ancora in grado per il solare di sfruttare il suo potenziale: di solito mancano schemi funzionali di emissione di combustibili fossili, come nell'UE; gli investimenti e il funzionamento della tecnologia di generazione di energia non centralizzata sono spesso ancora fortemente sovvenzionati, come la centrale nucleare di Hinkley nel Regno Unito; mentre l'energia solare autoconsumata viene tassata in modo inadeguato, come in Germania. La dipendenza del settore solare da pochi mercati è un'altra questione che deve essere affrontata: nel 2017, la Cina, era responsabile di oltre la metà della domanda globale; i primi 3 mercati solari (Cina, Stati Uniti, India) hanno addirittura coperto il 74%.

Qualunque sia lo sviluppo del mercato solare cinese nei prossimi cinque anni e se la crescita globale seguirà lo scenario basso o alto, l'Asia continuerà a dominare il settore solare in futuro . Nel 2017, si presumeva che la regione Asia-Pacifico assorba circa due terzi delle installazioni totali e copra il 60% fino al 2022.

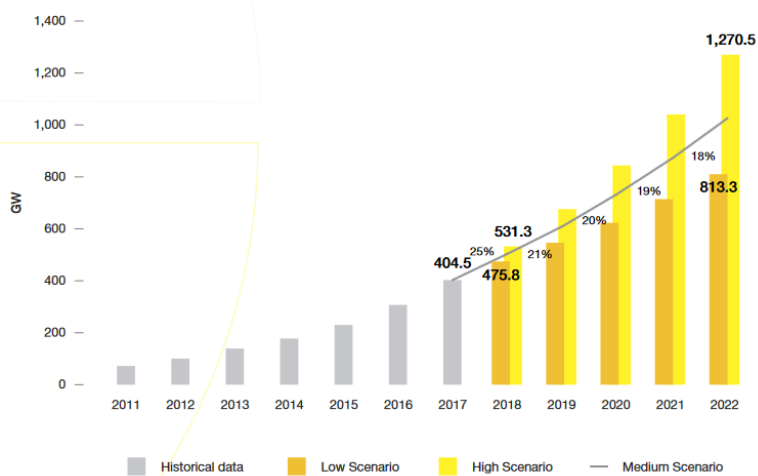


Figure 2.4: Energy Installed Prevision

Chapter 3

Irradiance Forecasting

Una delle principali caratteristiche e sfide per le reti interconnesse è il controllo in tempo reale delle discrepanze tra la produzione programmata e il consumo effettivo di energia elettrica, vale a dire il controllo della frequenza. Dalla liberalizzazione dei mercati dell'elettricità e dall'aumento della generazione intermittente decentralizzata, il sistema energetico dell'Europa continentale è stato esposto a forti deviazioni di frequenza persistenti. Questa tesi indaga sulla possibilità di ottenere un dispositivo in grado di generare un forecasting della produzione di energia solare. L'obiettivo è quello di contribuire a migliorare le possibilità di controllo tramite un dispositivo low cost della frequenza nel sistema di alimentazione interconnesso.

La regolazione per un sistema che si basa sempre di più sull'energia rinnovabile derivante dal fotovoltaico, crea una sfida per chi fa compravendita di energia.

Questa sfida è facilmente deducibile dalla non predicitività dell'energia prodotta dagli stessi impianti e dal frastagliamento della stessa nell'arco della giornata se vogliamo parlare di giornate parzialmente coperte e totalmente nuvolose.

Essendo inoltre una fonte di energia che si basa sul meteo, essa gode di una volatilità e imprevedibilità estrema se ci troviamo in ambienti particolarmente soggetti a cambiamenti di meteo repentina e difficilmente predibili.

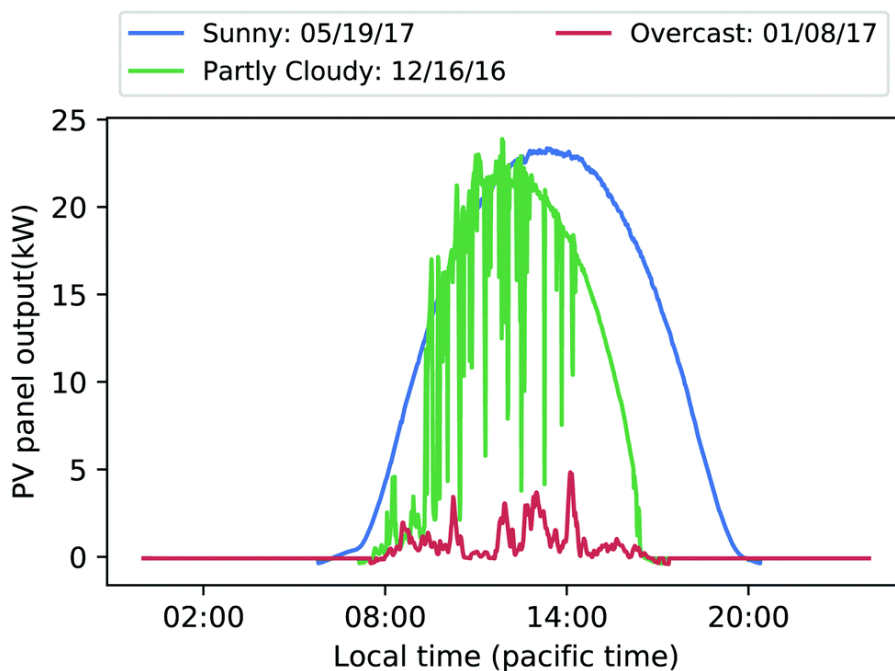


Figure 3.1: Classic Daily Production

Come si può evincere dalla figura superiore, ci troviamo davanti a una fonte di energia che se cumulata nell'ordine di MW offre delle oscillazioni percentuali altissime in un tempo ΔT ridotto.

Ne consegue una difficoltà di regolazione decisamente alta, e ad una fonte di energia presente soprattutto nelle fasce orarie che circondano lo Zenith del sole, quindi lontane da una *Base Load* ottimale.

Il contributo della produzione di energia dei sistemi fotovoltaici per quanto riguarda la produzione di elettrica è in costante aumento. Società di servizi pubblici e trasmissione devono fare attenzione a un sistema

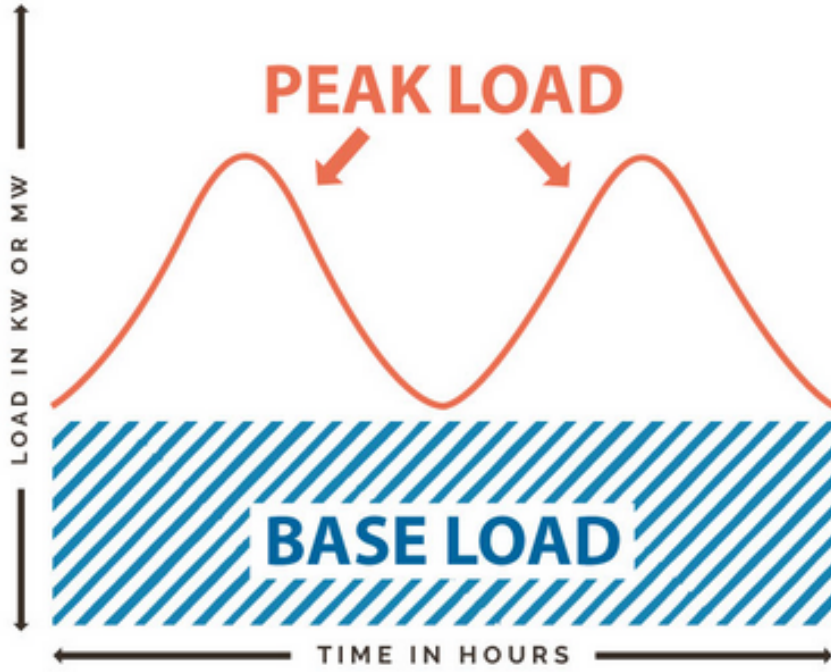


Figure 3.2: Base Load and PV Peak

MISO con una volatilità di *Input* elevata.

La previsione dell'irradianza orizzontale globale (GHI) è il primo e più importante passaggio per quanto riguarda i sistemi di previsione della potenza fotovoltaica.

Gli approcci di previsione al GHI possono essere classificati in base ai dati di input utilizzati che determinano anche l'orizzonte di previsione. Vengono applicati modelli statistici basati su misure di irradianza online e sviluppano una cronologia a brevissimo termine da 5 minuti a 6 ore. Esempi di modelli di serie temporali dirette sono autoregressivi (AR) e modelli di media mobile autoregressivi (ARMA). Inoltre si possono utilizzare sistemi di intelligenza artificiale come le reti neurali (ANN) che possono essere applicate per derivare le previsioni di irraggiamento.

Per la previsione dell'irraggiamento a breve termine, il riconoscimento del path delle nuvole, che in gran parte determinano l'irraggiamento solare superficiale, possono essere utilizzati:

- Previsioni basate su vettori di movimento delle nuvole da immagini satellitari) mostrano buone prestazioni per il range temporale da 30 minuti fino a 6 ore.

- Per la gamma subhour, immagini delle nuvole scattate da terra possono essere utilizzate per derivare previsioni di irradianza con una risoluzione spaziale migliore rispetto a quella satellitare. previsioni.

Per orizzonti di previsione più lunghi, da circa 4-6 ore in poi, previsioni basato su modelli numerici di previsione del tempo (NWP) tipicamente formano le previsioni basate sui satelliti.

Esistono anche approcci combinati che integrano diversi tipi di input dati per ricavare una previsione ottimizzata in base all'orizzonte di previsione.

La situazione spaziale e temporale può essere raccolta in questa analisi .

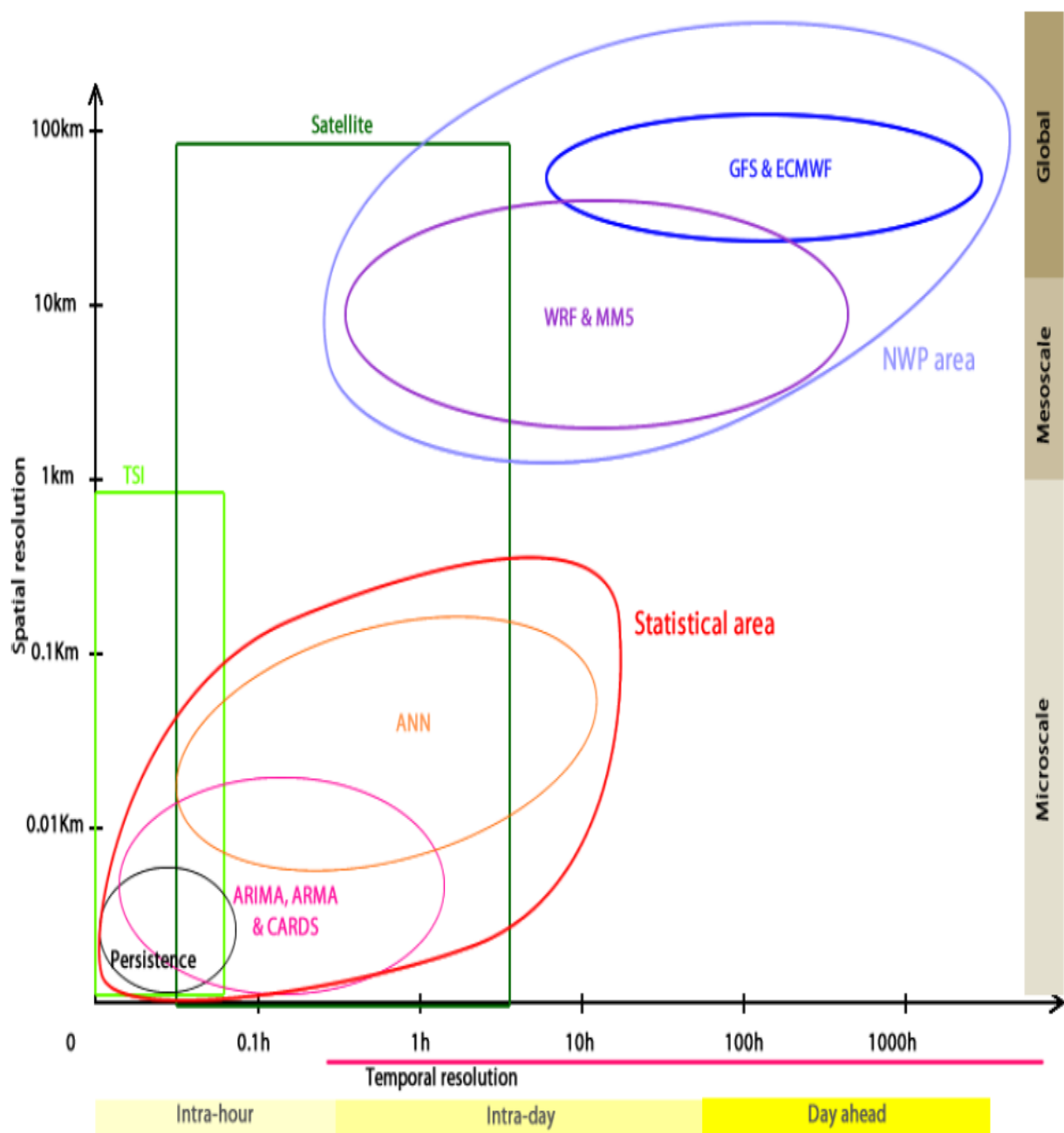


Figure 3.3: Temporal Analysis

Chapter 4

Sensors

La premessa di questa sezione è di poter valutare e identificare quali possono essere i sensori che meglio si prestano al raccoglimento dei dati che successivamente formeranno la base dati elaborata dal predittore. Oggi il mondo dell'embedded offre numerose possibilità di scelta per quanto concerne la sensoristica, tuttavia anche se non è necessario l'utilizzo di sensori di tipo digitale esclude numerosi problemi legati ai disturbi che possono creare nel *routing* del segnale così come permette un trattamento dei segnali che viene eseguito in maniera ottimale.

Nonostante il design del sistema volga verso una interfaccia in grado di essere *reliable* così come *low cost*, in via preliminare non è possibile conoscere quali segnali e quali tipi di sensori creano una ottima correlazione tra i dati ricevuti e il modello predittivo che si vuole creare.

Inizialmente si era pensato allo sviluppo di una board che contenesse solamente un sensore di irraggiamento che dati alcuni *papers* già presenti si è rivelato un ottimo metodo in relazione alla sua semplicità per valutare un *nowCasting* con orizzonti temporali relativamente brevi $t < 1h$.

Tuttavia la possibilità di avere una sensoristica più complessa e moderna a un prezzo accettabile rende interessante la valutazione di numerosi sensori che poi nel caso non trovassero una correlazione con il modello possono essere inibiti e non implementati nella board definitiva.

Il meteo gioca un ruolo fondamentale nella predizione in quanto sono gli elementi climatici che determinano la presenza di nuvole e il conseguente cambiamento di irraggiamento.

Al fine di scattare una fotografia della situazione ambientale sono necessari almeno le misure di temperatura, umidità e pressione barometrica. Esiste la possibilità di avere questi sensori in una unica breakBoard sperimentale in modo che in maniera facile e veloce si possa avere una lettura di tutte e tre i fondamentali input meteo. Queste variabili esogene sono indispensabili per porre una base meteo e un solido input.

4.1 Pressure, Temperature, Humidity

Come detto in precedenza esistono diversi modulo che integrano queste tre misure in una unica breakboard, tuttavia la scelta di un componente con librerie già implementate sembra la scelta migliore da percorrere.

4.1.1 BME280

Il BME280 è un sensore combinato di umidità, pressione e temperatura basato su comprovati principi di rilevamento. Il modulo sensore è alloggiato in un package LGA con coperchio in metallo estremamente compatto con un ingombro di soli $2,5 \times 2,5 \text{ mm}^2$ con un'altezza di 0,93 mm. Le sue dimensioni ridotte e il suo basso consumo energetico consentono l'implementazione in dispositivi alimentati a batteria quali telefoni, moduli GPS o orologi. Il BME280 è un registratore e le prestazioni compatibili con il sensore di pressione digitale Bosch Sensortec BMP280 (vedere il capitolo 5.2 per dettagli). Il BME280 raggiunge alte prestazioni in applicazioni che richiedono misure di umidità e pressione. Queste applicazioni emergenti del controllo domotico, della navigazione interna, dell'assistenza sanitaria e della raffinatezza del GPS richiedono un'elevata precisione e un basso TCO allo stesso tempo. Il sensore di umidità fornisce un tempo di risposta estremamente rapido per applicazioni di riconoscimento rapido del contesto e alta precisione in un ampio intervallo di temperature. Il

sensore di pressione è un sensore di pressione barometrica assoluto con altissima precisione e risoluzione e un rumore drasticamente basso. Il sensore di temperatura integrato è stato ottimizzato per il rumore più basso e la massima risoluzione. La sua uscita viene utilizzata per la compensazione della temperatura dei sensori di pressione e umidità e può anche essere utilizzata per la stima della temperatura ambiente. Il sensore fornisce entrambe le interfacce SPI e I²C e può essere alimentato da 1,71 a 3,6 V . Le misurazioni possono essere attivate dall'host o eseguite a intervalli regolari. Quando il sensore è disabilitato, il consumo di corrente scende a 0.1 microA. BME280 può funzionare in tre modalità di alimentazione:

- Sospensione
- Modalità normale
- Modalità forzata

Per adeguare velocità dati, rumore, tempo di risposta e consumo corrente alle esigenze dell'utente, una varietà di modalità di sovraccampionamento, filtro modalità e velocità dati possono essere selezionate.

Block Diagram e Pinout

Internamente il sensore è organizzato come di seguito in questo schema a blocchi:

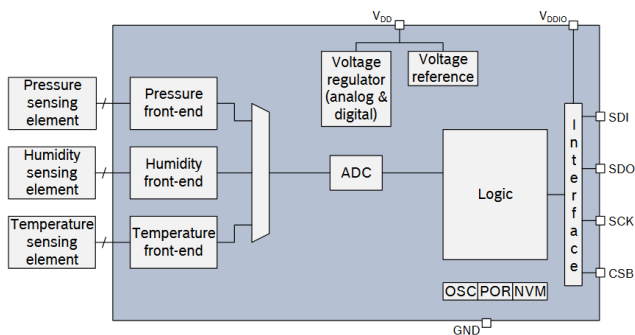


Figure 4.1: Schema Blocchi BME280

Generalmente è composto da due alimentazioni Vdd e $Vddio$ che sono rispettivamente l'alimentazione per i componenti analogici e quella per l'interfaccia.

Il pin Gnd fa capo al ground analogico dei sensori , mentre SDI, SDO, SCK or CSB sono i pin per la gestione della comunicazione I²C.

Operation Mode

- Sospensione

Si verifica nel momento in cui viene alimentato e in condizioni di *Reset* e il consumo della sua corrente I_{ddsm} è posto al minimo. Tutti i registri sono accessibili e non ci sono restrizioni di nessun tipo.

- Modalità normale

Consiste in una perpetua e automatica azione di lettura tra il ciclo di lettura e il periodo di standby. Le misure sono svolte in accordo con i filtri scelti, inoltre è possibile gestire anche il periodo di standby che può essere impostato tra gli 0.5 e i 1000ms.

- Modalità forzata

Solo una singola misura viene performata, in accordo con le impostazioni di misura e i filtri impostati. Quando la misura è finita il sensore ritorna in modalità di sospensione e il dato è accessibile nel registro. Per ogni successiva misura è necessario la rielezione della modalità stessa.

Measurement Spec

Temperature

Temperature sensor specification

Parameter	Symbol	Condition	Min	Typ	Max	Unit
Operating range	T	Operational	-40	25	85	°C
		Full accuracy	0		65	°C
Supply current	I _{DD,T}	1 Hz forced mode, temperature measurement only		1.0		µA
Absolute accuracy temperature ³	A _{T,25}	25 °C		±0.5		°C
	A _{T,full}	0...65 °C		±1.0		°C
Output resolution	R _T	API output resolution		0.01		°C
RMS noise	N _T	Lowest oversampling		0.005		°C

Figure 4.2: Temperature Details

Humidity

Humidity parameter specification

Parameter	Symbol	Condition	Min	Typ	Max	Unit
Operating range ³	R _H	For temperatures < 0 °C and > 60 °C see Figure 1	-40	25	85	°C
Supply current	I _{DD,H}	1 Hz forced mode, humidity and temperature	0		100	%RH
Absolute accuracy tolerance	A _H	20...80 %RH, 25 °C, including hysteresis		±3		%RH
Hysteresis ⁴	H _H	10→90→10 %RH, 25 °C		±1		%RH
Nonlinearity ⁵	NL _H	10→90 %RH, 25 °C		1		%RH
Response time to complete 63% of step ⁶	T _{63%}	90→0 or 0→90 %RH, 25°C		1		s
Resolution	R _H			0.008		%RH
Noise in humidity (RMS)	N _H	Highest oversampling, see chapter 3.6		0.02		%RH
Long term stability	ΔH _{stab}	10...90 %RH, 25 °C		0.5		%RH/year

Figure 4.3: Humidity Details

Barometric Pressure

Pressure sensor specification

Parameter	Symbol	Condition	Min	Typ	Max	Unit
Operating temperature range	T _A	operational	-40	25	+85	°C
		full accuracy	0		+65	
Operating pressure range	P	full accuracy	300		1100	hPa
Supply current	I _{DD,LP}	1 Hz forced mode, pressure and temperature, lowest power		2.8	4.2	µA
Temperature coefficient of offset ⁷	TCO _P	25...65 °C, 900 hPa		±1.5		Pa/K
				±12.6		cm/K
Absolute accuracy pressure	A _{P,full}	300... 1100 hPa 0... 65 °C		±1.0		hPa
Relative accuracy pressure V _{DD} = 3.3V	A _{rel}	700 ... 900hPa 25... 40 °C		±0.12		hPa

Figure 4.4: Pressure Details

4.1.2 BME680

Il BME680 è un sensore digitale 4 in 1 con misurazione di gas, umidità, pressione e temperatura basate su comprovati principi di rilevamento. Il modulo sensore è alloggiato in un contenitore LGA con coperchio metallico estremamente compatto con un ingombro di soli $3,0 \times 3,0 \text{ mm}^2$ con un'altezza massima di 1,00 mm ($0,93 \pm 0,07 \text{ mm}$). Le sue dimensioni ridotte e il basso consumo energetico consentono l'integrazione in dispositivi alimentati a batteria o accoppiati in frequenza, quali telefoni ,dispositivi indossabili e stazioni di rilevamento forecasting.

Block Diagram e Pinout

Similmente al BME280 anche il BME680 ha una struttura a blocchi standard:

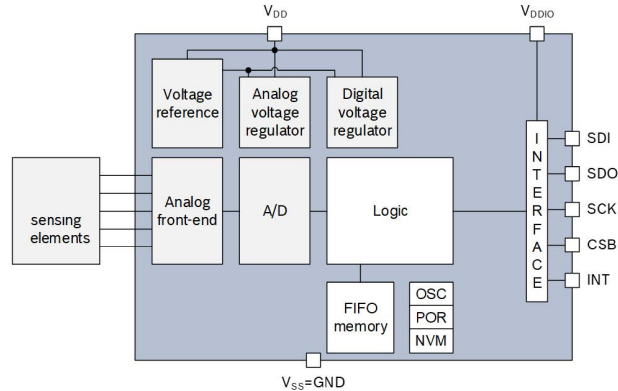


Figure 4.5: Schema Blocchi BME280

Measurament Spec

Oltre alle 3 misure che può effettuare anche il BME280 , il suo successore permette la determinazione della qualità dell'aria che in caso di ambienti molto inquinati ha sicuramente effetto sull'irraggiamento.

Air Quality Index AQI

Parameter	Symbol	Condition	Min	Typ	Max	Unit
Operational range ¹			-40		85	°C
			10		95	% r.H.
Supply Current during heater operation	I _{heo}	Heater target temperature 320 °C, constant operation (V _{DD} ≤ 1.8 V, 25°C)	9	12	13	mA
Peak Supply Current	I _{peak}	Occurs within first ms of switching on the hotplate	15	17	18	mA
Average Supply Current (V _{DD} ≤ 1.8 V, 25°C)	I _{DD,IAQ}	Ultra-low power mode	0.09		mA	
		Low power mode	0.9		mA	
		Continuous mode	12		mA	
Response time ² (brand-new sensors)	T _{33.6%}	Ultra-low power mode	92		s	
	T _{50.0%}	Low power mode	1.4		s	
	T _{53.6%}	Continuous mode	0.75		s	
Resolution of gas sensor resistance measurement			0.05	0.08	0.11	%
Noise in gas sensor resistance (RMS)	N _R			1.5		%

Figure 4.6: AQI Spec

La Tabella elenca le specifiche del sensore di gas. Tutti i parametri sono dedotti dalle misure di laboratorio in condizioni ambientali controllate, conformi alla norma ISO16000-29 "Metodi di prova per rivelatori di VOC". Il software è progettato con cura per funzionare perfettamente con i sensori integrati 4 in 1 all'interno del BME680. Basato su un algoritmo intelligente, il BSEC fornisce un'uscita di qualità dell'aria interna (IAQ). In linea di principio, questa uscita si trova in un indice che può avere valori compresi tra 0 e 500 con una risoluzione di 1 per indicare o quantificare la qualità dell'aria disponibile nell'ambiente circostante. Inoltre, la soluzione BSEC supporta diverse modalità operative per il sensore di gas per soddisfare il budget energetico necessario e i requisiti di velocità di aggiornamento dell'applicazione finale.

I valori di output sono riassunti in questa tabella:

IAQ Index	Air Quality
0 – 50	good ^{1b}
51 – 100	average
101 – 150	little bad
151 – 200	bad
201 – 300	worse ²
301 – 500	very bad

Figure 4.7: AQI Scale

4.2 Irradiance

Dato indispensabile per la creazione di una base dati che possa creare un modello affidabile è sicuramente la misura dell'irraggiamento. Le celle fotovoltaiche convertono la luce in energia elettrica tuttavia esse non ricevono la totalità dello spettro solare.

Importante è tenere in considerazione come, il sole in giornate di cielo limpido possa raggiungere intensità luminose di oltre i 100k lux. Molti sensori di luminosità non raggiungono valori di intensità superiori ai 70 mila lux che non coprono la totalità dell'intensità luminosa.

4.2.1 VEML7700



Figure 4.8: VEML 7700

VEML7700 è un sensore di risoluzione digitale ad alta luminosità a 16 bit ad alta precisione in un involucro in miniatura trasparente da 6,8 mm x 2,35 mm x 3,0 mm. Include un diodo foto ad alta sensibilità, un amplificatore a basso rumore, un convertitore A / D a 16 bit e supporta un'interfaccia di comunicazione bus I2C di facile utilizzo. Il risultato della luce ambientale è un valore digitale manipolabile facilmente.

Block Diagram e Pinout

Internamente il sensore è organizzato come di seguito in questo schema a blocchi:

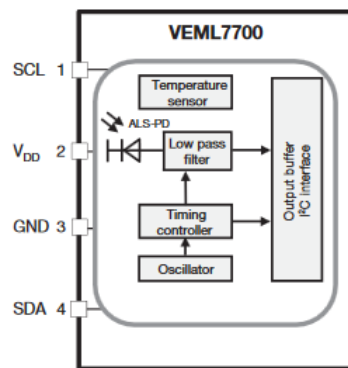


Figure 4.9: VEML7700 Block Diagram

Anche in questo caso il pinout è composto da *Vdd* che è l'alimentazione per i componenti digitali e le porte *SDA* e *SCL* volte alla diffusione dei messaggi digitali.

Measured Spectrum

Lo spettro di misura del VEML7700 è doppio, ossia il primo centrato sullo spettro di visibilità umano per cui con una grande lacuna nella regione degli *UV* e degli *IR* e il secondo denominato *WhiteChannel* in cui si ha a disposizione una maggiore larghezza spettrale.

Nonostante la maggior parte dell'energia proveniente dal sole sia in questa fascia, si ha bisogno di un criterio discriminante tra un cielo *cloudy* e un cielo *clear*.

Normal Channel

Segue con un mismatch del 3 percento la risposta spettrale dell'occhio umano.

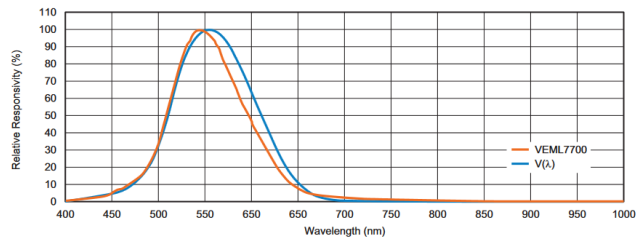


Figure 4.10: Spectral Response Normal Channel

White Channel

Oltre al canale ALS che segue molto bene la cosiddetta curva dell'occhio umano, c'è anche un secondo canale disponibile chiamato *White Channel*, che offre una reattività molto più elevata per uno spettro di lunghezze d'onda più lunghe. Questo canale bianco potrebbe essere usato visualizzare le ultime percentuali di energia che le sorgenti luminose con forte contenuto infrarosso mostrano da 750 nm a 800 nm.

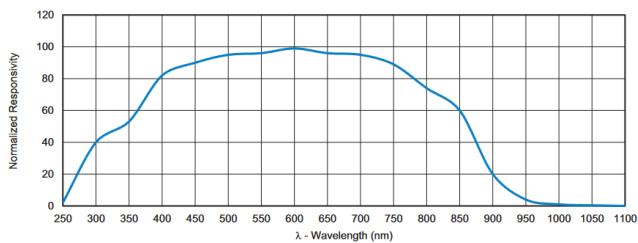


Figure 4.11: Spectral Response White Channel

4.2.2 PV Module - INA219

Analogamente al sensore digitale di irraggiamento è possibile affiancare, al fine di calibrare ed estrarre una forte correlazione tra corrente e tensione e irraggiamento, un modulo fotovoltaico in miniatura.

One Diode Model

Il modulo fotovoltaico si comporta come un generatore di corrente con delle non idealità che risiedono nelle sue resistenze R_s e R_p e nella sua tensione massima erogabile.

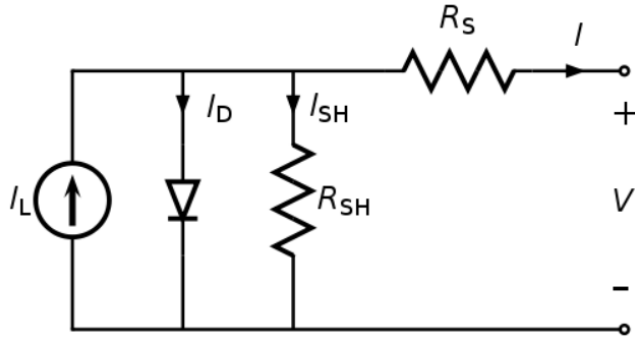


Figure 4.12: One Diode Model

- R_s : è introdotta al fine di considerare il voltage drop interno dovuto alle perdite resistive.
- R_{sh} : tiene conto delle perdite di corrente quando il diodo è polarizzato inversamente

Come detto in precedenza, il diodo rappresenta la massima tensione che la cella può erogare.

Il sistema tuttavia è caratterizzato dalle seguenti relazioni:

$$I = I_{pv} - I_d - I_{sh}$$

$$U_{sh} = U + IR_s$$

$$I_{sh} = \frac{U_{sh}}{R_{sh}} = \frac{U + IR_s}{R_{sh}}$$

$$I = I_{pv} - I_0 [\exp \frac{U + IR_s}{nVT} - 1] - \frac{U + IR_s}{R_{sh}}$$

G-IV Relationship

Data la diretta proporzionalità tra Irraggiamento e Corrente erogata è possibile stilare dei grafici G vs I da comprendere la relazione che vige tra le due grandezze.

La corrente quindi prodotta può ritenersi proporzionale direttamente all'irraggiamento che la cella riceve.

La proporzionalità diretta tuttavia viene a mancare nel momento in cui ci avviciniamo al regime di circuito aperto dove la corrente per forza di cose diminuisce.

La tensione invece rimane praticamente costante per carichi che vanno dall'ordine dell'*ohm* fino a un valore che dipende dalla cella presa in carico.

Potrebbe essere considerato il fatto di misurare solo la corrente in quanto è essa che è in relazione con l'irraggiamento, ma in analisi preliminare si vorrebbe tener conto anche della tensione della cella che potrebbe rilevare una correlazione in alcune situazioni .

INA219

L'INA219 calcola la corrente che fluisce attraverso il resistore di rilevamento "Shunt di corrente" misurando prima la tensione attraverso il resistore e quindi applicando la legge di Ohm:

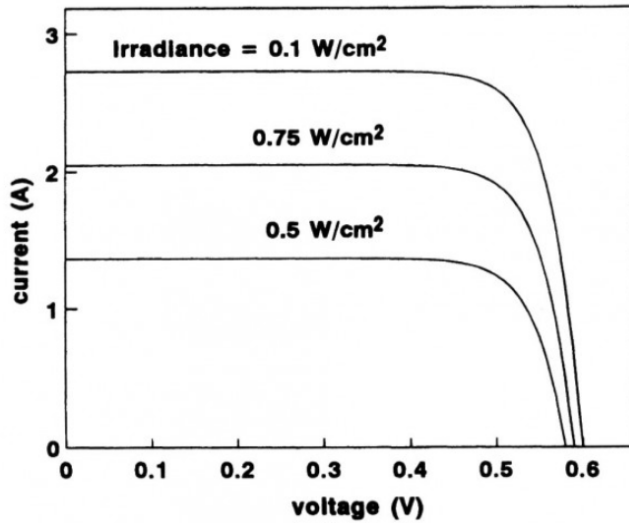


Figure 4.13: G vs I Chart



Figure 4.14: INA 219

$$\frac{V_{shunt}}{R_{shunt}} = I_{shunt}$$

La tensione del bus viene misurata direttamente sul lato di carico del resistore shunt (VIN-).

La potenza viene quindi calcolata moltiplicando questi due valori campionati, $Power = I_{shunt} * V_{shunt}$

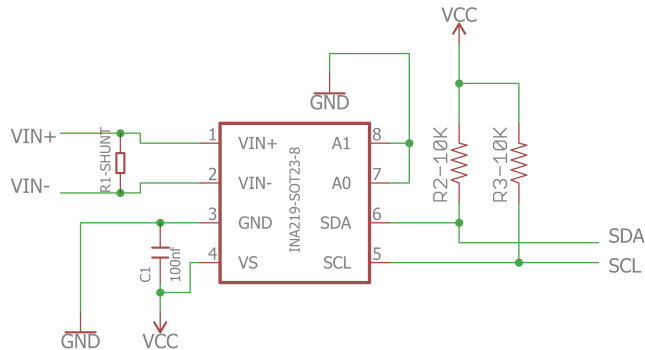


Figure 4.15: Ina 219 Schematic 1

Current Measure

Registers

L'INA21 usa banchi di registri per mantenere le configurazioni, i risultati della misurazione, i valori massimi / minimi e le informazioni generali. Un ritardo di 4-micro-s è richiesto dal complemento di un documento, una data registrazione e una lettura successiva di quel registro.

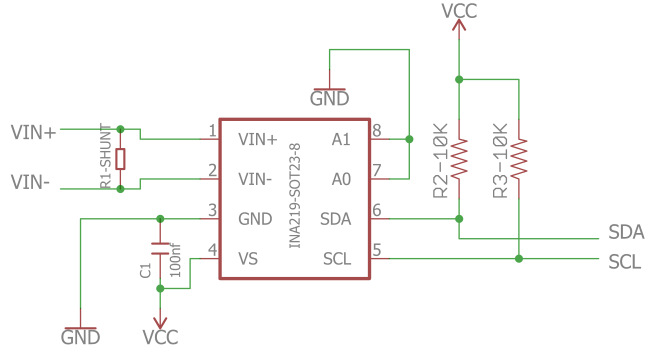


Figure 4.16: Ina 219 Schematic 2

POINTER ADDRESS HEX	REGISTER NAME	FUNCTION	POWER-ON RESET		TYPE ⁽¹⁾
			BINARY	HEX	
00	Configuration	All-register reset, settings for bus voltage range, PGA Gain, ADC resolution/averaging.	00111001 10011111	399F	R/W
01	Shunt voltage	Shunt voltage measurement data.	Shunt voltage	—	R
02	Bus voltage	Bus voltage measurement data.	Bus voltage	—	R
03	Power ⁽²⁾	Power measurement data.	00000000 00000000	0000	R
04	Current ⁽²⁾	Contains the value of the current flowing through the shunt resistor.	00000000 00000000	0000	R
05	Calibration	Sets full-scale range and LSB of current and power measurements. Overall system calibration.	00000000 00000000	0000	R/W

Figure 4.17: Ina 219 Register Block

4.2.3 AS7262

AS7262 è una soluzione in grado di rilevare differenze di irraggiamento in un contesto multi-spettrale. Questo dispositivo altamente integrato fornisce il rilevamento multispettrale a 6 canali nelle lunghezze d'onda visibili da circa 430 nm a 670 nm con una larghezza massima di canale (FWHM) di 40 nm. Un driver LED integrato con corrente programmabile è fornito per applicazioni di otturatore elettronico. L'AS7262 integra filtri gaussiani in silicio standard CMOS tramite tecnologia di filtro interferenziale nano-ottico depositato ed è confezionato in un pacchetto LGA che fornisce un'apertura incorporata per controllare la luce che entra nel array di sensori. L'accesso ai dati spettrali e di controllo è implementato tramite il set di registri I²C o con un comando AT Spectral di alto livello impostato tramite un UART seriale.

Block Diagram e Pinout

Internamente il sensore è organizzato come di seguito in questo schema a blocchi:

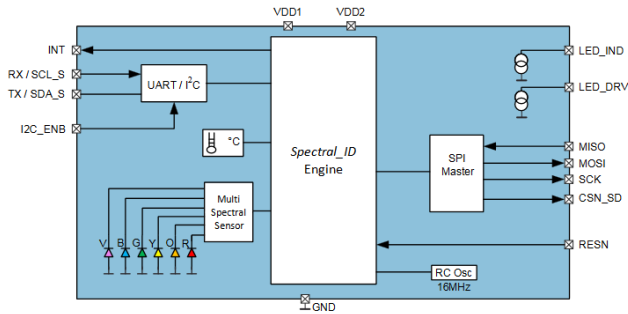


Figure 4.18: AS762 Block Diagram

Measured Spectrum

Ogni canale ha una caratteristica di filtro gaussiana con una larghezza di banda massima (FWHM) di 40 nm. Il sensore contiene convertitori analogico-digitale (risoluzione ADC a 16 bit), che integrano la corrente dal fotodiodo di ciascun canale. Al completamento del ciclo di conversione, il risultato integrato viene trasferito ai registri dati corrispondenti. I trasferimenti sono a doppio buffer per garantire che l'integrità dei dati sia mantenuta. I filtri interferenziali consentono una stabilità alle alte temperature e una deriva del ciclo di vita minima. La precisione del filtro sarà influenzata dall'angolo di incidenza che a sua volta è limitato dall'apertura integrata e dalla struttura interna della microlente. Il campo visivo limitato all'apertura è ± 20,0 ° per fornire una precisione specificata.

Symbol	Parameter	Test Conditions	Channel (nm)	Min	Typ	Max	Unit
V	Channel V	5700K White LED [2], [4]	450		45 [3], [4]		counts/(µW/cm ²)
B	Channel B	5700K White LED [2], [4]	500		45 [3], [4]		counts/(µW/cm ²)
G	Channel G	5700K White LED [2], [4]	550		45 [3], [4]		counts/(µW/cm ²)
Y	Channel Y	5700K White LED [2], [4]	570		45 [3], [4]		counts/(µW/cm ²)
O	Channel O	5700K White LED [2], [4]	600		45 [3], [4]		counts/(µW/cm ²)
R	Channel R	Incandescent [2], [4]	650		45 [3], [4]		counts/(µW/cm ²)
FWHM	Full Width Half Max			40	40		nm
Wacc	Wavelength Accuracy				±5		nm
dark	Dark Channel Counts	GAIN=64, T _{AMB} =25°C				5	counts
PFOV	Package Field of View				±20.0		deg

Figure 4.19: AS7262 Channels List

Il che si traduce in una visione spettrale determinata dal grafico *Lunghezza d'onda* rispetto all'*Intensità Luminosa*

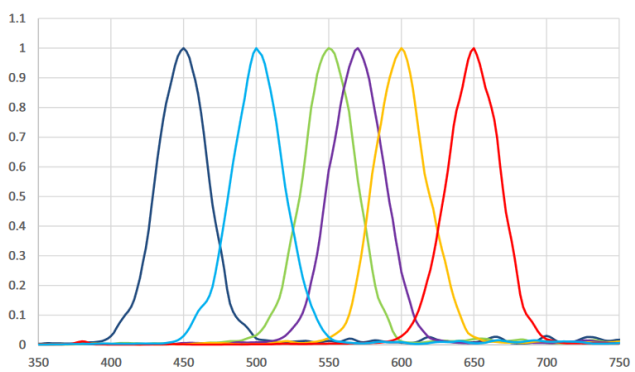


Figure 4.20: AS7262 Spectrum

4.3 UV Content

4.3.1 VEML 6070

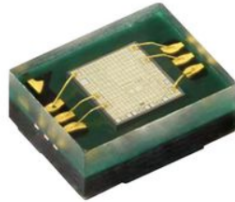


Figure 4.21: VEML 6070

VEML6070 è un sensore di luce ultravioletta (UV) avanzato con interfaccia di protocollo I2C e progettato con processo CMOS. È facilmente gestibile tramite un semplice comando I2C. La funzione di riconoscimento attivo (ACK) con l'impostazione delle finestre di soglia consente al sensore UV di inviare un messaggio di avviso UVI. In condizioni di forte UVI solare, il segnale smart ACK può essere facilmente implementato dalla programmazione del software. VEML6070 incorpora un fotodiodo, amplificatori e circuiti analogici / digitali in un unico chip. L'adozione della tecnologia UV FiltronTM da parte del VEML6070 offre la migliore sensibilità spettrale per coprire il rilevamento dello spettro UV. Ha un'eccellente compensazione della temperatura e una robusta impostazione della frequenza di aggiornamento che non utilizza un filtro passa basso RC esterno. VEML6070 ha una sensibilità lineare alla luce UV solare ed è facilmente regolabile da un resistore esterno. Viene fornita la modalità di arresto del software, che riduce il consumo di energia a meno di 1 microA. La tensione operativa di VEML6070 varia tra 2,7 V e 5,5 V.

Block Diagram e Pinout

Simile al VEML7700 aggiunge tuttavia un pin di *ACK* e uno di *RESET* per il resto è configurato esattamente come il precedente.

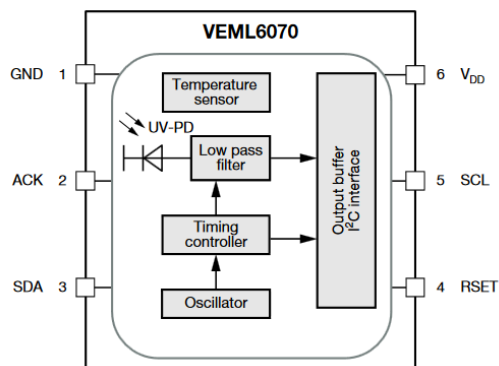


Figure 4.22: VEML 6070 Block Diagram

Measured Spectrum

Lo spettro completa la componente mancante nel sensore precedente incentrando l'attenzione sulla componente *UVA* e parzialmente la *UVB*.

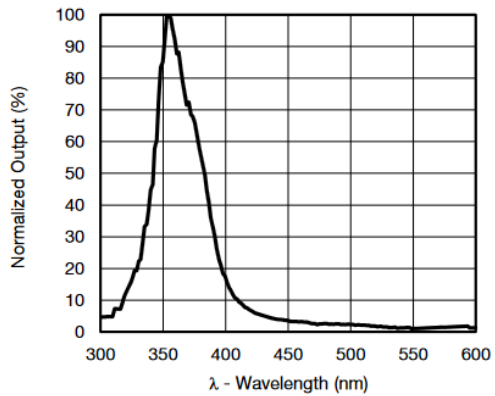


Figure 4.23: VEML 6070 Spectrum

4.3.2 VEML6075

Di più nuova ingegnerizzazione il VELM6075 offre la possibilità di scorporare *UVA* e *UVB* in due dati completamente distaccati e leggibili singolarmente.

Il VEML6075 rileva la luce UVA e UVB e incorpora un fotodiodo, amplificatori e circuiti analogici / digitali in un unico chip usando un processo CMOS. Quando si applica il sensore UV, è in grado di rilevare l'intensità UVA e UVB per fornire una misura della potenza del segnale e consentire l'acquisizione nello spettro degli ultravioletti. Il VEML6075 fornisce un'eccellente capacità di compensazione della temperatura per mantenere stabile l'uscita in caso di variazione della stessa. Le funzionalità di VEML6075 sono facilmente gestibili tramite il formato di comando semplice del protocollo di interfaccia I2C (SMBus compatibile).

Block Diagram e Pinout

Anche questo integrato è simile al 6070 e ed al 7700.

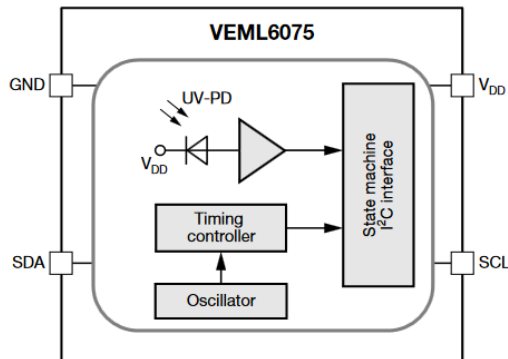


Figure 4.24: VEML 6075 Diagram

Measured Spectrum

Lo spettro del 6075 permette la differenziazione tra *UVA* e *UVB* fornendo dati migliori per un possibile input esogeno correlato ad essi.

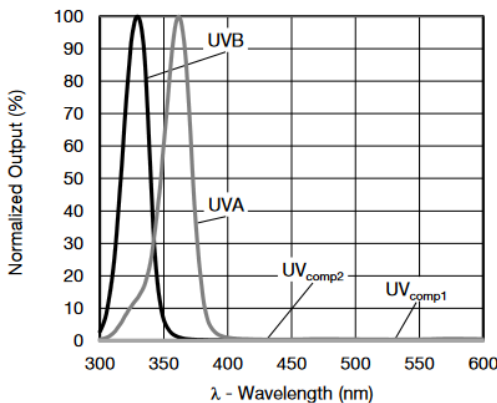


Figure 4.25: VEML 6075 Spectrum Response

Chapter 5

Input Communication

La comunicazione degli input è basata esclusivamente su un bus di comunicazione I^2C che ad oggi nei moduli *Raspberry* e *Arduino* rappresenta l'alternativa alla lettura degli ingressi per via analogica o per mezzo dell'interfaccia SPI

5.1 I^2C

Il protocollo Inter-integrated Circuit (I^2C) è un protocollo destinato a consentire a più circuiti integrati digitali "slave" ("chip") di comunicare con uno o più chip "master". Come la Serial Peripheral Interface (SPI), è inteso solo per le comunicazioni a breve distanza all'interno di un singolo dispositivo. Come le interfacce seriali asincrone (come RS-232 o UART), per scambiare le informazioni sono necessari solo due cavi di segnale.

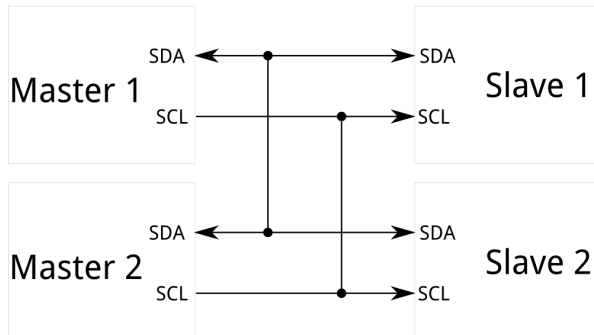


Figure 5.1: I^2C

5.1.1 Advantages vs Uart

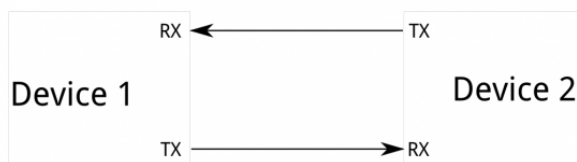


Figure 5.2: I^2C Vs Uart

Poiché le porte seriali sono asincrone (non vengono trasmessi segnali di clock), i dispositivi che li utilizzano devono concordare in anticipo la velocità di trasmissione dei dati. I due dispositivi devono anche avere clock simili che rimarranno tali le eccessive differenze tra le frequenze di clock su entrambe le estremità causeranno dati confusi.

Le porte seriali asincrone richiedono un sovraccarico dell'hardware: l'UART su entrambe le estremità è relativamente complessa e difficile da implementare con precisione nel software. Almeno un bit di inizio e fine è una parte di ciascun frame di dati, il che significa che sono necessari 10 bit di tempo di trasmissione per ogni 8 bit di dati inviati, il che va a influire drasticamente sulla velocità dei dati.

Un altro difetto di base nelle porte seriali asincrone è che sono intrinsecamente adatti alle comunicazioni tra due e solo due dispositivi. Sebbene sia possibile connettere più dispositivi a una singola porta seriale, il conflitto del bus è sempre un problema e deve essere maneggiato con attenzione per evitare danni ai dispositivi in questione, di solito attraverso l'hardware esterno.

Infine, la velocità dei dati è un problema. Sebbene non esista un limite teorico alle comunicazioni seriali asincrone, la maggior parte dei dispositivi UART supporta solo un certo insieme di baud rate fissi, e il più alto di questi è di solito intorno a 230400 bit al secondo.

5.1.2 Advantages vs SPI

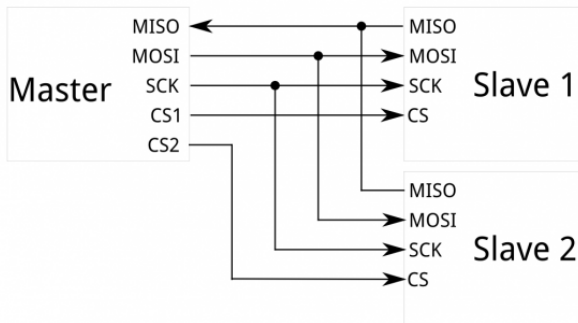


Figure 5.3: I^2C Vs SPI

Lo svantaggio più ovvio di SPI è il numero di pin richiesti. Il collegamento di un singolo master a un singolo slave con un bus SPI richiede quattro linee; ogni slave aggiuntivo richiede un pin di I / O di selezione del chip aggiuntivo sul master. La rapida proliferazione di connessioni e di pin rende indesiderabili situazioni in cui molti dispositivi devono essere asserviti a un master. Inoltre, il numero elevato di connessioni per ciascun dispositivo può rendere più difficili i segnali di routing in situazioni di layout di PCB stretti. SPI consente solo un master sul bus, ma supporta un numero arbitrario di slave soggetto solo alla capacità di guida dei dispositivi collegati al bus e al numero di pin di selezione del chip disponibili.

SPI è adatto per connessioni dati full duplex ad alta velocità (trasmissione e ricezione simultanea di dati), con frequenze di clock fino a 10 MHz (e quindi 10 milioni di bit al secondo) per alcuni dispositivi e la velocità si adatta in modo ottimale. L'hardware alle due estremità è di solito un registro a scorrimento molto semplice, che consente una facile implementazione nel software.

5.1.3 General Advantages I^2

Esso richiede solo due fili, come quelli asincroni seriali, ma questi due fili possono supportare fino a 1008 dispositivi slave. Inoltre, a differenza di SPI, I²C può supportare un sistema multi-master, consentendo a più di un master di comunicare con tutti i dispositivi sul bus, sebbene i dispositivi master non possano parlare tra loro sul bus e debbano fare a turno usando le linee del bus stesso.

Le velocità di trasmissione dei dati sono comprese tra seriale asincrona e SPI; la maggior parte dei dispositivi I²C può comunicare a 100kHz o 400kHz. C'è un sovraccarico con I²C; per ogni 8 bit di dati da inviare, deve essere trasmesso un ulteriore bit di metadati (il bit "ACK / NACK", di cui parleremo in seguito).

L'hardware necessario per implementare I²C è più complesso di SPI, ma inferiore alla seriale asincrona. Può essere abbastanza banalmente implementato nel software.

5.1.4 History I^2

I²C è stato originariamente sviluppato nel 1982 da Philips per vari chip Philips. La specifica originale consentiva solo comunicazioni a 100kHz e solo per indirizzi a 7 bit, limitando il numero di dispositivi sul bus a 112 (ci sono diversi indirizzi riservati, che non saranno mai usati per indirizzi I²C validi). Nel 1992, è stata pubblicata la prima specifica pubblica, aggiungendo una modalità veloce a 400 kHz e uno spazio di indirizzi esteso a 10 bit. Sono disponibili tre modalità aggiuntive: fast-mode plus, a 1MHz; modalità ad alta velocità, a 3,4 MHz; e modalità ultraveloce, a 5 MHz.

Oltre a I2C "vanilla", Intel ha introdotto una variante nel 1995 chiamata "System Management Bus" (SMBus). SMBus è un formato più strettamente controllato, inteso a massimizzare la prevedibilità delle comunicazioni tra gli IC di supporto sulle schede madri del PC. La differenza più significativa tra SMBus è che limita le velocità da 10kHz a 100kHz, mentre I2C può supportare dispositivi da 0kHz a 5MHz. SMBus include una modalità di timeout dell'ora che rende non consigliate le operazioni a bassa velocità, sebbene molti dispositivi SMBus lo supportino comunque per massimizzare l'interoperabilità con i sistemi I2C incorporati.

5.1.5 Funzionamento

Operation

Ogni bus I2C è costituito da due segnali: SCL e SDA. SCL è il segnale di clock e SDA è il segnale di dati. Il segnale di clock viene sempre generato dal master del bus corrente; alcuni dispositivi slave possono forzare il clock a volte a ritardare l'invio di più dati da parte del master (o richiedere più tempo per preparare i dati prima che il master tenti di eseguirne il clock). Questo è chiamato "clock stretching" ed è descritto nella pagina del protocollo.

A differenza delle connessioni UART o SPI, i driver del bus I2C sono "open drain", ovvero possono portare allo stato *logico basso* la corrispondente linea di segnale, ma non possono portarla al livello *high*. Pertanto, non può esserci alcuna contesa del bus in cui un dispositivo sta tentando di guidare la linea in alto mentre un altro tenta di abbassarlo, eliminando il potenziale di danni ai driver o l'eccessiva dissipazione di potenza nel sistema. Ogni linea di segnale ha un resistore di pull-up su di esso, per ripristinare il segnale ad alta quando nessun dispositivo lo sta affermando basso.

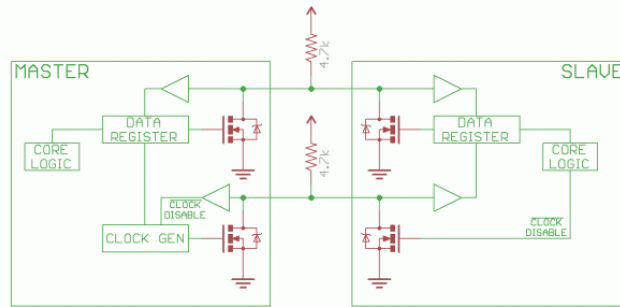


Figure 5.4: SDA and SCL Explained

Signals Levels

Poiché i dispositivi sul bus non portano i segnali a livello *high*, I2C consente una certa flessibilità nel collegamento di dispositivi con diverse tensioni I / O. In generale, in un sistema in cui un dispositivo è a una tensione superiore rispetto a un altro, potrebbe essere possibile collegare i due dispositivi tramite I2C senza alcun circuito di adeguamento di tensione. Il trucco è connettere i resistori pull-up alla minore delle due tensioni. Questo funziona solo in alcuni casi, dove la tensione più bassa tra i due sistemi supera quella ad alto livello del sistema ad alta tensione, ad esempio un Raspberry da 5 V e un sensore da 3,3 V.

Se la differenza di tensione tra i due sistemi è troppo grande (ad esempio, 5 V e 2,5 V), è possibile cambiare il livello di alimentazione.

Communication Protocol

La comunicazione tramite I2C è più complessa rispetto a una soluzione UART o SPI. I segnali devono rispettare un determinato protocollo in modo che i dispositivi i riconoscano come istruzioni valide.

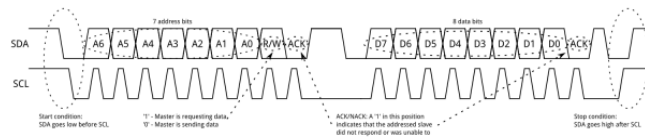


Figure 5.5: Communication

I messaggi sono suddivisi in due tipi di frame: un frame di indirizzo, in cui il master indica lo slave a cui viene inviato il messaggio e uno o più frame di dati, che sono messaggi di dati a 8 bit passati da master a slave

o viceversa . I dati vengono posizionati sulla linea SDA dopo che SCL diventa basso e viene campionato dopo che la linea SCL diventa alta. Il tempo tra il fronte del clock e la lettura / scrittura dei dati è definito dai dispositivi sul bus e varierà da chip a chip.

Start

Per iniziare il frame dell'indirizzo, il dispositivo master lascia SCL alto e impone SDA basso. Questo mette tutti i dispositivi slave in avviso che una trasmissione sta per iniziare. Se due dispositivi master desiderano assumere la proprietà del bus contemporaneamente, il primo dispositivo che imposta SDA su low, vince la *race* e ottiene il controllo del bus. È possibile emettere ripetute partenze, iniziando una nuova sequenza di comunicazione senza rinunciare al controllo del bus verso altri master.

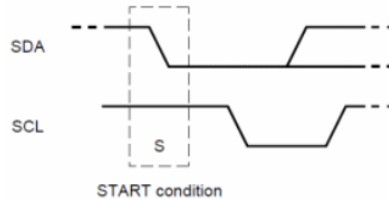


Figure 5.6: Start Frame

Frame Indirizzo

I frame dell'indirizzo è sempre il primo di ogni nuova sequenza di comunicazione. Per un indirizzo a 7 bit, l'indirizzo ha per primo il bit più significativo (MSB), seguito da un bit R / W che indica se si tratta di un'operazione di lettura (1) o scrittura (0).

Il nono bit del frame è il bit NACK / ACK. Questo è il caso di tutti i frame (dati o indirizzo). Una volta inviati i primi 8 bit del frame, il dispositivo ricevente riceve il controllo su SDA. Se il dispositivo ricevente non mette la linea SDA bassa allo stato *low* prima del 9 ° impulso di clock, si può dedurre che il dispositivo ricevente non ha ricevuto i dati o non ha saputo come analizzare il messaggio. In tal caso, la sostituzione si interrompe e spetta al comandante del sistema decidere come procedere.

Frame Data Dopo che il frame dell'indirizzo è stato inviato, i dati possono iniziare a essere trasmessi. Il master continuerà semplicemente a generare impulsi di clock ad intervalli regolari e i dati verranno posizionati su SDA dal master o dallo slave, a seconda che il bit R / W indichi un'operazione di lettura o scrittura. Il numero di frame di dati è arbitrario e la maggior parte dei dispositivi slave incrementerà automaticamente il registro interno, il che significa che le successive letture o scritture verranno dal successivo registro in linea.

Condizione Stop

Una volta che tutti i frame di dati sono stati inviati, il master genererà una condizione di arresto. Le condizioni di arresto sono definite da una transizione 0- \downarrow 1 (da bassa a alta) su SDA dopo una transizione 0- \downarrow 1 su SCL, con SCL rimanente alto. Durante la normale operazione di scrittura dei dati, il valore su SDA non dovrebbe cambiare quando SCL è alto, per evitare false condizioni di arresto.

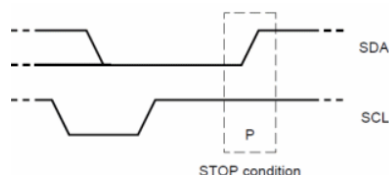


Figure 5.7: Stop Frame

5.2 I^2C Sensor Application e Modalità

Ogni tipo di sensore campiona ed elabora dati in una maniera differente. Questi tre sensori scelti preliminarmente danno luogo a un loro rispettivo *flow* di elaborazione dati.

5.2.1 BME280

Measurament Flow

Data la complessità del sensore, e la presenza di tre *data sensing elements* si rivela necessario svolgere una analisi del flow di misura.

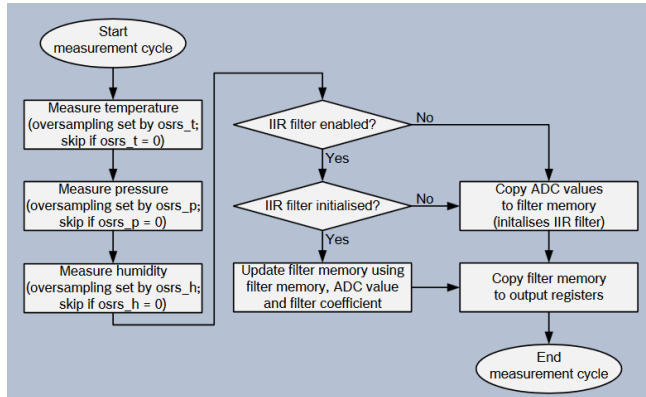


Figure 5.8: BME 280 Block Diagram

Humidity measurement

La misurazione dell'umidità può essere abilitata o saltata. Se abilitata, esistono diverse opzioni di sovraccampionamento. La misurazione dell'umidità è controllata dall'impostazione osrs h [2: 0]. Per la misurazione dell'umidità, il sovraccampionamento è possibile per ridurre il rumore. La risoluzione della misurazione dell'umidità è fissata all'uscita ADC a 16 bit.

Pressure measurement

La misurazione della pressione può essere abilitata o saltata. Se abilitata, esistono diverse opzioni di sovraccampionamento. La misurazione della pressione è controllata dall'impostazione osrs p [2: 0]. Per la misura della pressione, il sovraccampionamento è possibile per ridurre il rumore. La risoluzione dei dati di pressione dipende dal filtro IIR e dall'impostazione di sovraccampionamento :

- IIR è abilitato: la risoluzione della pressione è 20 bit.
- IIR è disabilitato: la risoluzione della pressione è di $16 + (osrs\ p-1)$ bit, ad es. 18 bit quando *osrs pis* è impostato su '3'.

Temperature measurement

La misurazione della temperatura può essere abilitata o saltata. Saltare la misurazione potrebbe essere utile per misurare la pressione estremamente rapidamente. Se abilitato, esistono diverse opzioni di sovraccampionamento. La misurazione della temperatura è controllata dall'impostazione osrs t [2: 0]. Per la misurazione della temperatura, il sovraccampionamento è possibile per ridurre il rumore. La risoluzione dei dati di temperatura dipende dal filtro IIR e dall'impostazione di sovraccampionamento :

- IIR è abilitato: la risoluzione della pressione è 20 bit.
- IIR è disabilitato: la risoluzione della pressione è di $16 + (osrs\ p-1)$ bit, ad es. 18 bit quando *osrs pis* è impostato su '3'.

IIR Filter

Il valore di umidità all'interno del sensore non è generalmente instabile e non richiede il filtraggio. Tuttavia, la pressione ambientale è soggetta a molti cambiamenti a breve termine, causati ad es. sbattendo una porta o una finestra o soffiando il vento nel sensore. Per sopprimere questi disturbi nei dati di uscita senza causare ulteriore traffico di interfaccia e carico di lavoro del processore, il BME280 dispone di un filtro IIR interno. Riduce efficacemente la larghezza di banda dei segnali di uscita di temperatura e pressione e aumenta la risoluzione della pressione e della temperatura di uscita a 20 bit.

L'output di un successivo passaggio di misurazione viene filtrato utilizzando la seguente formula:

$$\text{data_filtered} = \frac{\text{data_filtered_old} \cdot (\text{filter_coefficient} - 1) + \text{data_ADC}}{\text{filter_coefficient}}$$

Figure 5.9: Filter Phormula

Datafilteredold sono i dati provenienti dalla memoria del filtro corrente e *dataADC* sono i dati provenienti dall'acquisizione ADC corrente. *Datafiltered* è il nuovo valore della memoria del filtro e il valore che verrà inviato ai registri di output.

Filter coefficient	Samples to reach $\geq 75\%$ of step response
Filter off	1
2	2
4	5
8	11
16	22

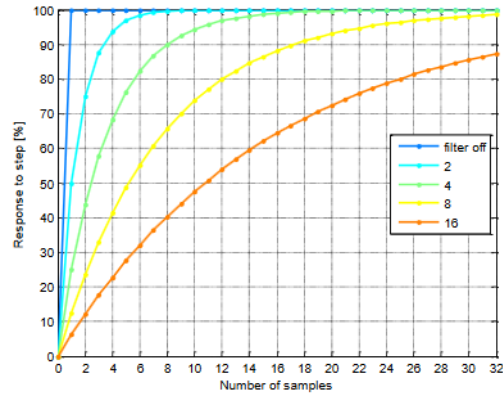


Figure 5.10: Pass Filter

Registers Structure

La struttura della memoria è composta da 16 registri a 8 bit.

Register Name	Address	bit7	bit6	bit5	bit4	bit3	bit2	bit1	bit0	Reset state
hum_lsb	0xFE				hum_lsb<7:0>					0x00
hum_msb	0xFD				hum_msb<7:0>					0x80
temp_xlsb	0xFC		temp_xlsb<7:4>		0	0	0	0	0	0x00
temp_lsb	0xFB				temp_lsb<7:0>					0x00
temp_msb	0xFA				temp_msb<7:0>					0x80
press_xlsb	0xF9		press_xlsb<7:4>		0	0	0	0	0	0x00
press_lsb	0xF8				press_lsb<7:0>					0x00
press_msb	0xF7				press_msb<7:0>					0x80
config	0xF5	t_sb[2:0]			filter[2:0]				spi3w_en[0]	0x00
ctrl_meas	0xF4	osrs_t[2:0]			osrs_p[2:0]			mode[1:0]		0x00
status	0xF3				measuring[0]			im_update[0]		0x00
ctrl_hum	0xF2						osrs_h[2:0]			0x00
calib26..calib41	0xE1...0xF0				calibration data					individual
reset	0xE0				reset[7:0]					0x00
id	0xD0				chip_id[7:0]					0x60
calib00..calib25	0x88...0xA1				calibration data					individual

Registers:	Reserved registers do not change	Calibration data	Control registers	Data registers	Status registers	Chip ID	Reset
Type:	read only	read / write	read only	read only	read only	read only	write only

Figure 5.11: Registers Structure

- Registro 0xD0 **”id”** Il registro ”id” contiene l’identificativo del chip numberchip id [7: 0], che è 0x60. Questo numero può essere letto non appena il dispositivo ha terminato il reset all’accensione.
- Registro 0xE0 **”reset”** Il registro ”reset” contiene il reset della parola di reset software [7: 0]. Se il valore 0xB6 viene scritto nel registro, il dispositivo viene resettato utilizzando la procedura completa di ripristino dell’accensione. La scrittura di valori diversi da 0xB6 non ha alcun effetto. Il valore di lettura è sempre 0x00.
- Registro 0xF2 **”ctrl hum”** Il registro ”ctrl hum” imposta le opzioni di acquisizione dei dati di umidità del dispositivo. Le modifiche a questo registro diventano effettive solo dopo un’operazione di scrittura su ”ctrl meas”.
- Registro 0xF3 **”stato”** Il registro ”stato” contiene due bit che indicano lo stato del dispositivo.
- Registro 0xF4 **”ctrl meas”** Il registro ”ctrl meas” imposta le opzioni di acquisizione dei dati di pressione e temperatura del dispositivo. Il registro deve essere scritto dopo aver modificato ”ctrl hum” affinché le modifiche diventino effettive.
- Registro 0xF5 **”config”** Il registro ”config” imposta le opzioni therate, filter e interface del dispositivo. Le scritture sul registro ”config” in modalità normale possono essere ignorate. Nelle scritture in modalità sleep non vengono ignorate.
- Registro 0xF7 ... 0xF9(msb, lsb, xlsb) Il registro ”press” contiene i dati di uscita della misura della pressione grezza su [19: 0].
- Registro 0xFA ... 0xFC(msb, lsb, xlsb) Il registro ”temp” contiene i dati di uscita della misurazione della temperatura grezza [19: 0].
- Registro 0xFD ... 0xFE(msb, lsb) Il registro ”temp” contiene i dati di uscita della misurazione della temperatura grezza [19: 0].

5.2.2 VELM7700

Light Measurement

VEML7700 contiene sei codici di comando effettivi a 16 bit per il controllo delle operazioni, l'impostazione dei parametri e il buffering dei risultati. Tutti i registri sono accessibili tramite comunicazione I2C. La Figura 7 mostra la comunicazione I2C di base con VEML7700. L'interfaccia I2C integrata è compatibile con le modalità I2C "standard" e "veloce": da 10 kHz a 400 kHz. Intervallo di livello I2C H = da 1,3 V a 3,6 V.

Registers Structure

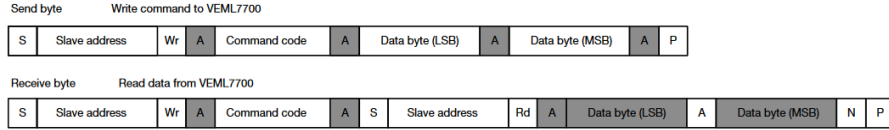


Figure 5.12: Register Structure

- Registro 0x00h: Serve per la configurazione delle misure della luce ambientale.

Bit [12 : 11]: Bit di set per la sensibilità del sensore.

Bit [9 : 6]: Bit per set del tempo di integrazione.

Bit [5 : 4]: Bit Settaggio persistenza.

COMMAND CODE	REGISTER NAME	BIT	FUNCTION / DESCRIPTION	R / W
00	reserved	15 : 13	Set 000b	W
	ALS_SM	12 : 11	Sensitivity mode selection 00 = ALS sensitivity x 1 01 = ALS sensitivity x 2 10 = ALS sensitivity x (1/8) 11 = ALS sensitivity x (1/4)	W
	reserved	10	Set 0b	W
	ALS_IT	9 : 6	ALS integration time setting 1100 = 25 ms 1000 = 50 ms 0000 = 100 ms 0001 = 200 ms 0010 = 400 ms 0011 = 800 ms	W
	ALS_PERS	5 : 4	ALS persistence protect number setting 00 = 1 01 = 2 10 = 4 11 = 8	W
	reserved	3 : 2	Set 00b	W
	ALS_INT_EN	1	ALS interrupt enable setting 0 = ALS INT disable 1 = ALS INT enable	W
	ALS_SD	0	ALS shut down setting 0 = ALS power on 1 = ALS shut down	W
01	ALS_WH	15 : 8	ALS high threshold window setting (MSB)	W
		7 : 0	ALS high threshold window setting (LSB)	W
02	ALS_WL	15 : 8	ALS low threshold window setting (MSB)	W
		7 : 0	ALS low threshold window setting (LSB)	W
04	ALS	15 : 8	MSB 8 bits data of whole ALS 16 bits	R
		7 : 0	LSB 8 bits data of whole ALS 16 bits	R
05	reserved	3 : 2	Set 00b	R
06	ALS_IF_L	15	ALS crossing low threshold INT trigger level	R
	ALS_IF_H	14	ALS crossing high threshold INT trigger level	R
	reserved	13 : 0		

Figure 5.13: Register Structures 2

5.2.3 VEML6070

UV Measurement

VEML6070 contiene un registro comandi a 8 bit scritto tramite il bus I2C. Tutte le operazioni possono essere controllate dal registro di comando. La semplice struttura di comando consente agli utenti di programmare facilmente le impostazioni operative e di leggere i dati da VEML6070. Le sezioni bianche indicano l'attività dell'host e le sezioni grigie indicano il riconoscimento di VEML6070 dell'attività dell'host.

Receive byte → read data from UVS

S	Slave address	Rd	A	Light data (1 byte)	A	P
---	---------------	----	---	---------------------	---	---

Send byte → write command to UVS

S	Slave address	Wr	A	Command (1 byte)	A	P
---	---------------	----	---	------------------	---	---

S = start condition

P = stop condition

A = acknowledge

Shaded area = VEML6070 acknowledge

Figure 5.14: UV Registers 1

5.2.4 VELML6075

Il VEML segue uno schema di registri leggermente diverso dal fratello minore VEML6070 in quanto ha a disposizione un'altra misura, quella degli *UVB*.

COMMAND CODE	DATE BYTE LOW / HIGH	REGISTER NAME	R / W	DEFAULT VALUE	FUNCTION DESCRIPTION
00h	L	UV_CONF	R / W	0x00	UV integration time, function enable and disable
	H	Reserved	R / W	0x00	Reserved
01h	L	Reserved	R / W	0x00	Reserved
	H	Reserved	R / W	0x00	Reserved
02h	L	Reserved	R / W	0x00	Reserved
	H	Reserved	R / W	0x00	Reserved
03h	L	Reserved	R / W	0x00	Reserved
	H	Reserved	R / W	0x00	Reserved
04h	L	Reserved	R / W	0x00	Reserved
	H	Reserved	R / W	0x00	Reserved
05h	L	Reserved	R / W	0x00	Reserved
	H	Reserved	R / W	0x00	Reserved
06h	L	Reserved	R / W	0x00	Reserved
	H	Reserved	R / W	0x00	Reserved
07h	L	UVA_Data	R	0x00	UVA LSB output data
	H	UVA_Data	R	0x00	UVA MSB output data
08h	L	Dummy	R	0x00	UVB
	H	Dummy	R	0x00	UVB
09h	L	UVB_Data	R	0x00	UVB LSB output data
	H	UVB_Data	R	0x00	UVB MSB output data
0Ah	L	UVCOMP1_Data	R	0x00	UV _{comp1} LSB output data
	H	UVCOMP1_Data	R	0x00	UV _{comp1} MSB output data
0Bh	L	UVCOMP2_Data	R	0x00	UV _{comp2} LSB output data
	H	UVCOMP2_Data	R	0x00	UV _{comp2} MSB output data
0Ch	L	ID	R	0x26	Device ID LSB
	H	ID	R	0x00	Device ID MSB

Figure 5.15: UV Registers 2

5.2.5 AS7262

6 Channel Measurement

La conversione spettrale AS7262 è implementata tramite due banchi di fotodiodi per dispositivo. Il banco 1 è costituito dai dati dei fotodiodi V, G, B, Y. Bank 2 è costituito da dati dai fotodiodi G, Y, O, R. La conversione spettrale richiede il completamento del tempo di integrazione (IT in ms). Se entrambe le banche dei fotodiodi sono obbligate a completare la conversione, la seconda banca richiede un MS IT aggiuntivo. L'IT minimo per una conversione bancaria singola è 2.8 ms. Funzione ed utenti di 6 fotodiodi, quindi il dispositivo deve eseguire 2 conversioni complete (2 x Tempo di integrazione). Il processo di conversione spettrale è controllato con le impostazioni della modalità BANK come segue:

Capture Mode

- Modalità Mode 0: i dati saranno disponibili nei registri V, B, G ed Y (i registri O e R saranno zero) con conversioni che si verificano continuamente.
- Modalità BANK 1: i dati saranno essere disponibile nei registri G, Y, O ed R (i registri V e B saranno zero) con conversioni che si verificano continuamente.
- Modalità BANK 2: i dati saranno disponibili nei registri V, B, G, Y, O ed R con conversioni che si verificano continuamente. Quando l'impostazione del banco è Modalità 0, Modalità 1 o Modalità 2, il processo di conversione dei dati spettrali funziona in modo continuo, con nuovi dati disponibili dopo ogni periodo di integrazione *IT* ms.
- Modalità BANK 3: i dati saranno disponibili nei registri V, B, G, Y, O ed R in modalità One-Shot quando l'impostazione del banco è impostata su Modalità 3, il dispositivo avvia l'operazione One-Shot. Il bit DATA RDY è impostato su 1 una volta che i dati sono disponibili, a indicare che la conversione spettrale è completa in Modalità One-Shot è destinata all'uso quando è fondamentale per garantire che i risultati della conversione spettrale siano ottenuti contemporaneamente.

Dettaglio grafico delle modalità:

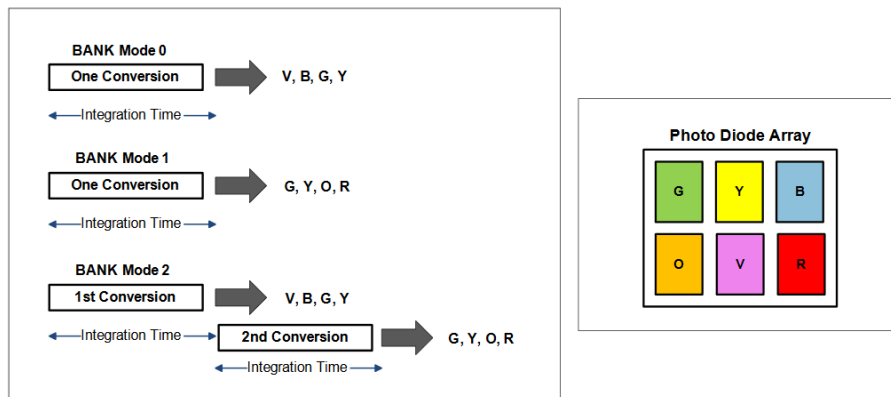


Figure 5.16: Use Mode

Registers Structure

I registri suddividono la lettura da 16 bit in due registri da 8 bit, *H* e *L* leggibili separatamente, inoltre presenta è presente anche un sensore di temperatura al fine di correggere i dati letti.

Addr	Name	<D7>	<D6>	<D5>	<D4>	<D3>	<D2>	<D1>	<D0>
Version Registers									
0x00:0x01	HW_Version	Hardware Version							
0x02:0x03	FW_Version	Firmware Version							
Control Registers									
0x04	Control_Setup	RST	INT	GAIN	Bank	DATA_RDY	RSVD		
0x05	INT_T	Integration Time							
0x06	Device_Temp	Device Temperature							
0x07	LED_Control	RSVD	ICL_DRV	LED_DRV	ICL_IND	LED_IND			
Sensor Raw Data Registers									
0x08	V_High	Channel V High Data Byte							
0x09	V_Low	Channel V Low Data Byte							
0x0A	B_High	Channel B High Data Byte							
0x0B	B_Low	Channel B Low Data Byte							
0x0C	G_High	Channel G High Data Byte							
0x0D	G_Low	Channel G Low Data Byte							
0x0E	Y_High	Channel Y High Data Byte							
0x0F	Y_Low	Channel Y Low Data Byte							
0x10	O_High	Channel O High Data Byte							
0x11	O_Low	Channel O Low Data Byte							
0x12	R_High	Channel R High Data Byte							
0x13	R_Low	Channel R Low Data Byte							
Sensor Calibrated Data Registers									
0x14:0x17	V_Cal	Channel V Calibrated Data (floating point)							
0x18:0x1B	B_Cal	Channel B Calibrated Data (floating point)							
0x1C:0x1F	G_Cal	Channel G Calibrated Data (floating point)							
0x20:0x23	Y_Cal	Channel Y Calibrated Data (floating point)							
0x24:0x27	O_Cal	Channel O Calibrated Data (floating point)							
0x28:0x2B	R_Cal	Channel R Calibrated Data (floating point)							

Figure 5.17: AS7262 Register Structure

Chapter 6

Ambiental Factor Correlation

6.1 UV

Le nuvole alterano lo spettro solare specialmente nella zona che riguarda gli *UV* e la regione del *royal blue*. Questo è perchè esso è correlato con il *clearness Index KT* che misura otticamente lo spessore delle nuvole.

Lo spettro si scosta relativamente del ± 10 percento lungo la fascia che va da 400 a 1000nm, tuttavia esistono deviazioni nella zona *UV* e nella zona del vapore acqueo.

Se si considera lo spettro nella sua integrità sono più di una le zone in cui ci sono scostamenti nello spettro tra situazioni *cloudy* e *sunny*. Tuttavia queste differenze non sono tangibili con l'obiettivo lowcost del progetto.

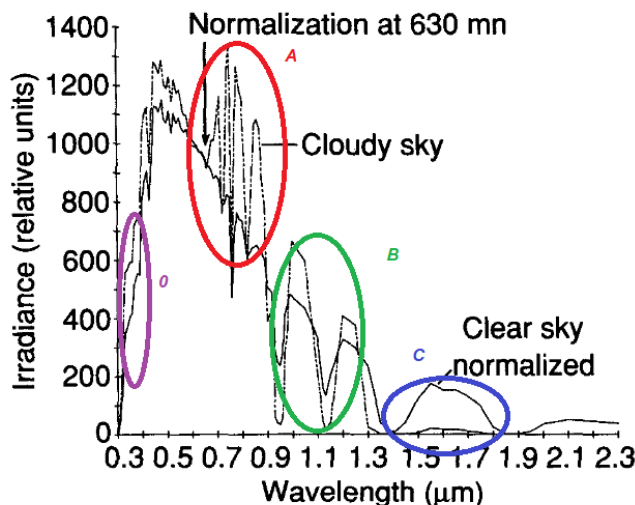


Figure 6.1: UV chart

Se andiamo ad analizzare le 4 zone possiamo constatare che:

- 0 [UVA/B region]: fornisce una importante informazione tra giornate nuvolose o limpide.
- A [Visible region]: facilmente detettabile tramite sensore di luminosità propriamente calibrato nella zona del visibile
- B and C [H_2O e CO₂ reflection region]: importante scostamento che tuttavia non riesce ad essere detettato col nostro HW *lowcost*.

Nella parte iniziale appunto, ossia nella fascia UVA esiste un forte scostamento che può essere detettato tramite il sensore *UVA*. Potrebbe essere considerata la seconda zona di correlazione tra i due fenomeni che danno origini a profondi livelli diversi di irraggiamento.

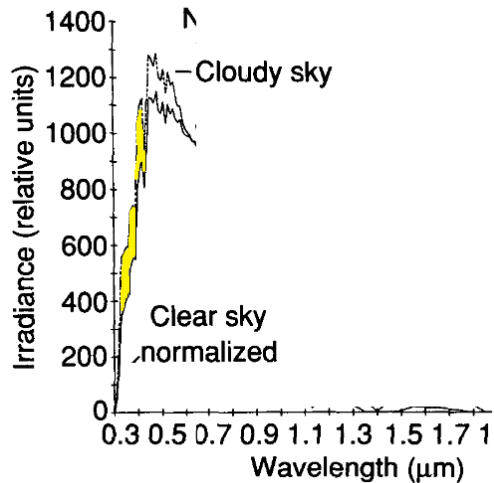


Figure 6.2: Detail 1

Per concludere quindi possiamo classificare con 1 e 2 le regioni su cui risulta più intelligente lavorare a livello di sensoristica con gli strumenti a disposizione.

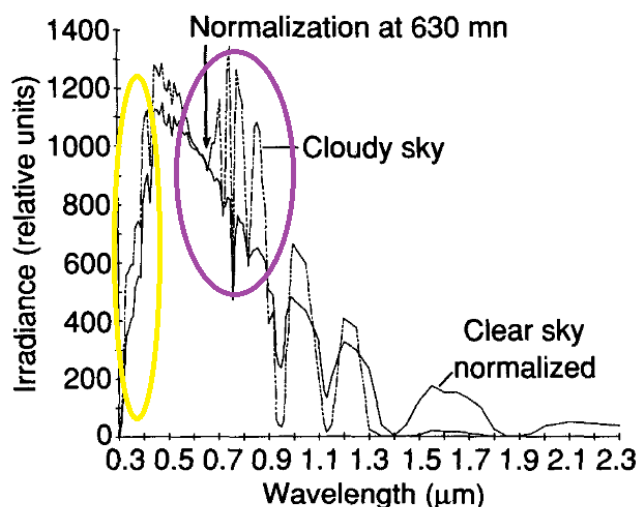


Figure 6.3: Detail 2

Da numerosi paper visti pare evidente come lo spettro ricevuto durante un cielo limpido o uno nuvoloso presenti una netta differenza nel momento in cui si va ad analizzare lo spettro nella zona *sub 400nm*.

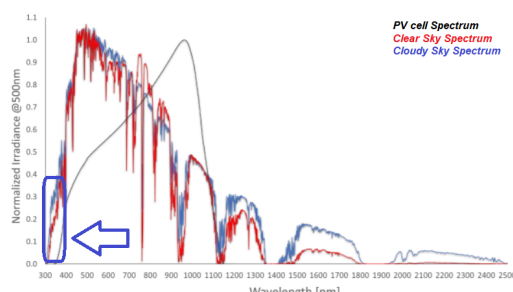


Figure 6.4: Detail 3

Esistono più marcate differenze anche nell'infrarosso ma non sono facilmente detettabili con un hardware low cost.

6.2 Temperature

La temperatura può influenzare il tipo di precipitazione che si forma. Se le condizioni atmosferiche sono tali da provocare precipitazioni e la temperatura è al di sopra del punto di congelamento, potrebbe formarsi della pioggia. Se la temperatura è inferiore al punto di congelamento, potrebbe formarsi neve. Il tipo di precipitazione è anche influenzato dalla temperatura negli strati di atmosfera attraverso cui cade la precipitazione. Ad esempio, se la precipitazione inizia a cadere dalle nuvole come neve e poi passa attraverso gli strati più caldi dell'atmosfera, si trasforma in pioggia. Se la pioggia passa attraverso strati d'aria più freddi, potrebbe formarsi la grandine. A volte, la precipitazione non cadrà affatto. Se gli strati d'aria sono abbastanza asciutti, l'umidità può evaporare prima di raggiungere il suolo.

Esiste una correlazione molto forte tra temperatura e la potenza che viene generata per mezzo di una cella solare.

Le celle solari infatti variano la loro *output power* sotto i cambiamenti di temperatura. Il cambiamento di temperatura influirà sulla potenza prodotta dalle celle. La tensione dipende molto dalla temperatura e un aumento della temperatura ridurrà la tensione massima e sposterà il punto di lavoro.

Importante quindi è misurare le due caratteristiche, ossia tensione e corrente per capire la variazione di potenza prodotta.

Non è necessario misurare solo la corrente perché essa non presenta correlazione con la temperatura, ma è necessario esaminare anche la tensione che la cella produce.

Questo sistema non funge solamente da dato addizionale da inserire come variabile esogena nel predittore, ma fungerà anche da estimatore della variazione di potenza riportata alla temperatura.

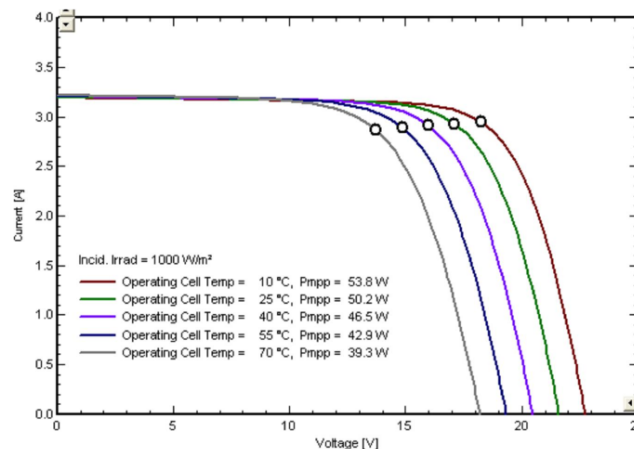


Figure 6.5: V vs I Chart

Come si può intuire dalla figura, un aumento della temperatura a carico e irraggiamento fisso produce una diminuzione tangibile della tensione della cella, ma nessun cambiamento nella corrente.

6.3 Humidity and DewPoint

6.3.1 Relative Humidity

Il calore conduce all'aria sopra la superficie, che causa un causando un sistema instabile. L'aria salirà quindi a causa di un gradiente di pressione verticale, e quando l'aria si raffredda con l'altitudine, l'umidità relativa aumenta, dato che tutti gli altri fattori sull'umidità sono costanti. Quando l'umidità relativa raggiunge il 100% l'aria diventa satura e si formeranno delle nuvole. Questo è il meccanismo per cui si formano le nuvole nella nostra atmosfera.

Citando:

Relation between Cloud Cover and Relative Humidity [George Hannon, Miker Foser, 1998]

I conclude that there is a relationship between the relative humidity at the surface and the cloud cover. And because it's there throughout every season, I also conclude that it does not matter what the cloud type is.

Anche se la correlazione diretta non esiste per tutti i mesi tuttavia questo elemento alla base di un sistema possibile di reti neurali fornisce un input addizionale per il predittore.

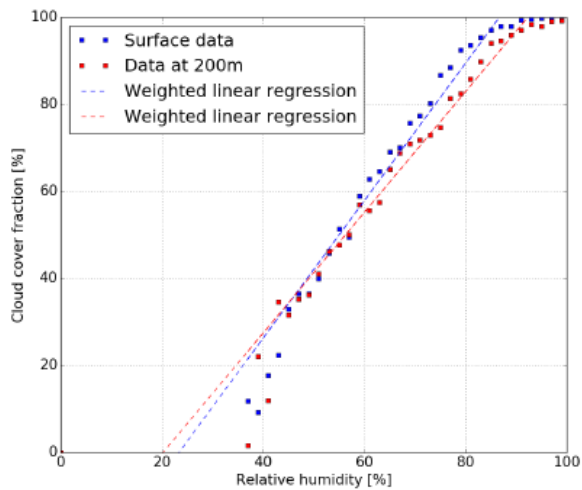


Figure 6.6: HR Correlation

6.3.2 DewPoint

Il punto di rugiada è un indicatore migliore dell'umidità rispetto all'umidità relativa poiché non è una percentuale dipendente dalla temperatura. Il punto di rugiada è la temperatura alla quale l'aria dovrebbe essere raffreddata per saturarsi. Sotto il punto di rugiada, l'acqua si condenserà dall'aria sulle superfici. Al mattino presto, le superfici in erba saranno ricoperte di acqua se la temperatura notturna è scesa sotto il punto di rugiada. Quando l'umidità è alta, la temperatura del punto di rugiada è solo di pochi gradi sotto, o uguale alla temperatura dell'aria. In luoghi asciutti, come i deserti, la temperatura dell'aria può essere di 50 o 60 gradi sopra il punto di rugiada. Generalmente il punto di rugiada è un indicatore più affidabile dell'umidità rispetto all'umidità relativa poiché il punto di rugiada non viene modificato da una variazione della temperatura dell'aria e non oscilla molto durante l'arco della giornata.

Calcoli

Per calcolare la temperatura di DewPoint è possibile approssimare la curva di DewPoint con questa linearizzazione.

- 1-Calcolo del vapore di saturazione: $E_s = 6.11 * 10^{\frac{7.5*T_c}{237.7+T_c}}$
- 2- Pressione di vapore effettiva nell'aria: $E = \frac{R_h * E_s}{100}$
- 3- DewPoint = $\frac{-430.22 + 237.7 * \ln(E)}{-\ln(E) + 19.08}$

dove H_r è la umidità relativa in percentuale mentre T_s è la temperatura in gradi *Celsius*.

Tratto da un ulteriore *paper*

Cloud Coverage vs Dew Point [George Hannon, Miker Foser, 1998]

When the dew point is higher there is more clouds.

The higher the dew point is the more like it was close to the temperature. The closer the temperature is to the dew point the higher more water vapor in the air. The water vapor condenses on dust to form clouds.

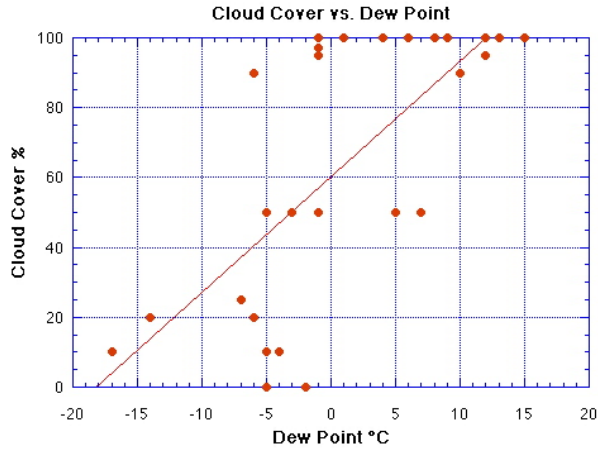


Figure 6.7: Cloud Cover vs DP

Quando il punto di rugiada è più alto ci sono più nuvole ed inoltre più alto è il punto di rugiada, più è vicino alla temperatura ambiente. Quindi il vapore acqueo si condensa sulla polvere per formare nuvole.

Chapter 7

Output Communication

L'importanza di poter scambiare pacchetti dati con l'esterno è un punto fondamentale al fine di poter divulgare la previsione effettuata.

Oltre ad essere uno strumento di *Output* la comunicazione con l'esterno può essere importante anche per recuperare dati che mancano in una soluzione piccola e low cost come la pcb che si vuole sviluppare.

Oggi potrebbe essere anche un valore aggiunto la possibilità di avere come collegamento l'alimentazione e comunicare attraverso un sistema senza fili.

Le modalità di comunicazione possono essere per quanto riguarda il *CM3*:

- Wireless
- Bluetooth
- Ethernet

Il Wifi come soluzione migliore può essere analizzata ma deve presentera la particolarità di avere un range di azione abbastanza elevato da permettere lo scambio di pacchetti tra gateway posti a distanza considerevole data la facile implementazione del sensore sulle falde del tetto.

La connettività non nativa del CM3 riguardo al Wifi ci obbliga a valutare una soluzione comoda e disponibile immediatamente visto anche i tempi relativamente brevi che affliggono il progetto.

La scelta può ricadere su un modulo confermo alla IEEE802.11 b/g/n che è basato su un chip *Ralink RT5370N* ed è supportato così dal Kernel Linux. Può essere pilotato direttamente da periferica usb e viene alimentato a 3.3v.

7.1 RT5370



Figure 7.1: RT 5370

L'RT5370 è un chip singolo altamente integrato di tipo MAC / BBP e 2,4 GHz RF / PA / LNA con supporto di frequenza PHY a 150Mbps. Soddisfa pienamente la specifica IEEE 802.11n e IEEE 802.11 b / g offre una ricca connettività wireless ad elevati standard. L'architettura RF ottimizzata e gli algoritmi sofisticati garantiscono prestazioni eccellenti e bassi consumi energetici. Il design MAC intelligente implementa un motore DMA ad alta efficienza e acceleratori di elaborazione dati hardware senza sovraccaricare il processore. L'RT5370 è progettato per supportare funzionalità basate su standard nelle aree di sicurezza, qualità del servizio e regolamentazione internazionale, offrendo agli utenti finali le massime prestazioni in qualsiasi momento e in ogni circostanza.

Disponibile in 2 versioni:

- WIFI-2: necessita di una antenna supplementare di tipo i-PEX MHF

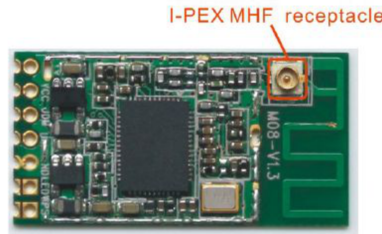


Figure 7.2: EXT Antenna

- WIFI-2-IA: non necessita di nessuna antenna esterna in quanto l'antenna è contenuta sulla board.



Figure 7.3: Internal Antenna

7.1.1 Block Diagram

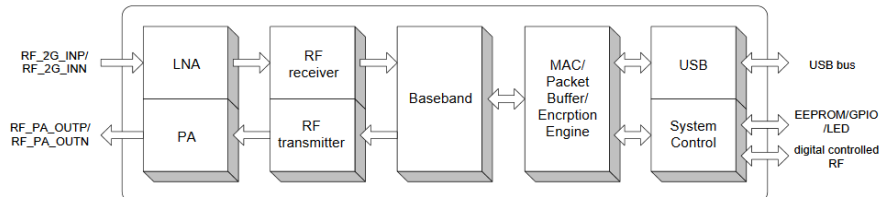


Figure 7.4: RT5370 Block Diagram

La scelta ricadrebbe nel caso nel modello con antenna, schematizzato nel seguente schema a blocchi:

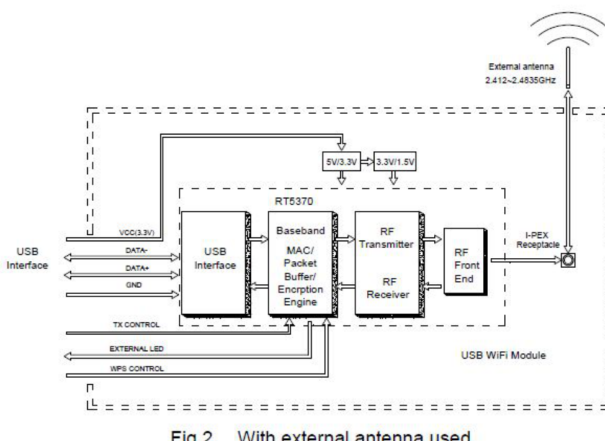


Figure 7.5: RT5370 Block Diagram with Antenna

7.1.2 Register

Il pacchetto dei registri si pone come un classico pacchetto dei registri per un adattatore Wifi:

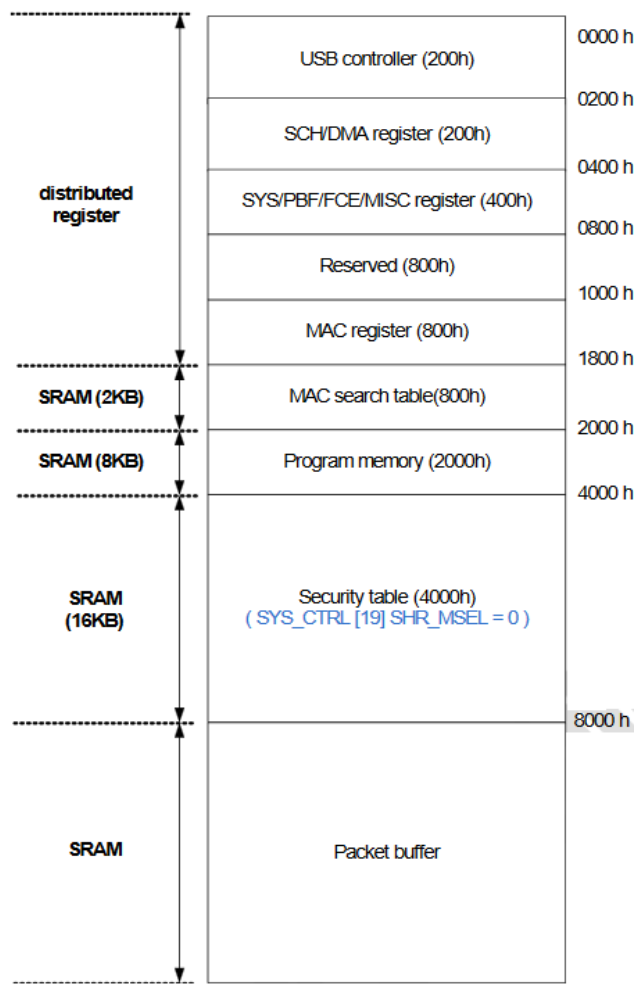


Figure 7.6: RT5370 Block Diagram

Chapter 8

CM3

Recentemente è stata presentata la versione 3 della Compute Module ispirata all'architettura della Raspberry PI 3. Questa scheda è pensata principalmente per un utilizzo industriale e per essere installata in sistemi embedeed. Questa soluzione basata sul processore Broadcom BCM2837 (1.2GHz, 64bit, quad-core, 1GB Ram) permette di avere un modulo molto più performante del precedente (presentato nel 2014 e basato sul processore BCM2835) mantenendo, in gran parte, la retro compatibilità col Compute Module 1. La versione standard del CM3 è dotata di un modulo di memoria eMMC da 4GB che permette di ospitare il sistema operativo mentre la versione Lite è sprovvista di tale memoria e quindi sarà necessaria una memoria SD esterna come avviene per la Raspberry PI 3.



Figure 8.1: Raspberry CM3

Il Compute Module 3 è molto compatto, le sue dimensioni sono quelle di una classica memoria DDR2 SoDIMM. Questo form factor permette l'installazione del modulo tramite un socket SoDIMM montato sul proprio pcb.

8.1 CM3 Regular vs Lite

Disponibile anche in versione Lite non presenta l'equipaggiamento con memoria eMMC ma gode solamente della possibilità di avere una SD card.

La versione CM3l presenta 30mm di altezza a fronte dei 31mm della regular e defice nella possibilità di assorbire alte richieste di corrente per lunghi periodi. Il Pinout rimane tuttavia invariato .

Disponibile fondamentalmente in 2 versioni

8.2 Hardware Periphery

La parte Hardware del CM3 si compone di :

- 48x GPIO
- 2x I2C
- 2x SPI
- 2x UART
- 2x SD/SDIO
- 1x HDMI 1.3a
- 1x USB2 HOST/OTG
- 1x DPI (Parallel RGB Display)
- 1x NAND interface (SMI)
- 1x 4-lane CSI Camera Interface (up to 1Gbps per lane)
- 1x 2-lane CSI Camera Interface (up to 1Gbps per lane)
- 1x 4-lane DSI Display Interface (up to 1Gbps per lane)
- 1x 2-lane DSI Display Interface (up to 1Gbps per lane)

8.3 Software Periphery

- ARMv6 (CM1) or ARMv7 (CM3, CM3L) Instruction Set
- Mature and stable Linux software stack
 - Latest Linux Kernel support
 - Many drivers upstreamed
 - Stable and well supported userland
 - Full availability of GPU functions using standard APIs

8.4 Mechanical Characteristics

I moduli di calcolo sono conformi alle specifiche meccaniche JEDEC MO-224 per moduli SODIMM a 200 pin DDR2 (1,8 V) (con l'eccezione che i moduli CM3, CM3L hanno un'altezza di 31 mm anziché 30 mm di CM1) e pertanto potrebbero **NON** funzionare con molti DDR2 SODIMM. Il SODIMM è stato scelto come un modo per fornire le connessioni a 200 pin usando uno standard, connettore facilmente disponibile e di basso costo compatibile con la fabbricazione di PCB a basso costo. L'altezza massima del componente sul lato inferiore del modulo di calcolo è 1,2 mm. L'altezza massima del componente sul lato superiore del modulo di calcolo è 1,5 mm. Lo spessore del PCB del modulo di calcolo è 1,0 mm +/- 0,1 mm. Si noti che la posizione e la disposizione dei componenti sul Modulo possono variare leggermente a causa di revisioni per costi e considerazioni di produzione; tuttavia, le massime altezze dei componenti e lo spessore del PCB saranno mantenute come specificate.

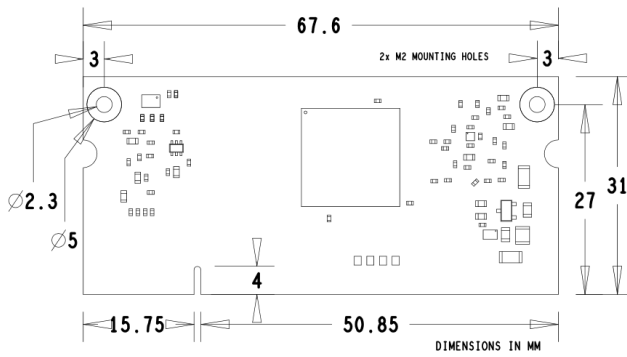


Figure 8.2: CM3 Dimensional Draw

8.5 Block Diagram

Interessante la descrizione *Block Diagram* del CM3 sui suoi 200pin.

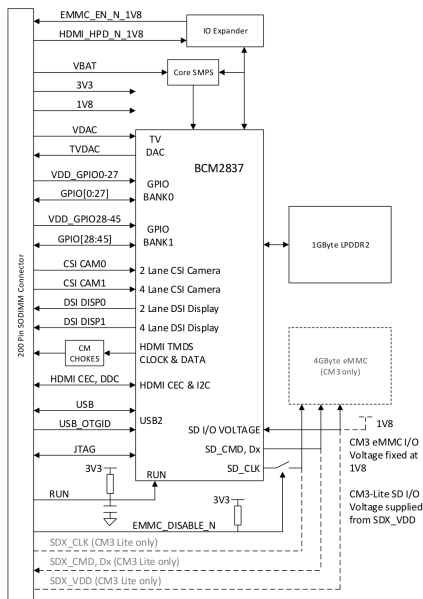


Figure 8.3: Block Diagram

Enorme il numero di GPIO pari a 54 inoltre sono possibili comunicazioni con interfaccia CSI (solo video seriale) possibilità di HDMI e uscita video composita TVDAC.

Il modulo CM3 di Raspberry non è utilizzabile in modalità *StandAlone* per cui per poter approcciare il suo utilizzo è necessario valutarlo nel contesto di una Dev Kit Board.

Queste Dev Kit Board sono prodotte da diversi brand ma ne esiste una ufficiale distribuita da *Raspberry*.

8.6 First Start Configuration

Al fine di poter rendere il modulo CM3 operativo si rivela necessario, partendo da una unità usata poter effettuare la formattazione e una nuova installazione pulita.

Purtroppo non godendo di una capacità di archiviazione elevata, ossia 4gb è necessaria l'installazione di una distribuzione *Linux* minimale e custom, escludendo tutti i pacchetti non necessari.

Questo perchè una installazione classica appesantirebbe il dispositivo che gestendo un linguaggio *scripting* risulta già particolarmente lento.

Le distribuzioni che possono essere installate sono molteplici, tuttavia la soluzione più efficace si rivela l'installazione della *Raspbian Lite* senza *GUI*.

Pin Name	DIR	Voltage Ref	PDN ^a	State	If Unused	Description/Notes
<i>RUN and Boot Control (see text for usage guide)</i>						
RUN	I	3V3 ^b		Pull High	Leave open	Has internal 10k pull up
EMMC.DISABLE.N	I	3V3 ^b		Pull High	Leave open	Has internal 10k pull up
EMMC.EN.N.IV8	O	1V8		Pull High	Leave open	Has internal 2k pull up
<i>GPIO</i>						
GPIO[27:0]	I/O	GPIO0-27.VDD		Pull or Hi-Z ^c	Leave open	GPIO Bank 0
GPIO[45:28]	I/O	GPIO28-45.VDD		Pull or Hi-Z ^c	Leave open	GPIO Bank 1
<i>Primary SD Interface^{d,e}</i>						
SDX.CLK	O	SDX.VDD		Pull High	Leave open	Primary SD interface CLK
SDX.CMD	I/O	SDX.VDD		Pull High	Leave open	Primary SD interface CMD
SDX.Dx	I/O	SDX.VDD		Pull High	Leave open	Primary SD interface DATA
<i>USB Interface</i>						
USB.Dx	I/O	-	Z		Leave open	Serial interface
USB.OTGID	I	3V3			Tie to GND	OTG pin detect
<i>HDMI Interface</i>						
HDMILSCL	I/O	3V3 ^b	Z ^f		Leave open	DDC Clock (5.5V tolerant)
HDMILSIDA	I/O	3V3 ^b	Z ^f		Leave open	DDC Data (5.5V tolerant)
HDMILCEC	I/O	3V3	Z		Leave open	CEC (has internal 27k pull up)
HDMILCLKx	O	-	Z		Leave open	HDMI serial clock
HDMILDx	O	-	Z		Leave open	HDMI serial data
HDMILHPD.N.IV8	I	1V8		Pull High	Leave open	HDMI hotplug detect
<i>CAM0 (CSI0) 2-lane Interface</i>						
CAM0.Cx	I	-	Z		Leave open	Serial clock
CAM0.Dx	I	-	Z		Leave open	Serial data
<i>CAM1 (CSI1) 4-lane Interface</i>						
CAM1.Cx	I	-	Z		Leave open	Serial clock
CAM1.Dx	I	-	Z		Leave open	Serial data
<i>DSI0 (Display 0) 2-lane Interface</i>						
DSI0.Cx	O	-	Z		Leave open	Serial clock
DSI0.Dx	O	-	Z		Leave open	Serial data
<i>DSI1 (Display 1) 4-lane Interface</i>						
DSI1.Cx	O	-	Z		Leave open	Serial clock
DSI1.Dx	O	-	Z		Leave open	Serial data
<i>TV Out</i>						
TVDAC	O	-	Z		Leave open	Composite video DAC output
<i>JTAG Interface</i>						
TMS	I	3V3	Z		Leave open	Has internal 50k pull up
TRST_N	I	3V3	Z		Leave open	Has internal 50k pull up
TCK	I	3V3	Z		Leave open	Has internal 50k pull up
TDI	I	3V3	Z		Leave open	Has internal 50k pull up
TDO	O	3V3	O		Leave open	Has internal 50k pull up

Figure 8.4: Pinout Detail

Con un peso di 380mb e 1080mb rispettivamente da installata è la distro che occupa meno risorse fisiche del sistema.

- Formattazione

La prima fase riguarda la formattazione del dispositivo e avviene in ambiente windows scaricando lo specifico applicativo **RPiBoot.exe**.

Una volta entrato in comunicazione il CM3 viene riconosciuto come una normale periferica esterna e quindi è possibile formellarla in **FAT32**.

- Flashing

Così successivamente è possibile installare, una volta estratta, la distro di Linux che così sarà scritta sulla EMMC. Una volta installata occupa 1080mb sulla memoria flash.

- Package Installation

E' necessario snellire il SO utilizzando e installando i pacchetti strettamente necessari.

In sequenza sono stati installati:

LXQt - The Lightweight Qt Desktop Environment: Desktop minimale

Synaptic - App Installer: Gestore e installatore di APP

Spider - Python IDE: Ambiente di sviluppo per linguaggio Python

Pandas - Data Analysis Library: Addon per la gestione di dati

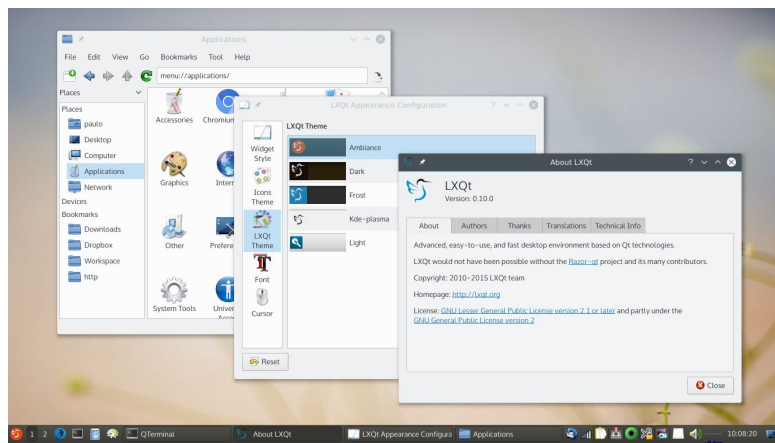


Figure 8.5: LXQT

Chapter 9

Dev Board Prototyping

La prima analisi dell'hardware non che del software è stata effettuata utilizzando la board fornita dal dipartimento DACD.

La board ospita 120 GPIO e una porta HDMI , USB e due camera host.



Figure 9.1: Dev Kit

Chapter 10

Math Models

10.1 Naive Models

10.1.1 Persistence

Persistence model uses the previous day (or the corresponding day in the previous week) as a prediction.

From: Big Data Application in Power Systems, 2018

Il modello di persistenza è spesso usato come riferimento per determinare lo skill Factor. È utile sapere se un modello di previsione fornisce risultati migliori di qualsiasi modello di riferimento banale, che è il modello di persistenza.

Il modello di persistenza considera che la radiazione solare a $t + 1$ come uguale alla radiazione solare a t inoltre oresume che le condizioni atmosferiche siano stazionarie. È anche chiamato ***naive predictor***.

Possiamo dunque come ipotesi affermare che:

$$G_{t+1} = G_t$$

La sua precisione diminuisce con l'ampliarsi dell'orizzonte temporale e generalmente non è una applicazione che si utilizza per *forecast* a più di 1 ora.

Una tecnica comune più utilizzata nelle previsioni solari è Smart Persistence. Questo presuppone l'energia solare rimarrà costante nel tempo. In un dato momento t , la Persistenza predice nel futuro h minuti avanti al punto temporale $t + h$ come l'energia fotovoltaica misurata in t . Pertanto, siccome la persistenza segue $PV(t+h) = PV(t)$. Il modello di previsione della persistenza è preciso sugli orizzonti vicini, ma il l'accuratezza diminuisce all'aumentare dell'orizzonte temporale.

Smart Persistence è una versione migliorata di Persistenza che presuppone che le condizioni del cielo rimarranno costante (invece di irradianza stessa). L'algoritmo di previsione prevede la radiazione solare attuale come il prodotto dell'attuale rapporto di cielo sereno (K_t) e radiazione di cielo sereno (I_{cs}) nel punto previsto. È ampiamente usato come linea di base per la convalida di modelli più complessi ed è abbastanza preciso negli orizzonti a breve termine.

$$G_{t+1} = G_t \frac{G_{t+1}^{clearsky}}{G_t^{clearsky}}$$

Numerosi studi dimostrano l'efficacia di questa previsione semplice: la persistenza. La persistenza è estremamente dettagliata e gli autori di diversi *paper* scrivono:

It has been found that for short time horizons, beating persistence models is a difficult task [...]

e hanno dimostrato che, spesso, la persistenza è il miglior metodo da usare per short-casting (1 ora) e ora casting (1h-6h). In diversi studi, la semplice persistenza consente di ottenere risultati molto buoni per i quali la differenza in termini di errore di previsione è ottim. Per quanto riguarda il confronto tra apprendimento automatico e persistenza smart, questa differenza è ancora minore. Per condizioni di cielo sereno stabile, i metodi non lineari migliorano leggermente la persistenza smart. Per condizioni instabili del cielo, la discrepanza tra i metodi di apprendimento della macchina e i modelli semplici è più 155 pronunciata con una differenza media del 2% nRMSE.

In conclusione, sembra che la persistenza dovrebbe fornire una previsione interessante . Tuttavia, è da tenere presente che le dinamiche atmosferiche hanno un'importanza maggiore e non possono essere eliminate dai predittori senza influire sulle loro prestazioni, specialmente quando l'orizzonte temporale di previsione è maggiore di 1 ora. Quindi, in teoria, questo tipo di previsione basata sulla persistenza del fenomeno è dedicato agli orizzonti molto brevi e non sarà mai potente quanto i modelli basati su altre dinamiche atmosferiche.

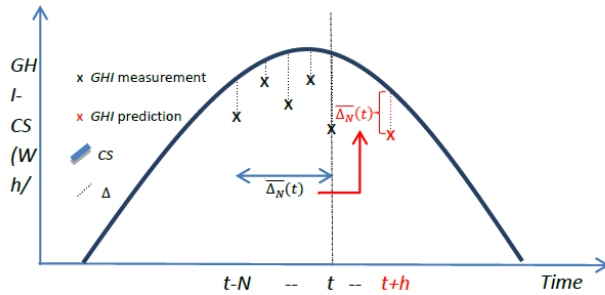


Figure 10.1: Persistence Model

10.2 Machine Learning Models

10.2.1 Arma

Auto Regressive Mobile Average (ARMA) - Il modello ARMA è un modello predittivo con due parti separate, quella auto regressiva e quella media mobile. Questo modello è in grado di prevedere i valori futuri delle serie temporali da una combinazione di valori passati delle serie temporali e un rumore bianco:

$$\widehat{CSI}(t + h) = \varepsilon_t + \sum_{i=0}^p \varphi_i \cdot CSI(t - i) + \sum_{i=0}^q \theta_i \cdot \varepsilon(t - i)$$

Figure 10.2: Arma Phormula

$CSI(t + h)$ la serie temporale dell'indice di cielo sereno al tempo $t + h$, φ e θ i parametri della parte autoregressiva e media mobile dedotta da un metodo di minimi quadrati, p e q sono gli ordini del modello e $\varepsilon(t)$ è un termine di errore distribuito come un rumore bianco gaussiano per il tempo t .

10.2.2 Multi-Layer Perceptron (MLP)

L'MLP è un tipo di rete neurale artificiale, in questa rete un MLP feed forward con due strati (uno nascosto e uno strato di uscita) viene utilizzato con, in input, le serie temporali di irradiazione solare [9]. La dimensione della matrice di input è definita in base ai risultati del metodo reciproco automatico applicato ai dati solari. La formula matematica per un MLP con uno strato nascosto di m neuroni, un neurone di uscita e le variabili di input p è una funzione descritta da:

$$\widehat{CSI}(t + h) = \sum_{j=1}^m \omega_{j,s} \cdot (g \cdot \left(\sum_{i=0}^{n-1} \omega_{i,j} \cdot CSI(t - j) + b_j \right) + b_s$$

Figure 10.3: MLP Phormula

con CSI il vettore di input dell'indice di cielo sereno costituito dai valori di n variabili, $CSI(t + h)$ il vettore di uscita con i valori previsti del modello, b_J il bias del neurone nascosto J e $\omega(i, j)$ il peso influenzato all'ingresso misurato $CSI(t)$. g è la funzione di trasferimento dei neuroni nascosti, b_s la polarizzazione del neurone di uscita e $\omega(j, s)$ il suo peso influenzato dall'output del neurone nascosto j . L'ottimizzazione dell'MLP viene effettuata con una tecnica classica: vengono testate diverse configurazioni con un numero diverso di nodi nascosti (con un numero di nodi nascosti variabile tra 3 e $n + 2$) e viene selezionato il più efficiente.

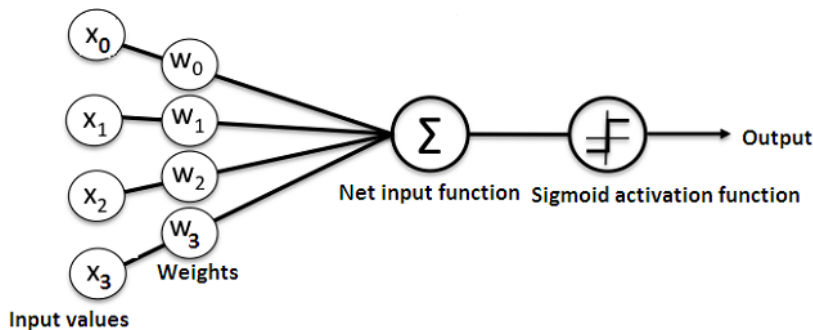


Figure 10.4: MLP Graph

10.2.3 Decision Trees

Gli alberi decisionali basati sulle regole "If-Then" sono uno dei metodi più popolari utilizzati nell'apprendimento automatico per la classificazione, poiché offrono risultati che possono essere facilmente interpretati. Pertanto, questo approccio ottiene serie ordinate di regole If-Then per la previsione che producono modelli comprensibili. Negli ultimi anni, gli algoritmi di apprendimento che generano alberi decisionali per i problemi di classificazione sono stati estesi per prevedere i valori degli attributi quando sono numerici. Queste estensioni hanno portato ad alberi di regressione. Un albero di regressione (RT) è un albero decisionale in cui i nodi foglia sono stati impostati come modelli di regressione e, pertanto, è possibile prevedere valori numerici continui.

Esistono fondamentalmente due tipologie di alberi decisionali (RT-boosted e RT-bagged). Negli RT, gli alberi successivi danno maggior peso ai punti erroneamente predetti dai predittori precedenti. Alla fine, viene presa una votazione ponderata per la previsione. Nel bagged, gli alberi successivi non dipendono da alberi precedenti, ciascuno dei quali è costruito indipendentemente utilizzando un campione bootstrap del set di dati. Alla fine, viene presa una votazione a maggioranza semplice per la previsione. Il metodo di potenziamento consiste nell'assemblare deboli classificatori RT e prendere la media delle previsioni al fine di migliorare l'efficienza. In questo caso un predittore debole è un semplice albero di regressione a divisione singola. La tecnica principale è che gli alberi successivi danno più pesi ai dati che hanno una cattiva previsione nel punto precedente, e al termine della simulazione, un voto ponderato per la previsione.

10.2.4 Random forest

Breiman ha proposto il metodo random forest, che aggiungono un ulteriore livello di casualità al bagging. Oltre a una costruzione per ogni albero che utilizza un campione di dati bootstrap differente, le foreste casuali modificano la modalità di costruzione degli alberi di regressione. Negli alberi standard, ogni nodo viene suddiviso usando la migliore divisione tra tutte le variabili. In una foresta casuale, il set di dati è suddiviso equamente in campioni ma ciascun albero di regressione cresce in modo diverso, ogni nodo viene diviso usando il migliore tra un sottogruppo di predittori scelti casualmente su quel nodo. Questo miglioramento da casualità conferisce robustezza al modello e riduce i rischi di over-training.

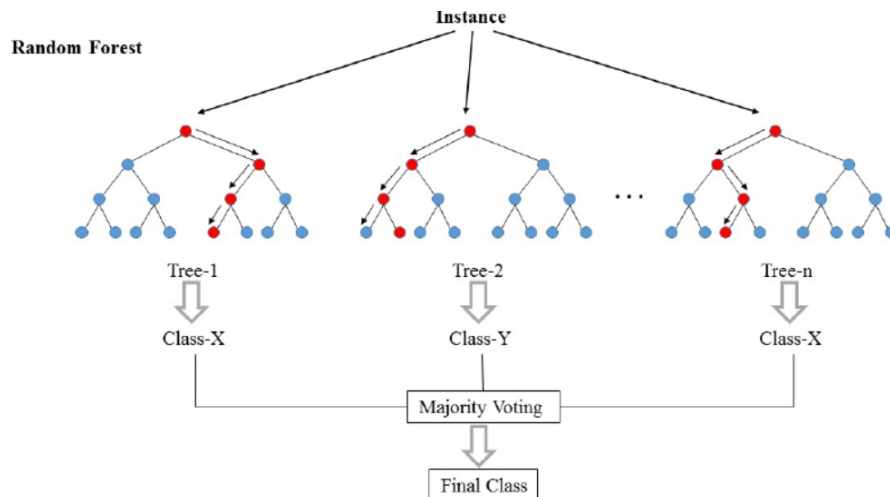


Figure 10.5: Random Forest Sketch

10.2.5 Neuronal Network

Al giorno d'oggi il deep learning è un argomento caldo.

Le reti neurali sono ad oggi la tecnologia più matura per quanto riguarda il Deep Learning. Anche se possono sembrare delle scatole nere, stanno cercando di realizzare la stessa cosa di qualsiasi altro modello ossia per fare buone previsioni.

Le reti neurali sono reti multi-strato di neuroni (i nodi blu e magenta nella tabella seguente) che usiamo per classificare le cose, fare previsioni. Di seguito è riportato il diagramma di una semplice rete neurale con cinque ingressi, 5 uscite e due strati nascosti di neuroni.

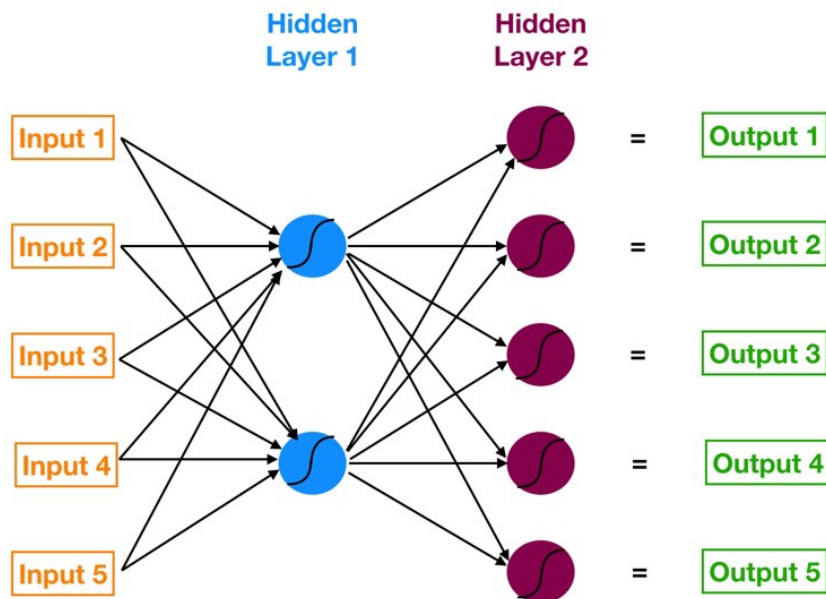


Figure 10.6: Neuronal Network

A partire da sinistra, abbiamo:

- Il livello di input del nostro modello in arancione.
- Il nostro primo strato nascosto di neuroni in blu.
- Il nostro secondo strato nascosto di neuroni in magenta.
- Il livello di output, ossia la previsione del nostro modello in verde.

Le frecce che collegano i punti mostrano come tutti i neuroni sono interconnessi e come i dati viaggiano dal livello di input fino al livello di output.

Successivamente calcoleremo passo per passo ciascun valore di output. Osserveremo anche come la rete neurale apprende dal suo errore usando un processo noto come backpropagation.

Abbiamo una serie di input e una serie di valori target e stiamo cercando di ottenere previsioni che corrispondano il più possibile a tali valori target.



Figure 10.7: Neuronal Network 2

Questa è una regressione logistica a singola caratteristica, ossia il modello ha una sola variabile esogena X, espressa attraverso una rete neurale. Per vedere come si collegano si può l'equazione della regressione logistica usando i nostri codici colore della rete neurale.

$$\text{Sigmoid}(\text{B1}^*X + \text{B0}) = \text{Predicted Probability}$$

Figure 10.8: Neuronal Network 3

Esaminando ogni elemento:

- X (in arancione) è il nostro input, la caratteristica solitaria che diamo al nostro modello per calcolare una previsione.
- B1 in turchese è il parametro di pendenza stimato della nostra regressione logistica - B1 ci dice in che misura i LogOdds cambiano quando X cambia. Si noti che B1 vive sulla linea turchese, che collega l'ingresso X al neurone blu in Hidden Layer 1.
- B0 in blu è il bias - molto simile al termine di intercettazione dalla regressione. La differenza chiave è che nelle reti neurali ogni neurone ha il suo termine di polarizzazione (mentre nella regressione, il modello ha un termine di intercettazione singolare).
- Il neurone blu include anche una funzione di attivazione sigmoidea (indicata dalla linea curva all'interno del cerchio blu). Ricorda che la funzione sigmoid è ciò che usiamo per passare dalle probabilità del log alla probabilità (fai una ricerca control-f per "sigmoid" nel mio post precedente).
- infine otteniamo la nostra probabilità prevista applicando la funzione sigmoide alla quantità ($B1 * X + B0$).

Ora è possibile complicare la rete e renderla più estesa:

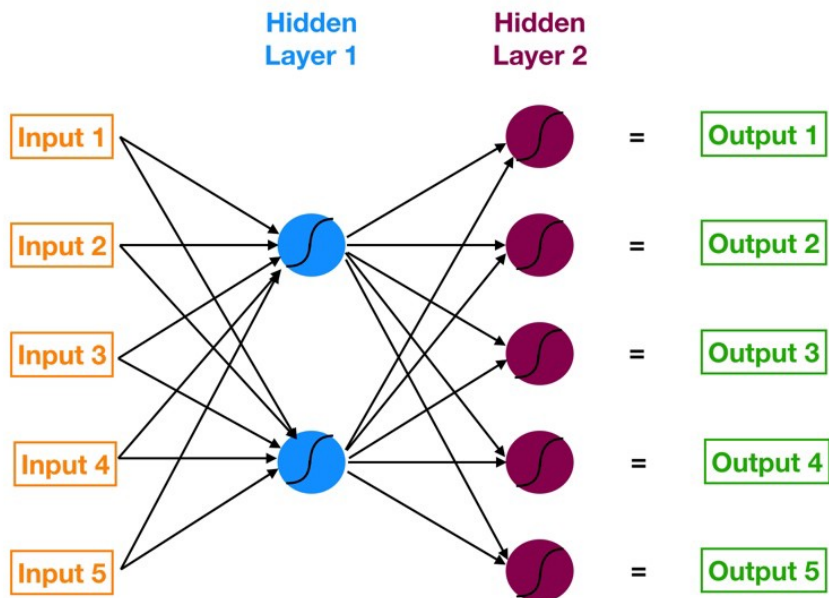


Figure 10.9: Neuronal Network 4

Il primo strato nascosto è costituito da due neuroni. Quindi per collegare tutti e cinque gli input ai neuroni in Hidden Layer 1, abbiamo bisogno di dieci connessioni. L'immagine successiva mostra solo le connessioni tra Input 1 e Hidden Layer.

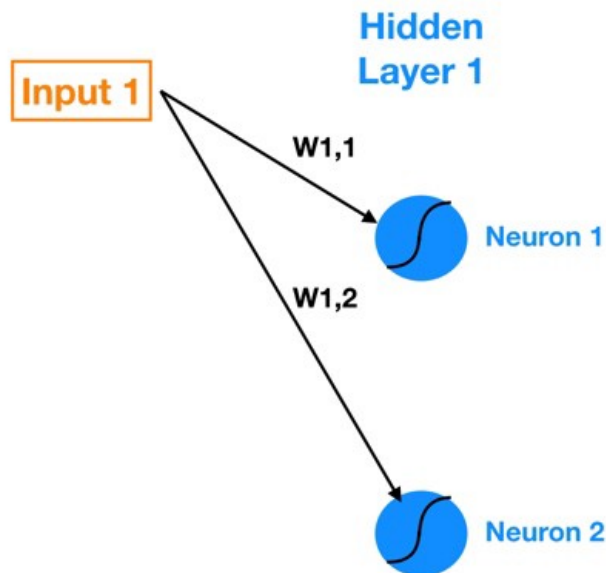


Figure 10.10: Neuronal Network 5

$W_{1,1}$ indica il peso che vive nella connessione tra Input 1 e Neurone 1 e $W_{1,2}$ indica il peso nella connessione tra Input 1 e Neurone 2. Quindi la notazione generale è $W_{a,b}$, B indica il peso sulla connessione tra Input a (o Neurone A) e Neurone B.

Ora si possono calcolare le uscite di ciascun neurone in Hidden Layer 1 (noto come attivazioni) utilizzando le seguenti formule (W indica peso, In indica input).

$$W_1 * In_1 + W_2 * In_2 + W_3 * In_3 + W_4 * In_4 + W_5 * In_5 + Bias_{Neuron1}$$

Possiamo usare la matematica matriciale per riassumere questo calcolo:

$$\begin{bmatrix} W_{1,1} & W_{2,1} & W_{3,1} & W_{4,1} & W_{5,1} \\ W_{1,2} & W_{2,2} & W_{3,2} & W_{4,2} & W_{5,2} \end{bmatrix} \times \begin{bmatrix} X_1 \\ X_2 \\ X_3 \\ X_4 \\ X_5 \end{bmatrix} + \begin{bmatrix} Bias_1 \\ Bias_2 \end{bmatrix} = \begin{bmatrix} Z_1 \\ Z_2 \end{bmatrix}$$

Figure 10.11: Neuronal Network 6

Dove $[W]$ è la matrice n per m di pesi (le connessioni tra il livello precedente e il livello corrente), $[X]$ è m per 1 matrice di input o attivazioni di partenza dal livello precedente, $[Bias]$ è n per 1 matrice di polarizzazione dei neuroni e $[Z]$ è n per 1 matrice di output intermedi. Nell'equazione precedente, seguendo la notazione Python si usa @ per indicare la moltiplicazione della matrice. Una volta che abbiamo $[Z]$, possiamo applicare la funzione di attivazione (sigmoid nel nostro caso) a ciascun elemento di $[Z]$ e che ci fornisce le nostre uscite neuronali (attivazioni) per il layer corrente.

Infine, mappiamo visivamente ciascuno di questi elementi sul grafico della rete neurale per legare tutto ([Bias] è incorporato nei neuroni blu).

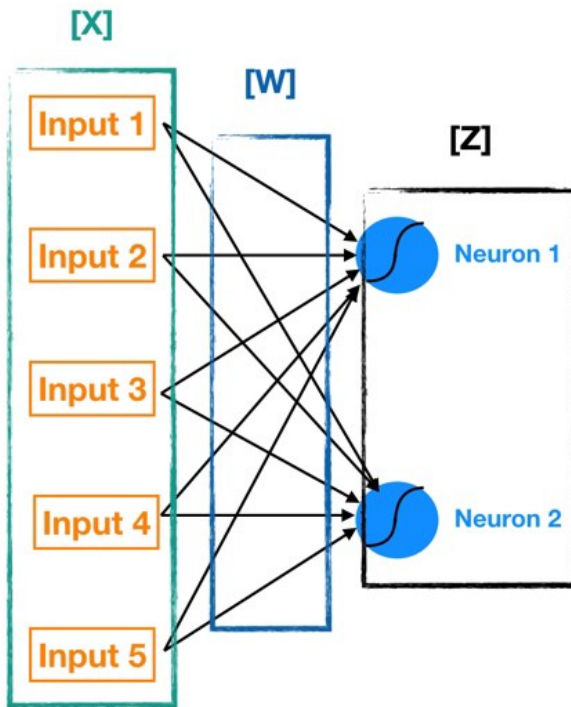


Figure 10.12: Neuronal Network 7

Calcolando ripetutamente [Z] e applicando ad essa la funzione di attivazione per ogni livello successivo, possiamo passare da input a output. Questo processo è noto come propagazione diretta. Il passo successivo è quello di allenare la rete neurale.

Il processo di allenamento di una rete neurale, ad alto livello, è come quello di molti altri modelli di data science: definire una funzione di costo e utilizzare l'ottimizzazione della diminuzione del gradiente per minimizzarla.

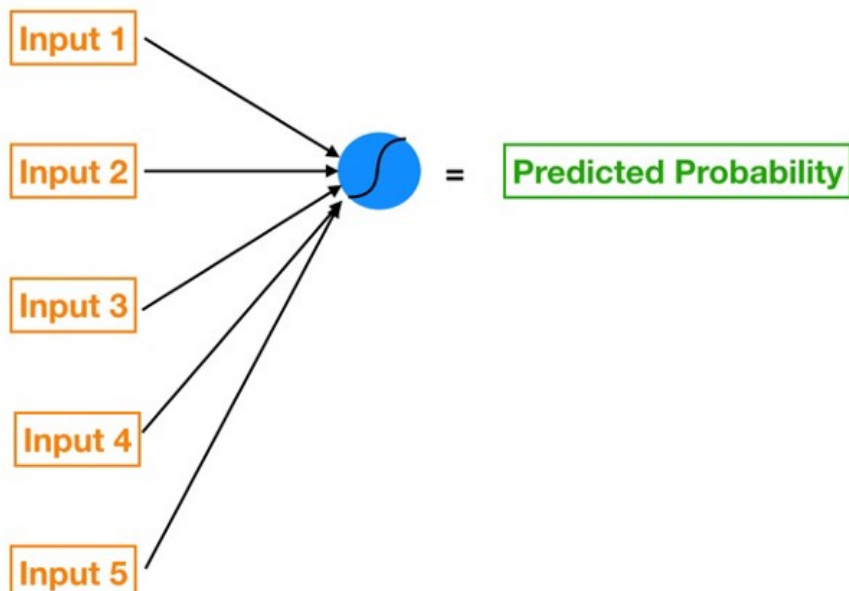


Figure 10.13: Neuronal Network 8

In regressione tradizionale, possiamo cambiare qualsiasi beta particolare in isolamento senza influire sugli altri coefficienti beta. Quindi, applicando piccoli shock isolati a ciascun coefficiente beta e misurando il suo impatto sulla funzione di costo, è relativamente semplice capire in quale direzione dobbiamo spostarci per ridurre e infine minimizzare la funzione di costo.

In una rete neurale, cambiare il peso di una qualsiasi connessione (o il pregiudizio di un neurone) ha un effetto riverberante su tutti gli altri neuroni e le loro attivazioni negli strati successivi.

Questo perché ogni neurone in una rete neurale è come il suo piccolo modello.

Quindi ogni strato nascosto di una rete neurale è fondamentalmente una pila di modelli (ogni singolo neurone nello strato agisce come il proprio modello) le cui uscite si alimentano in un numero ancora maggiore di modelli più a valle.

Dato un insieme di input esogeni e di risultati è necessario quindi allenare la nostra rete neurale.

Per addestrare la nostra rete neurale, si usa il Mean Squared Error (MSE) come funzione di costo:

$$MSE = \text{Sum}[(Prediction - Actual)^2] * \frac{(1)}{\text{num_observations}}$$

L'MSE eleva al quadrato gli errori delle nostre previsioni prima di farne una media, puniamo le previsioni che sono molto più gravi di quelle che sono solo leggermente fuori. Le funzioni di costo della regressione lineare e della regressione logistica operano in modo molto simile.

Il modello migliore viene successivamente testato quindi sui dati ritenuti validi per il test.

Ogni neurone è il suo modello in miniatura con la sua propensione e il suo insieme di caratteristiche e pesi. Ogni singolo modello / neurone si nutre di numerosi altri singoli neuroni attraverso tutti gli strati nascosti del modello.

Ciò consente alle reti neurali di adattarsi ai nostri dati, comprese le parti non lineari ponendo un occhio all'overfitting.

La versatilità dell'approccio di molti modelli interconnessi e la capacità del processo di backpropagation di impostare in modo efficiente e ottimale pesi e distorsioni di ciascun modello consente alla rete neurale di "apprendere" in modo robusto dai dati in modi impossibili da molti altri algoritmi.

Chapter 11

Historical Data

11.1 Raw Data

I dati *raw* raccolti dell'istituto *ISAAC* sono stati elaborati e suddivisi per tipologia in file *.csv* con un timeframe di 10minuti su base annuale.

Il set di dati presenta 144 valori giornalieri distribuiti in 365 giorni.

La stazione di Trevano fornisce dati appunto con cadenza di 10 minuti, e può godere della possibilità di avere un dataset di dati riguardante:

- G_{Hor}
- P
- P_{DC}
- T_{Ext}
- $HR\%$
- $WindSpeed$

In ordine troviamo appunto, irraggiamento sul piano orizzontale, pressione atmosferica, potenza inverter in DC, temperatura esterna, umidità relativa, velocità del vento.

11.1.1 G

L'irraggiamento sicuramente è un dato che risente della stagionalità e della copertura del cielo, tuttavia esso a sua volta influenza altri dati.

E' possibile creare un grafico attraverso il quale si può valutare l'andamento annuale dell'irraggiamento su piano orizzontale.

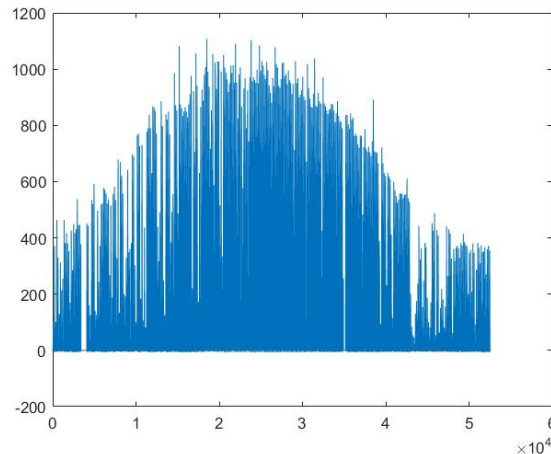


Figure 11.1: Irradiance on plane

Dividendo il dataset in giornate è possibile poi avere un subset per stabilire una correlazione.

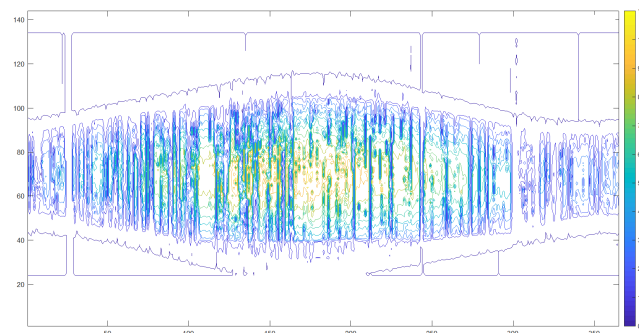


Figure 11.2: Irradiance Contour

Come si evince dal grafico, nel periodo centrale dell'anno l'irraggiamento è molto più intenso con picchi di $1100 \frac{W}{m^2}$

L'andamento annuale della potenza irradiata è facilmente distinguibile anche attraverso un tipo di dato

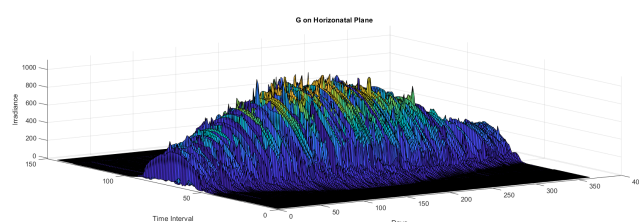


Figure 11.3: Irradiance Surf

11.1.2 Pressure

Come già valutato nei capitoli precedenti, la variazione repentina di pressione ha effetto sul clima, sulla copertura nuvolosa e quindi poi direttamente sull'irraggiamento.

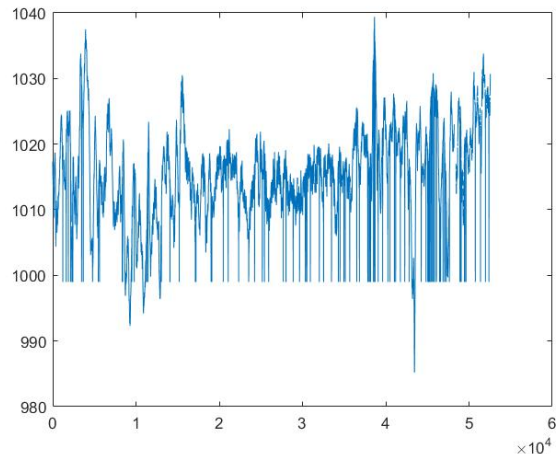


Figure 11.4: Pressure

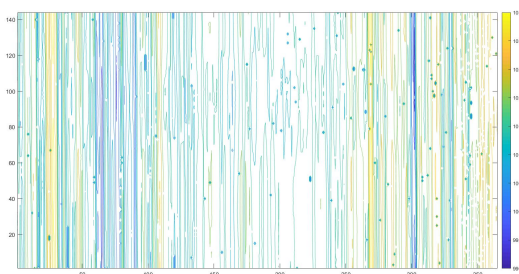


Figure 11.5: Pressure Contour

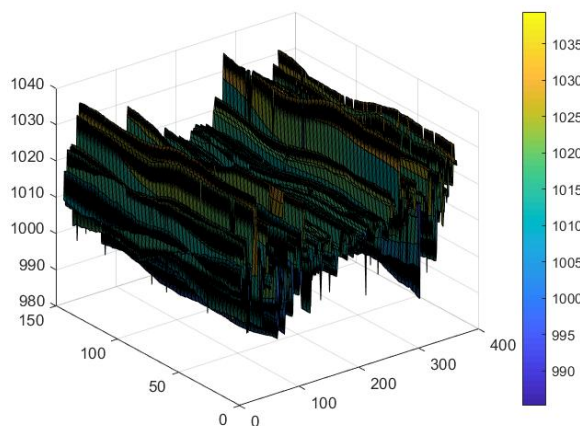


Figure 11.6: Pressure Surf

11.1.3 P-DC

La potenza in dc convertita dall'inverter è sicuramente un dato interessante e fortemente correlato con l'irraggiamento e la temepratura, per cui è importante includerlo nel subset di dati da analizzare.

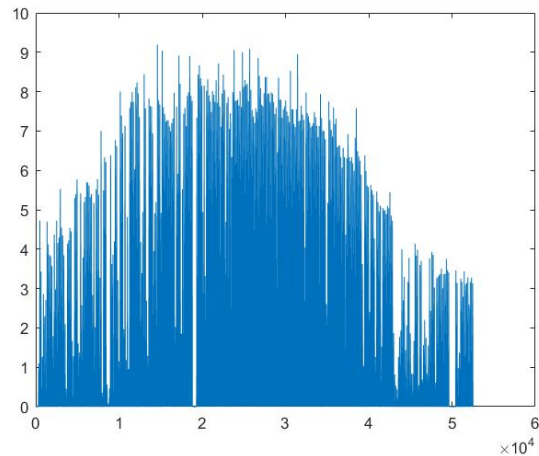


Figure 11.7: P-DC

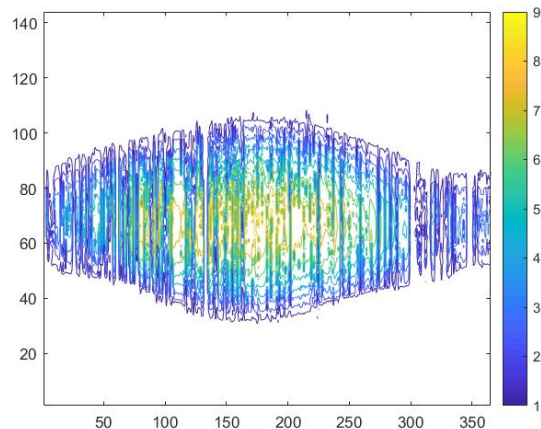


Figure 11.8: P-DC Contour

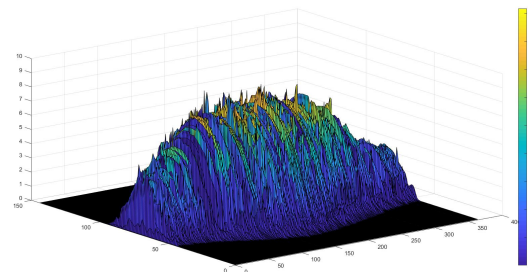


Figure 11.9: P-DC Surf

11.1.4 T Ext

La temperatura può essere usata sia come predittore per l'irraggiamento sia come fattore correttivo per la produzione solare, in questo caso ci si aspetta una correlazione forte tra irraggiamento e temperatura in quanto le giornate più serene avranno sicuramente una temperatura maggiore.

I dati di temperatura presentavano dei rumori a tratti con valori saturati a fondoscale che sono stati prontamente rimossi.

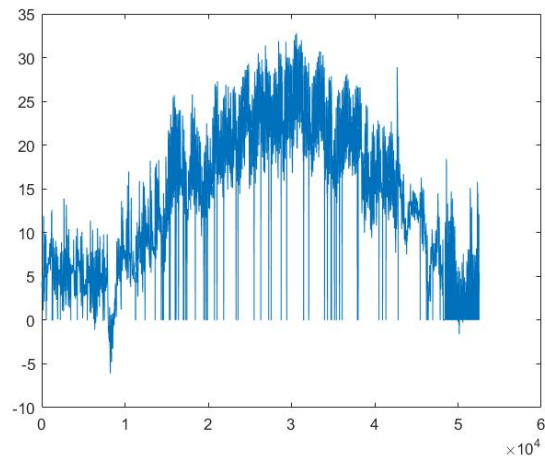


Figure 11.10: Temperature

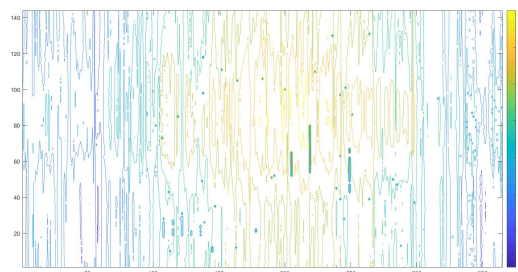


Figure 11.11: Temperature Contour

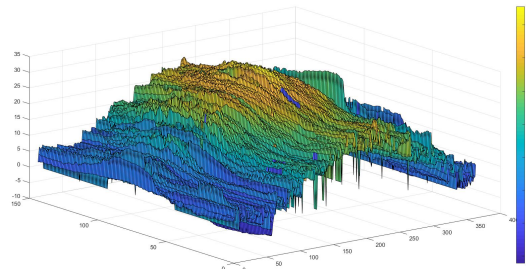


Figure 11.12: Temperature Surf

11.1.5 HR

Espressa in percentuale può essere utile strumento di correlazione e può generare un dato matematico come il DewPoint.

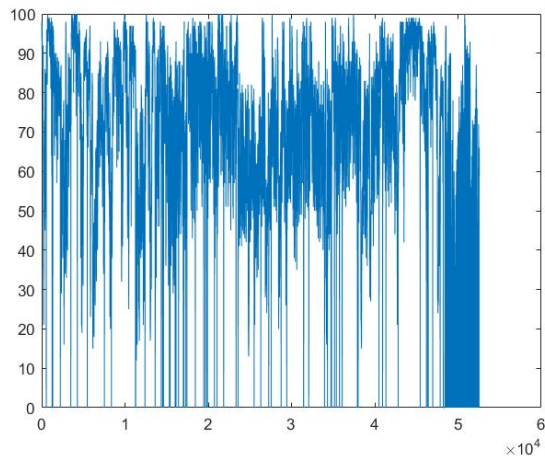


Figure 11.13: Relative Humidity

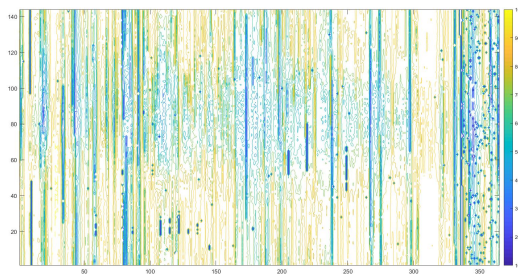


Figure 11.14: Relative Humidity Contour

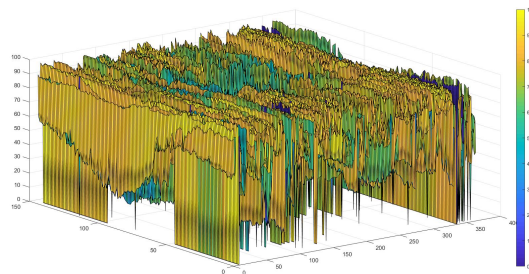


Figure 11.15: Relative Humidity Surf

11.1.6 WS

Ultimo ma non meno importante elemento loggato, è la velocità del vento espressa in $\frac{m}{s}$

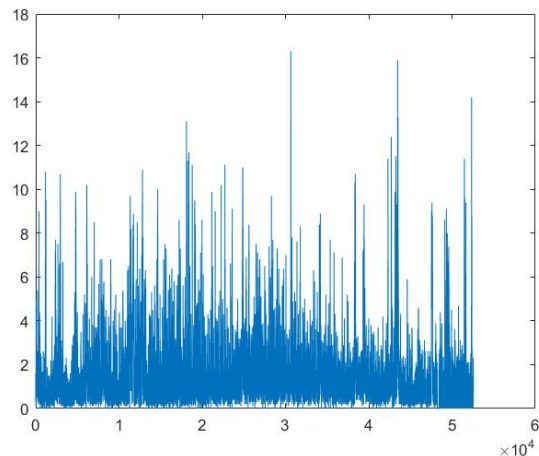


Figure 11.16: Wind Speed

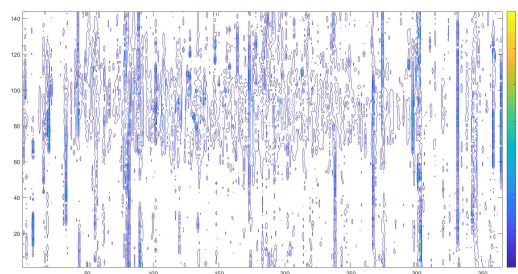


Figure 11.17: Wind Speed Contour

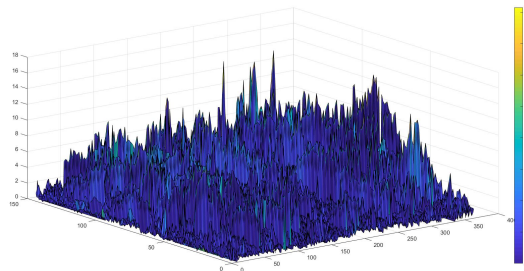


Figure 11.18: Wind Speed Surf

11.1.7 DewPoint

Calcolato matematicamente e spiegato nella sezione dedicata [10.3.2] può essere un buon indice di correlazione.

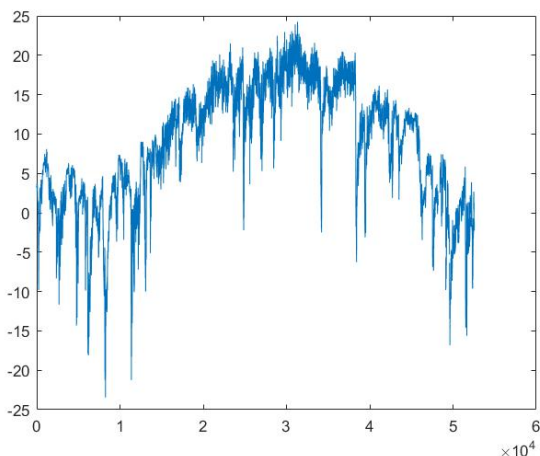


Figure 11.19: DP

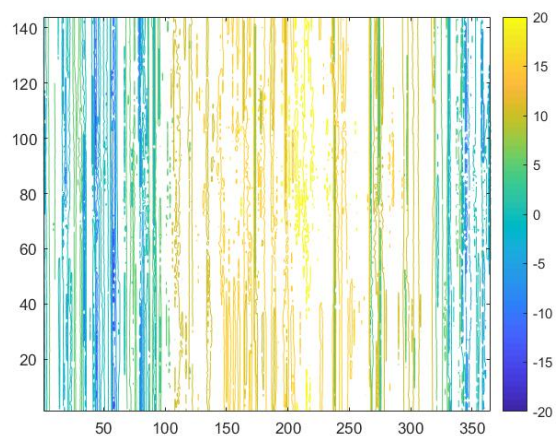


Figure 11.20: Dp Contour

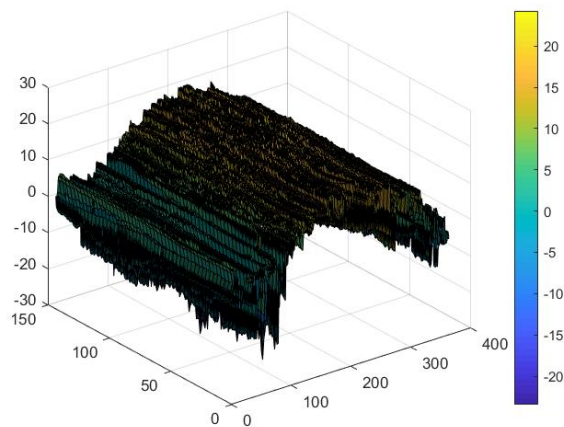


Figure 11.21: DP Surf

11.1.8 Filtering

La totalità dei dati che sono stati presentati e raccolti dalla stazione di Trevano presenta tuttavia un numero molto elevato di elementi incorretti che sono entrati a far parte del dataset per una questione di rumore o errata acquisizione.

Come ogni dataset che comprenda numerosi campioni è necessaria una opera di filtraggio e pulizia.

Sono state riscontrate le seguenti anomalie:

- G=999 Saturazione
- P=0 Dato Nullo
- RH=999 Saturazione
- T= 999 Saturazione
- Pdc=999 Saturazione
- WS=277.5 Saturazione

I dati saturati e nulli sono stati eliminati e, data la dinamica lenta del meteo, sostituiti con dati linearmente approssimati.

11.1.9 Correlation and Autocorrelation Analysis

Not filtered- ALL G

Eliminando solo gli spike privi di significato e realizzando un algoritmo di correlazione attraverso il software *Matlab* è possibile valutare la correlazione lineare tra l'output G e gli input esogeni.

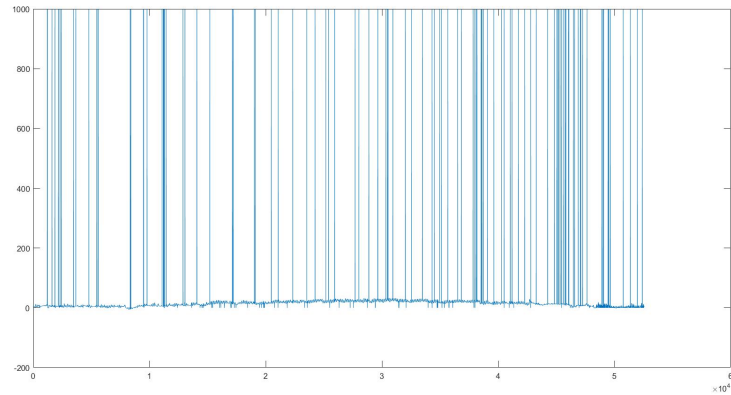


Figure 11.22: G not Filtered

La situazione iniziale si mostrava come sopra, con dati che presentano acquisizioni non elaborabili.

Successivamente elaborati invece trasformando gli spike in *nan* e conseguentemente in dati che corrispondono alla media tra i due dati esterni:

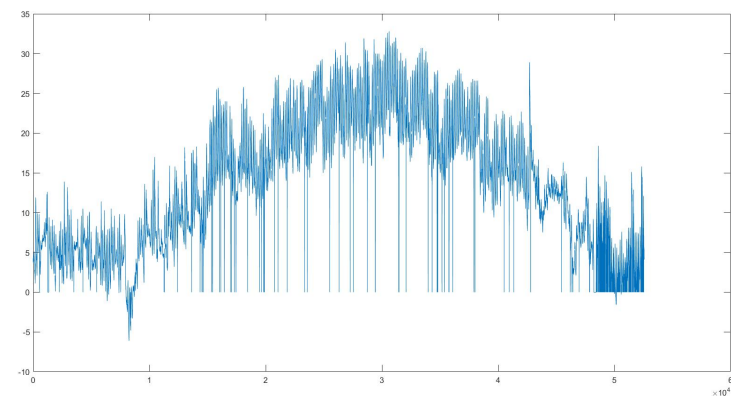


Figure 11.23: G Filtered Linearly

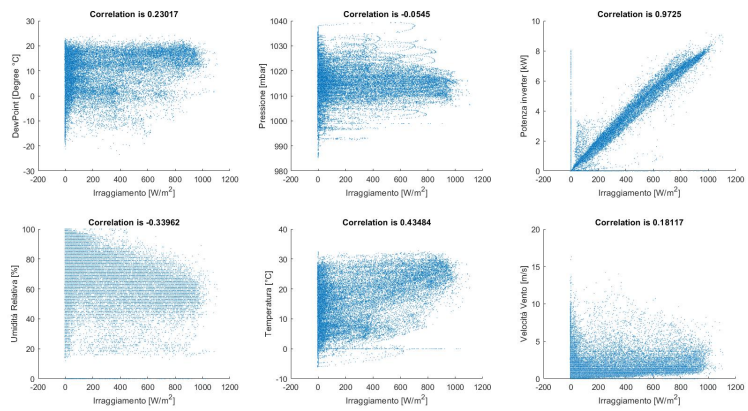


Figure 11.24: Correlation Exogenous not Filtered

E' stata valutata anche l'autocorrelazione su G che analogamente a Pdc è molto forte a delay di 144,288 e 1440 intervalli, ossia 1,2,10 giorni.

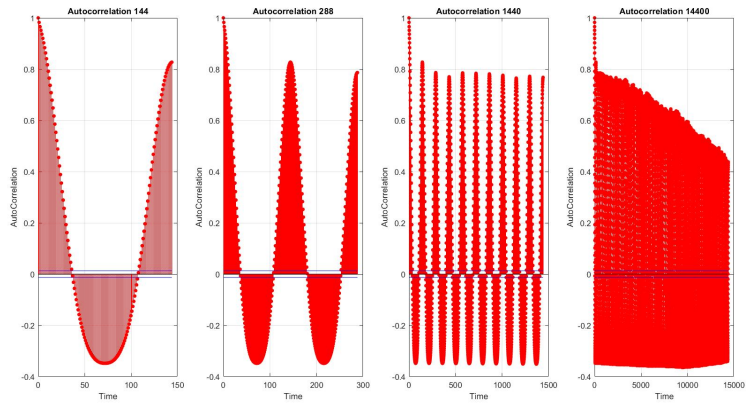


Figure 11.25: AutoCorrelation not filtered

Filtered > 5 $\frac{W}{m^2}$

Sono stati eliminati tutti i dati relativi agli irraggiamenti inferiori ai 5 watt al metro quadro per evidenziare o valutare diverse correlazioni. La serie di dati comprensiva di notte potrebbe non essere di aiuto.

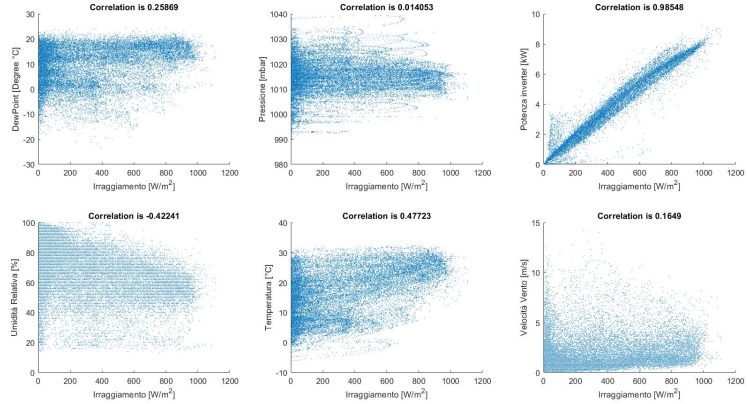


Figure 11.26: Filter $5 \frac{W}{m^2}$ Correlation

Così come è stata rivalutata la nuova autocorrelazione

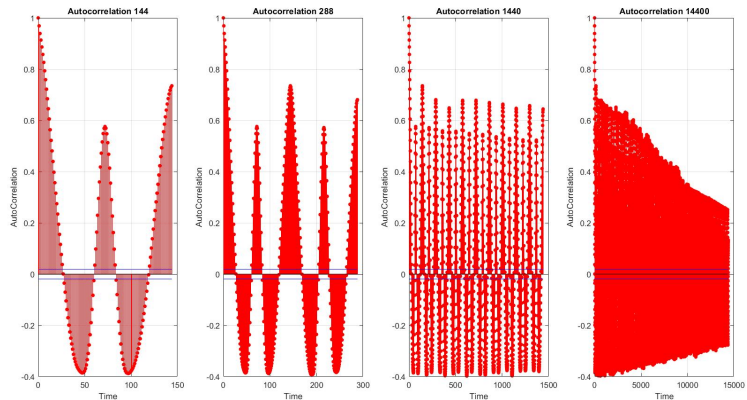


Figure 11.27: Filter $5 \frac{W}{m^2}$ Autocorrelation

Filtered > 50 $\frac{W}{M^2}$

Sono stati, in questo nuovo scenario, eliminati tutti i dati relativi agli irraggiamenti inferiori ai 50 watt al metro quadro per evidenziare o valutare diverse correlazioni. La serie di dati comprensiva di bassi irraggiamenti è stata eliminata.

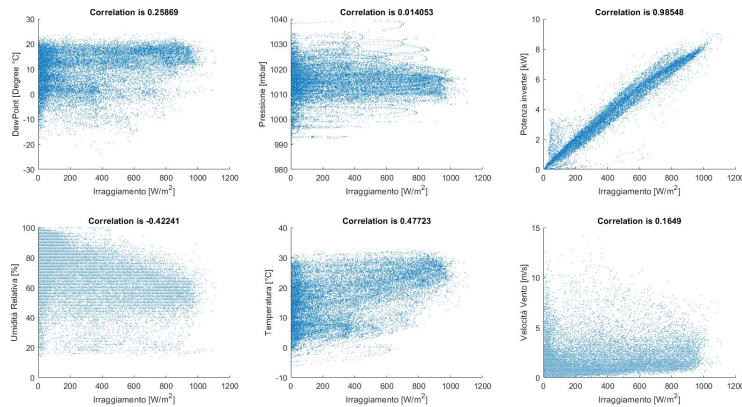


Figure 11.28: Filter $50 \frac{W}{M^2}$ Correlation

Di nuovo è stata rivalutata la nuova autocorrelazione:

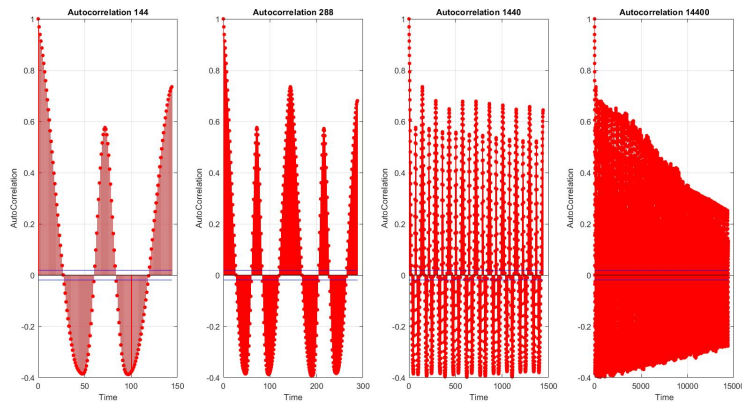


Figure 11.29: Filter $50 \frac{W}{M^2}$ Autocorrelation

Oltre a questa analisi è possibile capire la correlazione che ha una serie di dati con se stessa.

Riferendosi alla matrice $N \times N$ formata da 144 intervalli temporali in 365 giorni la funzione $xcorr(X)$ restituisce una serie di cross correlazioni per tutte le combinazioni delle colonne della matrice X.

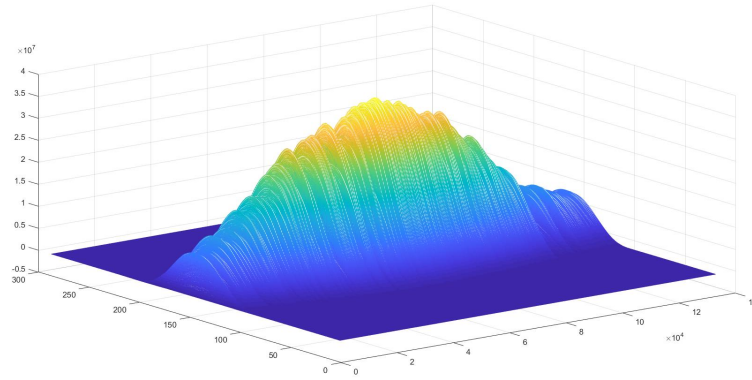


Figure 11.30: Autocorrelation Mesh

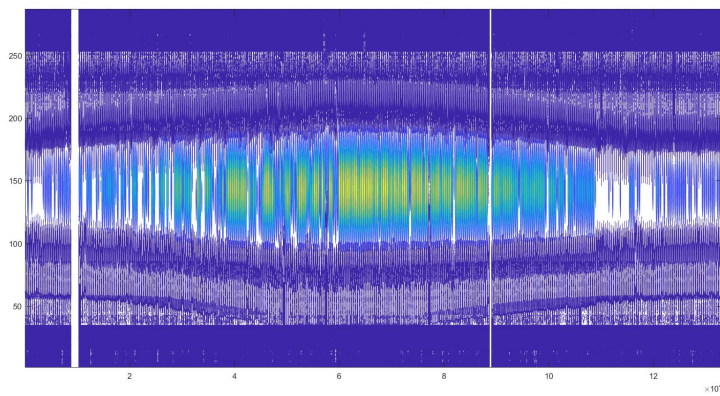


Figure 11.31: Surf Autocorrelation Mesh

Includendo le variabili calcolate matematicamente come la *Pressione di vapore effettiva* e il *vapore di saturazione* si calcola quindi il box plot delle correlazioni finali.

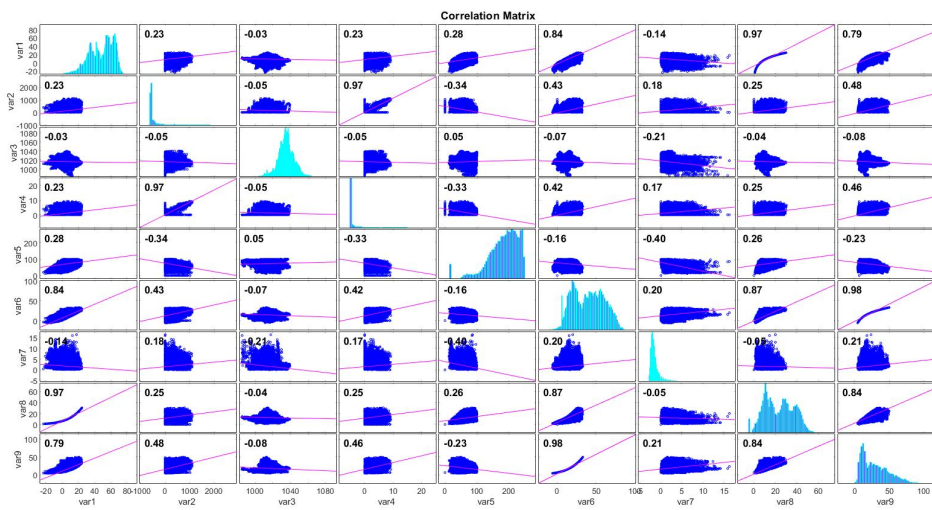


Figure 11.32: Correlation Box

11.1.10 Results

E' cosi' possibile notare all'interno di questa tabella riassuntiva il cambiamento delle correlazione in base ai filtri applicati e la loro variazione percentuale.

Correlation Index

	Filtered	Filtered >5 W/m^2	Filtered >50 W/m^2
DP	0.23017	0.25895	0.27354
PRESSURE	0.0545	0.012764	0.016655
DC POWER	0.9725	0.98537	0.98032
HR %	0.3396	0.42224	0.41636
TEMPERATURE	0.43484	0.47735	0.49063
WINDSPEED	0.18117	0.1653	0.18436

Percentage Change

	Filtered	Filtered >5 W/m^2	Filtered >50 W/m^2
DP	-	+12.23%	+18.8%
PRESSURE	-	-23.12%	-30.32%
DC POWER	-	+1.3%	+1.1%
HR %	-	+25.6%	+23.4%
TEMPERATURE	-	+9.7%	+12.4%
WINDSPEED	-	-8.1%	+2.1%

Sarà possibile quindi nell'acquisizione dati applicare dei filtri ove necessario per migliorare la correlazione tra i dati.

Threshold Influence

Analizzando successivamente per un intervallo di Threshold maggiori è possibile vedere come cambia la correlazione con varie soglie di irraggiamento.

Vettore con valori Threshold:

1	5	10	20	50	100	150	200	250	300	350	400
450	500	550	600	650	700	750	800	850	900	950	1000

A questo punto viene valutato ogni singolo fattore di correlazione:

RGDP	<i>Irradiance</i>	<i>DewPoint</i>
RGP	<i>Irradiance</i>	<i>Pressure</i>
RGPdc	<i>Irradiance</i>	<i>Power DC</i>
RGRH	<i>Irradiance</i>	<i>Relative Humidity</i>
RGT	<i>Irradiance</i>	<i>Termperture</i>
RGWS	<i>Irradiance</i>	<i>Wind Speed</i>

E come seguentemente mostrato ecco i pair migliori.

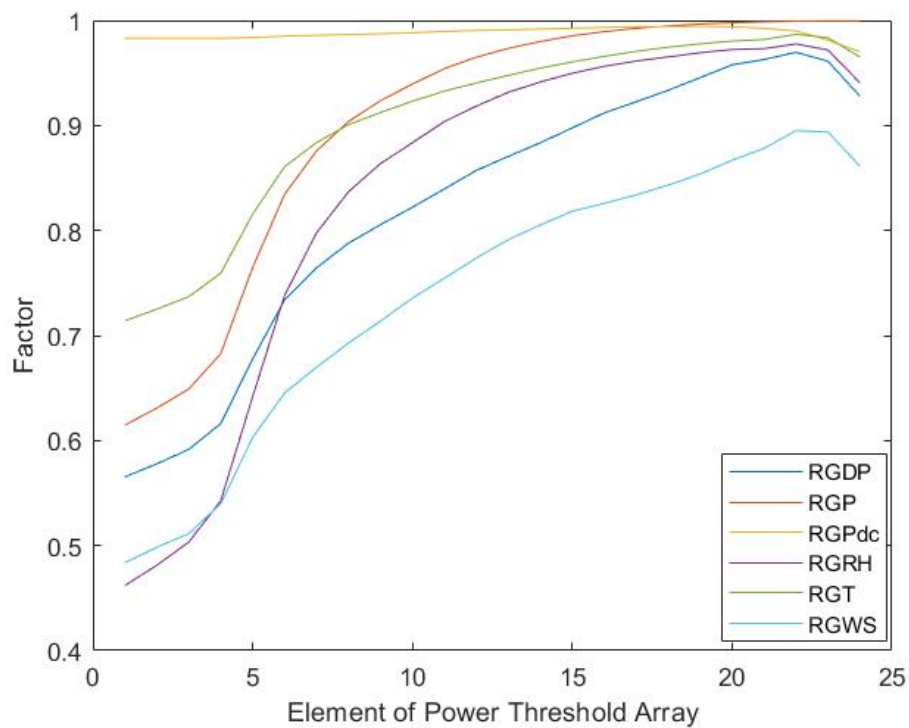


Figure 11.33: Correlation gain vs Treshold

Tuttavia un filtro troppo forte sull'irraggiamento abbatte completamente le casistiche e il numero di campioni che verrebbero poi elaborati dal modello.

E' necessario valutare poi le performance del modello in base a questa considerazione.

11.1.11 Mathlab Code

datareader.m

```

1 labels= {'DewPoint','G','P','Pdc','RH','T','WS'};
2
3
4 %Import GHOR Data
5 P=csvread('P.csv',1,2);
6 G=csvread('Ghor.csv',1,2);
7 RH=csvread('RH.csv',1,2);
8 T=csvread('T.csv',1,2);
9 Pdc=csvread('pdc INV1.csv',1,2);
10 WS=csvread('WS.csv',1,2);
11
12 %filtraggio
13 G(G==999)=nan;
14 P(P==0)=nan;
15 RH(RH==999)=nan;
16 T(T==999)=nan;
17 Pdc(Pdc==999)=nan;
18 WS(WS==277.5)=nan;
19
20 %Math predictor
21 %Pressione di Vapore di saturazione
22 ES=6.11.*10.^((T.*7.5)./(237.7+T));
23
24 %PressioneDiVaporeInAria
25 E=RH.*ES/100;
26
27 DewPoint=(-430.22+237.7.*log(E))./(-log(E)+19.08);
28
29
30 %Divide in Day
31 GDaily= reshape(G,144,365);
32 PDaily= reshape(P,144,365);
33 RDaily= reshape(RH,144,365);
34 TDaily= reshape(T,144,365);
35 PdDaily=reshape(Pdc,144,365);
36 WSDaily=reshape(WS,144,365);
37 DPDaily=reshape(DewPoint,144,365);
38
39 %% Correlazioni intero spettro
40 %Generazione correlazioni e scatter
41 %1
42 figure;
43 subplot(2,3,1)
44 scatter(G,DewPoint,0.2);
45 R1= corr(G,DewPoint,'rows','complete');
46
47 title(['Correlation is ',num2str(R1(1,1)),']);
48 xlabel('Irraggiamento [W/m^2]');
49 ylabel('DewPoint [Degree °C]');
50 hold on;
51
52 %2
53 subplot(2,3,2)
54 scatter(G,P,0.2);
55 R1= corr(G,P,'rows','complete');
56
57 title(['Correlation is ',num2str(R1(1,1)),']);
58 xlabel('Irraggiamento [W/m^2]');
59 ylabel('Pressione [mbar]');
60 hold on;
61

```

- 1 -

```

62 %3
63 subplot(2,3,3)
64 scatter(G,Pdc,0.2);
65 R1= corr(G,Pdc,'rows','complete');
66
67 title(['Correlation is ',num2str(R1(1,1)),']);
68 xlabel('Irraggiamento [W/m^2]');
69 ylabel('Potenza inverter [kW]');
70 hold on;
71
72 %4
73 subplot(2,3,4)
74 scatter(G,RH,0.2);
75 R1= corr(G,RH,'rows','complete');
76
77 title(['Correlation is ',num2str(R1(1,1)),']);
78 xlabel('Irraggiamento [W/m^2]');
79 ylabel('Umidità Relativa [%]');
80 hold on;
81
82 %5
83 subplot(2,3,5);
84 scatter(G,T,0.2);
85 R1= corr(G,T,'rows','complete');
86
87 title(['Correlation is ',num2str(R1(1,1)),']);
88 xlabel('Irraggiamento [W/m^2]');
89 ylabel('Temperatura [°C]');
90 hold on;
91
92 %6
93 subplot(2,3,6)
94 scatter(G,WS,0.2);
95 R1= corr(G,WS,'rows','complete');
96
97 title(['Correlation is ',num2str(R1(1,1)),']);
98 xlabel('Irraggiamento [W/m^2]');
99 ylabel('Velocità Vento [m/s]');
100 hold on;
101
102 %Autocorrelazione
103 %1
104 acf = autocorr(G);
105 figure;
106 subplot(1,4,1)
107 autocorr(G,'NumLags',144,'NumSTD',3)
108
109 title(['Autocorrelation 144']);
110 xlabel('Time');
111 ylabel('AutoCorrelation');
112 hold on;
113
114 %2
115 acf = autocorr(G);
116 subplot(1,4,2)
117 autocorr(G,'NumLags',288,'NumSTD',3)
118
119 title(['Autocorrelation 288']);
120 xlabel('Time');
121 ylabel('AutoCorrelation');
122

```

- 2 -

```

123 hold on;
124
125 %3
126 acf = autocorr(G);
127 subplot(1,4,3)
128 autocorr(G,'NumLags',1440,'NumSTD',3)
129
130 title(['Autocorrelation 1440']);
131 xlabel('Time');
132 ylabel('AutoCorrelation');
133 hold on;
134
135 %4
136 acf = autocorr(G);
137 subplot(1,4,4)
138 autocorr(G,'NumLags',14400,'NumSTD',3)
139
140 title(['Autocorrelation 14400']);
141 xlabel('Time');
142 ylabel('AutoCorrelation');
143 hold on;
144
145 %% Correlazioni solo in produzione , tolgo irraggiamenti sotto 5w/M2
146
147 GpreFilter=G;
148 %Crea Maschera
149 GpreFilter = G > 5;
150
151 GFiltered=GpreFilter.*G;
152 %Moltiplico maschera per vettore
153 GFiltered = G.*GpreFilter;
154 PFiltered = P.*GpreFilter;
155 RHFiltered = RH.*GpreFilter;
156 TFiltered = T.*GpreFilter;
157 PdcFiltered=Pdc.*GpreFilter;
158 WSFiltered =WS.*GpreFilter;
159 DPFFiltered =DewPoint.*GpreFilter;
160
161 %Ricollocazione in matrici giornaliere
162 GDailyFiltered = reshape(GFiltered,144,365);
163 PDailyFiltered = reshape(PFiltered.*GpreFilter,144,365);
164 RDailyFiltered = reshape(RHFiltered.*GpreFilter,144,365);
165 TDailyFiltered = reshape(TFiltered.*GpreFilter,144,365);
166 PdcDailyFiltered=reshape(PdcFiltered.*GpreFilter,144,365);
167 WSDailyFiltered =reshape(WSFiltered.*GpreFilter,144,365);
168 DPDailyFiltered =reshape(DPFFiltered.*GpreFilter,144,365);
169
170 %Tutti 0 diventano NaN
171
172 GFiltered(find(GFiltered==0)) = NaN;
173 PFiltered(find(PFiltered==0)) = NaN;
174 RHFiltered(find(RHFiltered==0)) = NaN;
175 TFiltered(find(TFiltered==0)) = NaN;
176 PdcFiltered(find(PdcFiltered==0)) = NaN;
177 WSFiltered(find(WSFiltered==0)) = NaN;
178 DPFFiltered(find(DPFFiltered==0)) = NaN;
179
180
181 % Correlazioni spettro filtrato
182 %Generazione correlazioni e scatter

```

- 3 -

```

184 %1
185 figure;
186 subplot(2,3,1)
187 scatter(GFiltered,DPFiltered,0.2);
188 R2= corr(GFiltered,DPFiltered,'rows','complete');
189
190 title(['Correlation is ',num2str(R2(1,1)),']);
191 xlabel('Irraggiamento [W/m^2]');
192 ylabel('DewPoint [Degree °C]');
193 hold on;
194
195 %2
196 subplot(2,3,2)
197 scatter(GFiltered,PFiltered,0.2);
198 R2= corr(GFiltered,PFiltered,'rows','complete');
199
200 title(['Correlation is ',num2str(R2(1,1)),']);
201 xlabel('Irraggiamento [W/m^2]');
202 ylabel('Pressione [mbar]');
203 hold on;
204
205 %3
206 subplot(2,3,3)
207 scatter(GFiltered,PdcFiltered,0.2);
208 R2= corr(GFiltered,PdcFiltered,'rows','complete');
209
210 title(['Correlation is ',num2str(R2(1,1)),']);
211 xlabel('Irraggiamento [W/m^2]');
212 ylabel('Potenza inverter [kW]');
213 hold on;
214
215 %4
216 subplot(2,3,4)
217 scatter(GFiltered,RHFiltered,0.2);
218 R2= corr(GFiltered,RHFiltered,'rows','complete');
219
220 title(['Correlation is ',num2str(R2(1,1)),']);
221 xlabel('Irraggiamento [W/m^2]');
222 ylabel('Umidità Relativa [%]');
223 hold on;
224
225 %5
226 subplot(2,3,5);
227 scatter(GFiltered,TFiltered,0.2);
228 R2= corr(GFiltered,TFiltered,'rows','complete');
229
230 title(['Correlation is ',num2str(R2(1,1)),']);
231 xlabel('Irraggiamento [W/m^2]');
232 ylabel('Temperatura [°C]');
233 hold on;
234
235 %6
236 subplot(2,3,6)
237 scatter(GFiltered,WSFiltered,0.2);
238 R2= corr(GFiltered,WSFiltered,'rows','complete');
239
240 title(['Correlation is ',num2str(R2(1,1)),']);
241 xlabel('Irraggiamento [W/m^2]');
242 ylabel('Velocità Vento [m/s]');
243 hold on;
244

```

- 4 -

```

245 %Autocorrelazione
246
247 %1
248 acf5 = autocorr(GFiltered);
249 figure;
250 subplot(1,4,1)
251 autocorr(GFiltered,'NumLags',144,'NumSTD',3)
252
253 title(['Autocorrelation 144'])
254 xlabel('Time');
255 ylabel('AutoCorrelation');
256 hold on;
257
258 %2
259 acf5 = autocorr(GFiltered);
260 subplot(1,4,2)
261 autocorr(GFiltered,'NumLags',288,'NumSTD',3)
262
263 title(['Autocorrelation 288'])
264 xlabel('Time');
265 ylabel('AutoCorrelation');
266 hold on;
267
268 %3
269 acf5 = autocorr(GFiltered);
270 subplot(1,4,3)
271 autocorr(GFiltered,'NumLags',1440,'NumSTD',3)
272
273 title(['Autocorrelation 1440'])
274 xlabel('Time');
275 ylabel('AutoCorrelation');
276 hold on;
277
278 %4
279 acf5 = autocorr(GFiltered);
280 subplot(1,4,4)
281 autocorr(GFiltered,'NumLags',14400,'NumSTD',3)
282
283 title(['Autocorrelation 14400'])
284 xlabel('Time');
285 ylabel('AutoCorrelation');
286 hold on;
287
288 % Correlazioni solo in produzione , tolgo irraggiamenti sotto 50w/M2
289
290 GpreFilter=G;
291 %Creo Maschera
292 GpreFilter = G > 50;
293
294 Gfiltered50=GpreFilter.*G;
295 %Moltiplico maschera per vettore
296 GFiltered50 = G.*GpreFilter;
297 PFiltered50 = P.*GpreFilter;
298 RHFiltered50 = RH.*GpreFilter;
299 TFFiltered50 = T.*GpreFilter;
300 PdcFiltered50=Pdc.*GpreFilter;
301 WSFiltered50 =WS.*GpreFilter;
302 DPFFiltered50 =DewPoint.*GpreFilter;
303
304 %Ricollocazione in matrici giornaliere
305 GDailyFiltered50 = reshape(GFiltered50,144,365);

```

- 5 -

```

306 PDailyFiltered50 = reshape(PFiltered50.*GpreFilter,144,365);
307 RHDailyFiltered50 = reshape(RHFiltered50.*GpreFilter,144,365);
308 TDailyFiltered50 = reshape(TFiltered50.*GpreFilter,144,365);
309 PdcDailyFiltered50=reshape(PdcFiltered50.*GpreFilter,144,365);
310 WSDailyFiltered50=reshape(WSFiltered50.*GpreFilter,144,365);
311 DPDailyFiltered50 = reshape(DPFiltered50.*GpreFilter,144,365);
312
313 %Tutti 0 diventano NaN
314
315 GFiltered50(find(GFiltered50==0)) = NaN;
316 PFiltered50(find(PFiltered50==0)) = NaN;
317 RHFiltered50(find(RHFiltered50==0)) = NaN;
318 TFiltered50(find(TFiltered50==0)) = NaN;
319 PdcFiltered50(find(PdcFiltered50==0)) = NaN;
320 WSFiltered50(find(WSFiltered50==0)) = NaN;
321 DPFiltered50(find(DPFiltered50==0)) = NaN;
322
323
324 % Correlazioni spettro filtrato
325 %Generazione correlazioni e scatter
326 %1
327 figure;
328 subplot(2,3,1)
329 scatter(GFiltered50,DPFiltered50,0.2);
330 R= corr(GFiltered50,DPFiltered50,'rows','complete');
331
332 title(['Correlation is ',num2str(R(1,1)),'])
333 xlabel('Irraggiamento [W/m^2]');
334 ylabel('DewPoint [Degree °C]');
335 hold on;
336
337 %2
338 subplot(2,3,2)
339 scatter(GFiltered50,PFiltered50,0.2);
340 R= corr(GFiltered50,PFiltered50,'rows','complete');
341
342 title(['Correlation is ',num2str(R(1,1)),'])
343 xlabel('Irraggiamento [W/m^2]');
344 ylabel('Pressione [mbar]');
345 hold on;
346
347 %3
348 subplot(2,3,3)
349 scatter(GFiltered50,PdcFiltered50,0.2);
350 R= corr(GFiltered50,PdcFiltered50,'rows','complete');
351
352 title(['Correlation is ',num2str(R(1,1)),'])
353 xlabel('Irraggiamento [W/m^2]');
354 ylabel('Potenza inverter [kW]');
355 hold on;
356
357 %4
358 subplot(2,3,4)
359 scatter(GFiltered50,RHFiltered50,0.2);
360 R= corr(GFiltered50,RHFiltered50,'rows','complete');
361
362 title(['Correlation is ',num2str(R(1,1)),'])
363 xlabel('Irraggiamento [W/m^2]');
364 ylabel('Umidità Relativa [%]');
365 hold on;
366

```

- 6 -

```

367 %5
368 subplot(2,3,5);
369 scatter(GFiltered50,TFiltered50,0.2);
370 R= corr(GFiltered50,TFiltered50,'rows','complete');
371
372 title(['Correlation is ',num2str(R(1,1)),'])
373 xlabel('Irraggiamento [W/m^2]');
374 ylabel('Temperatura [°C]');
375 hold on;
376
377 %6
378 subplot(2,3,6)
379 scatter(GFiltered50,WSFiltered50,0.2);
380 R= corr(GFiltered50,WSFiltered50,'rows','complete');
381
382 title(['Correlation is ',num2str(R(1,1)),'])
383 xlabel('Irraggiamento [W/m^2]');
384 ylabel('Velocità Vento [m/s]');
385 hold on;
386
387 %Autocorrelazione
388
389 %1
390 acf50 = autocorr(GFiltered50);
391 figure;
392 subplot(1,4,1)
393 autocorr(GFiltered50,'NumLags',144,'NumSTD',3)
394
395 title(['Autocorrelation 144'])
396 xlabel('Time');
397 ylabel('AutoCorrelation');
398 hold on;
399
400 %2
401 acf50 = autocorr(GFiltered50);
402 subplot(1,4,2)
403 autocorr(GFiltered50,'NumLags',288,'NumSTD',3)
404
405 title(['Autocorrelation 288'])
406 xlabel('Time');
407 ylabel('AutoCorrelation');
408 hold on;
409
410 %3
411 acf50 = autocorr(GFiltered50);
412 subplot(1,4,3)
413 autocorr(GFiltered50,'NumLags',1440,'NumSTD',3)
414
415 title(['Autocorrelation 1440'])
416 xlabel('Time');
417 ylabel('AutoCorrelation');
418 hold on;
419
420 %4
421 acf50 = autocorr(GFiltered50);
422 subplot(1,4,4)
423 autocorr(GFiltered50,'NumLags',14400,'NumSTD',3)
424
425 title(['Autocorrelation 14400'])
426 xlabel('Time');
427

```

- 7 -

```

428 ylabel('AutoCorrelation');
429 hold on;
430
431 % Prova ciclica migliori abbinamenti
432
433 powerTreshold=[1,5,10,20,50,100,150,200,250,300,350,400,450,500,550,600,650,700,750,800,850,900,950,1000];
434
435 powerIndex=size(powerTreshold);
436 powerIndexTrue=powerIndex(2);
437
438 for i=1:powerIndexTrue
439
440 GpreFilter(:,i) = G > powerTreshold(i);
441
442
443 %Moltiplico maschera per vettore
444 GFiltered(:,i) = G.*GpreFilter(:,i);
445 PFiltered(:,i) = P.*GpreFilter(:,i);
446 RHFiltered(:,i) = RH.*GpreFilter(:,i);
447 TFFiltered(:,i) = T.*GpreFilter(:,i);
448 PdcFiltered(:,i)=Pdc.*GpreFilter(:,i);
449 WSFiltered(:,i)=WS.*GpreFilter(:,i);
450 DPFFiltered(:,i)=DewPoint.*GpreFilter(:,i);
451
452
453 %calcolo correlazioni
454
455 RGP(i)= corr(GFiltered(:,i),PFiltered(:,i),'rows','complete');
456 RGRH(i)= corr(GFiltered(:,i),RHFiltered(:,i),'rows','complete');
457 RGT(i)= corr(GFiltered(:,i),TFFiltered(:,i),'rows','complete');
458 RGPDc(i)= corr(GFiltered(:,i),PdcFiltered(:,i),'rows','complete');
459 RGWS(i)= corr(GFiltered(:,i),WSFiltered(:,i),'rows','complete');
460 RGDP(i)= corr(GFiltered(:,i),DPFFiltered(:,i),'rows','complete');
461
462
463 end
464
465 %Plot dei risultati
466
467
468
469
470 %% Valutazione rispetto a Pdc
471
472 powerTreshold=[1,5,10,20,50,100,150,200,250,300,350,400,450,500,550,600,650,700,750,800,850,900,950,1000];
473
474 powerIndex=size(powerTreshold);
475 powerIndexTrue=powerIndex(2);
476
477 for i=1:powerIndexTrue
478
479 GpreFilter(:,i) = G > powerTreshold(i);
480
481 %Moltiplico maschera per vettore
482
483
484

```

- 8 -

```

485 GFiltered(:,i) = G.*GpreFilter(:,i);
486 PFiltered(:,i) = P.*GpreFilter(:,i);
487 RHFFiltered(:,i) = RH.*GpreFilter(:,i);
488 TFiltered(:,i) = T.*GpreFilter(:,i);
489 PdcFiltered(:,i)=Pdc.*GpreFilter(:,i);
490 WSFiltered(:,i) =WS.*GpreFilter(:,i);
491 DPFFiltered(:,i) =DewPoint.*GpreFilter(:,i);
492
493 %calcolo correlazioni
494
495 RPdcP(i)= corr(PdcFiltered(:,i),PFiltered(:,i),'rows','complete');
496 RPdcRH(i)= corr(PdcFiltered(:,i),RHFFiltered(:,i),'rows','complete');
497 RPdcT(i)= corr(PdcFiltered(:,i),TFiltered(:,i),'rows','complete');
498 RPdcG(i)= corr(PdcFiltered(:,i),GFiltered(:,i),'rows','complete');
499 RPdcWS(i)= corr(PdcFiltered(:,i),WSFiltered(:,i),'rows','complete');
500 RPdcDP(i)= corr(PdcFiltered(:,i),DPFFiltered(:,i),'rows','complete');
501
502 end
503
504
505 %      %% funzione plot
506 %      function createfigure(YMatrix1)
507 % %CREATEFIGURE(YMatrix1)
508 % % YMATRIX1: matrix of y data
509 %
510 % % Auto-generated by MATLAB on 13-Jun-2019 22:02:28
511 %
512 % % Create figure
513 % figure1 = figure;
514 %
515 % % Create axes
516 % axes1 = axes('Parent',figure1);
517 % hold(axes1,'on');
518 %
519 % % Create multiple lines using matrix input to plot
520 plot1 = plot(YMatrix1,'Parent',axes1);
521 set(plot1(1),'DisplayName','RGDP');
522 set(plot1(2),'DisplayName','RGP');
523 set(plot1(3),'DisplayName','RGPdc');
524 set(plot1(4),'DisplayName','RGRH');
525 set(plot1(5),'DisplayName','RGT');
526 set(plot1(6),'DisplayName','RGWS');
527
528 % % Create ylabel
529 % ylabel({'Factor'});
530 %
531 % % Create xlabel
532 % xlabel({'Element of Power Threshold Array'});
533 %
534 % box(axes1,'on');
535 % % Create legend
536 % legend(axes1,'show');
537 %
538 %
539 % end
540 % All infos are exogenous
541
542 X = horzcat(G,DewPoint,P,Pdc,RH,T,WS,E,ES);
543 XF = fillmissing(X,'linear')
544
545

```

- 9 -

546

- 10 -

predittori.m

```

1 % Valutazione modelli di predizione
2
3
4 % Creazione di un dataset di Training.
5
6
7 trainX=XF(1:26280,2:9);
8
9 trainY=XF(1:26280,1);
10
11 testX=XF(26353:end,2:9);
12
13 testY=XF(26353:end,1);
14
15 %% Simple Persistence
16
17
18 forecastG = cat(1,zeros(144,1),testY(1:end-144))
19
20 [MAE,RMSE]= analyze_errors(testY,forecastG)
21
22 %% Preditore Lineare
23 %mdl = fitlm(X,y) returns a linear regression model of the responses y, fit to
24 % the data matrix X.
25 linear_model = fitlm(trainX,trainY);
26
27 [forecastG,yci] = predict(linear_model,testX);
28
29 % label = predict( Mdl , X ) returns a vector of predicted class labels for the
30 % predictor...
31 % data in the table or matrix X , based on the trained, ...
32 % full or compact classification tree Mdl . label = predict( Mdl , X ,
33 Name,Value ) ...
34 % uses additional options specified by one or more Name,Value pair arguments.
35
36 [MAE,RMSE]= analyze_errors(testY,forecastG)
37
38 %% Preditore AR
39 %1
40 ARModel = ar(trainY,14);
41
42 [forecastG,yci] = predict(ARModel,testY);
43
44 [MAE,RMSE]= analyze_errors(testY,forecastG)
45
46 %144
47 ARModel = ar(trainY,144);
48
49 [forecastG,yci] = predict(ARModel,testY);
50
51 [MAE,RMSE]= analyze_errors(testY,forecastG)
52
53 %% Preditore ARX%% MODELLI ARMAX:
54 % Possiamo provare a migliorare il modello aggiungendo informazioni esogene come
55 % le temperature
56 exogenous = trainX; % selezioniamo come input esogeno le informazioni storiche sul
carico

```

- 1 -

```

57 data armax = iddata(trainY,exogenous,1); % trasforma i dati in un oggetto iddata,
58 % specificando la frequenza di campionamento
59 opt = armaxOptions('Focus','prediction');
60 na = ;
61 % ordine della parte autoregressiva
62 nb = repmat(2,1,size(exogenous,2));
63 % ordine della parte a media mobile
64 nc = 2;
65 % numero di step necessari alla parte esogena per influenzare il carico. Per
66 % semplicità assumiamolo sempre uguale a 1
67 nk = repmat(1,1,size(exogenous,2));
68
69 armax model = armax(data armax,[na nb nc nk],opt);
70
71 % prediciamo il segnale testY fra 24 ore
72 forecastG =
73 predict(iddata(testY,testX,1),armax model,24);
74
75 analyze errors(testY,forecastG.OutputData)
76
77 %% Random Forest
78
79 model = TreeBagger(200, trainX, trainY, 'method', 'regression', 'oobvarimp', 'on',
80 'minleaf', 10);
81
82 figure();
83 barh(model.OOBPermutedVarDeltaError);
84 ylabel('Feature');
85 xlabel('Out-of-bag feature importance');
86 title('Feature importance results');
87 set(gca, 'YTickLabel', labels)
88
89 % visualizziamo un albero della random forest
90 view(model.Trees{1}, 'Mode', 'graph');
91
92 % rimuoviamo gli input e salviamo la random forest
93 model = compact(model);
94 save TreeModel model
95
96 % prediciamo il carico usando l'albero finale (media degli alberi nella random
97 % forest)
98 [forecastG,stdevs] = predict(model, testX);
99 analyze_errors(testY,forecastG);
100
101 [Y,Xf,Af] = myNeuralNetworkFunction(testX)

```

- 2 -

Chapter 12

Models Evaluation

Il set di modelli disponibili al fine di creare il *match* migliore tra la serie di dati ricevuta , sono vari.

Importante è valutare la fattibilità e le prestazioni del modello in modo da avere un confronto tra di essi.

Per mezzo di *Matlab* sono quindi stati valutati residui e MAE - (Mean Avarage Error), ed RMSE. Possibile successivamente restituire i risultati delle distribuzioni degli errori e dei residui.

12.1 SubSet Fragmentation

Il dataset di dati purtroppo copre solamente l'anno solare scorso, e non è possibile avere un set di dati ridondante per vari anni.

A fronte di questo il dataset viene suddiviso in due dataset della durata di 6 mesi così da ottenere due dataset:

- Training
- Test

Il dataset di training in tutti i casi di studio viene utilizzato per il learning del modello stesso, che viene successivamente testato grazie al *subset* di Test.

Nel caso della **Persistence** invece viene utilizzato lo stesso dataset in quanto occorre effettuare uno shift limitato nel tempo di 144 intervalli e il secondo dataset è un set troppo lontano temporalmente.

Questa operazione di subset è effettuata sia per le variabili esogene (ove necessario) sia per il valore di riferimento.

12.2 Persistence

Come descritta in precedenza il modello di persistenza rappresenta il modello base ossia di riferimento sul quale valutare la prestazione degli altri modelli in analisi.

Prestazioni $\frac{W}{m^2}$

- MAE: 51.8048
- RMSE: 134.1483

La persistenza offre ottime performance se le giornate si dimostrano costanti ma senza l'integrazione delle variabili esogene , diminuisce l'accuratezza nei giorni più variabili.

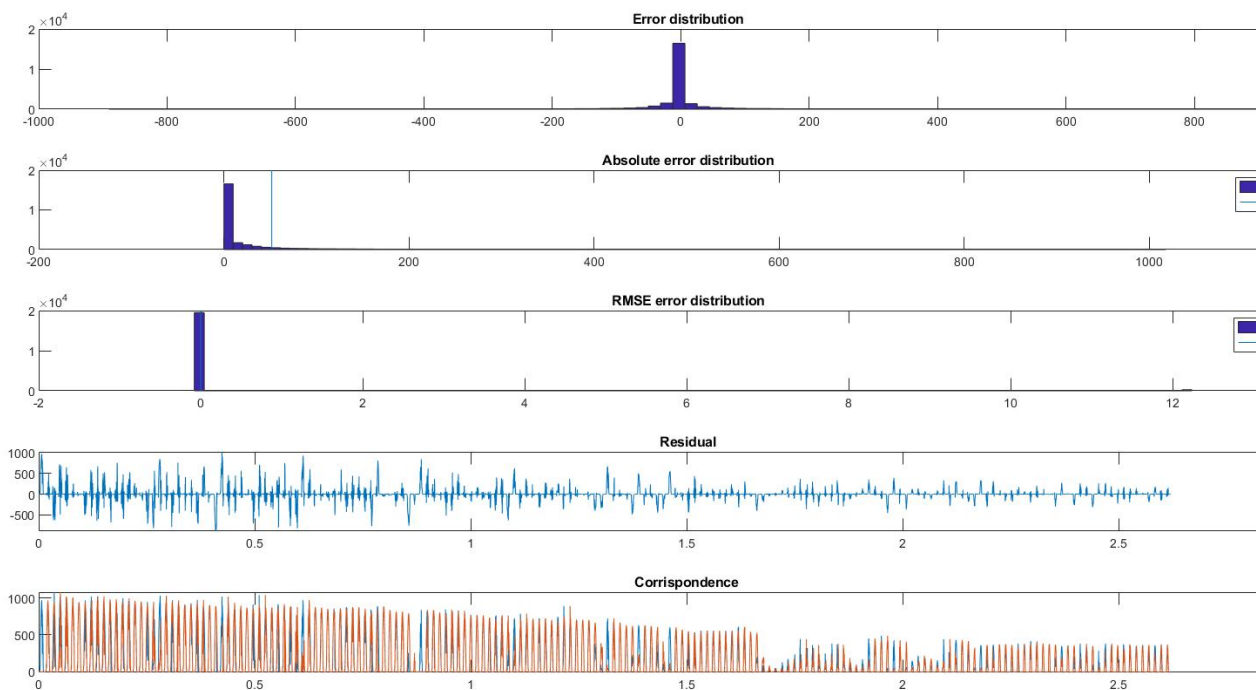


Figure 12.1: Persistence

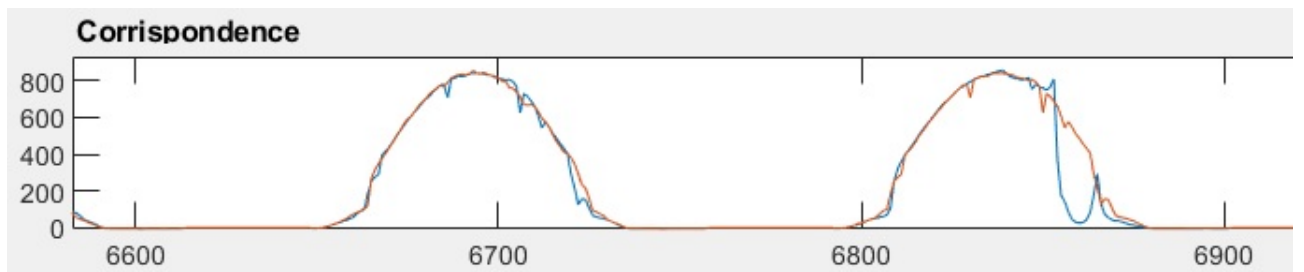


Figure 12.2: Persistence Detail

12.3 Linear Model

Il modello lineare come definito dalla funzione di Matlab "returns a linear regression model of the responses y, fit to the data matrix X".

Per questo motivo viene inserita anche la tabella relativa alle variabili esogene purificate dai valori NaN che sono stati sostituiti per mezzo di una interpolazione lineare da nuovi valori.

Prestazioni $\frac{W}{m^2}$

- MAE: 23.2424
- RMSE: 53.7019

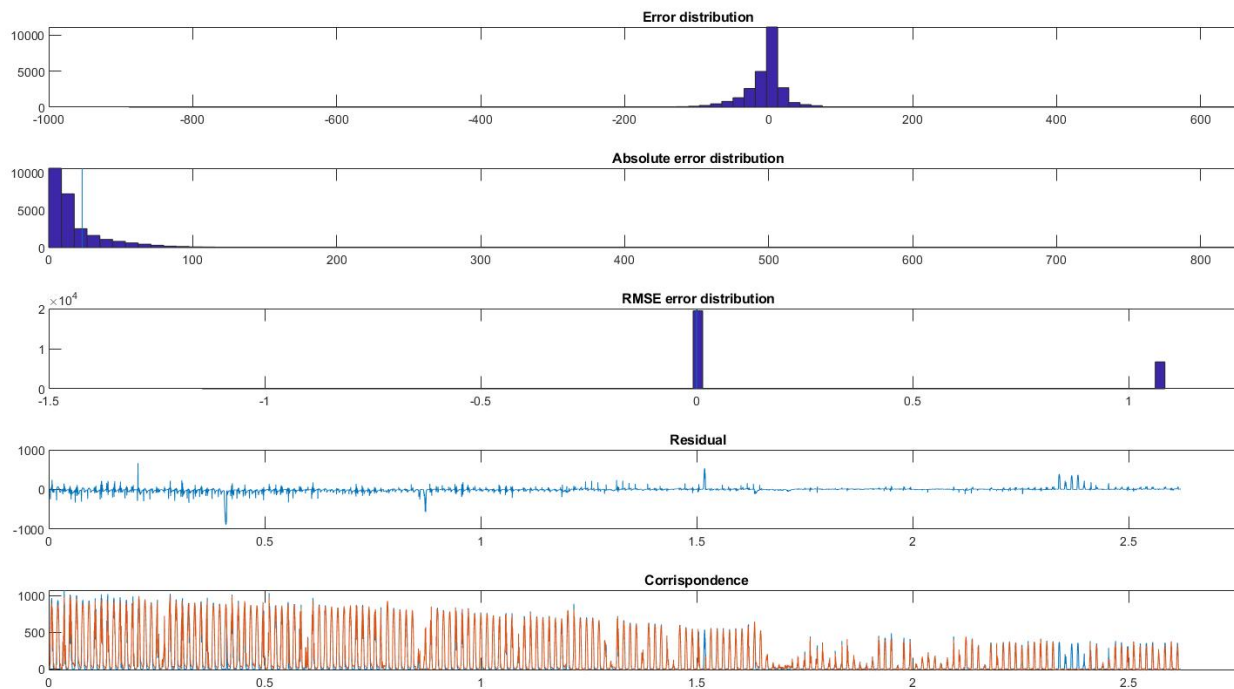


Figure 12.3: Linear Model

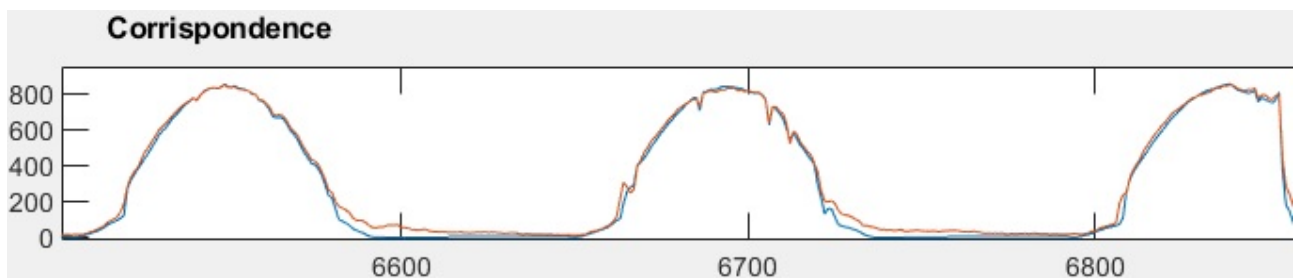


Figure 12.4: Linear Model Detail

12.4 AR

Il modello AR è disponibile con diversi gradi relativi al polinomio associato. Nella descrizione del modello si comprende che viene generato nella seguente forma:

$$y(t) + a1 * y(t - 1) + a2 * y(t - 2) + \dots + aN * y(t - N) = e(t)$$

Inputs: Y: The time series to be modeled, an IDDATA object or a column vector of double values. The data object should contain data for one output signal and no input signals. The data must be uniformly sampled. Type "help iddata" for more information. When double values are specified, Y is assumed to be uniformly sampled using a sample time of 1 sec. N: The order of the ar model (positive integer) Output: MODEL: ar model delivered as an IDPOLY object. It has only one active polynomial - "A"; MODEL.a = [1 a1 a2 ... aN]. The estimated variance of the white noise source e(t) is stored in the "NoiseVariance" property of the Model. The model is estimated using "forward-backward" approach with no windowing.

Prestazioni $\frac{W}{m^2}$

- MAE: 14.9857
- RMSE: 41.2735

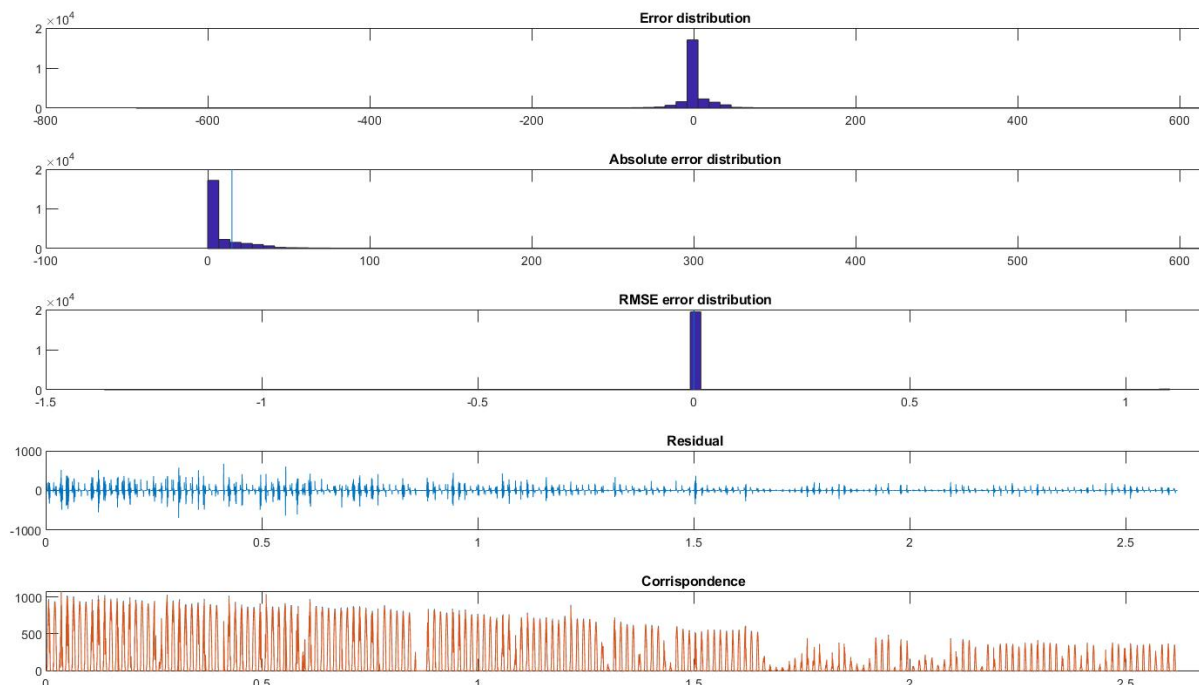


Figure 12.5: AR

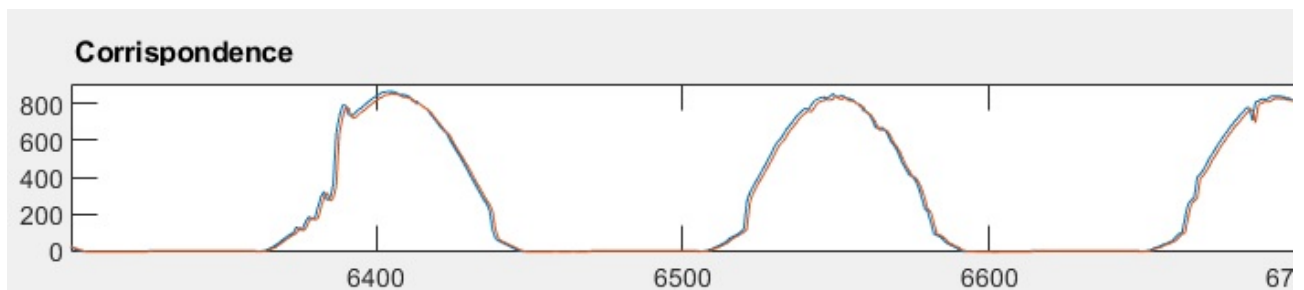


Figure 12.6: AR Detail

Iterando sul grado del polinomio come variabile, il miglior fitting è ottenuto con il grado del polinomio 14.

Prestazioni $\frac{W}{m^2}$

- MAE: 14.0703
- RMSE: 39.0968

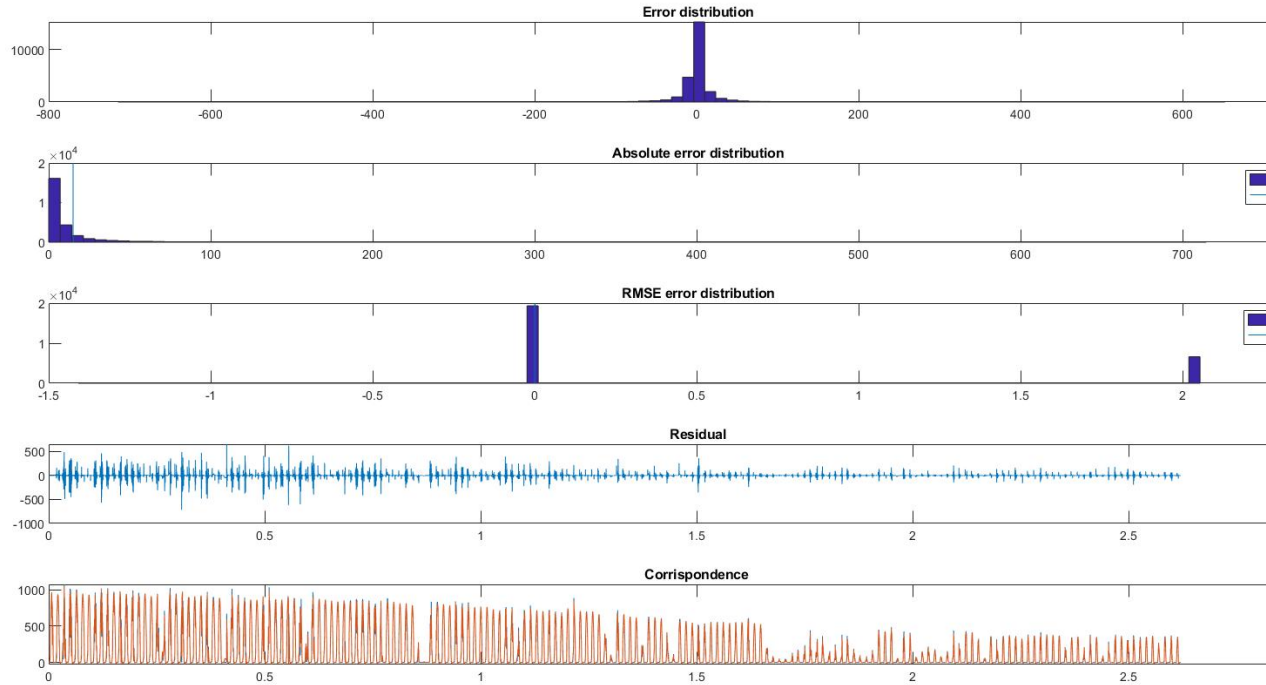


Figure 12.7: Ar Model 14

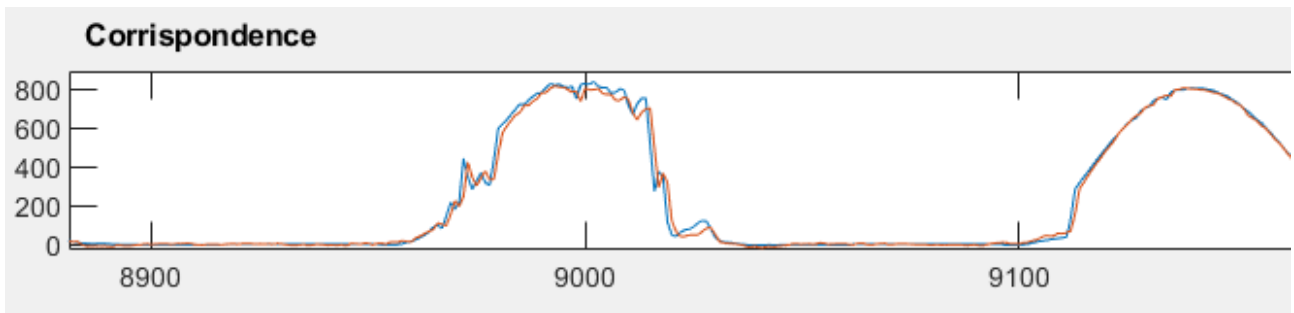


Figure 12.8: Ar 14 Detail

12.5 ARMAX Model

Con l'utilizzo della modellizzazione *Armax* è possibile definire un predittore che utilizza anche variabili esogene esterne.

armax Estimate armax polynomial model using time domain data.

SYS = armax(Z, [na nb nc nk]) estimates an armax model, M, represented by: $A(q) y(t) = B(q) u(t-nk) + C(q) e(t)$
where: na = order of A polynomial (Ny-by-Ny matrix) nb = order of B polynomial + 1 (Ny-by-Nu matrix) nc = order of C polynomial (Ny-by-1 matrix) nk = input delay (in number of samples, Ny-by-Nu entries) (Nu = number of inputs; Ny = number of outputs)

The estimated model, SYS, is delivered as an @idpoly object. SYS contains the estimated values for A, B, and C polynomials along with their covariances and structure information.

Iterando sulle varianili esogene e scegliendo la combinazione migliore otteniamo che :

Prestazioni $\frac{W}{m^2}$

- MAE: 106.14
- RMSE: 77.2954

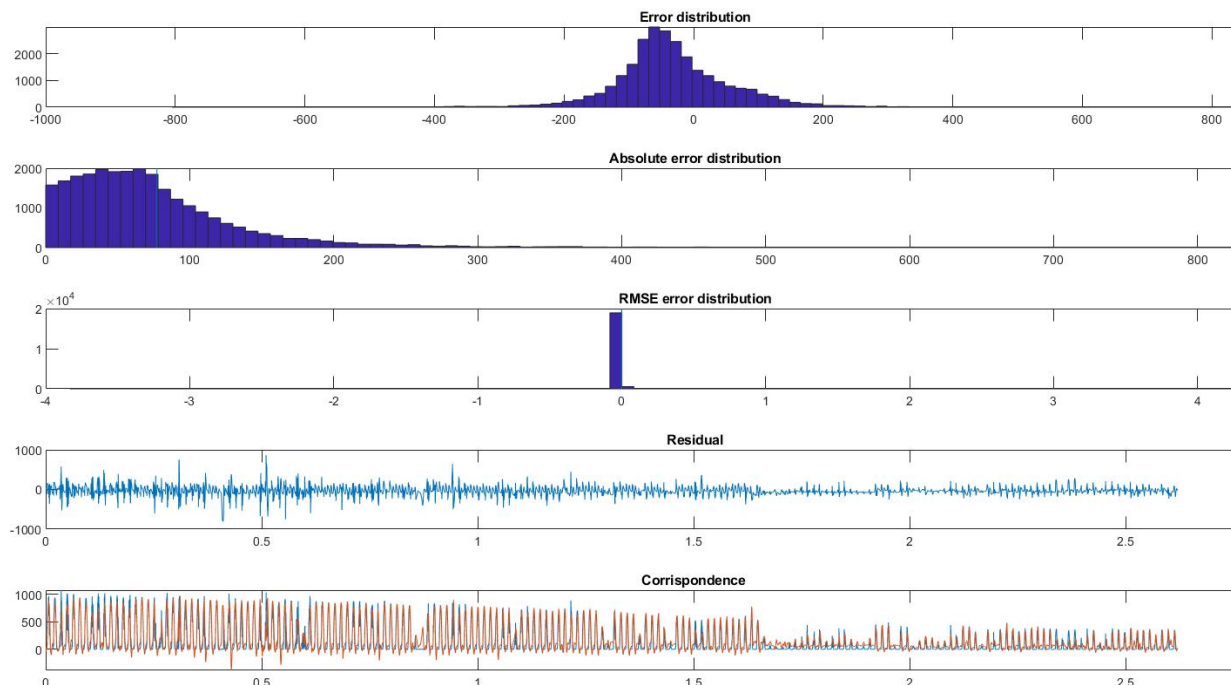


Figure 12.9: Armax Model

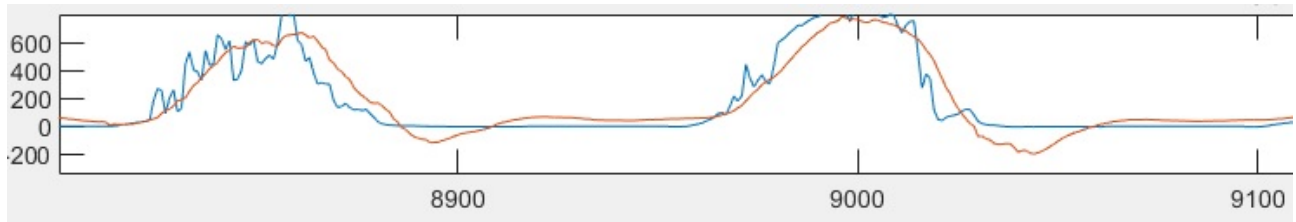


Figure 12.10: Armax Detail

12.6 Bagger Tree Model

Il penultimo metodo analizzato fa capo al metodo Bagger Tree spiegato nei capitoli precedenti.

TreeBagger Bootstrap aggregation for an ensemble of decision trees. TreeBagger bags an ensemble of decision trees for either classification or regression. 'Bagging' stands for 'bootstrap aggregation'. Every tree in the ensemble is grown on an independently-drawn bootstrap replica of input data. Observations not included in this replica are "out of bag" for this tree. To compute prediction of an ensemble of trees for unseen data, TreeBagger takes an average of predictions from individual trees.

To estimate the prediction error of the bagged ensemble, you can compute predictions for each tree on its out-of-bag observations, average these predictions over the entire ensemble for each observation and then compare the predicted out-of-bag response with the true value at this observation.

Iterando sulle variabili esogene e scegliendo la combinazione migliore otteniamo :

Prestazioni $\frac{W}{m^2}$

- MAE: 20.54

- RMSE: 54.85

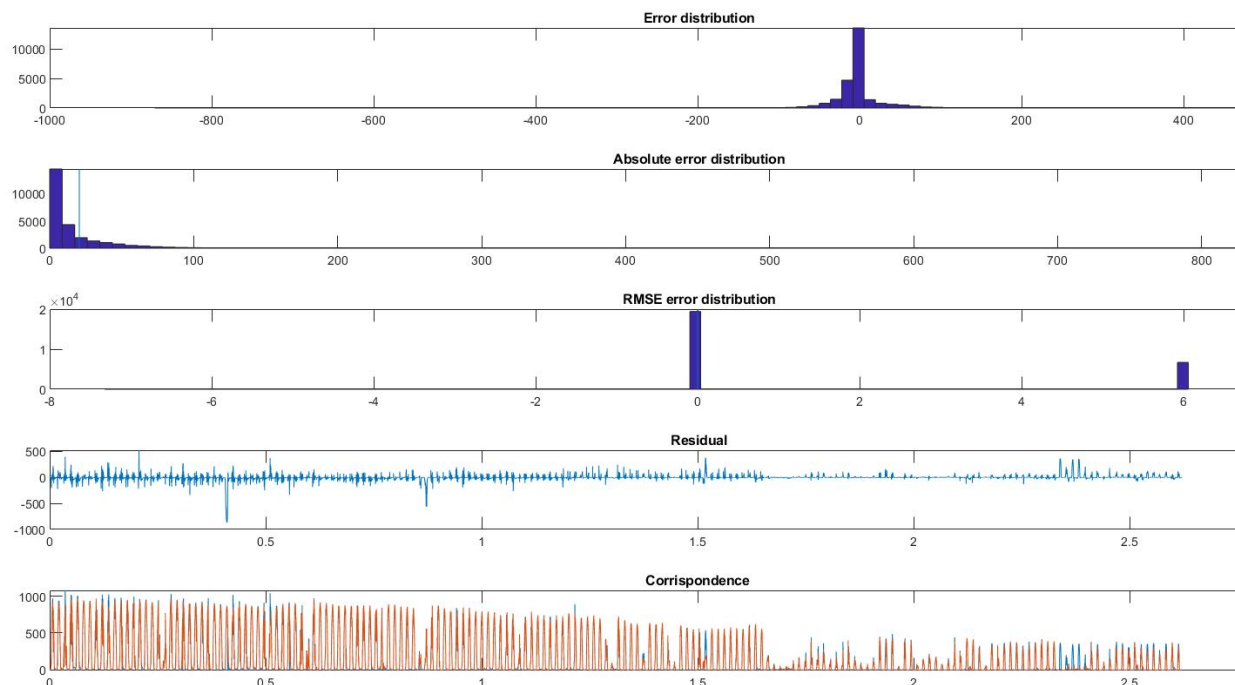


Figure 12.11: Bagger Tree

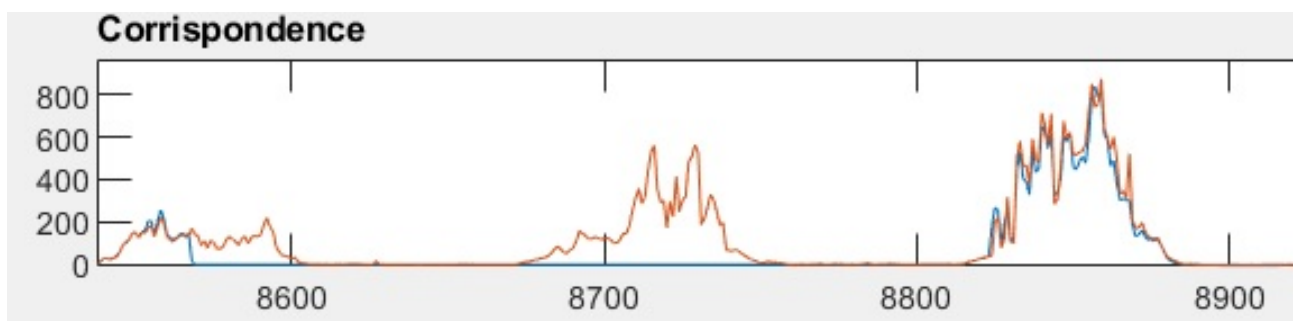


Figure 12.12: Bagger Tree Detail

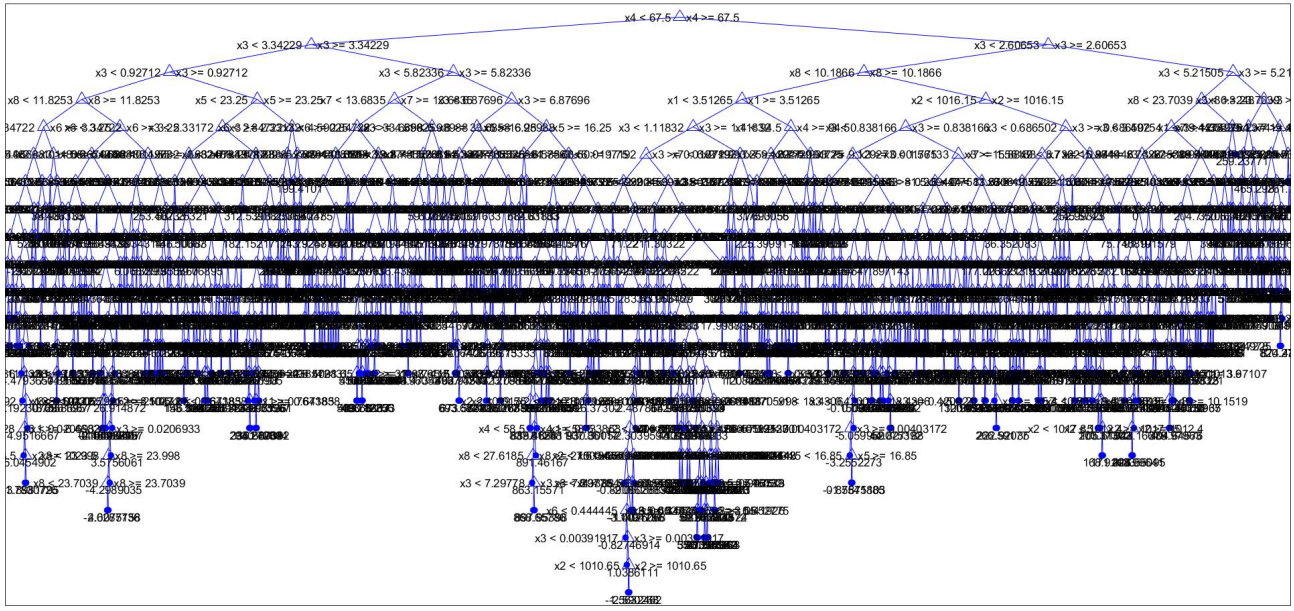


Figure 12.13: Bagger Tree Structure

12.7 NN Model

L'ultimo metodo analizzato è quello della rete neurale di cui si è parlato anche in questo caso nel capitolo precedente.

Scegliendo 10 come numero di neuroni nascosti otteniamo:

Prestazioni $\frac{W}{m^2}$

- MAE: 19.78
- RMSE: 51.34

Scegliendo invece 20 come numero di neuroni nascosti otteniamo:

Prestazioni $\frac{W}{m^2}$

- MAE: 18.18
- RMSE: 51.20

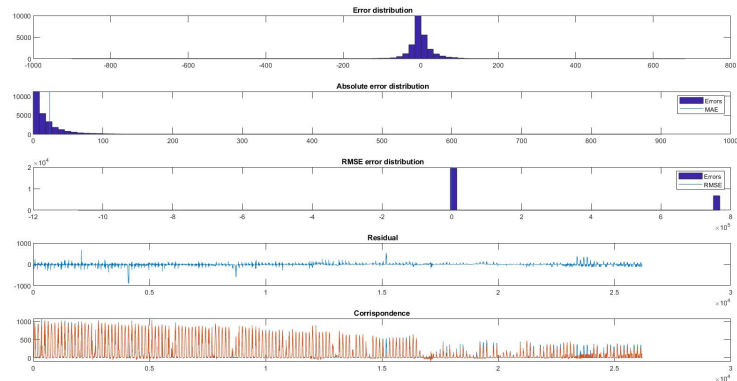


Figure 12.14: NN

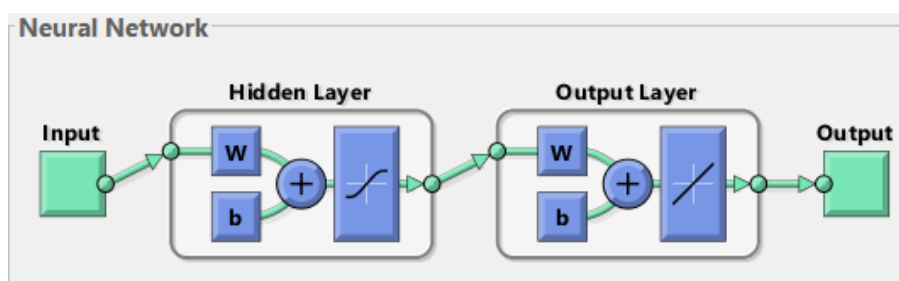


Figure 12.15: NN detail

Chapter 13

Circuit Development

Il circuito che deve essere realizzato funge da unità stand alone che, collegata col mondo esterno, permette di raccogliere la serie di dati, elaborarla e inviarla in remoto a un cloud esterno.

L'unità principale e cuore del progetto è il dispositivo CM3 di cui abbiamo ampiamente parlato in precedenza da cui ne deriva il circuito e lo schema in analisi in questo capitolo.

Per poter ottenere una maggiore flessibilità e modularità è stato deciso di suddividere in progetto e la conseguente *PCB* in due circuiti separati.

Questa scelta implica un leggero costo aggiuntivo a fronte di un migliore debug anche in caso di imprevisti.

13.1 Official CM3 Schematic

Il dispositivo CM3 è largamente impiegato in numerosi progetti , tanto che sono disponibili gli schemi ufficiali per poter creare una board ad hoc in base all'utilizzo custom che se ne vuole fare.

Questa sezione si pone il compito di descrivere le funzionalità del circuito disegnato.

13.1.1 Pag.1

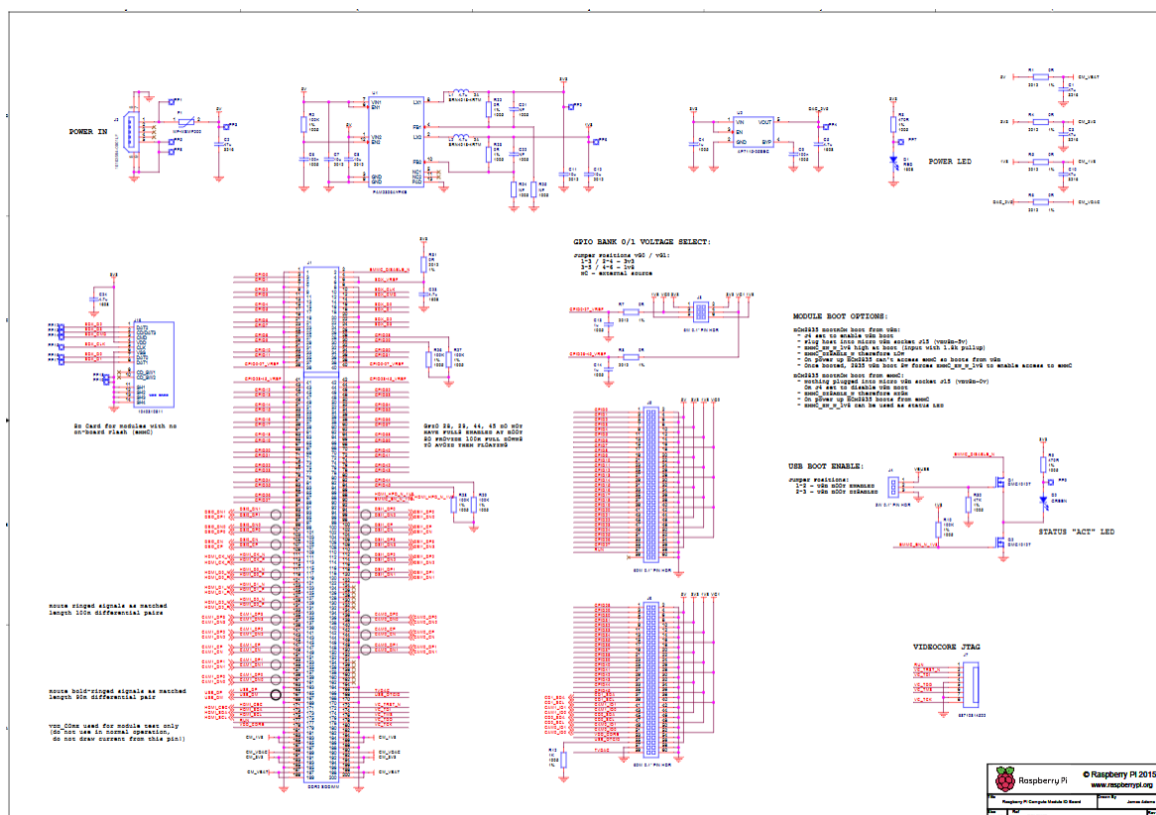


Figure 13.1: CM3 Schematic Pag1

13.1.2 Pag.2

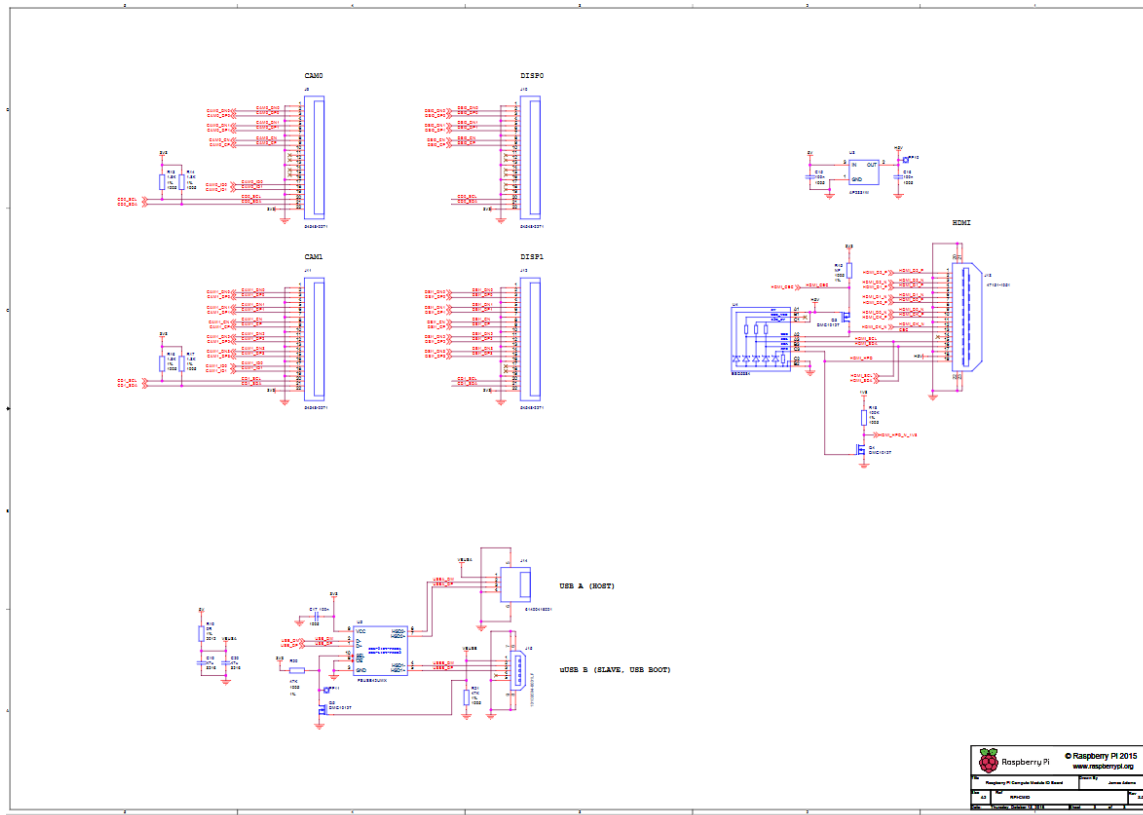


Figure 13.2: CM3 Schematic Pag2

13.1.3 Description - Available BLOCKS

- POWER SUPPLY
- FILTER
- MODULE PIN 0-100
- MODULE PIN 100-200

Power Supply

L'alimentazione del Raspberry CM3 avviene per mezzo di 3 potenziali diversi.

- 5.0V
- 3.3V
- 2.5V
- 1.8V

Il potenziale da 5.0V è quello di origine e viene prelevato senza nessun intervento dal connettore di alimentazione del circuito, di tipo *USB-MINI*.

Viene posto in serie un fusibile a reinserimento automatico da 4A di corrente di intervento e 2A di corrente di mantenimento.

Il tutto è visualizzabile nel blocco seguente.

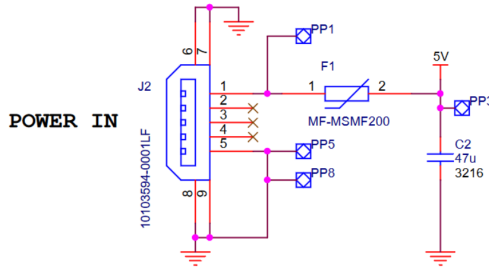


Figure 13.3: CM3 Power

L'alimentazione derivata è da 3.3V e 1.8V e sono tali da alimentare il CM3 nei pin dedicati.

Queste alimentazioni sono ottenute per mezzo di un convertitore stepdown *PAM2306 - DUAL HIGH-EFFICIENCY PWM STEP-DOWN DC-DC CONVERTER* che opera a 1.5MHz ed è in grado di fornire le due correnti di output fino a 1.0A per canale.

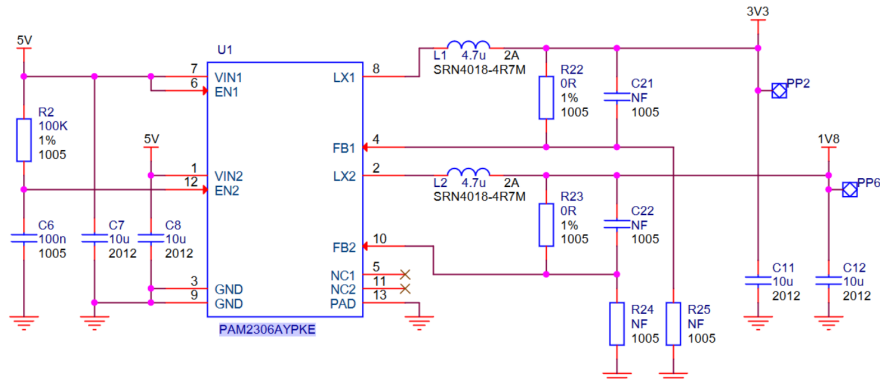


Figure 13.4: Power Supply

Ulteriore alimentazione da 2.5V è obbligatoria per il pin TV_DAC che non sarà utilizzato ma necessita comunque di potenziale presente su di esso .

Per poter ottenere questa alimentazione è importante utilizzare uno stepdown lineare *AP7115 - 150mA LOW DROPOUT LINEAR REGULATOR WITH SHUTDOWN*.

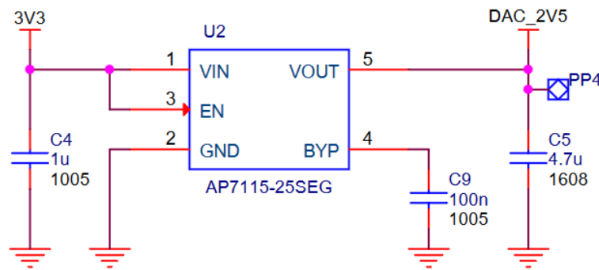


Figure 13.5: Power Supply 2

Esso come descritto nel relativo datasheet fornisce 2.5V con una uscita massima di 150mA.

Filter

Una volta stabilizzate, le tensioni, subiscono un filtraggio composto solamente da condensatori da 47uF,in parallelo che vengono posizionati nel design originale a ridosso del CM3.

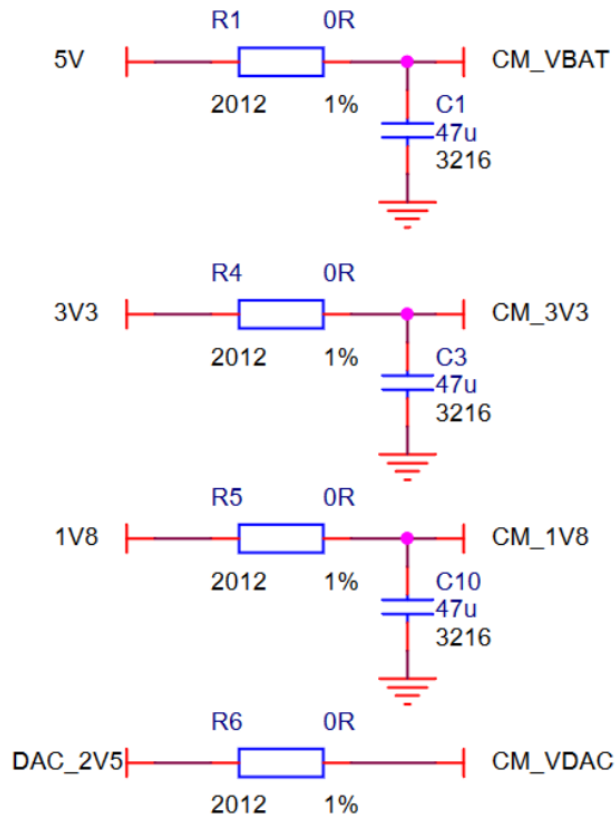


Figure 13.6: Filter 1

Per riassumere, il CM3 ha bisogno sempre delle seguenti alimentazioni anche se i GPIO e i TVDAC non vengono utilizzati.

Supply	Description	Minimum	Typical	Maximum	Unit
VBAT	Core SMPS Supply	2.5	-	5.0 + 5%	V
3V3	3V3 Supply Voltage	3.3 - 5%	3.3	3.3 + 5%	V
1V8	1V8 Supply Voltage	1.8 - 5%	1.8	1.8 + 5%	V
VDAC	TV DAC Supply ^a	2.5 - 5%	2.8	3.3 + 5%	V
GPIO0-27_VDD	GPIO0-27 I/O Supply Voltage	1.8 - 5%	-	3.3 + 5%	V
GPIO28-45_VDD	GPIO28-27 I/O Supply Voltage	1.8 - 5%	-	3.3 + 5%	V
SDX_VDD	Primary SD/eMMC Supply Voltage	1.8 - 5%	-	3.3 + 5%	V

Figure 13.7: Power Detail

Module Pin 0-100

Dal pin 1 al pin 100 il modulo di per sè non ha bisogno di molti accorgimenti se non alcune alimentazioni , come indicate nello schema, e l'obbligo di mettere a *GND* tramite delle resistenze da 100K 4 pin che altrimenti sarebbero floating.

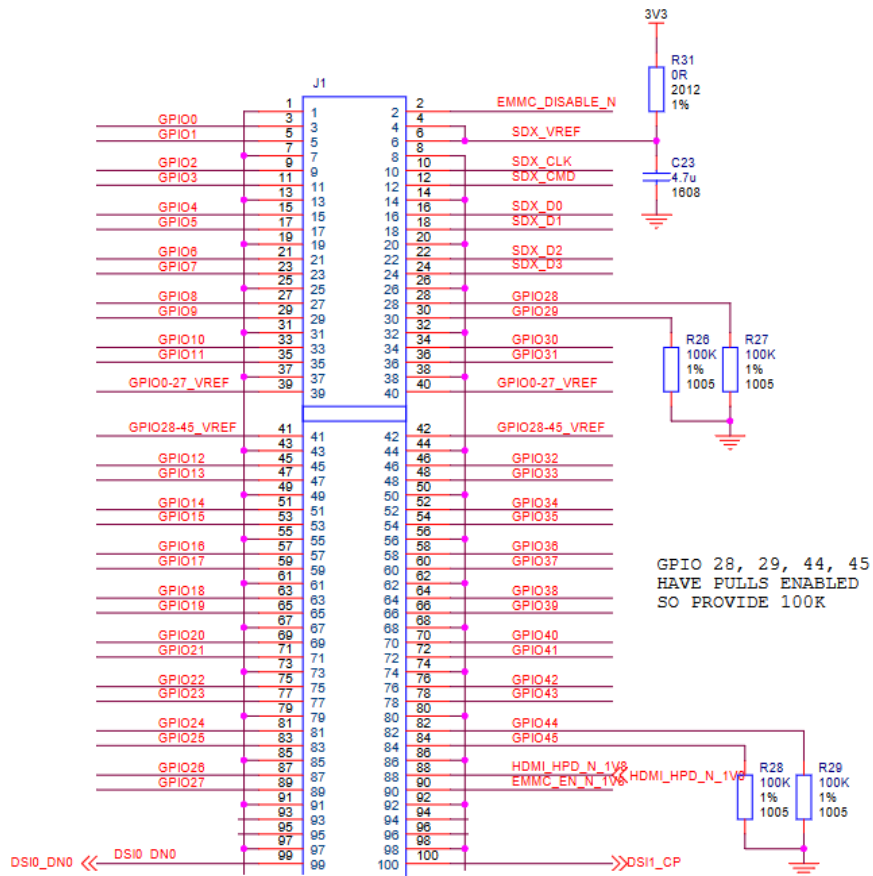


Figure 13.8: PIN 0-100

Sono presenti i GPIO 2 e 3 che contengono la funzionalità di pilotaggio del bus I^2C tramite resistenza di pullup da 1.8K a 3.3V.

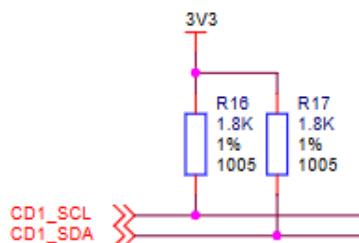


Figure 13.9: Pullup resistor

Module Pin 100-200

Anche nella seconda parte del modulo sono necessarie solo alcune alimentazioni, tuttavia risiedono anche le funzionalità di porta USB, che potranno gestire WI-FI o altri dispositivi.

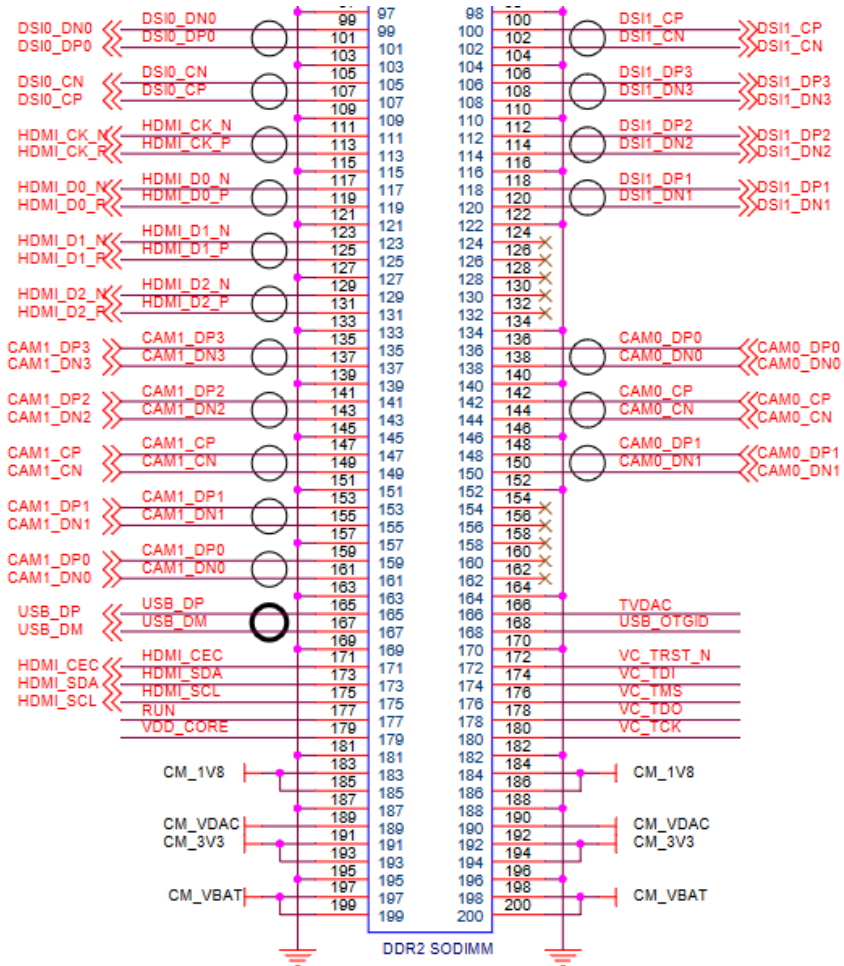


Figure 13.10: PIN 100-200

La funzionalità USB è nativa nei pin 165 e 167.

13.1.4 Description - Unavaible BLOCKS

Alcuni blocchi sono stati omessi per molteplici ragioni che sono descritti nella relativa sezione.

- BANK VOLTAGE SELECT
- BOOT ENABLE
- VIDEOCORE JTAG
- CAM & DISP OUT
- HDMI
- USB HOST/SLAVE

Bank Voltage Select

A fronte del fatto che nessuno dei GPIO viene utilizzato con diverse tensioni se non 3.3V è stato omesso tutto il circuito di selezione delle tensioni di alimentazione degli stessi.

GPIO BANK 0/1 VOLTAGE SELECT:

Jumper Positions VG0 / VG1:
 1-3 / 2-4 = 3V3
 3-5 / 4-6 = 1V8
 NC = external source

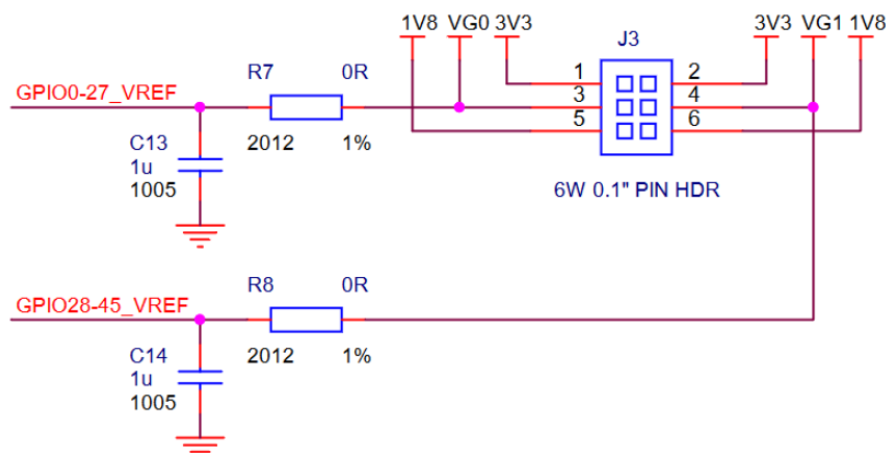


Figure 13.11: Bank Voltage Select

I pin GPIO_REF sono così connessi a una alimentazione 3.3V fissa.

Boot Enable

Per quanto riguarda la gestione della memoria eEMC e del suo contenuto si ritiene necessario che il BOOT e il caricamento del firmware avvenga dall'utente sviluppatore in modo che l'utente finale non possa avere accesso e possibilità di modifica dello stesso.

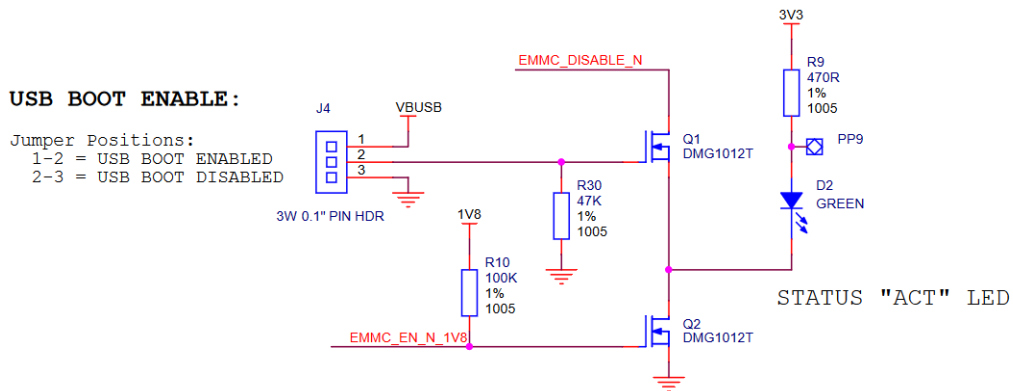


Figure 13.12: Boot Enable

VideoCore JTAG

Non essendo presente nessuna interfaccia Video è stata eliminata anche la relativa presa di diagnostica JTAG nata per il suo *Debug*.

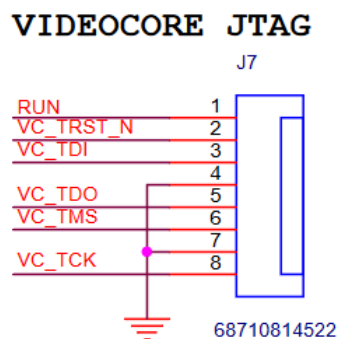


Figure 13.13: VideoCore

CAM & DISP OUT

Come da progetto non è presente nessuna camera ne nessun display associato.

Per questo motivo sono state eliminate anche le uscite trattate in questa sezione.

E' stato necessario recuperare la funzione di pullup per i pin relativi all' I^2C .

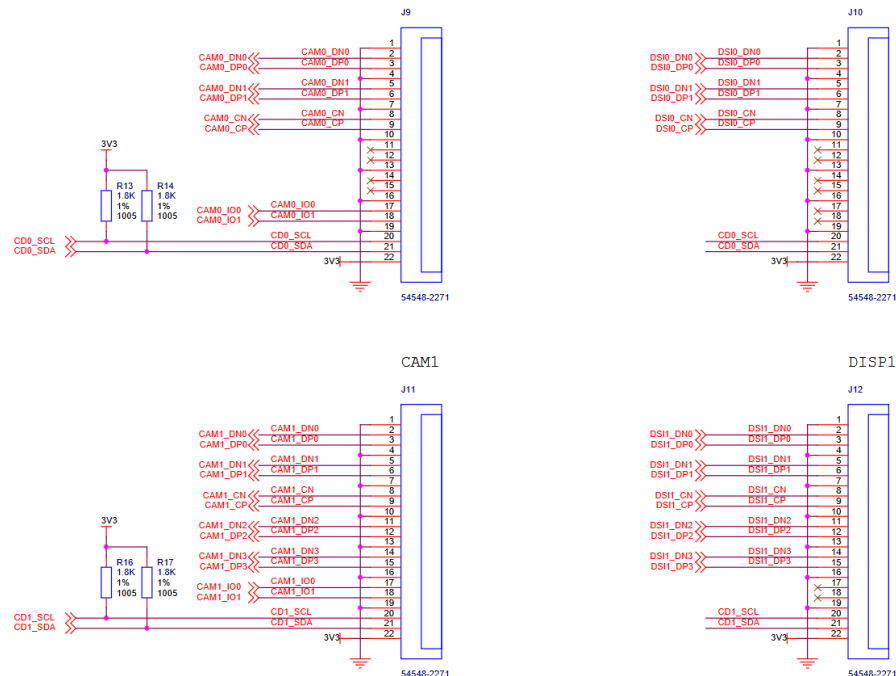


Figure 13.14: Cam and Disp Out

HDMI

Come per la sezione precedente la funzionalità HDMI è stata eliminata in quanto non sarà la modalità di diffusione dei risultati.

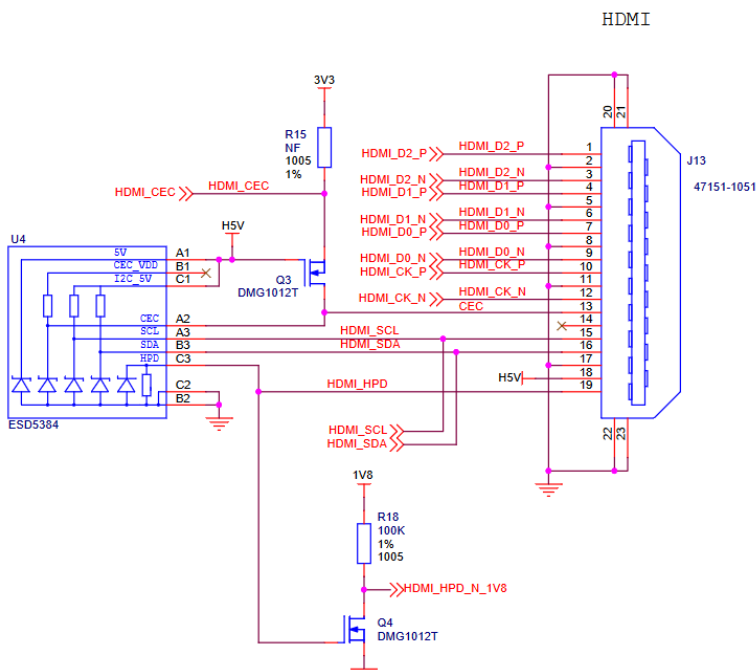


Figure 13.15: HDMI

USB Host & Slave

Non essendo necessario utilizzare la doppia funzionalità USB, si è reso possibile eliminare il MUX usb a favore di una sola porta.

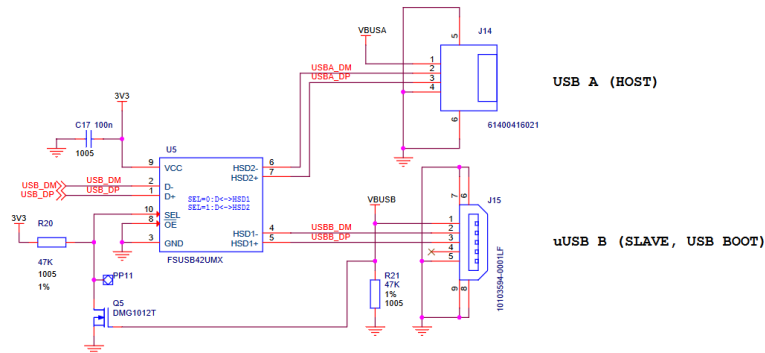


Figure 13.16: USB Host

13.2 Official Sensors Schematic

I sensori sono disponibili con breakout board presso alcuni shop come , sparkfun.com e adafruit.com, per questo motivo esistono schemi relativi ad essi e alle breakout board associate.

Essi sono sostanzialmente sempre divisi in questi blocchi comuni a tutti i sensori:

- Power Supply
- Ic
- Level Shifter

Power Supply

I sensori vengono alimentati tutti a 3.3V ma per isolare l'alimentazione e fornirne una di maggiore qualità è stato scelto un buck converter lineare *MIC5225-3.3* in grado di alimentare tutti i sensori necessari privandoli del noise che un alimentatore switching fornirebbe.

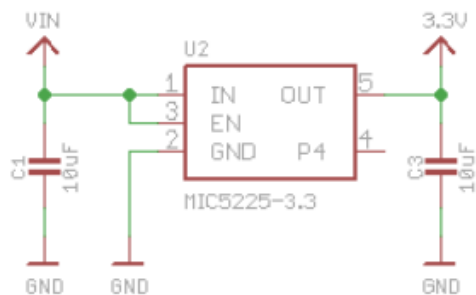


Figure 13.17: Regulator

IC

L'IC è dedicato per ogni applicazione ed è già stato descritto in precedenza in questo testo.

Level Shifter

A causa della doppia compatibilità con la piattaforma Arduino le breakout board utilizzano un level shifter da 5V a 3.3V

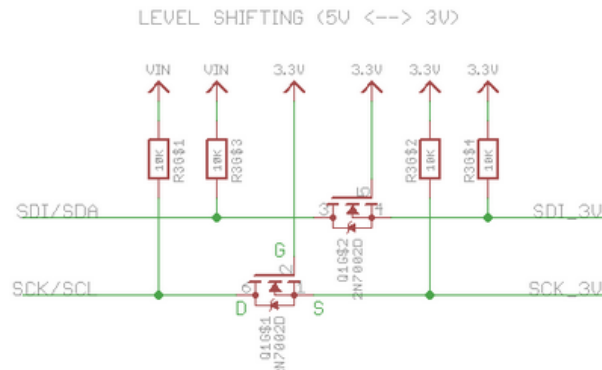


Figure 13.18: Level Shifter

13.2.1 BME680

Object

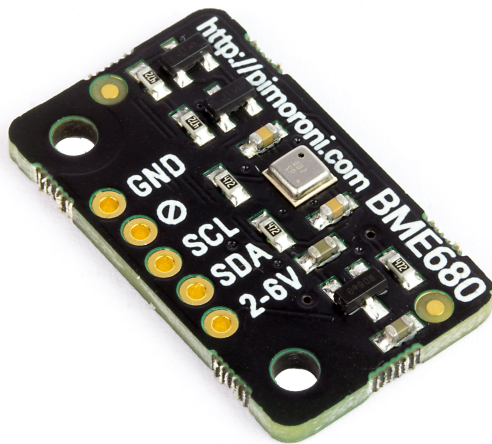


Figure 13.19: BME 680 Board

Schematic

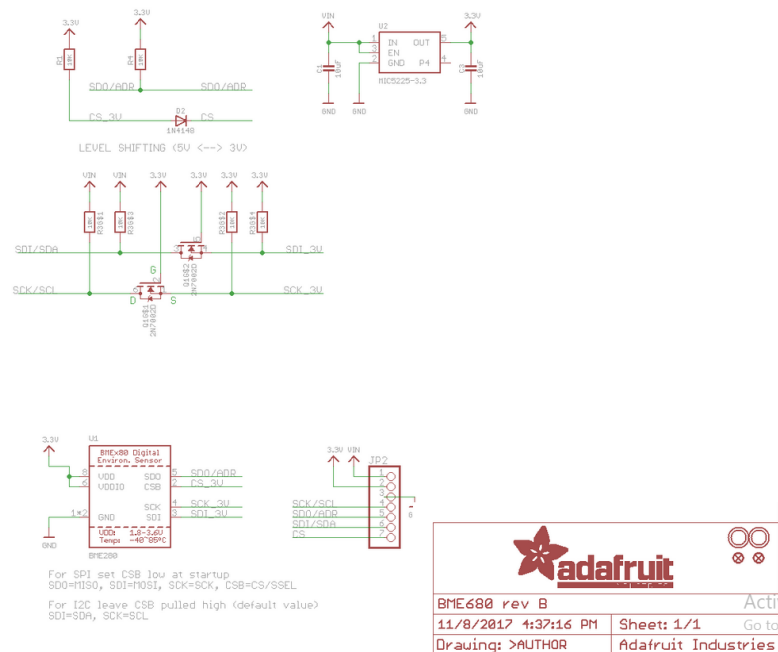


Figure 13.20: BME 680 Schematic

13.2.2 VEML7700

Object



Figure 13.21: VEML 7700 Board

Schematic

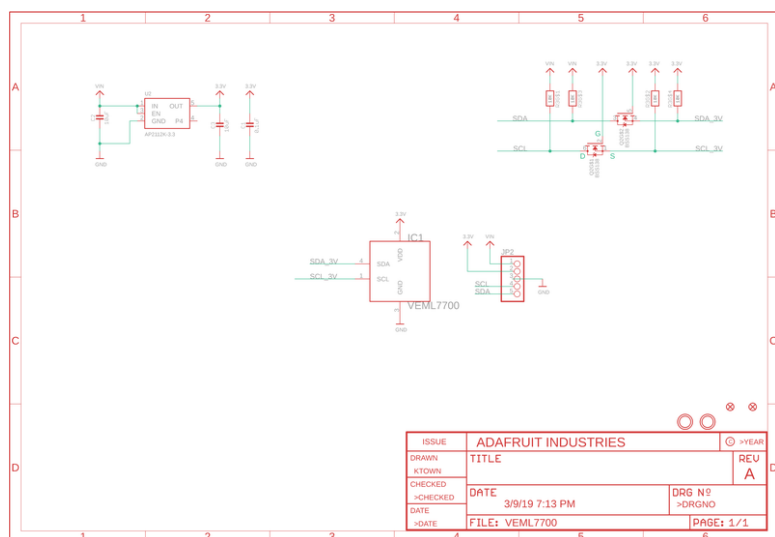


Figure 13.22: VEML 7700 Schematic

13.2.3 AS7262

Object

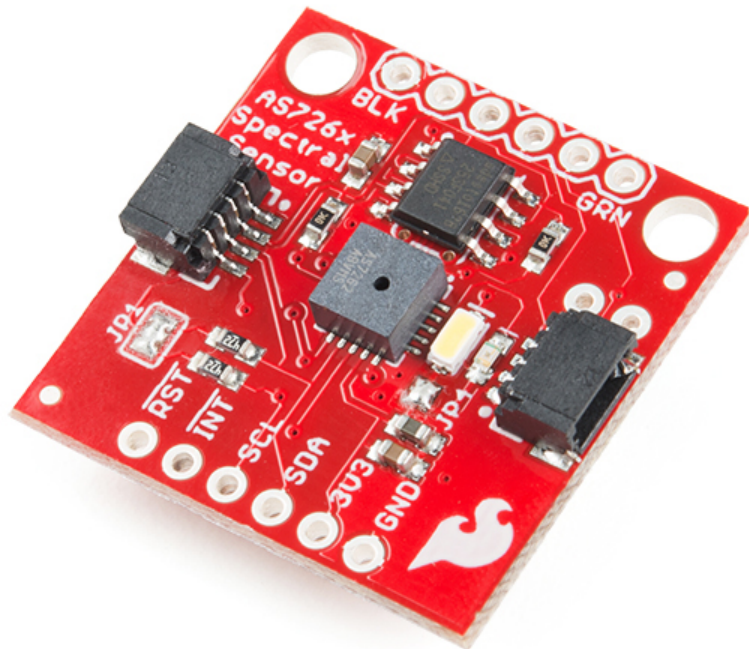


Figure 13.23: AS7262 Board

Schematic

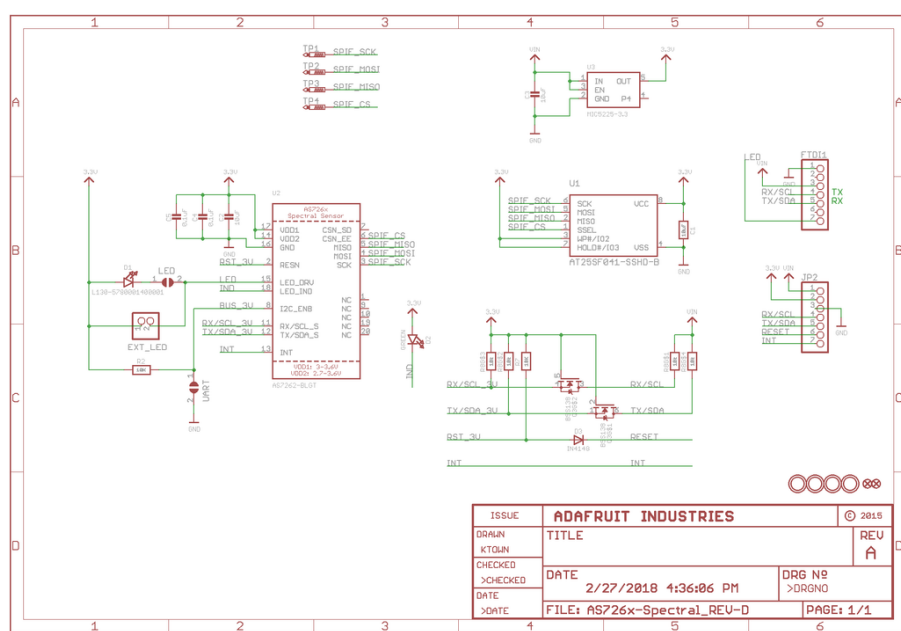


Figure 13.24: AS7262 Schematic

13.3 Development CM3 Schematic

In base a quanto detto nel capitolo precedente si è scelto di snellire al massimo la piattaforma e di eliminare tutte le periferiche non attive al nostro utilizzo.

Per questo motivo attraverso il software di modellazione pcb *Altium* si è reso possibile approcciare lo schema e il layout definitivo per il sensore.

Seguendo le generalità dello schema ufficiale è stata aggiunta successivamente la possibilità di gestire la periferica usb aggiuntiva e integrare il modulo WIFI.

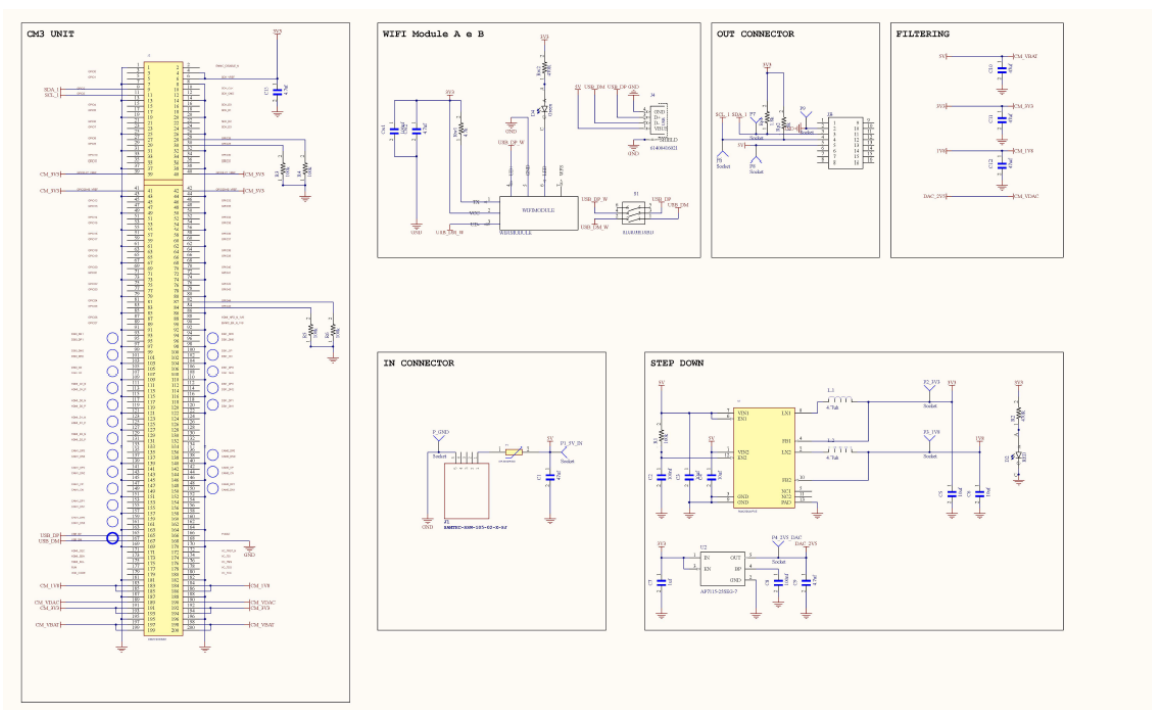


Figure 13.25: CM3 Schematic 1

In aggiunta allo schema *Official* troviamo quindi il dispositivo WIFI e la possibilità di usare un pcb aggiuntivo per i sensori.

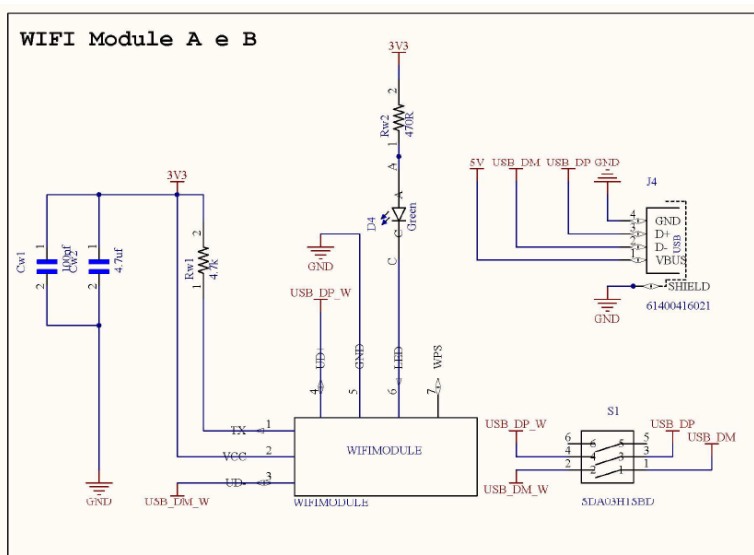


Figure 13.26: Wifi Detail

13.4 Development Sensors Schematic

La sezione sensori non comprende il BME680 che risulterà esterno ma unisce invece tutti i sensori di luce ossia, AS7262, VEML7700 E VEML 6075.

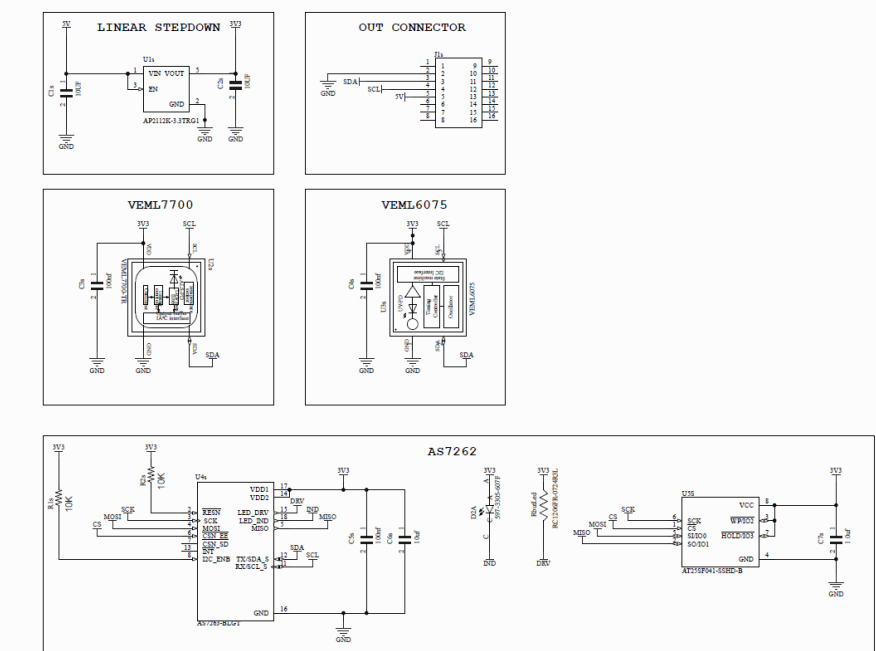


Figure 13.27: Sensor Schematic

13.5 Development CM3 Layout

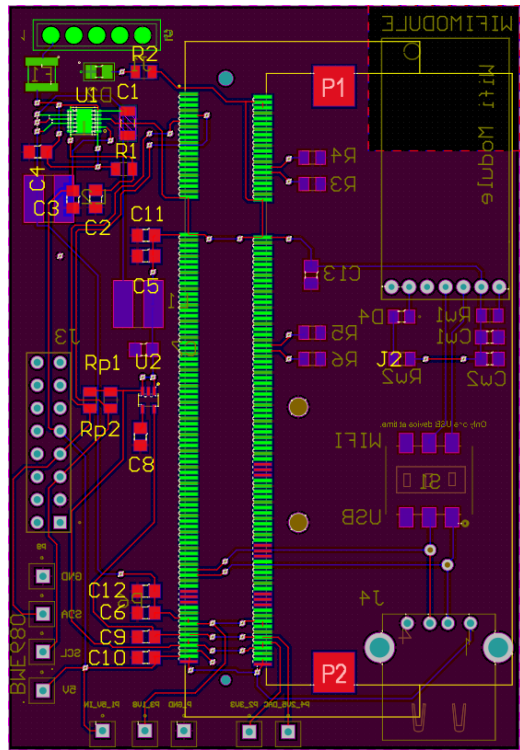


Figure 13.28: Front

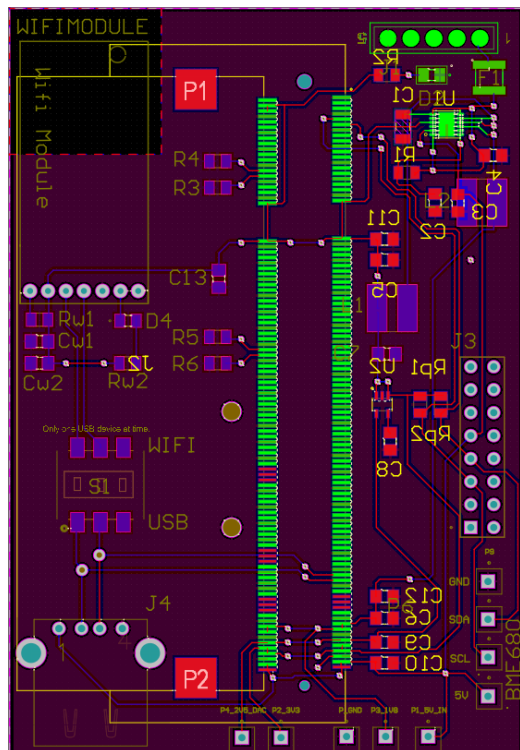


Figure 13.29: Bottom

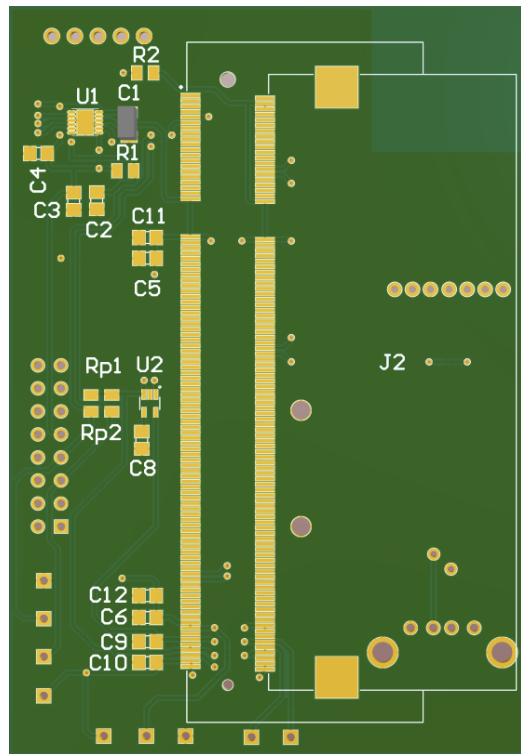


Figure 13.30: Front

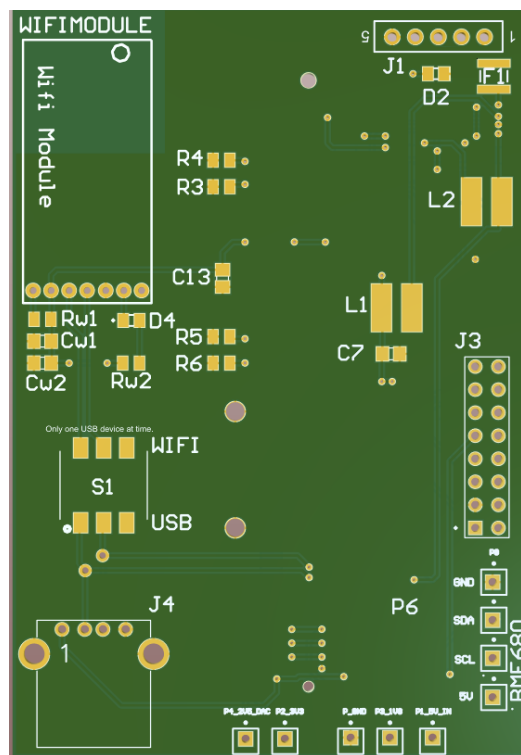


Figure 13.31: Bottom

13.6 Development Sensors Layout

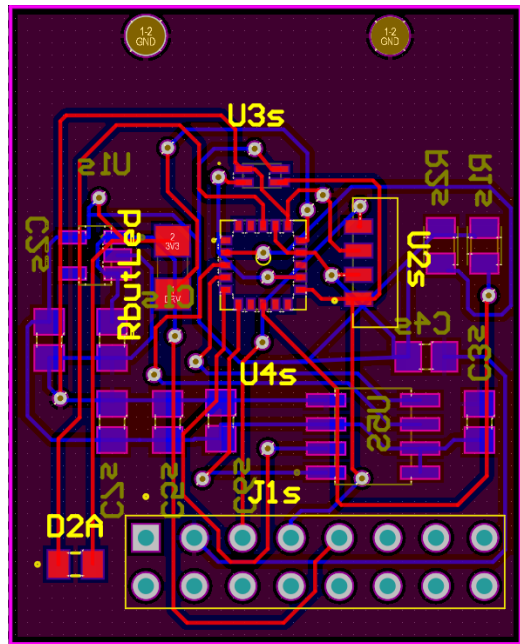


Figure 13.32: Front

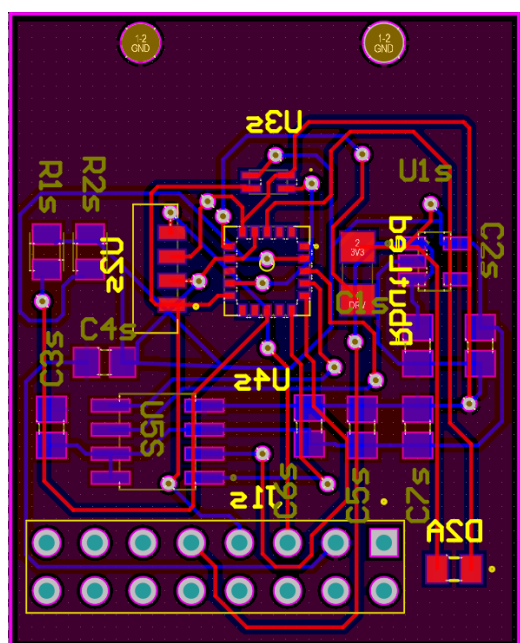


Figure 13.33: Bottom

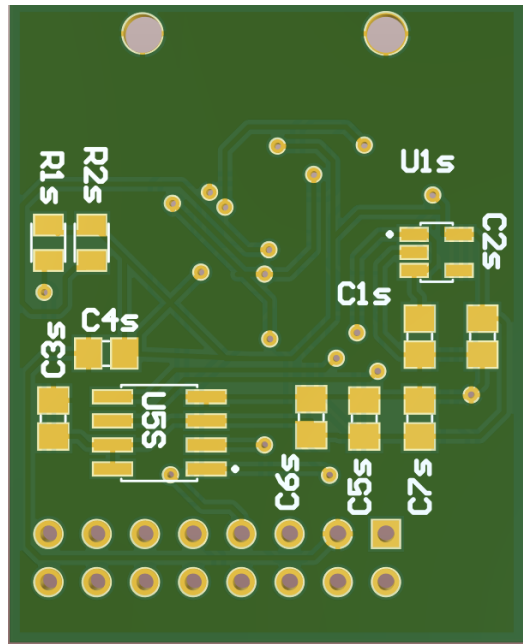


Figure 13.34: Front

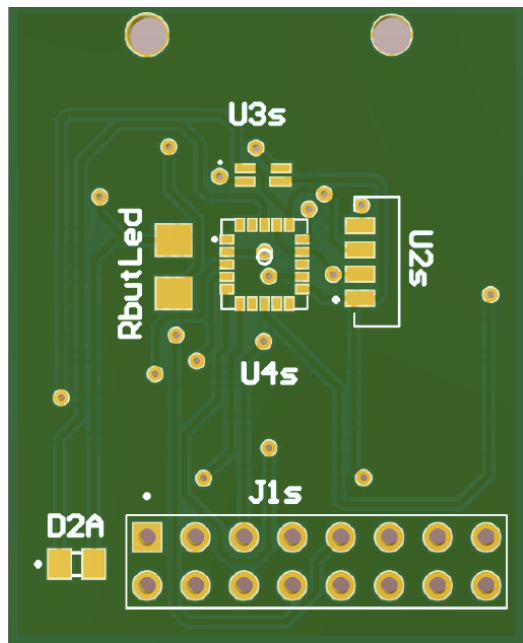


Figure 13.35: Bottom

13.7 Prototype

La realizzazione delle pcb prototipali è stata affidata al produttore cinese *PCBway* che le ha realizzate secondo le specifiche richieste.

13.7.1 CM3 Board

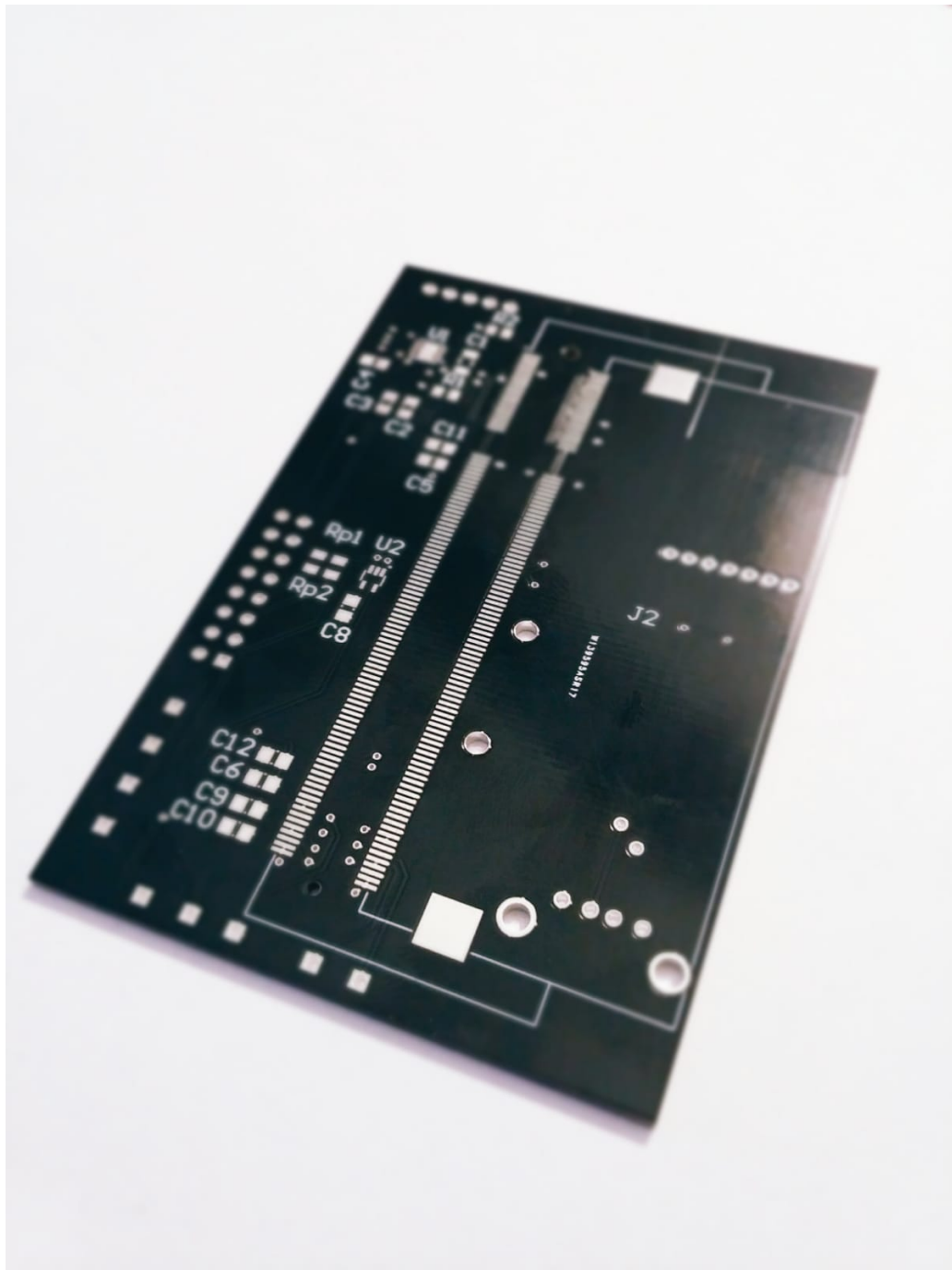


Figure 13.36: Front

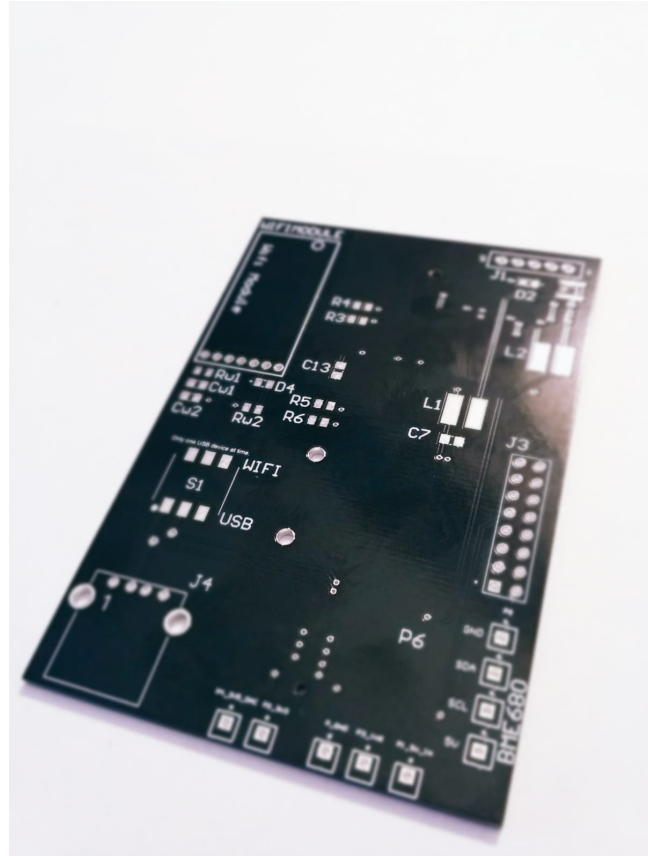


Figure 13.37: Bottom

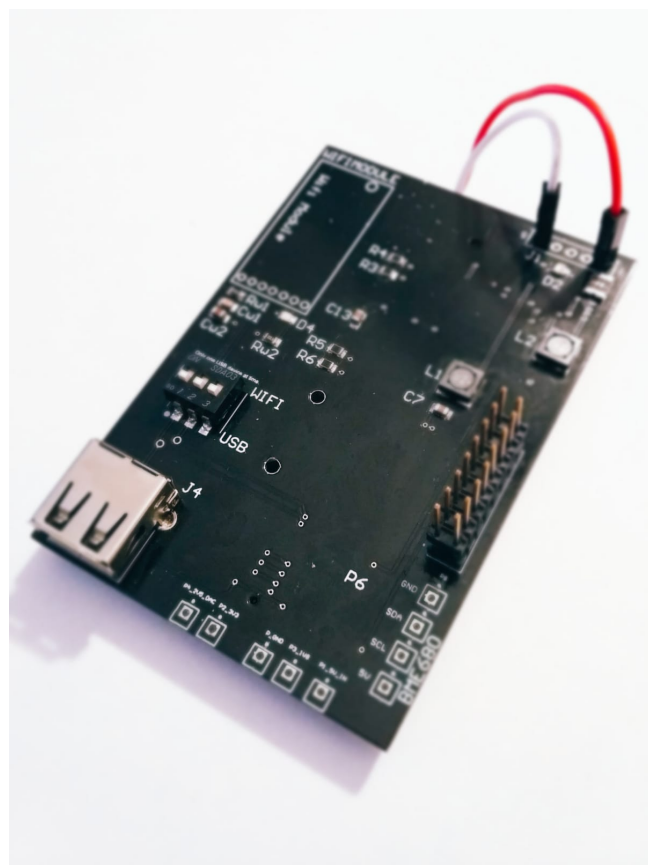


Figure 13.38: Front



Figure 13.39: Bottom

13.7.2 Sensor Board

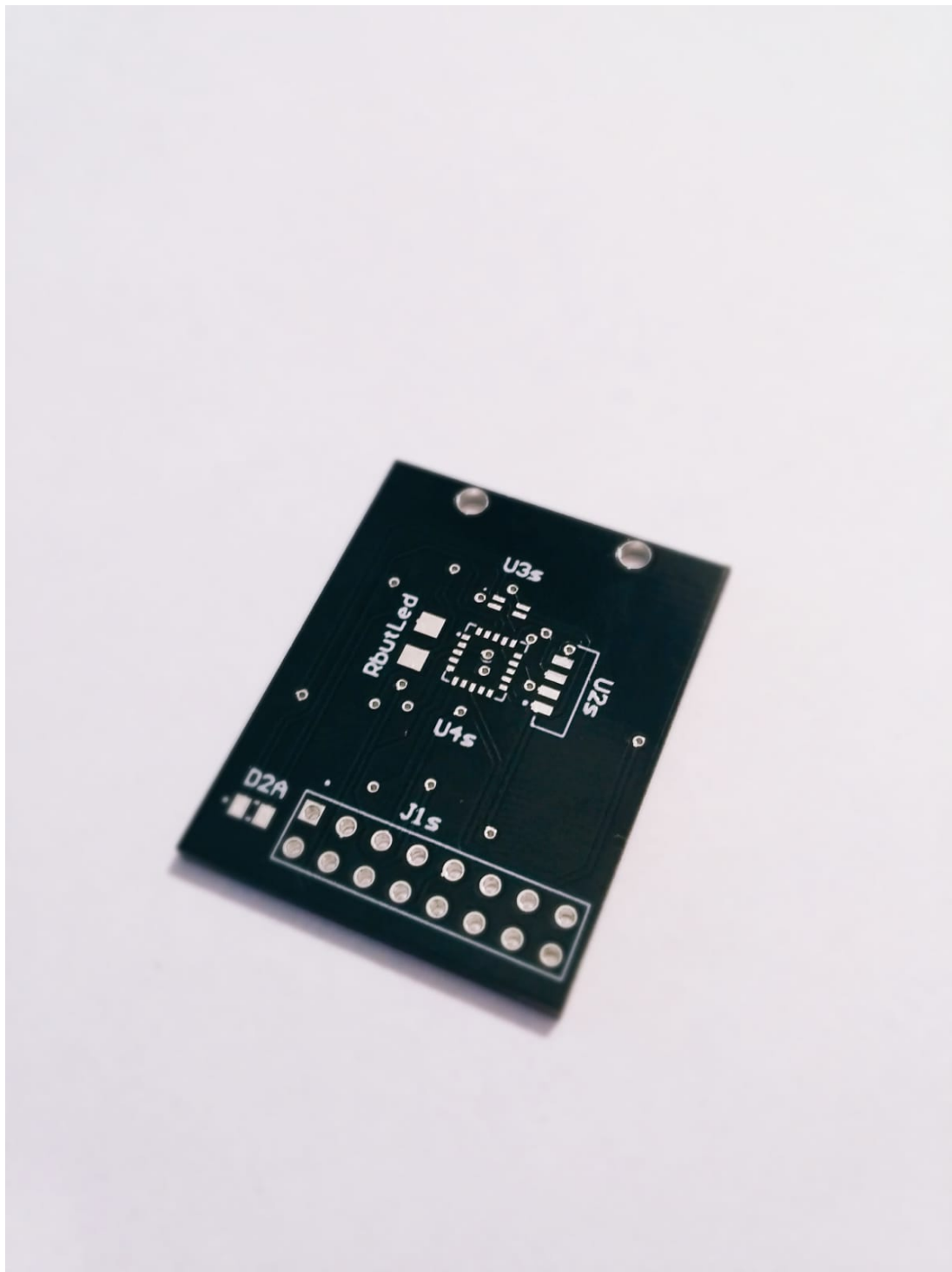


Figure 13.40: Front

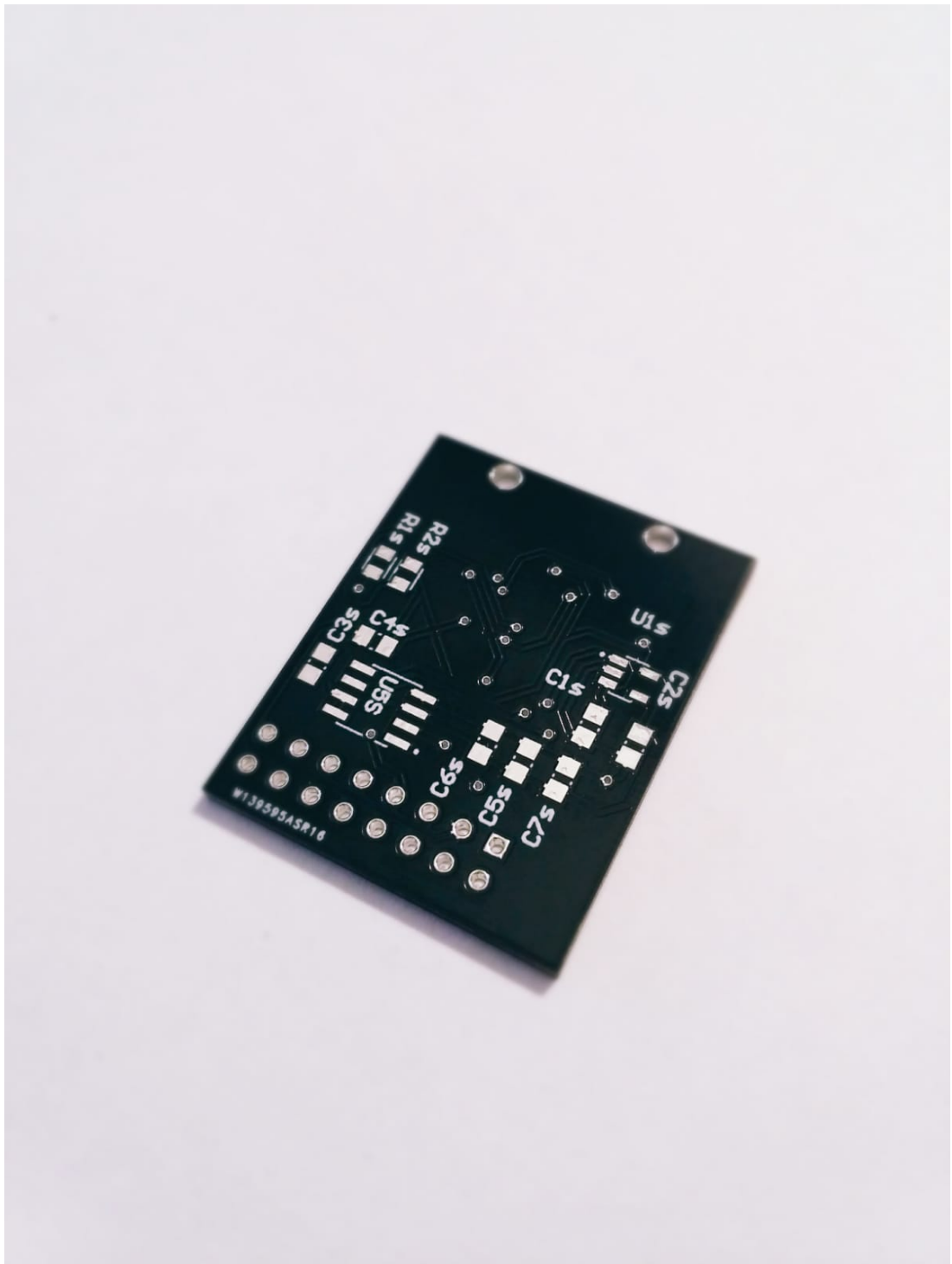


Figure 13.41: Bottom

13.7.3 Sensor Revision

Il bus di comunicazione predilige un indirizzo di oggetto unico, per cui nell'architettura I^2C non risulta possibile senza multiplexer esterni la comunicazione con device che abbiano lo stesso address.

Per questo motivo la PCB dei sensori è stata modello VEML6075V che ha un altro address e presenta però due pin supplementari, *RESET* e *ACK* opportunamente settati.

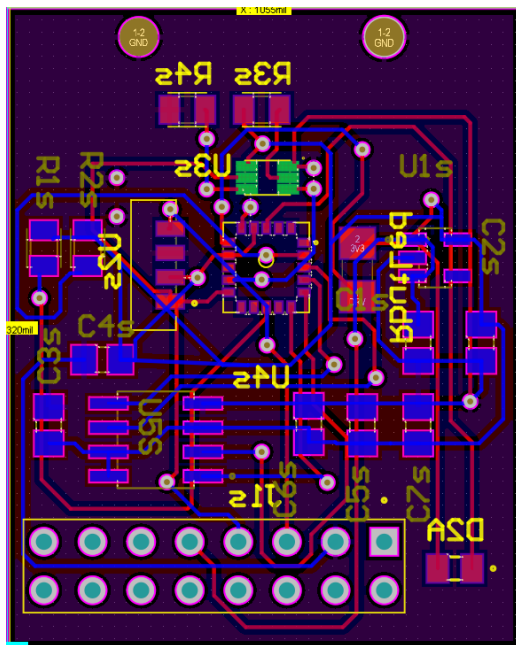


Figure 13.42: Revision 1 Front

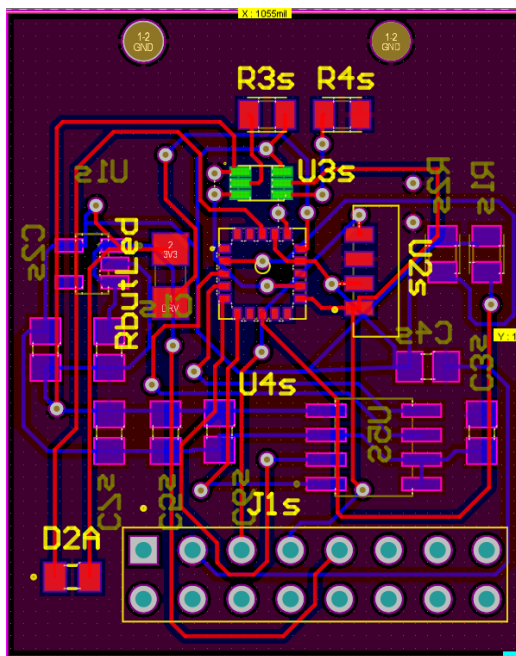


Figure 13.43: Revision 1 Bottom

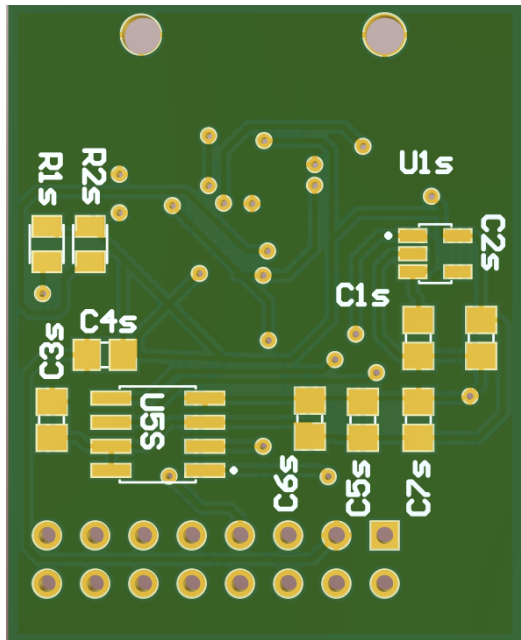


Figure 13.44: Front

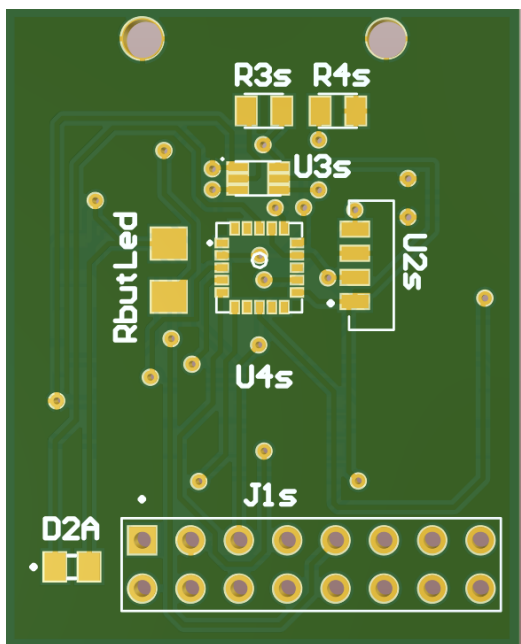


Figure 13.45: Bottom

Una volta assemblata la board si presenta come di conseguenza. La saldatura dei componenti con package QFN è stata eseguita tramite forno.

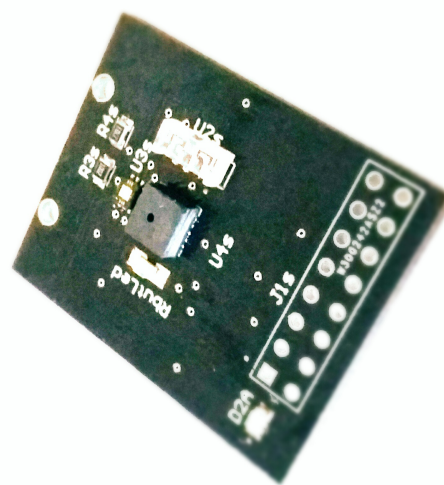


Figure 13.46: Sensor Board Front

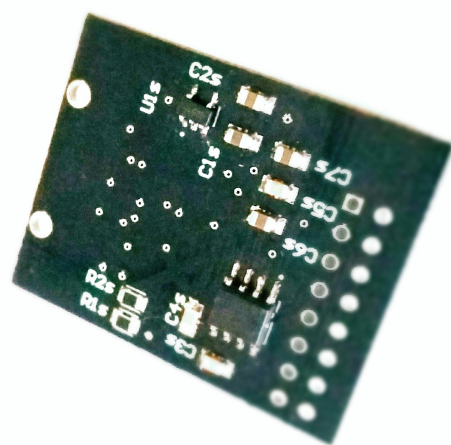


Figure 13.47: Sensor Board Rear

Chapter 14

Python Code

L'implementazione della sezione software avviene per mezzo del linguaggio *Python* largamente usato in ambiente Unix e con HW Raspberry.

14.1 Story

La storia del linguaggio di programmazione Python risale alla fine degli anni '80. Fu concepito alla fine degli anni '80 e la sua attuazione iniziò nel dicembre 1989 da Guido van Rossum. Esso nasce nei Paesi Bassi come successore del linguaggio di programmazione ABC in grado di gestire eccezioni e interfacciamento con il sistema operativo Amoeba. Van Rossum è il principale autore di Python e continua ad occupare un ruolo centrale nel decidere la politica di Python.

Python è un linguaggio di programmazione di alto livello per tutti gli usi ed ad oggi è ampiamente utilizzato. La filosofia enfatizza la leggibilità del codice e la sua sintassi consente ai programmatore di esprimere concetti in meno righe di codice rispetto a linguaggi come C ++ o Java. Il linguaggio fornisce costrutti destinati a creare programmi chiari su piccola e grande scala. Python supporta molteplici paradigmi di programmazione, orientati agli oggetti, programmazione funzionale e stili procedurali. È dotato di un sistema di tipo dinamico e di una memoria automatica di gestione e ha una libreria standard ampia e completa. Gli interpreti Python sono disponibili per molti sistemi operativi, consentendo l'esecuzione di codice Python su una vasta gamma di sistemi. Python è un linguaggio di programmazione multi-paradigma.

Molti altri paradigmi sono supportati utilizzando estensioni, compresa la scrittura per contratto e la programmazione logica. Python utilizza la digitazione dinamica e una combinazione di conteggio dei riferimenti e un garbage collector a rilevazione ciclica per la gestione della memoria. Una caratteristica importante di Python è la risoluzione dinamica dei nomi (late binding), che lega i nomi dei metodi e delle variabili durante il programma esecuzione. Il design di Python offre un supporto per la programmazione funzionale secondo la tradizione Lisp. La libreria standard ha due moduli `itertools` e `functools`. Inoltre, Python ha vantaggi significativi rispetto ai vari linguaggi di programmazione, ad esempio:

- sintassi pulita (per l'assegnazione di blocchi per utilizzare le deroghe);
- programmi di tolleranza (caratteristici della maggior parte delle lingue interpretate);
- la distribuzione normale ha molti moduli utili (incluso il modulo per lo sviluppo della GUI);
- l'uso di Python in modalità interattiva (molto utile per la sperimentazione e la risoluzione di problemi semplici);
- la distribuzione normale è un ambiente di sviluppo semplice ma allo stesso tempo piuttosto potente, che lo è chiamato IDLE e ciò che è scritto in Python;
- adatto a risolvere problemi matematici (un mezzo per lavorare con numeri complessi, può operare con numeri interi di dimensioni arbitrarie, una finestra di dialogo può essere utilizzata come un potente calcolatore).

Tuttavia, Python presenta ancora alcuni svantaggi. Python come molti altri linguaggi interpretati non si applicano, ad esempio, i compilatori JIT. Inoltre, la mancanza di tipizzazione statica e alcuni altri motivi non consentono di implementare un meccanismo di verifica della funzione Python al momento della compilazione.

Python ha una grande libreria standard, comunemente citata come uno dei maggiori punti di forza del linguaggio stesso .

Per le applicazioni rivolte a Internet, un gran numero di formati e protocolli standard (come come MIME e HTTP) sono supportati. Moduli per la creazione di interfacce utente grafiche, connessione a banche dati, generatori di numeri pseudocasuali, aritmetica con decimali di precisione arbitraria, manipolazione sono inoltre incluse espressioni regolari e test unitari. Tuttavia, poiché la maggior parte della libreria standard è multi-piattaforma, ci sono solo alcuni moduli che devono essere modificati o riscritti completamente in alternative implementazioni. Una caratteristica principale di Python è proporre nuove importanti funzionalità, raccogliere input da parte della comunità su un problema e documentare le decisioni di progettazione. Il miglioramento del linguaggio si accompagna allo sviluppo di CPython. La mailing list python-dev è il forum principale di discussione sulla lingua sviluppo; problemi specifici sono discussi su python.org. Lo sviluppo avviene su un repository di codice sorgente auto-ospitato. Python garantisce un numero di alfa, beta e release candidate che sono rilasciate come anteprime e per i test prima che venga effettuata la versione finale.

Sebbene ci sia una versione sperimentale per ogni versione, questa viene spesso respinta se il codice non è pronto. Il team di sviluppo monitora lo stato del codice eseguendo la suite di test di unità di grandi dimensioni durante lo sviluppo e utilizzando il sistema di integrazione continua "BuildBot". Anche la community di sviluppatori Python ha contribuito oltre 72.000 moduli software (da gennaio 2016). Il nome di Python deriva dalla serie televisiva Monty Python's Flying Circus ed a oggi è il terzo linguaggio più popolare in cui la sintassi grammaticale non si basa principalmente su C.

Python è ampiamente usato in molti grandi aziende.

14.2 Prototyping - PyCharm

Per consentire l'utilizzo dell'hardware effettivo composto da CM3 e dalla filiera di sensori scelti, ed essere sicuri che il tutto venga svolta in piena compatibilità col prodotto finale è stato necessario utilizzare l'applicativo PyCharm.

PyCharm è un ambiente di sviluppo integrato (IDE) utilizzato nella programmazione , in particolare per il linguaggio Python. È sviluppato dalla società ceca JetBrains. Fornisce analisi del codice, un debugger grafico, un tester di unità integrato, integrazione con i sistemi di controllo versione (VCSEs) e supporta lo sviluppo Web con Django e Data Science con Anaconda. [7]

PyCharm è multipiattaforma, con versioni Windows, macOS e Linux. La Community Edition è rilasciata con licenza Apache, è disponibile anche la Professional Edition con funzionalità extra, rilasciata con licenza proprietaria di cui possiamo usufruire tramite la licenza Supsi.

```
AS7262Sensor.GetLedControlRegister(self):
    value_str = "RSVD=0, ICL_DRV={:0>1b}, LED_DRV={:0>1b}, ICL_IND={:0>1b}\\".format(
        self.I2cDevice.LED_CONTROL.get_illumination_current_limit_ma(),
        self.I2cDevice.LED_CONTROL.get_illumination_enable(),
        self.I2cDevice.LED_CONTROL.get_indicator_current_limit_ma(),
        self.I2cDevice.LED_CONTROL.get_indicator_enable()
    )
    return (value_str)
# End Function

# Get the Bits in the Control and SetUp Register
def GetControlRegister(self):
    value_str = "RSVD=0, ICL_DRV={:0>1b}, LED_DRV={:0>1b}, ICL_IND={:0>1b}\\".format(
        self.I2cDevice.LED_CONTROL.get_illumination_current_limit_ma(),
        self.I2cDevice.LED_CONTROL.get_illumination_enable(),
        self.I2cDevice.LED_CONTROL.get_indicator_current_limit_ma(),
        self.I2cDevice.LED_CONTROL.get_indicator_enable()
    )
    return (value_str)
# End Function

# GetSensorData
# -----
def GetSensorData(self, timeout = 10):
    """Return an instance of CalibratedValues containing the 6 spectral bands."""
    t_start = time.time()

    # While Condition is true if GetDataReady is 0 and the Lasted time is Less then 10 sec
    while:
        if(self.I2cDevice.CONTROL.get_data_ready() == 0) and \
            ((time.time() - t_start) <= timeout):
            pass
    # End While

    # Call Device
    # -----
    # Write "GetSensorValue" I2C Address=0x{:x}, 'RegisterAddr=0x{:1x}', NumBytes='{:2}'

    # Mspl = self.Msg.format(self.I2cAddr, RegisterAddr, NumBytes)
    # print(Mspl)

    # Check Num Bytes
    if NumBytes == 1:
        # Read from the Address I2cAddr, with OffSet RegisterAddr, 1 Byte
        Res = self.Bus.read_byte_data(self.I2cAddr, RegisterAddr)
    else:
        # Read from the Address I2cAddr, with OffSet RegisterAddr, "NumBytes" Bytes
        Res = self.Bus.read_i2c_block_data(self.I2cAddr, RegisterAddr, NumBytes)

    # Call Warning
    if Res < 0:
        self.Warning("Error reading Register Value: {:x}, Error: {:x}".format(RegisterAddr, Res))

    # Return a List with the Read Bytes
    return(Res)
# EndFunction
```

Figure 14.1: PyCharm 1

```
BM680Sensor.SetGasStatus(self, Value):
    # Enable/Disable gas sensor
    self.SetRegisterBits(self.CONF_ODR_RUN_GAS_NBC_ADDR, self.RUN_GAS_MASK, self.RUN_GAS_POS, Value)
# End Function

# GetRegisterValue
# -----
def GetRegisterValue(self, RegisterAddr, NumBytes):
    # Call Warning
    # Write "GetRegisterValue" I2C Address=0x{:x}, 'RegisterAddr=0x{:1x}', NumBytes='{:2}'

    # Mspl = self.Msg.format(self.I2cAddr, RegisterAddr, NumBytes)
    # print(Msg)

    # Check Num Bytes
    if NumBytes == 1:
        # Read from the Address I2cAddr, with OffSet RegisterAddr, 1 Byte
        Res = self.Bus.read_byte_data(self.I2cAddr, RegisterAddr)
    else:
        # Read from the Address I2cAddr, with OffSet RegisterAddr, "NumBytes" Bytes
        Res = self.Bus.read_i2c_block_data(self.I2cAddr, RegisterAddr, NumBytes)

    # Call Warning
    if Res < 0:
        self.Warning("Error reading Register Value: {:x}, Error: {:x}".format(RegisterAddr, Res))

    # Return a List with the Read Bytes
    return(Res)
# EndFunction
```

Figure 14.2: PyCharm 2

```

File Edit View Navigate Code Refactor Run Tools VCS Window Help
Project: AS7262Sensor
  main.py PySensorsDialogImpl.py AS7262Sensor.py VEML6070Sensor.py DataVault.py PySensorsDialog.py BME280Sensor.py VEML7700Sensor.py
  AS7262Sensor
    AS7262Sensor.py
      self.Version_Register = Register\(
        'VERSION', 0x0000, fields = [
          BitField('hw_type', 0xFF000000), BitField('fw_version', 0x00FF0000),
          BitField('fw_version', 0x0000FFFF, adapter = FWVersionAdapter()), bit_width=27, read_only=True
        ]
      )
      # Control Register
      self.Control_Register = Register\(
        'CONTROL', 0x0000, fields = [
          BitField('reset', 0b10000000), BitField('interrupt', 0b00100000),
          BitField('gain_x', 0b00110000, adapter = LookupAdapter({1: 0b00, 3: 0b01, 16: 0b10, 64: 0b11})), BitField('measurement_mode', 0b00000100),
          BitField('data_ready', 0b00000010)
        ]
      )
      # IntegrationTime Register
      self.IntegrationTime_Register = Register\(
        'INTEGRATION_TIME', 0x0005, fields = [
          BitField('ns', 0xFF, adapter = IntegrationTimeAdapter())
        ]
      )
AS7262Sensor : __init__.py

```

Figure 14.3: Py Charm 3

14.3 Design Software

Il paradigma di programmazione è stato intrapreso volendo implementare da prima le letture dei sensori collegati al bus e successivamente inserirli all'interno di un database *SQL* in modo che sia possibile effettuare una query degli stessi dati raccolti.

Per l'appunto quindi volta verificata la bontà della filiera è necessario essere in grado di visualizzare i dati a schermo tramite una interfaccia di visualizzazione remota.

Per poter rendere eseguibile e funzionante il codice per il sensore AS7262 è necessario importare le due dipendenze *adapter.py* e *_init_.py*

14.4 UML Diagram

Il software prima di essere sviluppato e creato attraverso l'analisi dei diagrammi UML stilati per mezzo del software *Visio*.

I due diagrammi rappresentano, in ordine, l'analisi strutturale "*Object Diagram*" con le istanze di tutte le classi che realizzano l'architettura della soluzione:

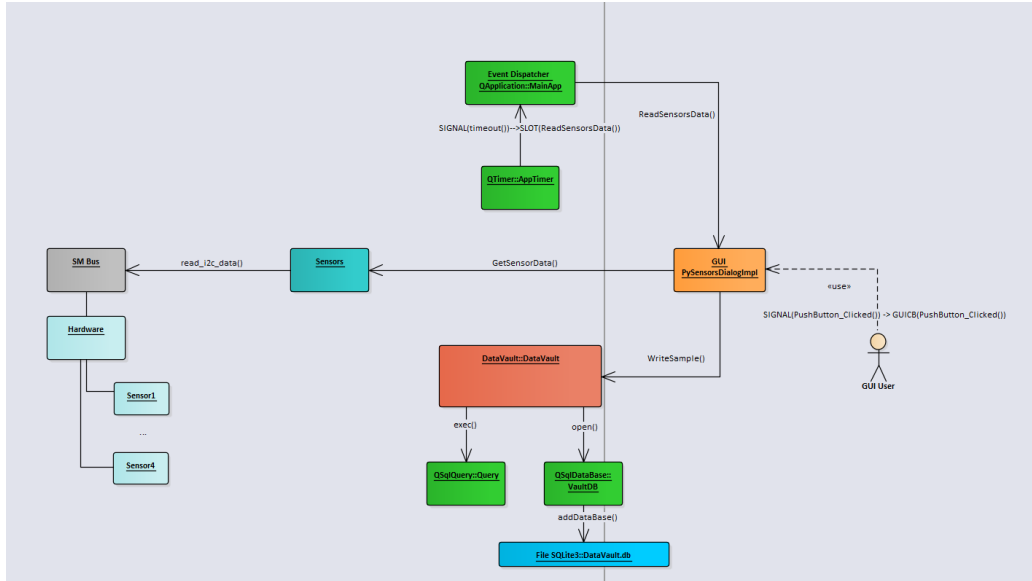


Figure 14.4: UML STRUCTURAL

Conseguentemente è presente sempre tramite diagramma (Sequence Diagram) che descrive la gestione degli eventi allo scattare del TimeOut che richiede una nuova lettura dei dati:

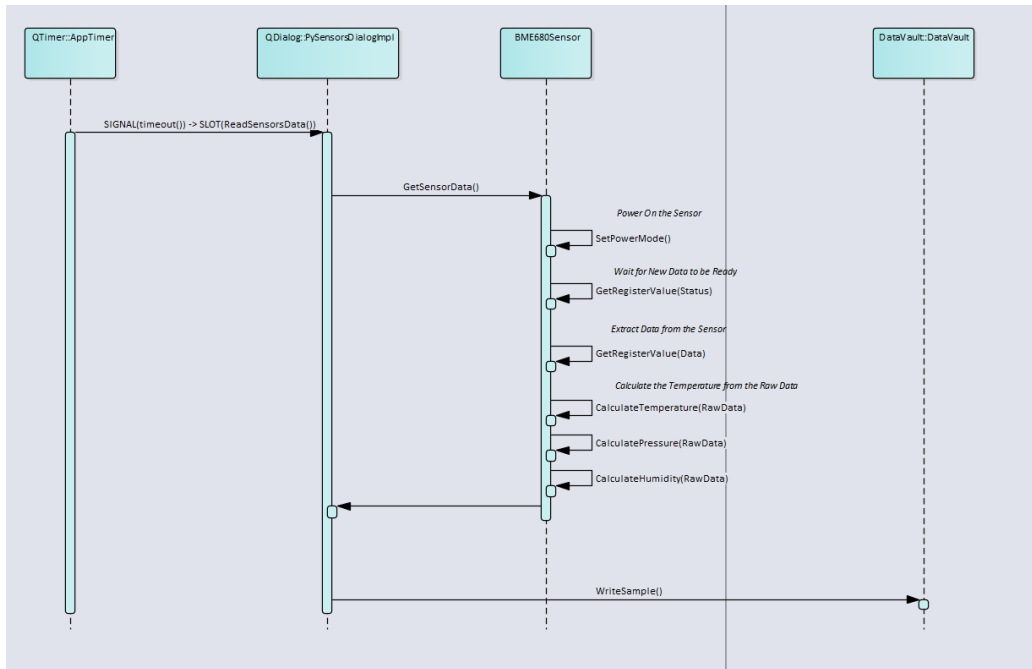


Figure 14.5: UML SEQUENCE

Per concludere , un esempio di UML con la rappresentazione delle Interfacce fornite dalle Classi e delle relazioni di "Call" fra le Funzioni:

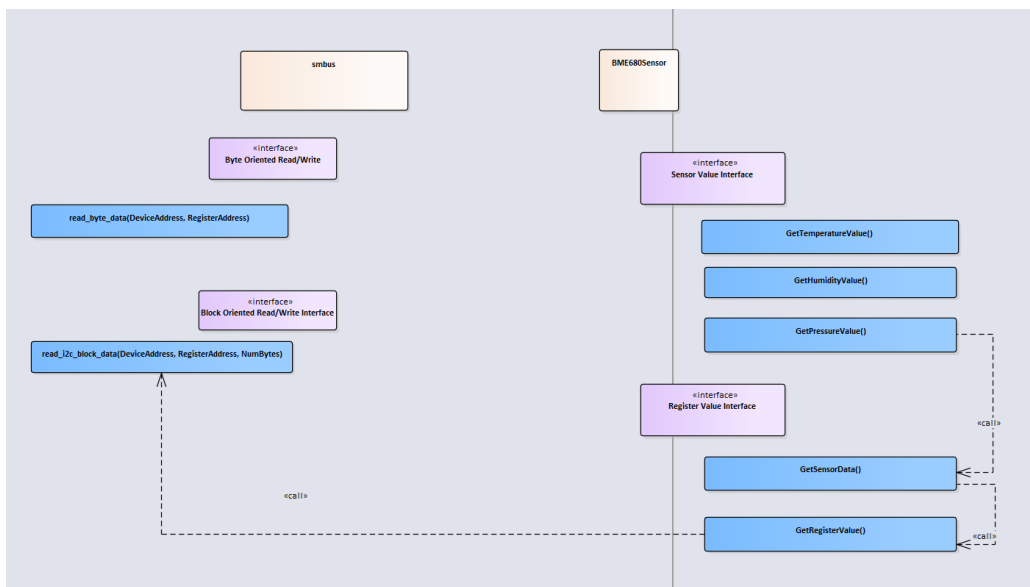


Figure 14.6: UML CALL

14.5 Main.py

```
1 # coding=utf-8
2 import sys
3
4 # PyQt5 è un "Package" da cui si importano i "Moduli" QtCore e QtWidgets
5 from PyQt5 import QtCore
6 from PyQt5 import QtWidgets
7
8 # Importazione dei Nome "QApplication" e "QWidget" dal Modulo QtWidgets
9 from PyQt5.QtWidgets import QApplication
10 from PyQt5.QtWidgets import QWidget
11
12 # Importazione di Nomi di Classi "QMainWindow,..." dal Modulo QtWidgets contenuto
13 # nel Package PyQt5
14 # dopo aver importato i Nome dei Moduli, questi possono essere usati senza fare
15 # riferimento al Modulo in cui compaiono
16 # es, QMainWindow e non QtWidgets.QMainWindow
17 from PyQt5.QtWidgets import QMainWindow, QLabel, QGridLayout, QWidget
18
19 from PyQt5.QtCore import QSize
20
21 # Importazione del Modulo PySensorsDialogImpl con l'implementazione
22 # dell'Interfaccia Grafica
23 # il Modulo "PySensorsDialogImpl" è definito nel File dal Nome
24 # "PySensorsDialogImpl.py" che viene cercato nei path
25 # elencati dalla Variabile Sys.Path
26 # fra i Path possibili esiste la cartella corrente
27 import PySensorsDialogImpl
28
29 # Importazione del Nome della Classe "PySensorsDialogImpl"
30 from PySensorsDialogImpl import PySensorsDialogImpl
31
32 # Uso della Variabile "__name__" per distinguere se il Modulo è stato eseguito od
33 # è stato invocato
34 # il valore della Variabile "__name__" è "__main__" nel caso di invocazioni del
35 # Modulo
36 if __name__ == "__main__":
37
38     # Creazione dell'Istanza "app" della Classe "QApplication" definita nel Modulo
39     # "QtWidget" contenuto nel Package "PyQt5"
40     # la "QApplication" "app" è l'EventDispatcher
41     MainApp = QApplication(sys.argv)
42     #
43
44     # Creazione del Dialog PySensors
45     NewDlg = PySensorsDialogImpl()
46     NewDlg.show()
47     #
48
49     # avvio del Ciclo principale dell'Event Manager
50     Res = MainApp.exec_()
51     #
52
53     # Uscita dall'Applicazione
54     sys.exit(Res)
55     #
56
57     # ToDoList:
58     # aggiungere i CallBack sui pulsanti
59     #
60
61
62
63
64
```

14.6 BME680Sensor.py

```

1 # Class Definition
2 # [INFO]: The Class has "object" as a Parent Class
3
4 import smbus
5 import time
6 import math
7
8
9 class BME680Sensor:
10
11     # -----
12     # Init
13     # -----
14     # Funzione di Inizializzazione della Classe
15     def __init__(self):
16         # [INFO]: the "Init" function is called each time a new instance of the
17         # Class is created
18
19         # Call Warning
20         print("BME680 Sensor Init: Called")
21
22     # Constant Variable Initialization
23     # BME680 I2C addresses
24     self.I2C_ADDR = 0x76
25     #
26
27     # Chip identifier Address
28     self.CHIP_ID_ADDR = 0xD0
29     #
30
31     # Power mode settings
32     self.SLEEP_POWER_MODE = 0
33     self.FORCED_POWER_MODE = 1
34     #
35
36     # Reset Register Data
37     # Soft reset register
38     self.SOFT_RESET_ADDR = 0xe0
39     # Reset command
40     self.SOFT_RESET_CMD = 0xb6
41
42     # Delay related macro declaration
43     self.RESET_PERIOD = 10
44     #
45
46     # Polling Period
47     self.POLLING_PERIOD_MS = 10
48
49     # BME680 coefficients related defines
50     self.COEFF_SIZE = 41
51     self.COEFF_ADDR1_LEN = 25
52     self.COEFF_ADDR2_LEN = 16
53
54     # Coefficient's address
55     self.COEFF_ADDR1 = 0x89
56     self.COEFF_ADDR2 = 0xE1
57     #
58
59     # Field settings
60     self.FIELD0_ADDR = 0x1D

```

- 1 -

```

61     self.FIELD_LENGTH = 15
62     #
63
64     # Sensor configuration registers
65     self.CONF_ODR_RUN_GAS_NBC_ADDR = 0x71
66     self.CONF_OVERSAMPLE_HUMIDITY_ADDR = 0x72
67     self.CONF_TEMPERATURE_PRESSURE_POWER_MODE_ADDR = 0x74
68     self.CONF_ODR_FILTER_ADDR = 0x75
69
70     # self.CONF_HEAT_CTRL_ADDR = 0x70
71
72     # self.MEM_PAGE_ADDR = 0xf3
73     #
74
75     # Bit Mask Definitions
76     self.OVERSAMPLE_TEMPERATURE_MASK = 0xE0
77     self.OVERSAMPLE_PRESSURE_MASK = 0x1C
78     self.OVERSAMPLE_HUMIDITY_MASK = 0x07
79
80     self.FILTER_MASK = 0x1C
81
82     self.POWER_MODE_MASK = 0x03
83     self.RUN_GAS_MASK = 0x10
84
85     self.NEW_DATA_MASK = 0x80
86
87     self.BIT_H1_DATA_MASK = 0x0F
88
89     # self.GAS_MEAS_MSK = 0x30
90     # self.NBCONV_MSK = 0x0F
91
92     # self.HCTRL_MSK = 0x08
93
94     # self.RH RANGE_MSK = 0x30
95     # self.RSERROR_MSK = 0xf0
96
97     # self.GAS_INDEX_MSK = 0x0f
98     # self.GAS_RANGE_MSK = 0x0f
99     # self.GASM_VALID_MSK = 0x20
100    # self.HEAT_STAB_MSK = 0x10
101    # self.MEM_PAGE_MSK = 0x10
102    # self.SPI_RD_MSK = 0x80
103    # self.SPI_WR_MSK = 0x7f
104
105    #
106
107    # Bit position definitions for sensor settings
108    self.OVERSAMPLE_TEMPERATURE_BIT_POSITION = 5
109    self.OVERSAMPLE_PRESSURE_BIT_POSITION = 2
110    self.OVERSAMPLE_HUMIDITY_BIT_POSITION = 0
111
112    self.FILTER_POSITION = 2
113
114    self.POWER_MODE_POS = 0
115
116    self.RUN_GAS_POS = 4
117
118    # self.GAS_MEAS_POS = 4
119    # self.NBCONV_POS = 0
120
121

```

- 2 -

```

122
123     # OverSampling possible Value
124     self.OS_NONE = 0
125     self.OS_1X = 1
126     self.OS_2X = 2
127     self.OS_4X = 3
128     self.OS_8X = 4
129     self.OS_16X = 5
130     #
131
132     # Filter Size
133     self.FILTER_SIZE_0 = 0
134     self.FILTER_SIZE_1 = 1
135     self.FILTER_SIZE_2 = 2
136     self.FILTER_SIZE_7 = 3
137     self.FILTER_SIZE_15 = 4
138     self.FILTER_SIZE_31 = 5
139     self.FILTER_SIZE_63 = 6
140     self.FILTER_SIZE_127 = 7
141
142
143     self.DISABLE_GAS_MEASURE = 0x00
144
145     self.HUM_REG_SHIFT_VAL = 4
146
147     # Array Index to Field data mapping for Calibration Data
148     self.T2_LSB_REG = 1
149     self.T2_MSB_REG = 2
150     self.T3_REG = 3
151
152     self.P1_LSB_REG = 5
153     self.P1_MSB_REG = 6
154     self.P2_LSB_REG = 7
155     self.P2_MSB_REG = 8
156     self.P3_REG = 9
157     self.P4_LSB_REG = 11
158     self.P4_MSB_REG = 12
159     self.P5_LSB_REG = 13
160     self.P5_MSB_REG = 14
161     self.P7_REG = 15
162     self.P6_REG = 16
163     self.P8_LSB_REG = 19
164     self.P8_MSB_REG = 20
165     self.P9_LSB_REG = 21
166     self.P9_MSB_REG = 22
167     self.P10_REG = 23
168
169     self.H2_MSB_REG = 25
170     self.H2_LSB_REG = 26
171     self.H1_LSB_REG = 26
172     self.H1_MSB_REG = 27
173     self.H3_REG = 28
174     self.H4_REG = 29
175     self.H5_REG = 30
176     self.H6_REG = 31
177     self.H7_REG = 32
178
179     self.T1_LSB_REG = 33
180     self.T1_MSB_REG = 34
181
182     self.GH2_LSB_REG = 35

```

- 3 -

```

183     self.GH2_MSB_REG = 36
184     self.GH1_REG = 37
185     self.GH3_REG = 38
186     #
187
188     # Instance Variable Definition
189     # I2C Bus Sensor Address
190     self.I2cAddr = None
191
192     # I2C Bus Instance
193     self.Bus = None
194
195     # Temperature oversampling
196     self.TemperatureOversample = None
197
198     # Pressure Oversampling
199     self.PressureOversample = None
200
201     # Humidity Oversampling
202     self.HumidityOversample = None
203
204     # Filter Size
205     self.FilterCoefficient = None
206
207     # PowerMode
208     self.PowerMode = None
209
210     # Data Read from the Sensor
211     self.SensorStatus = None
212     self.Temperature = None
213     self.Pressure = None
214     self.Humidity = None
215
216     #
217
218     # Calibration Variables
219
220     self.par_t1 = None
221     self.par_t2 = None
222     self.par_t3 = None
223
224     self.par_h1 = None
225     self.par_h2 = None
226     self.par_h3 = None
227     self.par_h4 = None
228     self.par_h5 = None
229     self.par_h6 = None
230     self.par_h7 = None
231
232     self.par_gh1 = None
233     self.par_gh2 = None
234     self.par_gh3 = None
235
236     self.par_p1 = None
237     self.par_p2 = None
238     self.par_p3 = None
239     self.par_p4 = None
240     self.par_p5 = None
241     self.par_p6 = None
242     self.par_p7 = None
243     self.par_p8 = None

```

- 4 -

```

244     self.par.p9 = None
245     self.par.p10 = None
246
247     # Variable to store t fine size
248     self.t_fine = None
249
250     # Variable to store heater resistance range
251     # self.res.heat.range = None
252
253     # Variable to store heater resistance value
254     # self.res.heat.val = None
255
256     # Variable to store error range
257     self.range_sw_err = None
258
259     # Temperature Offset
260     self.offset_temp_in_t_fine = None
261
262     # EndFunction
263
264     # -----
265     # SetUpSensor
266     # -----
267     # Write OverSampling Setting to Sensor Registry
268     def SetUpSensor(self):
269         # Instance Variable Initialization
270
271         # I2C Bus Sensor Address
272         self.I2cAddr = self.I2C_ADDR
273
274
275         # I2C Bus
276         self.Bus = smbus.SMBus(1)
277
278
279         # Reset and Put the Sensor in Sleep Mode
280         self.SoftReset()
281         self.SetPowerMode(self.SLEEP_POWER_MODE)
282
283
284         # Sensor Calibration
285         self.SetUpCalibration()
286
287
288         # Sensor Oversampling and Filtering SetUp
289         self.SetHumidityOversample(self.OS_2X)
290         self.SetPressureOversample(self.OS_4X)
291         self.SetTemperatureOversample(self.OS_8X)
292         self.SetFilterCoefficient(self.FILTER_SIZE_3)
293
294
295         # Impostazione dell'Offset della Temperatura
296         self.SetTempOffset(0)
297
298
299         # Disable Gas Measure
300         self.SetGasStatus(self.DISABLE_GAS_MEASURE)
301
302     # EndFunction
303
304     #

```

- 5 -

```

305     # SetGasStatus
306     # -----
307     def SetGasStatus(self, Value):
308         # Enable/disable gas sensor
309         self.SetRegisterBits(self.CONF_ODR_RUN_GAS_NBC_ADDR, self.RUN_GAS_MASK,
310                             self.RUN_GAS_POS, Value)
311
312     # End Function
313
314     # -----
315     # GetRegisterValue
316     # -----
317     # Get the Value of one of the Sensor Register
318     def GetRegisterValue(self, RegisterAddr, NumBytes):
319         # Call Warning
320             # Msg="GetRegisterValue: I2C Address=0x{0:x}, 'RegisterAddr=0x{1:x},"
321             # NumBytes='{2}'"
322             # Msg=Msg.format(self.I2cAddr, RegisterAddr, NumBytes)
323             # print(Msg)
324
325     # Check Num Bytes
326         if NumBytes == 1:
327             # Read from the Address I2cAddr, with OffSet RegisterAddr, 1 Byte
328             Res = self.Bus.read_byte_data(self.I2cAddr, RegisterAddr)
329
330         else:
331             # Read from the Address I2cAddr, with OffSet RegisterAddr,
332             "NumBytes" Bytes
333             Res = self.Bus.read_i2c_block_data(self.I2cAddr, RegisterAddr,
334                                         NumBytes)
335
336     #
337
338     #Return a List with the Read Bytes
339     return(Res)
340
341     #
342     # EndFunction
343
344     # -----
345     # SetRegisterValue
346     # -----
347     # Impostazione del Valore di un Registro
348     def SetRegisterValue(self, RegisterAddr, Value):
349         # Call Warning
350             Msg = "SetRegisterValue: I2C Address=0x{0:x}, 'RegisterAddr=0x{1:x},"
351             Value='{2}'"
352             Msg = Msg.format(self.I2cAddr, RegisterAddr, Value)
353             print(Msg)
354
355     # Set one or more registers
356         if isinstance(Value, int):
357             self.Bus.write_byte_data(self.I2cAddr, RegisterAddr, Value)
358
359     # EndFunction
360
361     # -----
362     # SetRegisterBits
363     #

```

- 6 -

```

361     # Impostazione del Valore di un Bit di un Registro
362     def SetRegisterBits(self, RegisterAddr, BitMask, BitPosition, Value):
363         Temp = self.GetRegisterValue(RegisterAddr, 1)
364         Temp |= ~BitMask
365         Temp |= Value << BitPosition
366         self.SetRegisterValue(RegisterAddr, Temp)
367     # EndFunction
368
369     #
370     # GetChipID
371     # -----
372     # Read the ChipID
373     def GetChipID(self):
374
375         Res = self.GetRegisterValue(self.CHIP_ID_ADDR, 1)
376
377         return(Res)
378     # EndFunction
379
380     #
381     # SetTemperatureOversample
382     # -----
383     # Set the Temperature Oversample Value
384     def SetTemperatureOversample(self, OversampleValue):
385         """
386             Set Temperature Oversampling.
387
388             A higher oversampling value means more stable sensor readings,
389             with less noise and jitter.
390
391             However each step of oversampling adds about 2ms to the latency,
392             causing a slower response time to fast transients.
393
394             :param value: Oversampling value, one of: OS_NONE, OS_1X, OS_2X, OS_4X,
395             OS_8X, OS_16X
396
397             """
398             # Impostazione del Valore di OverSampling
399             self.TemperatureOversample = OversampleValue
400
401             # Impostazione del Valore nel Registro di Configurazione del Sensore
402             self.SetRegisterBits(self.CONF_TEMPERATURE_PRESSURE_POWER_MODE_ADDR,
403                                 self.OVERSAMPLE_TEMPERATURE_MASK,
404                                 self.OVERSAMPLE_TEMPERATURE_BIT_POSITION, OversampleValue)
405     # EndFunction
406
407     #
408     # SetPressureOversample
409     # -----
410     # Set the Pressure Oversample Value
411     def SetPressureOversample(self, OversampleValue):
412
413         self.PressureOversample = OversampleValue
414
415         # Impostazione del Valore nel Registro di Configurazione del Sensore
416         self.SetRegisterBits(self.CONF_TEMPERATURE_PRESSURE_POWER_MODE_ADDR,
417                             self.OVERSAMPLE_PRESSURE_MASK, self.OVERSAMPLE_PRESSURE_BIT_POSITION,
418                             OversampleValue)
419     # EndFunction
420
421     #

```

- 7 -

```

417     # SetHumidityOversample
418     # -----
419     # Set the Humidity Oversample Value
420     def SetHumidityOversample(self, OversampleValue):
421         self.HumidityOversample = OversampleValue
422
423         # Impostazione del Valore nel Registro di Configurazione del Sensore
424         self.SetRegisterBits(
425             "\\" self.CONF_OVERSAMPLE_HUMIDITY_ADDR,\n
426             self.OVERSAMPLE_HUMIDITY_MASK,\n
427             self.OVERSAMPLE_HUMIDITY_BIT_POSITION, OversampleValue\
428         )
429     # EndFunction
430
431
432     # SetFilter
433     # -----
434     # Set the Filter Size
435     def SetFilterCoefficient(self, Value):
436         """
437             Set IIR filter size.
438
439             Optionally remove short term fluctuations from the temperature and
440             pressure readings, increasing their resolution but reducing their bandwidth.
441
442             Enabling the IIR filter does not slow down the time a reading takes, but
443             will slow down the BME680s response to changes in temperature and pressure.
444
445             When the IIR filter is enabled, the temperature and pressure resolution is
446             effectively 20bit.
447             When it is disabled, it is 16bit + oversampling-1 bits.
448
449             """
450
451             self.FilterCoefficient = Value
452             self.SetRegisterBits(self.CONF_ODR_filt_ADDR, self.FILTER_MASK,
453                                 self.FILTER_POSITION, Value)
454     # EndFunction
455
456     #
457     # GetPowerMode
458     # -----
459     # Get the Sensor Power Mode
460     def GetPowerMode(self):
461         #Get power mode
462         self.PowerMode =
463         self.GetRegisterValue(self.CONF_TEMPERATURE_PRESSURE_POWER_MODE_ADDR, 1)
464         return(self.PowerMode)
465
466
467     # SetPowerMode
468     # -----
469     # Set the Sensor Power Mode
470     def SetPowerMode(self, Value, Blocking=True):
471         # Set power mode
472         # self.PowerMode = Value

```

- 8 -

```
C:\Users\Grigio\Desktop\PySensors\BME680Sensor.py
Pagina 9 di 15
473
474     self.SetRegisterBits\
475     ( \
476         self.CONF_TEMPERATURE_PRESSURE_POWER_MODE_ADDR,\ \
477         self.POWER_MODE_MASK,\ \
478         self.POWER_MODE_POS,\ \
479         Value\
480     )
481
482     # Wait for PowerMode reached
483     StatusReached = False
484
485     while Blocking == True and StatusReached == False:
486         CurrPowerMode = self.GetPowerMode()
487
488         Msg="SetPowerMode: Current Power Mode=0x{:x}, Needed \
489             PowerMode=0x{:x}.".format(CurrPowerMode,self..PowerMode)
490         print(Msg)
491
492         # if CurrPowerMode == Value:
493         if CurrPowerMode != self.PowerMode:
494             StatusReached = False
495             Msg = "SetPowerMode: Status Reached False"
496             print(Msg)
497         else:
498             StatusReached = True
499             Msg = "SetPowerMode: Status Reached True"
500             print(Msg)
501
502         # Wait for next Polling operation
503         time.sleep(self.POLLING_PERIOD_MS / 1000.0)
504
505     #
506
507     # -----
508     # GetSensorData
509     # -----
510     # Read the Data from the sensor
511     def GetSensorData(self):
512         """
513             Get sensor data.
514             Stores data in .data and returns True upon success.
515         """
516
517         # Put the Sensor in the Forced PowerMode
518         self.SetPowerMode(self.FORCED_POWER_MODE)
519
520         for attempt in range(10):
521             # 1 Byte all'Indirizzo "FIELD0_ADDR" (il registro contiene il Byte
522             # "NewData")
523             status = self.GetRegisterValue(self.FIELD0_ADDR, 1)
524
525             # Wait for new Data to be ready
526             if (status & self.NEW_DATA_MASK) == 0:
527                 time.sleep(self.POLLING_PERIOD_MS / 1000.0)
528                 continue
529             # EndIf
530
531             # Lettura di 15 Byte a partire dall'indirizzo "FIELD0_ADDR"
532             # Regs contiene una Lista di 15 Byte
```

03/08/2019 16:44:39

```
C:\Users\Grigio\Desktop\PySensors\BME680Sensor.py
Pagina 10 di 15
532
533     regs = self.GetRegisterValue(self.FIELD0_ADDR, self.FIELD_LENGTH)
534
535     self.SensorStatus = regs[0] & self.NEW_DATA_MASK
536
537     # Contains the nb profile used to obtain the current measurement
538     # self.data.gas_index = regs[0] & constants.GAS_INDEX_MSK
539     # self.data.meas_index = regs[1]
540
541     # Raw Temperature Value (Analog Digital Conversion)
542     ADC_Temp = (regs[5] << 12) | (regs[6] << 4) | (regs[7] >> 4)
543
544     ADC_Pres = (regs[2] << 12) | (regs[3] << 4) | (regs[4] >> 4)
545     ADC_Hum = (regs[8] << 8) | regs[9]
546
547     # adc_gas_res = (regs[13] << 2) | (regs[14] >> 6)
548     # gas_range = regs[14] & constants.GAS_RANGE_MSK
549
550     # self.data.status |= regs[14] & constants.GASM_VALID_MSK
551     # self.data.status |= regs[14] & constants.HEAT_STAB_MSK
552
553     # self.data.heat_stable = (self.data.status & constants.HEAT_STAB_MSK) > 0
554
555     # Calcolo della Temperatura dai Valori RAW
556     temperature = self.CalculateTemperature(ADC_Temp)
557
558     # Normalizzazione del Valore Letto
559     self.Temperature = temperature / 100.0
560
561     # self.ambient_temperature = temperature # Saved for heater calc
562
563     self.Pressure = self.CalculatePressure(ADC_Pres) / 100.0
564     self.Humidity = self.CalculateHumidity(ADC_Hum) / 1000.0
565     # self.data.gas_resistance = self._calc_gas_resistance(adc_gas_res, gas_range)
566
567     return True
568 # EndFor
569
570     # after 10 failed retry give up
571     return False
572 # End Function
573
574
575     # -----
576     # Calculate Temperature
577     # -----
578     def CalculateTemperature(self, temperature_adc):
579         # Convert the raw temperature to degrees C using calibration_data
580
581         var1 = (temperature_adc >> 3) - (self.par_t1 << 1)
582         var2 = (var1 * self.par_t2) >> 11
583         var3 = ((var1 >> 1) * (var1 >> 1)) >> 12
584         var3 = ((var3) * (self.par_t3 << 4)) >> 14
585
586         # Save temperature data for pressure calculations
587         self.t_fine = (var2 + var3) + self.offset_temp_in_t_fine
588         calc_temp = (((self.t_fine * 5) + 128) >> 8)
589
590     return calc_temp
591 # End Function
```

03/08/2019 16:44:39

```
C:\Users\Grigio\Desktop\PySensors\BME680Sensor.py
Pagina 11 di 15
03/08/2019 16:44:39
591
592     def CalculatePressure(self, pressure_adc):
593         """Convert the raw pressure using calibration data."""
594         var1 = ((self.t_fine) >> 1) - 64000
595         var2 = (((var1 >> 2) * (var1 >> 2)) >> 11) * self.par_p6 >> 2
596         var2 = var2 + ((var1 * self.par_p5) << 1)
597         var2 = (var2 >> 2) + (self.par_p4 << 16)
598         var1 = (((((var1 >> 2) * (var1 >> 2)) >> 13) * ((self.par_p3 << 5)) >> 3) + \
599             ((self.par_p2 * var1) >> 1))
599         var1 = var1 >> 18
600         var1 = ((32768 + var1) * self.par_p1) >> 15
601         calc_pressure = 1048576 - pressure_adc
602         calc_pressure = ((calc_pressure - (var2 >> 12)) * (3125))
603
604         if calc_pressure >= (1 << 31):
605             calc_pressure = ((calc_pressure // var1) << 1)
606         else:
607             calc_pressure = ((calc_pressure << 1) // var1)
608
609         var1 = (self.par_p9 * (((calc_pressure >> 3) * (calc_pressure >> 3)) >> 13)) >> 12
610         var2 = ((calc_pressure >> 2) * self.par_p8) >> 13
611         var3 = ((calc_pressure >> 8) * (calc_pressure >> 8) * (calc_pressure >> 8) * \
612             self.par_p10) >> 17
613
614         calc_pressure = (calc_pressure) + ((var1 + var2 + var3 + (self.par_p7 << 7)) >> 4)
615
616         return calc_pressure
617 # End Function
618
619     def CalculateHumidity(self, humidity_adc):
620         """Convert the raw humidity using calibration data."""
621         temp_scaled = ((self.t_fine * 5) + 128) >> 8
622         var1 = (humidity_adc - ((self.par_h1 * 16))) - (((temp_scaled * self.par_h3) // (100)) >> 1)
623         var2 = ((self.par_h2 * ((temp_scaled * self.par_h4) // (100))) + \
624             (((temp_scaled * (temp_scaled * self.par_h5) // (100)) >> 6) // (100)) + \
625             (1 * 16384)) >> 10
626         var3 = var1 * var2
627         var4 = self.par_h6 << 7
628         var4 = ((var4) + ((temp_scaled * self.par_h7) // (100))) >> 4
629         var5 = ((var3 >> 14) * (var3 >> 14)) >> 10
630         var6 = (var4 * var5) >> 1
631         calc_hum = (((var3 + var6) >> 10) * (1000)) >> 12
632
633         return min(max(calc_hum, 0), 100000)
634 # End Function
635
636     # -----
637     # Set Temperature Offset
638     # -----
639     def SetTempOffset(self, Value):
640         """
641             Set temperature offset in celsius.
642             If set, the temperature t_fine will be increased by given value in celsius.
643             :param value: Temperature offset in Celsius, eg. 4, -8, 1.25
644         """
645
```

03/08/2019 16:44:39

```
C:\Users\Grigio\Desktop\PySensors\BME680Sensor.py
Pagina 12 di 15
03/08/2019 16:44:39
645
646         if Value == 0:
647             self.offset_temp_in_t_fine = 0
648         else:
649             self.offset_temp_in_t_fine = int(math.copysign(((int(abs(Value) * 100)) << 8) - 128) / 5, Value))
650
651         #
652
653         # -----
654         # Get Temperature Value
655         # -----
656         def GetTemperatureValue(self):
657             return(self.Temperature)
658 # EndFunction
659
660         # -----
661         # Get Pressure Value
662         # -----
663         def GetPressureValue(self):
664             return (self.Pressure)
665 # EndFunction
666
667         # -----
668         # Get Humidity Value
669         # -----
670         def GetHumidityValue(self):
671             return (self.Humidity)
672 # EndFunction
673
674
675         # Set Up Calibration Data
676         # -----
677         def SetUpCalibration(self):
678             # Retrieve the sensor calibration data and store it in Local Calibration Data
679             CalibrationData = self.GetRegisterValue(self.COEFF_ADDR1, self.COEFF_ADDR1_LEN)
680
681             CalibrationData += self.GetRegisterValue(self.COEFF_ADDR2, self.COEFF_ADDR2_LEN)
682
683             # heat_range = self._get_regs(constants.ADDR_RES_HEAT_RANGE_ADDR, 1)
684             # heat_value =
685             # constants.twos_comp(self._get_regs(constants.ADDR_RES_HEAT_VAL_ADDR, 1), bits=8)
686             # sw_error =
687             # constants.twos_comp(self._get_regs(constants.ADDR_RANGE_SW_ERR_ADDR, 1), bits=8)
688
689             self.SetUpCalibrationParameter(CalibrationData)
690             # self.calibration_data.set_other(heat_range, heat_value, sw_error)
691 # End Function
692
693         # -----
694         # Set Up Calibration Data
695         # -----
696         def SetUpCalibrationParameter(self, CalibrationData):
697             # Set parameters from an array of bytes.
698             # Temperature related coefficients
699             self.par_t1 = self.BytesToWord(CalibrationData[self.T1_MSB_REG], CalibrationData[self.T1_LSB_REG])
700             self.par_t2 = self.BytesToWord(CalibrationData[self.T2_MSB_REG], CalibrationData[self.T2_LSB_REG]),
```

03/08/2019 16:44:39

```

698     CalibrationData[self.T2 LSB REG], bits=16, signed=True)
699     self.par t3 = self.TwosComp(CalibrationData[self.T3 REG], bits=8)
700
701     # Pressure related coefficients
702     self.par p1 = self.BytesToWord(CalibrationData[self.P1 MSB REG],
703                                   CalibrationData[self.P1 LSB REG])
704     self.par p2 = self.BytesToWord(CalibrationData[self.P2 MSB REG],
705                                   CalibrationData[self.P2 LSB REG], bits=16, signed=True)
706     self.par p3 = self.TwosComp(CalibrationData[self.P3 REG], bits=8)
707     self.par p4 = self.BytesToWord(CalibrationData[self.P4 MSB REG],
708                                   CalibrationData[self.P4 LSB REG], bits=16, signed=True)
709     self.par p5 = self.BytesToWord(CalibrationData[self.P5 MSB REG],
710                                   CalibrationData[self.P5 LSB REG], bits=16, signed=True)
711     self.par p6 = self.TwosComp(CalibrationData[self.P6 REG], bits=8)
712     self.par p7 = self.TwosComp(CalibrationData[self.P7 REG], bits=8)
713     self.par p8 = self.BytesToWord(CalibrationData[self.P8 MSB REG],
714                                   CalibrationData[self.P8 LSB REG], bits=16, signed=True)
715     self.par p9 = self.BytesToWord(CalibrationData[self.P9 MSB REG],
716                                   CalibrationData[self.P9 LSB REG], bits=16, signed=True)
717     self.par p10 = CalibrationData[self.P10 REG]
718
719     # Humidity related coefficients
720     self.par h1 = (CalibrationData[self.H1 MSB REG] << self.HUM REG SHIFT VAL) | (CalibrationData[self.H1 LSB REG] & self.BIT H1 DATA MASK)
721     self.par h2 = (CalibrationData[self.H2 MSB REG] << self.HUM REG SHIFT VAL) | (CalibrationData[self.H2 LSB REG] >> self.HUM REG SHIFT VAL)
722     self.par h3 = self.TwosComp(CalibrationData[self.H3 REG], bits=8)
723     self.par h4 = self.TwosComp(CalibrationData[self.H4 REG], bits=8)
724     self.par h5 = self.TwosComp(CalibrationData[self.H5 REG], bits=8)
725     self.par h6 = self.TwosComp(CalibrationData[self.H6 REG], bits=8)
726     self.par h7 = self.TwosComp(CalibrationData[self.H7 REG], bits=8)
727
728     # Gas heater related coefficients
729     #self.par gh1 = twos_comp(calibration[GH1_REG], bits=8)
730     #self.par gh2 = bytes_to_word(calibration[GH2_MSB_REG],
731     #                             calibration[GH2_LSB_REG], bits=16, signed=True)
732     #self.par gh3 = twos_comp(calibration[GH3_REG], bits=8)
733
734     # End Function
735
736     # -----
737     # Definizione dell'OffSet della Temperatura
738     # -----
739     def SetTempOffset(self, value):
740         """Set temperature offset in celsius.
741
742         If set, the temperature t_fine will be increased by given value in celsius.
743         :param value: Temperature offset in Celsius, eg. 4, -8, 1.25
744
745         """
746         if value == 0:
747             self.offset_temp_in_t_fine = int(math.copysign(((int(abs(value)) * 100)) << 8) - 128) / 5, value))
748
749     # -----
750     # Valore del Registro "Operation Mode"
751     # -----
752     def GetOperationModeRegisterValue(self):
753
754         # -----
755
756         # End Class

```

- 13 -

```

748     HxValue =
749     self.GetRegisterValue(self.CONF TEMPERATURE PRESSURE POWER MODE ADDR, 1)
750     if HxValue == self.SLEEP POWER MODE:
751         HrValue = "SLEEP MODE"
752     elif HxValue == self.FORCED POWER MODE:
753         HrValue = "FORCE MODE"
754     else:
755         HrValue = "NOT AVAILABLE"
756
757     Res = (HxValue, HrValue)
758
759     # End
760
761     # -----
762     # GetFilterCoefficient
763     # -----
764     # estrazione del Valore del Coefficiente del Filtro
765     def GetFilterCoefficient(self):
766         # Get Filter Coefficient (1 Byte)
767         ResByte = self.GetRegisterValue(self.CONF ODR FILT ADDR, 1)
768
769         # Extract the Coefficient Bit
770         ResBits = ResByte & self.FILTER MASK
771
772         # Shift the Result
773         Res = ResBits >> self.FILTER POSITION
774
775     # -----
776     # SoftReset
777     # -----
778     # Do a Sensor Soft Reset
779     def SoftReset(self):
780         """Trigger a soft reset."""
781         self.SetRegisterValue(self.SOFT RESET ADDR, self.SOFT_RESET_CMD)
782         time.sleep(self.RESET_PERIOD / 1000.0)
783
784     # -----
785     # BytesToWord
786     # -----
787     def BytesToWord(self, msb, lsb, bits=16, signed=False):
788         """Convert a most and least significant byte into a word."""
789         word = (msb << 8) | lsb
790         if signed:
791             word = self.TwosComp(word, bits)
792
793         return word
794
795     # End Function
796
797     # -----
798     # TwosComp
799     # -----
800     def TwosComp(self, val, bits=16):
801         """Convert two bytes into a two's compliment signed word."""
802         # TODO: Reimplement with struct
803         if val & (1 << (bits - 1)) != 0:
804             val = val - (1 << bits)
805
806         return val
807
808     # End Function

```

- 14 -

EndClass

- 15 -

14.7 VEML6075Sensor.py

```

1 # Class Definition
2 # [INFO]: The Class has "object" as a Parent Class
3
4 import smbus
5 import time
6 import math
7
8 class VEML6070Sensor:
9
10    # -----
11    # Init
12    # -----
13    # Funzione di Inizializzazione della Classe
14    def __init__(self):
15
16        # Constant Variable Initialization
17        self.I2C_BUS = 1
18
19        # 7bit address of the VEML6070 (write, read)
20        self.ADDR_L = 0x38
21
22        # 7bit address of the VEML6070 (read)
23        self.ADDR_H = 0x39
24
25        self.RSET_240K = 240000
26        self.RSET_270K = 270000
27        self.RSET_300K = 300000
28        self.RSET_600K = 600000
29
30        self.SHUTDOWN_DISABLE = 0x00
31        self.SHUTDOWN_ENABLE = 0x01
32
33        self.INTEGRATIONTIME_1_2T = 0x00
34        self.INTEGRATIONTIME_1T = 0x01
35        self.INTEGRATIONTIME_2T = 0x02
36        self.INTEGRATIONTIME_4T = 0x03
37
38    # Instance Variable Definition
39    self.I2CBus = None
40    self.SensorAddress = None
41    self.RSet = None
42    self.ShutDown = None
43    self.IntegrationTime = None
44
45    #
46
47    # Instance Variable Initialization
48    self.I2CBus = smbus.SMBus(self.I2C_BUS)
49    self.SensorAddress = self.ADDR_L
50
51    # Value for the RSet = 270K
52    self.RSet = self.RSET_270K
53    # before set_integration_time()
54    self.ShutDown = self.SHUTDOWN_DISABLE
55
56    #
57    # End Function
58
59    # -----
60    # SetUpSensor
61    # -----
62    # Write OverSampling Setting to Sensor Registry

```

- 1 -

```

62    def SetUpSensor(self):
63        # Value for the Integration Time: 1T
64        self.SetIntegrationTime(self.INTEGRATIONTIME_1T)
65
66        # ShutDown Sensor
67        self.Disable()
68
69    # -----
70    # Set Integration Time
71    # -----
72    # Set the Value of the Integration Time in the Command Register
73    def SetIntegrationTime(self, IntTime):
74        # Set the Value of the Integration Time
75        self.IntegrationTime = IntTime
76
77        # Write the Value of the resulting command register
78        self.I2CBus.write_byte(self.SensorAddress, self.GetCommandRegisterByte())
79
80        # constant offset determined experimentally to allow sensor to readjust
81        time.sleep(0.2)
82
83    # End Function
84
85    # -----
86    # Get Integration Time
87    # -----
88    # Return the Value of the Integration Time
89    def GetIntegrationTime(self):
90        return(self.IntegrationTime)
91
92    # End Function
93
94    # -----
95    # Enable
96    # -----
97    # Enable the Sensor
98    def Enable(self):
99        self.Shutdown = self.SHUTDOWN_DISABLE
100       self.I2CBus.write_byte(self.SensorAddress, self.GetCommandRegisterByte())
101
102    # -----
103    # Disable
104    # -----
105    # Disable the Sensor
106    def Disable(self):
107        self.Shutdown = self.SHUTDOWN_ENABLE
108       self.I2CBus.write_byte(self.SensorAddress, self.GetCommandRegisterByte())
109
110    # -----
111    # Get UVA Light Intensity Raw Value
112    # -----
113    # Disable the Sensor
114    def GetUvaLightIntensityRawValue(self):
115        # Enable the Sensor
116        self.Enable()
117
118        # wait two times the refresh time to allow completion of a previous cycle
119        # with old settings (worst case)
120        time.sleep(self.get_refresh_time() * 2)
121

```

- 2 -

```

122    # Read the Value from the Bus
123    Msb = self.I2CBus.read_byte(self.SensorAddress + (self.ADDR_H - self.ADDR_L))
124    Lsb = self.I2CBus.read_byte(self.SensorAddress)
125
126
127    # ShutDown the Sensor
128    self.Disable()
129
130    # Form the resulting byte
131    return (Msb << 8) | Lsb
132
133    #
134
135    # Get UVA Light Intensity Value
136    #
137    # Get the Uva Light Intensity Value
138    def GetUvaLightIntensityValue(self):
139        UvValue = self.GetUvaLightIntensityRawValue()
140
141        # Determine the Result by Sensitivity Product
142        Result = UvValue * self.GetUvaLightSensitivity()
143
144        return (Result)
145
146    # End Function
147
148    # GetCommandByte
149
150    # Calculate the Bit of the Command Byte based on the Current Configuration
151    def GetCommandRegisterByte(self):
152        """
153            assembles the command byte for the current state
154        """
155
156        # ShutDown
157        CommandRegisterByte = (self.ShutDown & 0x01) << 0
158
159        # Integration Time
160        CommandRegisterByte = (self.IntegrationTime & 0x03) << 2 # IT
161
162        # Reserved Bits
163        CommandRegisterByte = ((CommandRegisterByte | 0x02) & 0x3F)
164        return(CommandRegisterByte)
165
166    # End Function
167
168    # Get Refresh Time
169    #
170    # Determine the Refresh time
171    def GetRefreshTime(self):
172        """
173            returns time needed to perform a complete measurement using current
174            settings (in s)
175        """
176
177        case_refresh_rset = {
178            self.RSET_240K: 0.1,
179            self.RSET_270K: 0.1125,
180            self.RSET_300K: 0.125,
181            self.RSET_600K: 0.25
182        }

```

- 3 -

```

182        case refresh_it = {
183            self.INTEGRATIONTIME_1_2T: 0.5,
184            self.INTEGRATIONTIME_1T: 1,
185            self.INTEGRATIONTIME_2T: 2,
186            self.INTEGRATIONTIME_4T: 4
187        }
188
189        # Calculate the Refresh Time
190        Result = case_refresh_it[self.RSet] * case_refresh_it[self.IntegrationTime]
191
192        return(Result)
193
194    # End Function
195
196    # -----
197    # Get Uva Light Sensitivity
198    # -----
199    def GetUvaLightSensitivity(self):
200        """
201            returns UVA light sensitivity in W/(m*m)/step
202        """
203        case sens_rset = {
204            self.RSET_240K: 0.05,
205            self.RSET_270K: 0.05625,
206            self.RSET_300K: 0.0625,
207            self.RSET_600K: 0.125
208        }
209
210        case_sens_it = {
211            self.INTEGRATIONTIME_1_2T: 0.5,
212            self.INTEGRATIONTIME_1T: 1,
213            self.INTEGRATIONTIME_2T: 2,
214            self.INTEGRATIONTIME_4T: 4
215        }
216
217        Result = case_sens_rset[self.RSet] / case_sens_it[self.IntegrationTime]
218
219        return(Result)
220
221    # End Function
222
223    # End Class

```

- 4 -

14.8 VEML7700Sensor.py

```

1 # Class Definition
2 # [INFO]: The Class has "object" as a Parent Class
3
4 import smbus
5 import time
6 import math
7
8
9 class VEML7700Sensor:
10
11     # -----
12     # Init
13     # -----
14     # Funzione di Inizializzazione della Classe
15     def __init__(self):
16         # Call Warning
17         print("VEML 7700 Sensor Init: Called")
18
19
20         # Sensor Address
21         self.I2C_ADDR = 0x10
22
23
24         # Write registers
25         #ALS: Ambient Light Sensor
26         self.Als_Conf_0 = 0x00
27         self.Als_WH = 0x01
28         self.Als_WL = 0x02
29         self.Power_Save = 0x03
30
31
32         # Read registers
33         self.Als = 0x04
34         self.White = 0x05
35         self.Interrupt = 0x06
36
37
38         # Instance Variable Definition
39         # I2C Bus Sensor Address
40         self.I2cAddr = None
41
42         # I2C Bus Instance
43         self.Bus = None
44
45         self.ConfValues = None
46
47         self.Interrupt_High = None
48
49         self.Interrupt_Low = None
50
51         self.Power_Save_Mode = None
52
53         # Illuminance Value
54         self.IlluminaceValue = None
55
56     # End Function
57
58     # -----
59     # Bytes To String
60     # -----
61     # Convert a List of Value [LSB, MSB] to a String

```

- 1 -

```

62     def BytesToString(self, Value):
63         Value_Str = ""
64         if isinstance(Value, list):
65             iNum = len(Value)
66             print("SetRegisterValue: Num. Elements in the List:{0}".format(iNum))
67             for i in range(iNum):
68                 CurrElement = "{0:0>8b}".format(Value[iNum - 1 - i])
69                 print("SetRegisterValue: Element {0} in the List is :{1}".format(iNum - 1 - i, CurrElement))
70                 Value_Str = Value_Str + " " + CurrElement
71
72         # End For
73         else:
74             Value_Str = "{0:0>8b}".format(Value)
75
76         # End If
77
78         return(Value_Str)
79
80     # -----
81     # SetRegisterValue
82     # -----
83     # Set the Value of of the 6 Register
84     def SetRegisterValue(self, RegisterAddr, Value):
85         # Call Warning
86         Value_Str = self.BytesToString(Value)
87         Msg = "SetRegisterValue: I2C Address=0x{0:x}, RegisterAddr=0x{1:x}, Value={2}"
88         Msg = Msg.format(self.I2cAddr, RegisterAddr, Value)
89         print(Msg)
90
91         # Set one or more registers
92         if isinstance(Value, int):
93             self.Bus.write_byte_data(self.I2cAddr, RegisterAddr, Value)
94         else:
95             self.Bus.write_i2c_block_data(self.I2cAddr, RegisterAddr, Value)
96
97         # End If
98
99     # EndFunction
100
101    # -----
102    # GetRegisterValue
103    # -----
104    # Get the Value of one of the Sensor Register
105    def GetRegisterValue(self, RegisterAddr, NumBytes):
106        # Call Warning
107        # Msg="GetRegisterValue: I2C Address=0x{0:x}, 'RegisterAddr=0x{1:x}, NumBytes={2}'"
108        # Msg=Msg.format(self.I2cAddr, RegisterAddr, NumBytes)
109        # print(Msg)
110
111        # Check Num Bytes
112        if NumBytes == 1:
113            # Read from the Address I2cAddr, with OffSet RegisterAddr, 1 Byte
114            Res = self.Bus.read_byte_data(self.I2cAddr, RegisterAddr)
115        else:
116            # Read from the Address I2cAddr, with OffSet RegisterAddr,
117            "NumBytes" Bytes
118            Res = self.Bus.read_i2c_block_data(self.I2cAddr, RegisterAddr, NumBytes)

```

- 2 -

```

118
119     #
120
121     # Return a List with the Read Bytes
122     return (Res)
123
124 # EndFunction
125
126
127     # -----
128     # GetAlsConf0RegisterValue
129     # -----
130     # Extract 2 Byte from the "ALS CONF 0" Register. Return a List of 2 Byte
131     def GetAlsConf0RegisterValue(self):
132         Res = self.GetRegisterValue(self.Als_Conf_0, 2)
133         return(Res)
134     # End Function
135
136     # GetHighThresholdWindowsRegisterValue
137     # -----
138     # Extract 2 Byte from the "ALS CONF 0" Register. Return a List of 2 Byte
139     def GetHighThresholdWindowsRegisterValue(self):
140         Res = self.GetRegisterValue(self.Als_WH, 2)
141         return(Res)
142     # End Function
143
144     # -----
145     # GetLowThresholdWindowsRegisterValue
146     # -----
147     # Extract 2 Byte from the " " Register. Return a List of 2 Byte
148     def GetLowThresholdWindowsRegisterValue(self):
149         Res = self.GetRegisterValue(self.Als_WL, 2)
150         return(Res)
151     # End Function
152
153     # -----
154     # GetLowThresholdWindowsRegisterValue
155     # -----
156     # Extract 2 Byte from the " " Register. Return a List of 2 Byte
157     def GetPowerSavingModesRegisterValue(self):
158         Res = self.GetRegisterValue(self.Power_Save, 2)
159         return(Res)
160     # End Function
161
162     # -----
163     # GetAlsHighResolutionOutputRegisterValue
164     # -----
165     # Extract 2 Byte from the "ALS" Register. Return a List of 2 Byte
166     def GetAlsHighResolutionOutputRegisterValue(self):
167         Res = self.GetRegisterValue(self.Als, 2)
168         return(Res)
169     # End Function
170
171     # -----
172     # GetWhiteRegisterValue
173     # -----
174     # Extract 2 Byte from the "WHITE" Register. Return a List of 2 Byte
175     def GetWhiteChannelOutputRegisterValue(self):
176         Res = self.GetRegisterValue(self.White, 2)
177         return(Res)
178     # End Function

```

- 3 -

```

179
180     # -----
181     # SetUpSensor
182     # -----
183     # SetUp VEML Sensor
184     def SetUpSensor(self):
185         # Instance Variable Initialization
186
187         # I2C Bus Sensor Address
188         self.I2cAddr = self.I2C_ADDR
189
190         # I2C Bus
191         self.Bus = smbus.SMBus(1)
192
193
194         # Value for the Configuration Register
195         # These settings will provide the max range for the sensor (0-120 K Lux)
196         # but at the lowest precision:
197         # LSB MSB
198
199         # 1/8 gain, 25ms IT (Integration Time)
200         # Reference data sheet Table 1 for configuration settings
201         # Configuration List: LSB, MSB
202         # Configuration Bits put in the Register:
203
204         # 000 10 0 1100 00 00 0 0
205         # [Res.]=000
206         # [ALS_GAIN]=10 : Gain=1/8
207         # [Res.]=0
208         # [ALS_IT]=1100 : Integration Time=25 ms
209         # [ALS_PERS]=00 : Persistance=1
210         # [Res.]=00
211         # [ALS_INT_EN]=0
212         # [ALS_SD]=0 : Power On
213
214         self.ConfValues = [0x00, 0x13]
215
216
217         # Reference data sheet Table 2 for High Threshold
218         # Clear values
219         self.Interrupt_High = [0x00, 0x00]
220
221
222         # Reference data sheet Table 3 for Low Threshold
223         # Clear values
224         self.Interrupt_Low = [0x00, 0x00]
225
226
227         # Reference data sheet Table 4 for Power Saving Modes
228         # Clear values
229         # Power Save Disabled
230         self.Power_Save_Mode = [0x00, 0x00]
231
232
233         # Write configuration
234         # Write Configuration Value into the Configuration Register
235         self.SetRegisterValue(self.Als_Conf_0, self.ConfValues)
236         # self.Bus.write_i2c_block_data(self.I2cAddr, self.Als_Conf_0,
237         self.ConfValues)
238

```

- 4 -

```

239
240      # Clear High Threshold Window Setting
241      self.SetRegisterValue(self.Als_WH, self.Interrupt_High)
242      # self.Bus.write_i2c_block_data(self.I2cAddr, self.Als_WH,
243      # self.Interrupt_High)
244
245      # Clear Low Threshold Window Setting
246      self.SetRegisterValue(self.Als_WL, self.Interrupt_Low)
247      # self.Bus.write_i2c_block_data(self.I2cAddr, self.Als_WL,
248      # self.Interrupt_Low)
249
250      # SetUp Power Save Mode
251      self.SetRegisterValue(self.Power_Save, self.Power_Save_Mode)
252      # self.Bus.write_i2c_block_data(self.I2cAddr, self.Power_Save,
253      # self.Power_Save_Mode)
254
255  # End Function
256
257  # -----
258  # GetSensorData
259  # -----
260  # Read the Data from the Sensor
261 def GetSensorData(self):
262     # Extract the Value for the Luminance
263
264     # Sleep for 40 msec
265     #time.sleep(0.04)
266
267
268     # Read the Value from the Sensor
269     # Read 16 bits from the Bus and convert it to an integer
270     Word = self.Bus.read_word_data(self.I2cAddr, self.Als)
271
272
273     # Gain for 1/8 gain & 25ms Integration Time
274     Gain = 1.8432
275
276
277     # Calculate Lux Value
278     Value = Word * Gain
279
280
281     # Round value for presentation
282     # Value = round(Value, 1)
283     self.IlluminanceValue = Value
284
285
286     # Return Value
287     return(True)
288
289  # End Function
290
291  # -----
292  # GetIlluminanceValue
293  # -----
294  # Read the Data from the sensor
295 def GetIlluminanceValue(self):
296     return(self.IlluminanceValue)

```

- 5 -

```

297  #
298  # End Class

```

- 6 -

14.9 AS7262Sensor.py

```

1 # Definition of the Class that Model the AS7262 Sensor
2 import time
3 import struct
4
5 import smbus
6 from i2cdevice import Device, Register, BitField, int to bytes
7 from i2cdevice.adapter import Adapter, LookupAdapter
8
9 ##### Class Definition #####
10 # Class Definition
11 ##### Class CalibratedValues:
12     """Store the 6 band spectral values."""
13
14     # -----
15     # Init
16     #
17     # Class Init Function
18     def __init__(self, red, orange, yellow, green, blue, violet):
19         # noqa D107
20         self.red = red
21         self.orange = orange
22         self.yellow = yellow
23         self.green = green
24         self.blue = blue
25         self.violet = violet
26     # End Function
27
28     # -----
29     # Iterator
30     #
31     # Class Iterator Function
32     def __iter__(self):
33         # noqa D107
34         for colour in ['red', 'orange', 'yellow', 'green', 'blue', 'violet']:
35             yield getattr(self, colour)
36     # End Function
37
38 # End Class
39
40 ##### Class Definition #####
41 # Class Definition
42 ##### Class AS7262_VirtualRegisterBus():
43     """AS7262 Virtual Register.
44
45     This class implements the wacky virtual register setup
46     of the AS7262 and allows i2cdevice.Device to "just work"
47     without having to worry about how registers are actually
48     read or written under the hood.
49
50 """
51
52
53     # End Function
54     def __init__(self, bus=1):
55         """Initialise virtual register class.
56
57         :param bus: SMBus bus ID
58
59         """
60         self._i2c_bus = smbus.SMBus(bus)
61     # End Function

```

- 1 -

```

62
63     #
64     # get_status(self, address):
65         """Return the AS7262 status register."""
66         return self._i2c_bus.read_byte_data(address, 0x00)
67     # End Function
68
69
70     # write_i2c_block_data(self, address, register, values):
71         """Right one or more values to AS7262 virtual registers."""
72         for offset in range(len(values)):
73             while True:
74                 if (self.get_status(address) & 0b10) == 0:
75                     break
76             #
77
78             self._i2c_bus.write_byte_data(address, 0x01, register | 0x80)
79
80             while True:
81                 if (self.get_status(address) & 0b10) == 0:
82                     break
83             #
84
85             self._i2c_bus.write_byte_data(address, 0x01, values[offset])
86
87     # End For
88
89 # End Function
90
91
92     # read_i2c_block_data(self, address, register, length):
93         """Read one or more values from AS7262 virtual registers."""
94         result = []
95         for offset in range(length):
96             while True:
97                 if (self.get_status(address) & 0b10) == 0:
98                     break
99             #
100            # End If
101
102            self._i2c_bus.write_byte_data(address, 0x01, register + offset)
103
104            while True:
105                if (self.get_status(address) & 0b01) == 1:
106                    break
107            #
108            # End While
109
110            result.append(self._i2c_bus.read_byte_data(address, 0x02))
111
112        return result
113    # End Function
114
115 #End Class
116
117 ##### Class Definition #####
118 # Class FWVersionAdapter(Adapter):
119     """Convert the AS7262 firmware version number to a human-readable string."""
120
121     #
122

```

- 2 -

```

123     def decode(self, value):
124         major_version = (value & 0x00F0) >> 4
125         minor_version = ((value & 0x000F) << 2) | ((value & 0b1100000000000000) >> 14)
126         sub_version = (value & 0b0011111100000000) >> 8
127         return '{:.1}. {:.1}'.format(major_version, minor_version, sub_version)
128     # End Function
129
130
131     # Class Definition
132     # Class FloatAdapter(Adapter):
133         """Convert a 4 byte register set into a float."""
134
135         # End Function
136
137         # def decode(self, value):
138             b = int.to_bytes(value, 4)
139             return struct.unpack('>f', bytarray(b))[0]
140     # End Function
141
142 # End Class
143
144     # Class Definition
145     # Class IntegrationTimeAdapter(Adapter):
146         """Scale integration time in ms to LSBs."""
147
148         # End Function
149
150         # def _decode(self, value):
151             return value / 2.8
152
153     # End Function
154
155         # def _encode(self, value):
156             return int(value * 2.8) & 0xff
157     # End Function
158
159 # End Class
160
161     # Class Definition
162     class AS7262Sensor:
163
164         # -----
165         # Init
166         #
167         # Class Init Function
168         def __init__(self):
169             # Instance Variable Definition
170             self.Version_Register = None
171             self.Control_Register = None
172             self.IntegrationTime_Register = None
173             self.Temperature_Register = None
174             self.LedControl_Register = None
175             self.Data_Register = None
176             self.CalibratedData_Register = None
177
178             self.I2CDevice = None
179
180             self.CalibratedSpectralValues = None
181
182

```

- 3 -

```

183
184     # Instance Variable Initialization
185     self.Version_Register = Register\
186         (
187             'VERSION',\
188             0x00, \
189             fields =\
190                 (
191                     BitField('hw type', 0xFF000000), \
192                     BitField('hw version', 0x00FF0000), \
193                     BitField('fw version', 0x0000FFFF, adapter = \
194                         FWVersionAdapter()), \
195                     ), \
196                     bit width=32, \
197                     read only=True
198
199     )
200
201     self.Control_Register = Register\
202         (
203             'CONTROL',\
204             0x04, \
205             fields =\
206                 (
207                     BitField('reset', 0b10000000), \
208                     BitField('interrupt', 0b01000000), \
209                     BitField('gain_x', 0b00110000, adapter = LookupAdapter({1: \
210                         0b00, 3: 0b01, 6: 0b10, 16: 0b11})), \
211                     BitField('measurement_mode', 0b00001100), \
212                     BitField('data_ready', 0b0000010), \
213                     ), \
214
215     self.IntegrationTime_Register = Register\
216         (
217             'INTEGRATION_TIME',\
218             0x05, \
219             fields =\
220                 (
221                     BitField('ms', 0xFF, adapter = IntegrationTimeAdapter()), \
222                     ), \
223
224     self.Temperature_Register = Register\
225         (
226             'TEMPERATURE',\
227             0x06, \
228             fields =\
229                 (
230                     BitField('degrees_c', 0xFF), \
231                     ), \
232
233     self.LedControl_Register = Register\
234         (
235             'LED_CONTROL',\
236             0x07, \
237             fields =\
238                 (
239                     BitField('illumination_current_limit_ma', 0b00110000, adapter = \
240                         LookupAdapter({12.5: 0b00, 25: 0b01, 50: 0b10, 100: 0b11})), \
241                     BitField('illumination_enable', 0b00001000), \

```

- 4 -

```

241             BitField('indicator current limit ma', 0b00000010, adapter = \
242                 LookupAdapter({1: 0b00, 2: 0b01, 4: 0b10, 8: 0b11})), \
243                 BitField('indicator enable', 0b00000001), \
244             )
245
246         self.Data Register = Register\
247         (
248             'DATA', \
249             0x08, \
250             fields=\
251             (
252                 BitField('v', 0xFFFF0000000000000000000000000000), \
253                 BitField('b', 0x0000FFFF0000000000000000), \
254                 BitField('g', 0x00000000FFFF000000000000), \
255                 BitField('y', 0x0000000000FFFF00000000), \
256                 BitField('o', 0x000000000000FFFF0000), \
257                 BitField('r', 0x0000000000000000FFFF), \
258             ), \
259             bit width=96
260
261
262         self.CalibratedData Register = Register\
263         (
264             'CALIBRATED DATA', \
265             0x14, \
266             fields =\
267             (
268                 BitField('v', 0xFFFFFFFF << (32 * 5), adapter=FloatAdapter()), \
269                 BitField('b', 0xFFFFFFFF << (32 * 4), adapter=FloatAdapter()), \
270                 BitField('g', 0xFFFFFFFF << (32 * 3), adapter=FloatAdapter()), \
271                 BitField('y', 0xFFFFFFFF << (32 * 2), adapter=FloatAdapter()), \
272                 BitField('o', 0xFFFFFFFF << (32 * 1), adapter=FloatAdapter()), \
273                 BitField('r', 0xFFFFFFFF << (32 * 0), adapter=FloatAdapter()), \
274             ), \
275             bit_width=192
276
277
278         self.I2CDevice = Device\
279         (\
280             0x49, \
281             i2c_dev = AS7262_VirtualRegisterBus(1), \
282             bit_width = 8, \
283             registers = \
284             (\
285                 self.Version_Register, \
286                 self.Control_Register, \
287                 self.IntegrationTime_Register, \
288                 self.Temperature_Register, \
289                 self.LedControl_Register, \
290                 self.Data_Register, \
291                 self.CalibratedData_Register, \
292             ), \
293         )
294
295
296 # Adapter Look Up Table Export to Constant
297     for register in self.I2CDevice.registers:
298         register = self.I2CDevice.registers[register]
299
300         for field in register.fields:
301             - 5 -

```

```

301             field = register.fields[field]
302
303             # Export the Adapter
304             if isinstance(field.adapter, LookupAdapter):
305                 for key in field.adapter.lookup table:
306                     value = field.adapter.lookup table[key]
307                     name = 'AS7262 {register} {field} {key}'.format(
308                         register=register.name,
309                         field=field.name,
310                         key=key
311                     ).upper()
312                     locals()[name] = key
313
314             # End For
315         # End For
316         # End For
317         # End For
318     # End Function
319
320     # -----
321     # SetUpSensor
322     #
323     # Set Up Sensor
324     def SetUpSensor(self):
325         self.SetGain(64)
326
327         self.SetIntIntegrationTime(17.857)
328
329         self.SetMeasurementMode(2)
330
331         # as7262.set illumination led current(12.5)
332         self.SetIlluminationLed(0)
333
334     #
335
336     # SoftReset
337     #
338     # Soft Reset the Sensor
339     def SoftReset(self):
340         """Set the soft reset register bit of the AS7262."""
341         self.I2CDevice.CONTROL.set_reset(1)
342
343         # Polling for the state of the reset flag does not work here
344         # since the fragile virtual register state machine cannot
345         # respond while in a soft reset condition
346         # So, just wait long enough for it to reset fully...
347         time.sleep(2.0)
348
349     # End Function
350
351
352     # SetGain
353     #
354     # Set the Gain Value
355     def SetGain(self, gain):
356         """Set the gain amount of the AS7262.
357
358         :param gain: gain multiplier, one of 1, 3.7, 16 or 64
359
360         """
361         self.I2CDevice.CONTROL.set_gain_x(gain)
362
363     - 6 -

```

```

362     # End Function
363
364     #
365     # SetIntegrationTime
366     #
367     def SetIntegrationTime(self, time ms):
368         """Set the AS7262 sensor integration time in milliseconds.
369
370         :param time ms: Time in milliseconds from 0 to ~91
371
372         """
373         self.I2CDevice.INTEGRATION TIME.set ms(time ms)
374
375     # End Function
376
377     # SetIntegrationTime
378     #
379     def SetMeasurementMode(self, mode):
380         """Set the AS7262 measurement mode.
381
382         :param mode: 0-3
383
384         """
385         self.I2CDevice.CONTROL.set_measurement_mode(mode)
386
387     # End Function
388
389     # SetIlluminationLed
390     #
391     def SetIlluminationLed(self, state):
392         """Set the AS7262 illumination LED state.
393
394         :param state: True = On, False = Off
395
396         """
397         self.I2CDevice.LED_CONTROL.set_illumination_enable(state)
398
399     # End Function
400
401     # GetSensorData
402     #
403     def GetSensorData(self, timeout = 10):
404         """Return an instance of CalibratedValues containing the 6 spectral bands."""
405         t_start = time.time()
406
407         while self.I2CDevice.CONTROL.get_data_ready() == 0 and (time.time() - \
408             t_start) <= timeout:
409             pass
410
411         with self.I2CDevice.CALIBRATED_DATA as DATA:
412             self.CalibratedSpectralValues = CalibratedValues\
413             (
414                 DATA.get_r(), \
415                 DATA.get_o(), \
416                 DATA.get_y(), \
417                 DATA.get_g(), \
418                 DATA.get_b(), \
419                 DATA.get_v()
420             )
421
422     # End With
423
424     # GetRedValue
425     #
426     def GetRedValue(self):
427         """Get the red spectral value.
428
429         :return: red spectral value
430         """
431         Value = self.CalibratedSpectralValues.red
432         return(Value)
433
434     # GetOrangeValue
435     #
436     def GetOrangeValue(self):
437         """Get the orange spectral value.
438
439         :return: orange spectral value
440         """
441         Value = self.CalibratedSpectralValues.orange
442         return(Value)
443
444     # GetYellowValue
445     #
446     def GetYellowValue(self):
447         """Get the yellow spectral value.
448
449         :return: yellow spectral value
450         """
451         Value = self.CalibratedSpectralValues.yellow
452         return(Value)
453
454     # GetGreenValue
455     #
456     def GetGreenValue(self):
457         """Get the green spectral value.
458
459         :return: green spectral value
460         """
461         Value = self.CalibratedSpectralValues.green
462
463     # GetBlueValue
464     #
465     def GetBlueValue(self):
466         """Get the blue spectral value.
467
468         :return: blue spectral value
469         """
470
471     # GetVioletValue
472     #
473     def GetVioletValue(self):
474         """Get the violet spectral value.
475
476         :return: violet spectral value
477         """
478
479     # EndClass
480
481
482     - 7 -

```

```

422
423         return(True)
424     # End Function
425
426     #
427     # GetRedValue
428     #
429     def GetRedValue(self):
430         """Get the red, 'orange', 'yellow', 'green', 'blue', 'violet' spectral value.
431         :return: red spectral value
432         """
433         Value = self.CalibratedSpectralValues.red
434         return(Value)
435
436     # GetOrangeValue
437     #
438     def GetOrangeValue(self):
439         """Get the red, 'orange', 'yellow', 'green', 'blue', 'violet' spectral value.
440         :return: orange spectral value
441         """
442         Value = self.CalibratedSpectralValues.orange
443         return(Value)
444
445     # GetYellowValue
446     #
447     def GetYellowValue(self):
448         """Get the red, 'orange', 'yellow', 'green', 'blue', 'violet' spectral value.
449         :return: yellow spectral value
450         """
451         Value = self.CalibratedSpectralValues.yellow
452         return(Value)
453
454     # GetGreenValue
455     #
456     def GetGreenValue(self):
457         """Get the red, 'orange', 'yellow', 'green', 'blue', 'violet' spectral value.
458         :return: green spectral value
459         """
460         Value = self.CalibratedSpectralValues.green
461
462     # GetBlueValue
463     #
464     def GetBlueValue(self):
465         """Get the red, 'orange', 'yellow', 'green', 'blue', 'violet' spectral value.
466         :return: blue spectral value
467         """
468
469     # GetVioletValue
470     #
471     def GetVioletValue(self):
472         """Get the red, 'orange', 'yellow', 'green', 'blue', 'violet' spectral value.
473         :return: violet spectral value
474         """
475
476     # EndClass
477
478     - 8 -

```

14.10 DataVault.py

```

1 # Class Definition
2 # [INFO]: The Class has "object" as a Parent Class
3
4 import smbus
5 import time
6 import math
7
8 from PyQt5 import QtSql
9 from PyQt5 import QtGui
10 from PyQt5.QtCore import QDate
11 from PyQt5.QtCore import QTime
12 from PyQt5.QtCore import QDateTime
13 from PyQt5.QtSql import *
14 from PyQt5.QtGui import *
15
16 class DataVault:
17     # -----
18     # Init
19     # -----
20     # Funzione di Inizializzazione della Classe
21     def __init__(self):
22         # Call Warning
23         print("DataVault Init: Called")
24
25         # Inizializzazione della Classe
26         # DataBase associato al Data Vault
27         self.VaultDB = None
28
29     #
30     # End Function
31
32     # -----
33     # Init
34     # -----
35     # Connessione al DataBase "SQLITE3"
36     def ConnectToDB(self):
37         # Inizializzazione della Classe
38         self.VaultDB = QSqlDatabase.addDatabase('QSQLITE')
39         self.VaultDB.setDatabaseName('DataVault.db')
40
41         Res = self.VaultDB.open()
42         if Res == False:
43             print("ConnectToDB: Cannot Open the DataBase")
44             ConnectRes=False
45         else:
46             ConnectRes=True
47             print("ConnectToDB: Connection to DB Open")
48         # End If
49
50         return(ConnectRes)
51     # End Function
52
53     # -----
54     # WriteSample
55     # -----
56     # Add a Data Sample to the DB
57     def WriteSample(self, SampleDate_Str, SampleTimeStamp_Str, Temperature,
58     Pressure, Humidity, Illuminance):
59         # Write Sample to Data Vault
60         print("WriteSample: Called")
61
62
63
64
65
66
67
68
69
70
71
72
73
74
75
76
77
78
79
80
81
82
83
84
85
86
87
88
89
90
91
92
93
94
95
96
97
98
99
100
101
102
103
104
105
106
107
108
109
110
111
112
113
114
115
116
117
118
119
120
121

```

- 1 -

```

61
62     # Date Part Extraction
63     SampleDate Date = QDate()
64     SampleDate Date = QDate.fromString(SampleDate Str,"yyyy-MM-dd")
65
66     SampleTimeStamp Time = QTime()
67     SampleTimeStamp Time = QTime.fromString(SampleTimeStamp Str,"hh:mm:ss")
68
69     Year = SampleDate Date.year()
70     Month = SampleDate Date.month()
71     Day = SampleDate Date.day()
72
73
74
75
76     # TimStamp Part extraction
77     Hour = SampleTimeStamp Time.hour()
78     Minute = SampleTimeStamp Time.minute()
79     Second = SampleTimeStamp Time.second()
80
81
82
83
84
85
86
87
88
89
90
91
92
93
94
95
96
97
98
99
100
101
102
103
104
105
106
107
108
109
110
111
112
113
114
115
116
117
118
119
120
121

```

- 2 -

```

122     # Return a Cursor with the Samples in the Interval
123     def ReadSamples(self, InTimeStamp = 0, SupTimeStamp = 0):
124         # Read Sample to Data Vault
125         print("ReadSamples: Called")
126         QueryText = "SELECT IdSample, Temperature, Pressure, Humidity,
127         Illuminance FROM Sample WHERE Date='{}'"
128         QueryText = QueryText.format(InTimeStamp)
129         Query = QSqlQuery(self.VaultDB)
130         Res = Query.exec(QueryText)
131
132         if(Res == True):
133             print("Query executed")
134             print(QueryText)
135             while(Query.next()):
136                 Value = Query.value(1)
137                 Msg = "Temperature Value: {0:.2f} C".format(Value)
138                 print(Msg)
139                 #End While
140             else:
141                 print("Query Failed")
142                 Msg = Query.lastError().text()
143                 print(Msg)
144             # End If
145
146             return(Query)
147         #
148     # End Class
149

```

- 3 -

14.11 PySensorsDialog.py

```

1 # -*- coding: utf-8 -*-
2
3 # Form implementation generated from reading ui file 'PySensorsDialog.ui'
4 #
5 # Created by: PyQt5 UI code generator 5.13.0
6 #
7 # WARNING! All changes made in this file will be lost!
8
9
10 from PyQt5 import QtCore, QtGui, QtWidgets
11
12
13 class Ui_PySensorsDialog(object):
14     def setupUi(self, PySensorsDialog):
15         PySensorsDialog.setObjectName("PySensorsDialog")
16         PySensorsDialog.resize(661, 454)
17         self.verticalLayout = QtWidgets.QVBoxLayout(PySensorsDialog)
18         self.verticalLayout.setObjectName("verticalLayout")
19         self.tabWidget = QtWidgets.QTabWidget(PySensorsDialog)
20         self.tabWidget.setTabPosition(QtWidgets.QTabWidget.South)
21         self.tabWidget.setObjectName("tabWidget")
22         self.tab = QtWidgets.QWidget()
23         self.tab.setObjectName("tab")
24         self.verticalLayout_2 = QtWidgets.QVBoxLayout(self.tab)
25         self.verticalLayout_2.setObjectName("verticalLayout_2")
26         self.groupBox_2 = QtWidgets.QGroupBox(self.tab)
27         self.groupBox_2.setObjectName("groupBox_2")
28         self.gridLayout_2 = QtWidgets.QGridLayout(self.groupBox_2)
29         self.gridLayout_2.setObjectName("gridLayout_2")
30         self.label_7 = QtWidgets.QLabel(self.groupBox_2)
31         self.label_7.setObjectName("label_7")
32         self.gridLayout_2.addWidget(self.label_7, 1, 4, 1, 1)
33         self.label_9 = QtWidgets.QLabel(self.groupBox_2)
34         self.label_9.setObjectName("label_9")
35         self.gridLayout_2.addWidget(self.label_9, 1, 0, 1, 1)
36         self.label_10 = QtWidgets.QLabel(self.groupBox_2)
37         self.label_10.setObjectName("label_10")
38         self.gridLayout_2.addWidget(self.label_10, 2, 4, 1, 1)
39         self.oversamplingHumidityHexadecimalLEdit_3 =
40             QtWidgets.QLineEdit(self.groupBox_2)
41             self.oversamplingHumidityHexadecimalLEdit_3.setObjectName("oversamplingHumidityHexadecimalEdit_3")
42             self.gridLayout_2.addWidget(self.oversamplingHumidityHexadecimalLEdit_3, 3,
43             3, 1, 1)
44             self.label_11 = QtWidgets.QLabel(self.groupBox_2)
45             self.label_11.setObjectName("label_11")
46             self.gridLayout_2.addWidget(self.label_11, 2, 2, 1, 1)
47             self.operationModeHumanReadableEdit =
48                 QtWidgets.QLineEdit(self.groupBox_2)
49                 self.operationModeHumanReadableEdit.setObjectName("operationModeHumanReadableEdit")
50                 self.gridLayout_2.addWidget(self.operationModeHumanReadableEdit, 0, 5, 1, 1)
51                 self.label_10 = QtWidgets.QLabel(self.groupBox_2)
52                 self.label_10.setObjectName("label_10")
53                 self.gridLayout_2.addWidget(self.label_10, 2, 0, 1, 1)
54                 self.label_6 = QtWidgets.QLabel(self.groupBox_2)
55                 self.label_6.setObjectName("label_6")
56                 self.gridLayout_2.addWidget(self.label_6, 0, 4, 1, 1)
57                 self.label_14 = QtWidgets.QLabel(self.groupBox_2)
58                 self.label_14.setObjectName("label_14")
59                 self.gridLayout_2.addWidget(self.label_14, 1, 2, 1, 1)
```

- 1 -

```

56         self.gridLayout_2.addWidget(self.label_14, 3, 2, 1, 1)
57         self.label_5 = QtWidgets.QLabel(self.groupBox_2)
58         self.label_5.setObjectName("label_5")
59         self.gridLayout_2.addWidget(self.label_5, 0, 2, 1, 1)
60         self.label_8 = QtWidgets.QLabel(self.groupBox_2)
61         self.label_8.setObjectName("label_8")
62         self.gridLayout_2.addWidget(self.label_8, 1, 2, 1, 1)
63         self.label_13 = QtWidgets.QLabel(self.groupBox_2)
64         self.label_13.setObjectName("label_13")
65         self.gridLayout_2.addWidget(self.label_13, 3, 0, 1, 1)
66         self.oversamplingTemperatureHumanReadableLEdit =
67             QtWidgets.QLineEdit(self.groupBox_2)
68             self.oversamplingTemperatureHumanReadableLEdit.setObjectName("oversamplingTemperatureHumanReadableEdit")
69             self.gridLayout_2.addWidget(self.oversamplingTemperatureHumanReadableLEdit, 1,
70             5, 1, 1)
71             self.oversamplingPressureHumanReadableLEdit_2 =
72                 QtWidgets.QLineEdit(self.groupBox_2)
73                 self.oversamplingPressureHumanReadableLEdit_2.setObjectName("oversamplingPressureHumanReadableEdit_2")
74                 self.gridLayout_2.addWidget(self.oversamplingPressureHumanReadableLEdit_2, 2,
75                 5, 1, 1)
76                 self.label_15 = QtWidgets.QLabel(self.groupBox_2)
77                 self.label_15.setObjectName("label_15")
78                 self.gridLayout_2.addWidget(self.label_15, 3, 4, 1, 1)
79                 self.readSensorRegisterPB =
80                     QtWidgets.QPushButton(self.groupBox_2)
81                     self.readSensorRegisterPB.setObjectName("readSensorRegisterPB")
82                     self.gridLayout_2.addWidget(self.readSensorRegisterPB, 5, 0, 1, 6)
83                     self.oversamplingTemperatureHexadecimalLEdit =
84             QtWidgets.QLineEdit(self.groupBox_2)
85             self.oversamplingTemperatureHexadecimalLEdit.setObjectName("oversamplingTemperatureHexadecimalEdit")
86             self.gridLayout_2.addWidget(self.oversamplingTemperatureHexadecimalLEdit, 1,
87             3, 1, 1)
88             self.oversamplingPressureHexadecimalLEdit_2 =
89                 QtWidgets.QLineEdit(self.groupBox_2)
90                 self.oversamplingPressureHexadecimalLEdit_2.setObjectName("oversamplingPressureHexadecimalEdit_2")
91                 self.gridLayout_2.addWidget(self.oversamplingPressureHexadecimalLEdit_2, 2,
92                 3, 1, 1)
93                 self.operationModeHexadecimalLEdit =
94                     QtWidgets.QLineEdit(self.groupBox_2)
```

- 2 -

```

95         self.gridLayout_2.addWidget(self.label_16, 4, 0, 1, 1)
96         self.label_17 = QtWidgets.QLabel(self.groupBox_2)
97         self.label_17.setObjectName("label_17")
98         self.gridLayout_2.addWidget(self.label_17, 4, 2, 1, 1)
99         self.filterCoefficientHexadecimalLEdit_4 =
100             QtWidgets.QLineEdit(self.groupBox_2)
101             self.filterCoefficientHexadecimalLEdit_4.setObjectName("filterCoefficientHexadecimalEdit_4")
102             self.gridLayout_2.addWidget(self.filterCoefficientHexadecimalLEdit_4, 4, 3,
103             1, 1)
104             self.label_18 = QtWidgets.QLabel(self.groupBox_2)
105             self.label_18.setObjectName("label_18")
106             self.gridLayout_2.addWidget(self.label_18, 4, 4, 1, 1)
107             self.filterCoefficientHumanReadableEdit_4 =
108                 QtWidgets.QLineEdit(self.groupBox_2)
109                 self.filterCoefficientHumanReadableEdit_4.setObjectName("filterCoefficientHumanReadableEdit_4")
110                 self.gridLayout_2.addWidget(self.filterCoefficientHumanReadableEdit_4, 4,
111                 5, 1, 1)
112                 self.verticalLayout_2.addWidget(self.groupBox_2)
113                 self.groupBox_3 = QtWidgets.QGroupBox(self.tab)
114                 self.groupBox_3.setObjectName("groupBox_3")
115                 self.gridLayout_3 = QtWidgets.QGridLayout(self.groupBox_3)
116                 self.gridLayout_3.setObjectName("gridLayout_3")
117                 self.label_2 = QtWidgets.QLabel(self.groupBox_3)
118                 self.label_2.setObjectName("label_2")
119                 self.gridLayout_3.addWidget(self.label_2, 2, 0, 1, 1)
120                 self.label_3 = QtWidgets.QLabel(self.groupBox_3)
121                 self.label_3.setObjectName("label_3")
122                 self.gridLayout_3.addWidget(self.label_3, 3, 0, 1, 1)
123                 self.pressureEdit =
124                     QtWidgets.QLineEdit(self.groupBox_3)
125                     self.pressureEdit.setObjectName("pressureEdit")
126                     self.gridLayout_3.addWidget(self.pressureEdit, 2, 1, 1, 1)
127                     self.temperatureEdit =
128                         QtWidgets.QLineEdit(self.groupBox_3)
129                         self.temperatureEdit.setObjectName("temperatureEdit")
130                         self.gridLayout_3.addWidget(self.temperatureEdit, 1, 1, 1, 1)
131                         self.verticalLayout_2.addWidget(self.groupBox_3)
132                         self.horizontalLayout =
133                             QtWidgets.QHBoxLayout()
134                             self.horizontalLayout.setObjectName("horizontalLayout")
135                             self.setUpSensorPB =
136                                 QtWidgets.QPushButton(self.tab)
137                                 self.setUpSensorPB.setObjectName("setUpSensorPB")
138                                 self.gridLayout.addLayout(self.horizontalLayout)
139                                 self.pushButton_2 =
140                                     QtWidgets.QPushButton(self.tab)
141                                     self.pushButton_2.setObjectName("pushButton_2")
142                                     self.gridLayout.addWidget(self.pushButton_2)
143                                     self.readSensorValuesPB =
144                                         QtWidgets.QPushButton(self.tab)
145                                         self.readSensorValuesPB.setObjectName("readSensorValuesPB")
146                                         self.gridLayout.addWidget(self.readSensorValuesPB)
```

- 3 -

```

149             self.verticalLayout_4.setObjectName("verticalLayout_4")
150             self.groupBox_3 = QtWidgets.QGroupBox(self.tab_4)
151             self.groupBox_3.setObjectName("groupBox_3")
152             self.gridLayout_5 =
153                 QtWidgets.QGridLayout(self.groupBox_3)
154                 self.gridLayout_5.setObjectName("gridLayout_5")
155                 self.label_31 = QtWidgets.QLabel(self.groupBox_3)
156                 self.label_31.setObjectName("label_31")
157                 self.gridLayout_5.addWidget(self.label_31, 0, 1, 1, 1)
158                 self.label_20 = QtWidgets.QLabel(self.groupBox_3)
159                 self.label_20.setObjectName("label_20")
160                 self.gridLayout_5.addWidget(self.label_20, 5, 0, 1, 1)
161                 self.label_40 = QtWidgets.QLabel(self.groupBox_3)
162                 self.label_40.setObjectName("label_40")
163                 self.gridLayout_5.addWidget(self.label_40, 2, 0, 1, 1)
164                 self.label_41 = QtWidgets.QLabel(self.groupBox_3)
165                 self.label_41.setObjectName("label_41")
166                 self.gridLayout_5.addWidget(self.label_41, 3, 0, 1, 1)
167                 self.label_38 = QtWidgets.QLabel(self.groupBox_3)
168                 self.label_38.setObjectName("label_38")
169                 self.gridLayout_5.addWidget(self.label_38, 0, 0, 1, 1)
170                 self.label_24 = QtWidgets.QLabel(self.groupBox_3)
171                 self.label_24.setObjectName("label_24")
172                 self.gridLayout_5.addWidget(self.label_24, 2, 1, 1, 1)
173                 self.readSensor2RegisterPB =
174                     QtWidgets.QPushButton(self.groupBox_3)
175                     self.readSensor2RegisterPB.setObjectName("readSensor2RegisterPB")
176                     self.gridLayout_5.addWidget(self.readSensor2RegisterPB, 7, 0, 1, 5)
177                     self.label_25 = QtWidgets.QLabel(self.groupBox_3)
178                     self.label_25.setObjectName("label_25")
179                     self.gridLayout_5.addWidget(self.label_25, 5, 1, 1, 1)
180                     self.label_32 = QtWidgets.QLabel(self.groupBox_3)
181                     self.label_32.setObjectName("label_32")
182                     self.gridLayout_5.addWidget(self.label_32, 5, 1, 1, 1)
183                     self.label_28 = QtWidgets.QLabel(self.groupBox_3)
184                     self.label_28.setObjectName("label_28")
185                     self.gridLayout_5.addWidget(self.label_28, 1, 2, 1, 1)
186                     self.label_22 = QtWidgets.QLabel(self.groupBox_3)
187                     self.label_22.setObjectName("label_22")
188                     self.gridLayout_5.addWidget(self.label_22, 6, 0, 1, 1)
189                     self.label_21 = QtWidgets.QLabel(self.groupBox_3)
190                     self.label_21.setObjectName("label_21")
191                     self.gridLayout_5.addWidget(self.label_21, 1, 1, 1, 1)
192                     self.label_20 = QtWidgets.QLabel(self.groupBox_3)
193                     self.label_20.setObjectName("label_26")
194                     self.gridLayout_5.addWidget(self.label_20, 6, 1, 1, 1)
195                     self.label_39 = QtWidgets.QLabel(self.groupBox_3)
196                     self.label_39.setObjectName("label_39")
197                     self.gridLayout_5.addWidget(self.label_39, 3, 2, 1, 1)
198                     self.gridLayout_5.addWidget(self.label_39, 1, 0, 1, 1)
199                     self.lowThresholdWindowsEdit =
200                     QtWidgets.QLineEdit(self.groupBox_3)
201                     self.lowThresholdWindowsEdit.setObjectName("lowThresholdWindowsEdit")
202                     self.gridLayout_5.addWidget(self.lowThresholdWindowsEdit, 2, 3, 1, 1)
203                     self.label_23 = QtWidgets.QLabel(self.groupBox_3)
204                     self.label_23.setObjectName("label_23")
205                     self.gridLayout_5.addWidget(self.label_23, 2, 2, 1, 1)
206                     self.label_29 = QtWidgets.QLabel(self.groupBox_3)
207                     self.label_29.setObjectName("label_29")
208                     self.gridLayout_5.addWidget(self.label_29, 3, 1, 1, 1)
209                     self.whiteChannelOutputHexadecimalEdit =
210                     QtWidgets.QLineEdit(self.groupBox_3)
```

- 4 -

```

208     self.WhiteChannelOutputHexadecimalLEdit.setObjectName("WhiteChannelOutputHex
209     decimalEdit")
210     self.gridLayout_5.addWidget(self.WhiteChannelOutputHexadecimalLEdit, 6, 3, 1, 1)
211     self.label_30 = QtWidgets.QLabel(self.groupBox_3)
212     self.label_30.setObjectName("label_30")
213     self.gridLayout_5.addWidget(self.label_30, 6, 2, 1, 1)
214     self.label_27 = QtWidgets.QLabel(self.groupBox_3)
215     self.label_27.setObjectName("label_27")
216     self.gridLayout_5.addWidget(self.label_27, 0, 2, 1, 1)
217     self.PowerSavingModesLEdit = QtWidgets.QLineEdit(self.groupBox_3)
218     self.PowerSavingModesLEdit.setObjectName("PowerSavingModesEdit")
219     self.gridLayout_5.addWidget(self.PowerSavingModesLEdit, 3, 3, 1, 1)
220     self.label_33 = QtWidgets.QLabel(self.groupBox_3)
221     self.label_33.setObjectName("label_33")
222     self.gridLayout_5.addWidget(self.label_33, 5, 2, 1, 1)
223     self.AlshighResolutionOutputHexadecimalLEdit = QtWidgets.QLineEdit(self.groupBox_3)
224     self.AlshighResolutionOutputHexadecimalLEdit.setObjectName("AlshighResolutio
225     nOutputHexadecimalEdit")
226     self.gridLayout_5.addWidget(self.AlshighResolutionOutputHexadecimalLEdit, 5, 3, 1, 1)
227     self.ConfigurationRegisterHexadecimalLEdit = QtWidgets.QLineEdit(self.groupBox_3)
228     self.ConfigurationRegisterHexadecimalLEdit.setObjectName("ConfigurationRegis
229     terHexadecimalEdit")
230     self.gridLayout_5.addWidget(self.ConfigurationRegisterHexadecimalLEdit, 0, 3, 1, 1)
231     self.line = QtWidgets.QFrame(self.groupBox_3)
232     self.line.setFrameShape(QtWidgets.QFrame.HLine)
233     self.line.setFrameShadow(QtWidgets.QFrame.Sunken)
234     self.line.setObjectName("line")
235     self.gridLayout_5.addWidget(self.line, 4, 0, 1, 4)
236     self.verticalLayout_4.addWidget(self.groupBox_4)
237     self.groupBox_4 = QtWidgets.QGroupBox(self.tab_4)
238     self.groupBox_4.setObjectName("groupBox_4")
239     self.gridLayout_6.addWidget(self.groupBox_4, 0, 0, 1, 1)
240     self.label_35 = QtWidgets.QLabel(self.groupBox_4)
241     self.label_35.setObjectName("label_35")
242     self.gridLayout_6.addWidget(self.label_35, 2, 0, 1, 1)
243     self.label_36 = QtWidgets.QLabel(self.groupBox_4)
244     self.label_36.setObjectName("label_36")
245     self.gridLayout_6.addWidget(self.label_36, 3, 0, 1, 1)
246     self.label_37 = QtWidgets.QLabel(self.groupBox_4)
247     self.label_37.setObjectName("label_37")
248     self.gridLayout_6.addWidget(self.label_37, 1, 0, 1, 1)
249     self.PressureEdit_2 = QtWidgets.QLineEdit(self.groupBox_4)
250     self.PressureEdit_2.setObjectName("PressureEdit_2")
251     self.IlluminanceLEdit = QtWidgets.QLineEdit(self.groupBox_4)
252     self.IlluminanceLEdit.setObjectName("IlluminanceEdit")
253     self.HumidityLEdit_2 = QtWidgets.QLineEdit(self.groupBox_4)
254     self.HumidityLEdit_2.setObjectName("HumidityEdit_2")
255     self.gridLayout_6.addWidget(self.HumidityLEdit_2, 2, 3, 1, 1, 1)
256     self.verticalLayout_4.addWidget(self.groupBox_4)
257     self.horizontalLayout_2 = QtWidgets.QHBoxLayout()

```

- 5 -

```

258     self.horizontalLayout_2.setObjectName("horizontalLayout_2")
259     self.SetUpSensor2PB = QtWidgets.QPushButton(self.tab_4)
260     self.SetUpSensor2PB.setObjectName("setUpSensor2PB")
261     self.horizontalLayout_2.addWidget(self.SetUpSensor2PB)
262     self.pushButton_3 = QtWidgets.QPushButton(self.tab_4)
263     self.pushButton_3.setObjectName("pushButton_3")
264     self.horizontalLayout_2.addWidget(self.pushButton_3)
265     self.ReadSensor2ValuesPB = QtWidgets.QPushButton(self.tab_4)
266     self.ReadSensor2ValuesPB.setObjectName("ReadSensor2ValuesPB")
267     self.horizontalLayout_2.addWidget(self.ReadSensor2ValuesPB)
268     self.verticalLayout_4.addLayout(self.horizontalLayout_2)
269     self.tabWidget.addTab(self.tab_4, "")
270     self.tab_2 = QtWidgets.QWidget()
271     self.tab_2.setObjectName("tab_2")
272     self.gridLayout_3 = QtWidgets.QGridLayout(self.tab_2)
273     self.gridLayout_3.setObjectName("gridLayout_3")
274     self.ConnectToDbPB = QtWidgets.QPushButton(self.tab_2)
275     self.ConnectToDbPB.setObjectName("ConnectToDbPB")
276     self.gridLayout_3.addWidget(self.ConnectToDbPB, 1, 0, 1, 1)
277     self.ReadSamplePB = QtWidgets.QPushButton(self.tab_2)
278     self.ReadSamplePB.setObjectName("ReadSamplePB")
279     self.gridLayout_3.addWidget(self.ReadSamplePB, 1, 1, 1, 1)
280     self.WriteSamplePB = QtWidgets.QPushButton(self.tab_2)
281     self.WriteSamplePB.setObjectName("WriteSamplePB")
282     self.gridLayout_3.addWidget(self.WriteSamplePB, 1, 2, 1, 1)
283     self.tableView = QtWidgets.QTableView(self.tab_2)
284     self.tableView.setObjectName("tableView")
285     self.gridLayout_3.addWidget(self.tableView, 0, 0, 1, 3)
286     self.tabWidget.addTab(self.tab_2, "")
287     self.tab_3 = QtWidgets.QWidget()
288     self.tab_3.setObjectName("tab_3")
289     self.gridLayout_4 = QtWidgets.QGridLayout(self.tab_3)
290     self.gridLayout_4.setObjectName("gridLayout_4")
291     self.ChartEdit = QtWidgets.QDateEdit(self.tab_3)
292     self.ChartEdit.setDate(QDate.currentDate())
293     self.gridLayout_4.addWidget(self.ChartEdit, 0, 0, 1, 1)
294     self.ChartEdit.setObjectName("ChartEdit")
295     self.gridLayout_4.addWidget(self.ChartEdit, 1, 1, 1, 1)
296     self.label_19 = QtWidgets.QLabel(self.tab_3)
297     self.label_19.setObjectName("label_19")
298     self.gridLayout_4.addWidget(self.label_19, 1, 0, 1, 1)
299     self.DrawChartPB = QtWidgets.QPushButton(self.tab_3)
300     self.DrawChartPB.setObjectName("DrawChartPB")
301     self.gridLayout_4.addWidget(self.DrawChartPB, 1, 2, 1, 1)
302     self.ChartFrame = QtWidgets.QFrame(self.tab_3)
303     self.ChartFrame.setFrameShape(QtWidgets.QFrame.StyledPanel)
304     self.ChartFrame.setFrameShadow(QtWidgets.QFrame.Raised)
305     self.gridLayout_4.addWidget(self.ChartFrame, 0, 0, 1, 1)
306     self.verticalLayout_3 = QtWidgets.QVBoxLayout(self.ChartFrame)
307     self.verticalLayout_3.setObjectName("verticalLayout_3")
308     self.ChartLabel = QtWidgets.QLabel(self.ChartFrame)
309     self.ChartLabel.setObjectName("ChartLabel")
310     self.verticalLayout_3.addWidget(self.ChartLabel)
311     self.DrawChartPB.raise_()
312     self.label_19.raise_()
313     self.ChartEdit.raise_()
314     self.ChartFrame.raise_()
315     self.tabWidget.addTab(self.tab_3, "")
316     self.verticalLayout_4.addWidget(self.tabWidget)
317
318     self.retranslateUi(PySensorsDialog)

```

- 6 -

```

319     self.tabWidget.setCurrentIndex(1)
320     self.SetUpSensorPB.clicked.connect(PySensorsDialog.GUICB_SetUpSensorPB_Clicked)
321     self.ReadSensorValuesPB.clicked.connect(PySensorsDialog.GUICB_ReadSensorValuesPB_Clicked)
322     self.ReadSensorRegisterPB.clicked.connect(PySensorsDialog.GUICB_ReadSensorRegistersPB_Clicked)
323     self.ConnectToDbPB.clicked.connect(PySensorsDialog.GUICB_ConnectToDbPB_Clicked)
324     self.ReadSamplePB.clicked.connect(PySensorsDialog.GUICB_ReadSamplePB_Clicked)
325     self.WriteSamplePB.clicked.connect(PySensorsDialog.GUICB_WriteSamplePB_Clicked)
326     self.DrawChartPB.clicked.connect(PySensorsDialog.GUICB_DrawChartPB_Clicked)
327     self.SetUpSensor2PB.clicked.connect(PySensorsDialog.GUICB_SetUpSensor2PB_Clicked)
328     self.ReadSensor2ValuesPB.clicked.connect(PySensorsDialog.GUICB_ReadSensor2ValuesPB_Clicked)
329     self.ReadSensor2RegisterPB.clicked.connect(PySensorsDialog.GUICB_ReadSensor2RegistersPB_Clicked)
330     QtCore.QMetaObject.connectSlotsByName(PySensorsDialog)
331
332     def retranslateUi(self, PySensorsDialog):
333         _translate = QtCore.QCoreApplication.translate
334         PySensorsDialog.setWindowTitle(_translate("PySensorsDialog", "PySensors"))
335         self.groupBox_2.setTitle(_translate("PySensorsDialog", "Sensor Registers"))
336         self.label_7.setText(_translate("PySensorsDialog", "Hr:"))
337         self.label_9.setText(_translate("PySensorsDialog", "Over Sampli
338         ng Temperature"))
339         self.label_12.setText(_translate("PySensorsDialog", "Hr:"))
340         self.label_11.setText(_translate("PySensorsDialog", "Hx:"))
341         self.label_10.setText(_translate("PySensorsDialog", "Over Samplig Pressure"))
342         self.label_6.setText(_translate("PySensorsDialog", "Hr:"))
343         self.label_14.setText(_translate("PySensorsDialog", "Hx:"))
344         self.label_5.setText(_translate("PySensorsDialog", "Hx:"))
345         self.label_8.setText(_translate("PySensorsDialog", "Hx:"))
346         self.label_13.setText(_translate("PySensorsDialog", "Over Samplig Humidity"))
347         self.label_15.setText(_translate("PySensorsDialog", "Hr:"))
348         self.ReadSensorRegisterPB.setText(_translate("PySensorsDialog", "Read
349         Sensor Registers"))
350         self.label_4.setText(_translate("PySensorsDialog", "Operation Mode:"))
351         self.label_16.setText(_translate("PySensorsDialog", "Filter Coefficient"))
352         self.label_17.setText(_translate("PySensorsDialog", "Hx:"))
353         self.label_18.setText(_translate("PySensorsDialog", "Hr:"))
354         self.groupBox_4.setTitle(_translate("PySensorsDialog", "Sensor Data"))
355         self.label_2.setText(_translate("PySensorsDialog", "Pressure"))
356         self.label_3.setText(_translate("PySensorsDialog", "Humidity"))
357         self.label_1.setText(_translate("PySensorsDialog", "Temperature"))
358         self.pushButton_2.setText(_translate("PySensorsDialog", "1 - Set UpSensor
359         ID"))
360         self.ReadSensorValuesPB.setText(_translate("PySensorsDialog", "3 - Read
361         Sensor Values"))
362         self.tabWidget.setTabText(self.tabWidget.indexOf(self.tab),

```

- 7 -

```

363         "PySensorsDialog", "Sensor Registers"))
364         self.label_31.setText(_translate("PySensorsDialog", "Configuration
365         Register (16 bit)"))
366         self.label_20.setText(_translate("PySensorsDialog", "ALS"))
367         self.label_40.setText(_translate("PySensorsDialog", "ALS WL"))
368         self.label_41.setText(_translate("PySensorsDialog", "Power Saving"))
369         self.label_38.setText(_translate("PySensorsDialog", "ALS CONF 0"))
370         self.label_24.setText(_translate("PySensorsDialog", "Low Threshold Windows
371         Setting"))
372         self.ReadSensor2RegisterPB.setText(_translate("PySensorsDialog", "Read
373         Sensor Registers"))
374         self.label_25.setText(_translate("PySensorsDialog", "White Channel Output"))
375         self.label_32.setText(_translate("PySensorsDialog", "Als High Resolution
376         Output Data"))
377         self.label_28.setText(_translate("PySensorsDialog", "Hx:"))
378         self.label_22.setText(_translate("PySensorsDialog", "WHITE"))
379         self.label_21.setText(_translate("PySensorsDialog", "High Threshold
380         Windows Setting"))
381         self.label_26.setText(_translate("PySensorsDialog", "Hx:"))
382         self.label_39.setText(_translate("PySensorsDialog", "ALS WH"))
383         self.label_23.setText(_translate("PySensorsDialog", "Hx:"))
384         self.label_29.setText(_translate("PySensorsDialog", "Power Saving Modes"))
385         self.label_30.setText(_translate("PySensorsDialog", "Hx:"))
386         self.label_27.setText(_translate("PySensorsDialog", "Hx:"))
387         self.label_33.setText(_translate("PySensorsDialog", "Hx:"))
388         self.groupBox_4.setTitle(_translate("PySensorsDialog", "Sensor Data"))
389         self.label_35.setText(_translate("PySensorsDialog", "White Channel"))
390         self.label_36.setText(_translate("PySensorsDialog", "..."))
391         self.label_37.setText(_translate("PySensorsDialog", "Illuminance"))
392         self.SetUpSensor2PB.setText(_translate("PySensorsDialog", "1 - Set UpSensor
393         ID"))
394         self.pushButton_3.setText(_translate("PySensorsDialog", "2 - Read Sensor
395         ID"))
396         self.ReadSensor2ValuesPB.setText(_translate("PySensorsDialog", "3 - Read
397         Sensor Values"))
398         self.tabWidget.setTabText(self.tabWidget.indexOf(self.tab_2),
399         _translate("PySensorsDialog", "DataVault"))
400         self.ConnectToDbPB.setText(_translate("PySensorsDialog", "Connect to DB"))
401         self.ReadSamplePB.setText(_translate("PySensorsDialog", "Read Sample"))
402         self.WriteSamplePB.setText(_translate("PySensorsDialog", "Write Samples"))
403         self.tabWidget.setTabText(self.tabWidget.indexOf(self.tab_2),
404         _translate("PySensorsDialog", "PySensorsDialog"))
405         self.ui = Ui_PySensorsDialog()
406         self.ui.setupUi(PySensorsDialog)
407         PySensorsDialog.show()
408         sys.exit(app.exec_())

```

- 8 -

14.12 PySensorsDialogImpl.py

```

1   from PyQt5.QtCore import pyqtSlot
2   from PyQt5.QtCore import QByteArrayList
3   from PyQt5.QtCore import QBitArray
4   from PyQt5.QtWidgets import QApplication
5   from PyQt5.QtWidgets import QWidget
6   from PyQt5.QtWidgets import QDialog
7   from PyQt5.QtCore import QDate
8   from PyQt5.QtCore import QTime
9   from PyQt5.QtCore import QTimer
10  from PyQt5.QtCore import QDateTime
11
12  from PySensorsDialog import Ui_PySensorsDialog
13
14  from BME680Sensor import BME680Sensor
15  from VEML7700Sensor import VEML7700Sensor
16  from DataVault import DataVault
17  from PyQt5.QtChart import *
18
19  import time
20
21 # La Classe "PySensorsDialogImpl" eredita da QDialog ed ha una Variabile di
22 # istanza che contiene i Widget disegnati con
23 # QtDesigner
24 # usato il metodo della Variabile di Istanza e non dell'Ereditarietà multipla per
25 # integrare gli oggetti disegnati
26 # con QtDesigner
27
28 class PySensorsDialogImpl(QDialog):
29
30     # -----
31     # Init
32     def __init__(self, parent=None):
33         # Call Warning
34         print("PySensorsDialogImpl: Called")
35         #
36
37         # Class Attribute Definition
38         # Timer for the Sensor Reading
39         self.AppTimer = None
40
41         #Sensore BME 680
42         self.Sensor1 = None
43
44         # Sensore VEML 7700
45         self.Sensor2 = None
46
47         #Repository SQL for the Sample
48         self.DataVault = None
49
50         # Chart Objects
51         self.SampleChart = None
52         self.SampleSeries = None
53         self.SampleChartView = None
54         #
55
56         # Inizializzazione del Parent
57         super(PySensorsDialogImpl, self).__init__(parent)
58
59

```

- 1 -

```

60
61     # Dichiaraione della Variabile di Istanza "ui" della Classe
62     # "Ui PySensorsDialog" contiene i Widget grafici
63     self.ui = Ui_PySensorsDialog()
64
65
66     # Invocazione del Metodo ui.setupUi della Variabile di Istanza UI passando
67     # "self" come argomento
68     self.ui.setupUi(self)
69
70     # Warning: SetUp dei Sensori per ora Sospeso!
71
72     # Creazione dell'Istanza del Sensore1 "SensorBME280"
73     self.Sensor1 = BME680Sensor()
74
75     # Inizializzazione del Sensore
76     self.Sensor1.SetUpSensor()
77
78     # Creazione dell'Istanza del Sensore1 "SensorBME280"
79     self.Sensor2 = VEML7700Sensor()
80
81     # Inizializzazione del Sensore
82     self.Sensor2.SetUpSensor()
83
84
85     # Data Vault Instance Creation
86     # Data Vault Instance Creation
87     self.DataVault = DataVault()
88
89     #Connect to DB
90     self.DataVault.ConnectToDB()
91
92
93     # Application Timer SetUp
94     self.AppTimer = QTimer()
95
96     self.AppTimer.timeout.connect(self.SLOT_ReadSensorsData)
97
98     # Start the Timer
99     # Warning : the Time is Suspended for now!
100    self.AppTimer.start(30000)
101
102
103
104    # Chart Objects initialization
105    self.SampleChart = QChart()
106    self.SampleSeries = QLineSeries()
107    self.SampleChartView = QChartView()
108    self.ui.verticalLayout_3.addWidget(self.SampleChartView)
109
110
111
112    # CallBack sul SetUp del Sensore1: BME680
113    @pyqtSlot()
114    def GUICB_SetUpSensorPB_Clicked(self):
115        print("GUICB_SetUpSensorPB_Clicked: Called")
116
117        # Inizializzazione del Sensore
118        self.Sensor1.SetUpSensor()

```

- 2 -

```

119
120
121     # CallBack sul SetUp del Sensore2 VEML 7700
122     @pyqtSlot()
123     def GUICB_SetUpSensor2PB_Clicked(self):
124         print("GUICB_SetUpSensor2PB_Clicked: Called")
125
126         # Inizializzazione del Sensore
127         self.Sensor2.SetUpSensor()
128
129
130     # CallBack sulla Lettura dei Dati del Sensore 1
131     @pyqtSlot()
132     def GUICB_ReadSensorValuesPB_Clicked(self):
133         print("GUICB_ReadSensorValuesPB_Clicked: Called")
134
135         Res = self.Sensor1.GetSensorData()
136
137         if Res == True:
138             output = "Temperature Value: {0:.2f}\nC".format(self.Sensor1.GetTemperatureValue())
139
140             print(output)
141             self.ui.TemperatureLEdit.setText(output)
142         else:
143             print("Read Failed From Sensor")
144         # End If
145     # End Function
146
147     # CallBack sulla Lettura dei Dati del Sensore 2
148     @pyqtSlot()
149     def GUICB_ReadSensor2ValuesPB_Clicked(self):
150         print("GUICB_ReadSensor2ValuesPB_Clicked: Called")
151
152         Res = self.Sensor2.GetSensorData()
153
154         if Res == True:
155             output = "Illuminance Value: {0:.2f}\nLux".format(self.Sensor2.GetIlluminanceValue())
156
157             print(output)
158             self.ui.IlluminanceLEdit.setText(output)
159         else:
160             print("Read Failed From Sensor")
161         # End If
162     # End Function
163
164     # CallBack sullo Scadere del TimeOut
165     @pyqtSlot()
166     def SLOT_ReadSensorsData(self):
167         print("SLOT_ReadSensorsData: Called")
168
169         Temperature = 0
170         Pressure = 0
171         Humidity = 0
172         Illuminance = 0
173
174         # The Sensor 1 is not present!
175         # Res1 = self.Sensor1.GetSensorData()
176         Res1 = False

```

- 3 -

```

178
179
180
181     if Res1 == True:
182
183         # Log
184         print("SLOT_ReadSensorsData: Read From Sensors 1 succeeded")
185
186
187         #Read Data from Sensors 1
188         Temperature = self.Sensor1.GetTemperatureValue()
189         Value Str = "{0:.1f}".format(Temperature)
190         self.ui.TemperatureEdit.setText(Value Str)
191
192         Pressure = self.Sensor1.GetPressureValue()
193         Value Str = "{0:.1f}".format(Pressure)
194         self.ui.PressureEdit.setText(Value Str)
195
196         Humidity = self.Sensor1.GetHumidityValue()
197         Value Str = "{0:.1f}".format(Humidity)
198         self.ui.HumidityLEdit.setText(Value Str)
199
200
201     else:
202         print("SLOT_ReadSensorsData: Read Failed From Sensors 1")
203
204
205
206     if Res2 == True:
207
208         # Msg Log
209         print("SLOT_ReadSensorsData: Read From Sensors 2 succeeded")
210
211
212         # Read Data from Sensors 2
213         Illuminance = self.Sensor2.GetIlluminanceValue()
214
215
216     else:
217
218         print("SLOT_ReadSensorsData: Read Failed From Sensors 2")
219
220
221
222
223
224
225
226
227
228
229
230
231
232
233
234
235
236
237

```

- 4 -

```
C:\Users\Grigio\Desktop\PySensors\PySensorsDialogImpl.py
Pagina 5 di 8
238
239     print("GUICB ReadSensorRegisterPB Clicked: Called")
240     Value_Byes = 25
241     Value_Str = self.ByteToString(Value_Byes)
242
243     self.ui.OperationModeHexadecimalLEdit.setText(Value_Str)
244
245     # Valore del Registro "Operation Mode"
246     # Res=self.Sensor1.GetOperationModeRegisterValue()
247     # HexValue = Res[0]
248     # HumValue = Res[1]
249
250     #Impostazione dei Line Edit
251     # self.ui.OperationModeHexadecimalLEdit.setText(HexValue)
252     # self.ui.OperationModeHumanReadableLEdit.setText(HumValue)
253
254
255     # EndFunction
256
257     # CallBack sulla Lettura dei Registri di Controllo del Sensore2
258     @pyqtSlot()
259     def GUICB ReadSensor2RegisterPB Clicked(self):
260         # Call Warning
261         print("GUICB ReadSensor2RegisterPB Clicked: Called")
262
263
264         # ALS CONF 0 Register
265         Value_Byes = self.Sensor2.GetAlsConf0RegisterValue()
266         Value_Str = self.BytesToString(Value_Byes)
267         self.ui.ConfigurationRegisterHexadecimalLEdit.setText(Value_Str)
268
269
270         # ALS_WH Register
271         Value_Byes = self.Sensor2.GetHighThresholdWindowsRegisterValue()
272         Value_Str = self.BytesToString(Value_Byes)
273         self.ui.HighThresholdWindowsLEdit.setText(Value_Str)
274
275
276         # ALS_WL Register
277         Value_Byes = self.Sensor2.GetLowThresholdWindowsRegisterValue()
278         Value_Str = self.BytesToString(Value_Byes)
279         self.ui.LowThresholdWindowsLEdit.setText(Value_Str)
280
281
282         # POWER_MODE_SE Register
283         Value_Byes = self.Sensor2.GetPowerSavingModesRegisterValue()
284         Value_Str = self.BytesToString(Value_Byes)
285         self.ui.PowerSavingModesLEdit.setText(Value_Str)
286
287
288         # ALS HIGH RESOLUTION OUTPUT Register
289         Value_Byes = self.Sensor2.GetAlsHighResolutionOutputRegisterValue()
290         Value_Str = self.BytesToString(Value_Byes)
291         self.ui.AlsHighResolutionOutputHexadecimalLEdit.setText(Value_Str)
292
293
294         # ALS HIGH RESOLUTION OUTPUT Register
295         Value_Byes = self.Sensor2.GetWhiteChannelOutputRegisterValue()
296         Value_Str = self.BytesToString(Value_Byes)
297         self.ui.WhiteChannelOutputHexadecimalLEdit.setText(Value_Str)
298
299

```

- 5 -

03/08/2019 17:18:07

C:\Users\Grigio\Desktop\PySensors\PySensorsDialogImpl.py
Pagina 6 di 8

03/08/2019 17:18:07

- 6 -

C:\Users\Grigio\Desktop\PySensors\PySensorsDialogImpl.py
Pagina 7 di 8

03/08/2019 17:18:07

```
360
361     # SetUp ChartView
362     self.SampleChartView.setChart(self.SampleChart)
363
364
365
366     # Definizione dello Slot sul Cambio di Valore dello SpinBox2
367     # mettere nella lista dei parametri i tipi di dato del Signal
368     # @pyqtSlot(int)
369     # def on inputSpinBox2 valueChanged(self, value):
370     #     self.ui.outputWidget.setText(str(value + self.ui.inputSpinBox1.value()))
371
372
373     # ritorna una stringa con la rappresentazione in Bits di un Byte
374     def ByteToString(self, BytesValue):
375         BitsStringRappresentation = ""
376
377         BitsStringRappresentation = "{0:b}".format(BytesValue)
378
379         return (BitsStringRappresentation)
380
381
382         for bIndex in range(0, 8):
383             # One Bit Mask
384             # 0000 0001
385             # 0000 0010
386             # ...
387             BitValue = BytesValue & (1 << (7 - bIndex))
388
389             if BitValue > 1:
390                 BitsStringRappresentation = BitsStringRappresentation + "1"
391             elif BitValue == 0:
392                 BitsStringRappresentation = BitsStringRappresentation + "0"
393             else:
394                 BitsStringRappresentation = BitsStringRappresentation + " "
395
396             # End if
397         # End For
398         return(BitsStringRappresentation)
399
400
401     # -----
402     # Bytes To String
403
404     # Convert a List of Value [LSB, MSB] to a String
405     def BytesToString(self, Value):
406         Value_Str = ""
407
408         if isinstance(Value, list):
409             iNum = len(Value)
410             print("SetRegisterValue: Num. Elements in the List:{0}".format(iNum))
411             for i in range(iNum):
412                 CurrElement = "{0:0>8b}".format(Value[iNum - 1 - i])
413                 print("SetRegisterValue: Element {0} in the List is {1} ".format(i, CurrElement))
414                 Value_Str = Value_Str + " " + CurrElement
415
416             # End For
417         else:
418             Value_Str = "{0:0>8b}".format(Value)
419
420             # End If
421
422             return(Value_Str)
```

- 7 -

C:\Users\Grigio\Desktop\PySensors\PySensorsDialogImpl.py
Pagina 8 di 8

03/08/2019 17:18:07

```
420
421
422     # End Class
423
424     # ToDoList:
425     # Come usare le variabili di Classe nelle fuzioni membro
426
```

- 8 -

14.13 adapter.py

```
1  class Adapter:
2      """
3          Must implement `decode()` and `encode()``.
4      """
5      def decode(self, value):
6          raise NotImplementedError
7
8      def encode(self, value):
9          raise NotImplementedError
10
11
12  class LookupAdapter(Adapter):
13      """Adaptor with a dictionary of values.
14
15      :param lookup table: A dictionary of one or more key/value pairs where the key is the human-readable value and the value is the bitwise register value
16      """
17
18      def __init__(self, lookup table, snap=True):
19          self.lookup table = lookup table
20          self.snap = snap
21
22      def decode(self, value):
23          index = list(self.lookup table.values()).index(value)
24          return list(self.lookup table.keys())[index]
25
26      def encode(self, value):
27          if self.snap and type(value) in [int, float]:
28              value = min(list(self.lookup table.keys()), key=lambda x: abs(x - value))
29          return self.lookup table[value]
30
31
32  class U16ByteSwapAdapter(Adapter):
33      """Adaptor to swap the bytes in a 16bit integer."""
34
35      def _byteswap(self, value):
36          return (value >> 8) | ((value & 0xFF) << 8)
37
38      def _decode(self, value):
39          return self._byteswap(value)
40
41      def _encode(self, value):
42          return self._byteswap(value)
```

14.14 __init__.py

```

1  version  = '0.0.5'
2
3  def mask_width(value, bit_width=8):
4      """Get the width of a bitwise mask
5
6      ie: 0b000111 = 3
7
8      value >= trailing_zeros(value, bit width)
9      return value.bit length()
10
11
12  def leading_zeros(value, bit width=8):
13      """Count leading zeros on a binary number with a given bit width
14
15      ie: 0b0011 = 2
16
17      Used for shifting around values after masking.
18      """
19
20      count = 0
21      for in range(bit width):
22          if value & (1 << (bit width - 1)):
23              return count
24          count += 1
25          value <<= 1
26
27
28  def trailing_zeros(value, bit width=8):
29      """Count trailing zeros on a binary number with a given bit width
30
31      ie: 0b11000 = 3
32
33      Used for shifting around values after masking.
34      """
35
36      count = 0
37      for in range(bit width):
38          if value & 1:
39              return count
40          count += 1
41          value >>= 1
42
43
44  def _int_to_bytes(value, length, endianness='big'):
45      try:
46          return value.to_bytes(length, endianness)
47      except AttributeError:
48          output = bytearray()
49          for x in range(length):
50              offset = x * 8
51              mask = 0xff << offset
52              output.append((value & mask) >> offset)
53          if endianness == 'big':
54              output.reverse()
55
56
57
58  class MockSMBus:
59      def __init__(self, i2c_bus):
60          self.regs = [0 for _ in range(255)]
61
```

- 1 -

```

62
63      def write_i2c_block_data(self, i2c address, register, values):
64          self.regs[register:register + len(values)] = values
65
66      def read_i2c_block_data(self, i2c address, register, length):
67          return self.regs[register:register + length]
68
69
70  class RegisterProxy(object):
71      """Register Proxy
72
73      This proxy catches lookups against non existent get fieldname and
74      set fieldname methods
75      and converts them into calls against the device's get field and set field
76      methods with
77      the appropriate options.
78
79      This means device.register.set field(value) and
80      device.register.get field(value) will work
81      and also transparently update the underlying device without the register or
82      field objects
83      having to know anything about how data is written/read/stored.
84
85
86  def __init__(self, device, register):
87      object.__init__(self)
88      self.device = device
89      self.register = register
90
91  def __getattribute__(self, name):
92      if name.startswith("get_"):
93          name = name.replace("get_", "")
94          return lambda: self.device.get_field(self.register.name, name)
95      if name.startswith("set_"):
96          name = name.replace("set_", "")
97          return lambda value: self.device.set_field(self.register.name, name, value)
98
99
100
101  def write(self):
102      return self.device.write_register(self.register.name)
103
104  def read(self):
105      return self.device.read_register(self.register.name)
106
107
108  def __enter__(self):
109      self.device.read_register(self.register.name)
110      self.device.lock_register(self.register.name)
111
112
113  def __exit__(self, exception_type, exception_value, exception_traceback):
114      self.device.unlock_register(self.register.name)
115
116
117
118  class Register():
119      """Store information about an i2c register"""
120      def __init__(self, name, address, fields=None, bit_width=8, read_only=False,
121      volatile=True):
122          self.name = name
123          self.address = address
124          self.bit_width = bit_width
125          self.read_only = read_only
126
127
128
129
130
131
132
133
134
135
136
137
138
139
140
141
142
143
144
145
146
147
148
149
150
151
152
153
154
155
156
157
158
159
160
161
162
163
164
165
166
167
168
169
170
171
172
173
174
175
```

- 2 -

```

117      self.volatile = volatile
118      self.fields = {}
119
120      for field in fields:
121          self.fields[field.name] = field
122
123
124  class BitField():
125      """Store information about a field or flag in an i2c register"""
126      def __init__(self, name, mask, adapter=None, bit width=8, read only=False):
127          self.name = name
128          self.mask = mask
129          self.adapter = adapter
130          self.bit width = bit width
131          self.read only = read only
132
133
134  class BitFlag(BitField):
135      def __init__(self, name, bit, read only=False):
136          BitField.__init__(self, name, 1 << bit, adapter=None, bit width=8,
137                           read only=read only)
138
139
140  class Device(object):
141      def __init__(self, i2c_address, i2c_dev=None, bit width=8, registers=None):
142          self._bit_width = bit width
143
144          self.locked = {}
145          self.registers = {}
146          self.values = {}
147
148          if type(i2c_address) is list:
149              self._i2c_addresses = i2c_address
150              self._i2c_address = i2c_address[0]
151          else:
152              self._i2c_addresses = [i2c_address]
153              self._i2c_address = i2c_address
154
155          self._i2c = i2c_dev
156
157          if self._i2c is None:
158              import smbus
159              self._i2c = smbus.SMBus(1)
160
161          for register in registers:
162              self.locked[register.name] = False
163              self.values[register.name] = 0
164              self.registers[register.name] = register
165              self._dict_[register.name] = _RegisterProxy(self, register)
166
167  def lock_register(self, name):
168      self.locked[name] = True
169
170  def unlock_register(self, name):
171      self.locked[name] = False
172
173  def read_register(self, name):
174      register = self.registers[name]
175      self.values[register.name] = self._i2c.read(register.address,
176                                                register.bit_width)
177      return self.values[register.name]
178
179
180
181
182
183
184
185
186
187
188
189
190
191
192
193
194
195
196
197
198
199
200
201
202
203
204
205
206
207
208
209
210
211
212
213
214
215
216
217
218
219
220
221
222
223
224
225
226
227
228
229
230
231
232
233
234
```

- 3 -

```

176
177      def write_register(self, name):
178          register = self.registers[name]
179          return self._i2c.write(register.address, self.values[register.name],
180                               register.bit width)
181
182  def get_addresses(self):
183      return self._i2c.addresses
184
185  def select_address(self, address):
186      if address in self._i2c.addresses:
187          self._i2c.address = address
188          return True
189      raise ValueError("Address {:02x} invalid!".format(address))
190
191  def next_address(self):
192      next_addr = self._i2c.addresses.index(self._i2c.address)
193      next_addr += 1
194      next_addr %= len(self._i2c.addresses)
195      self._i2c.address = self._i2c.addresses[next_addr]
196
197
198  def get_field(self, register, field):
199      register = self.registers[register]
200      field = register.fields[field]
201
202      if not self.locked[register.name]:
203          self.read_register(register.name)
204
205      value = self.values[register.name]
206
207      value = (value & field.mask) >> _trailing_zeros(field.mask,
208                                                       register.bit width)
209
210      if field.adapter is not None:
211          value = field.adapter._decode(value)
212
213
214  def set_field(self, register, field, value):
215      register = self.registers[register]
216      field = register.fields[field]
217      shift = _trailing_zeros(field.mask, register.bit width)
218
219      if field.adapter is not None:
220          value = field.adapter._encode(value)
221
222      if not self.locked[register.name]:
223          self.read_register(register.name)
224
225      reg_value = self.values[register.name]
226
227      reg_value &= ~field.mask
228      reg_value |= (value << shift) & field.mask
229
230      self.values[register.name] = reg_value
231
232      if not self.locked[register.name]:
233          self.write_register(register.name)
234
235
236  def get_register(self, register):
237
```

- 4 -

```
235     register = self.registers[register]
236     return self.i2c.read(register.address, register.bit_width)
237
238     def i2c_write(self, register, value, bit_width):
239         values = int_to_bytes(value, bit_width // self.bit_width, 'big')
240         values = list(values)
241         self.i2c.write_i2c_block_data(self.i2c_address, register, values)
242
243     def i2c_read(self, register, bit_width):
244         value = 0
245         for x in self.i2c.read_i2c_block_data(self.i2c_address, register,
246                                              bit_width // self.bit_width):
247             value <<= 8
248             value |= x
249         return value
```

14.15 Test Software

Al fine di poter estrarre i valori e convalidare la bontà del codice scritto si è realizzata una interfaccia per mezzo delle librerie *Qt* in grado di estrarre e visualizzare i valori presente nei registri dei sensori.

L'interfaccia si compone si una window con quattro schede facenti capo ai quattro sensori utilizzati nell'architettura.

- **BME680** Ambiental Sensor
- **VEML7700** Light Sensor
- **AS7262** Spectrum Sensor
- **VEML6075** UV Sensor

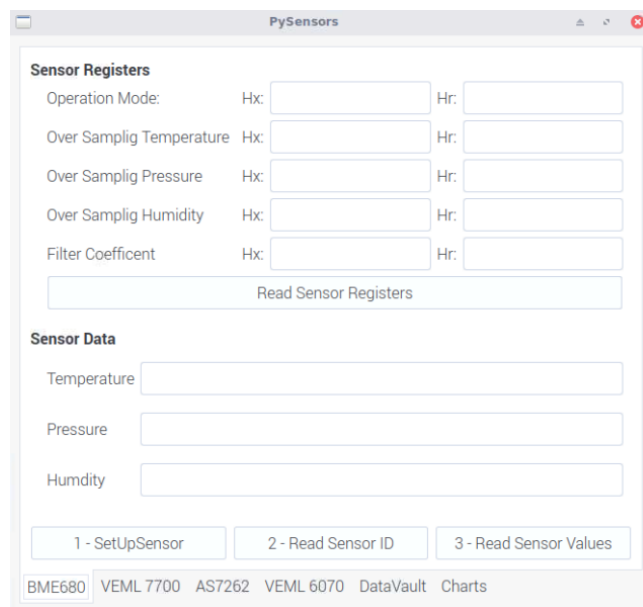


Figure 14.7: BOX 1

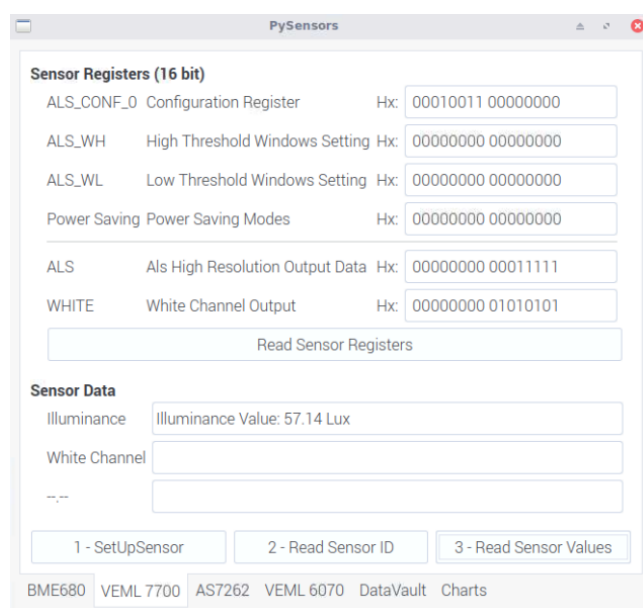


Figure 14.8: BOX 2

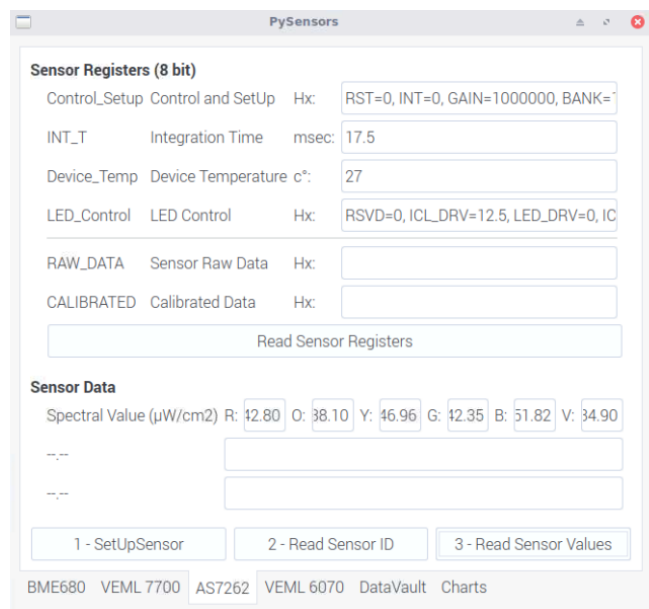


Figure 14.9: BOX 3



Figure 14.10: BOX 4

Chapter 15

Structure

Per quanto riguarda la struttura, siccome il dispositivo opera in ambiente aperto, occorre che essa sia resistente agli agenti atmosferici in generale. Sarebbe quindi interessante optare per connessioni di tipo IP68 sia a livello di alimentazione che trasmissione dati.

Da ridurre al minimo sono quindi le aperture e le possibilità conseguenti di infiltrazione di acqua.

La struttura integralmente vuole rispettare le dimensioni minime possibili e quindi a fronte di una PCB di 57mm x 83mm si vuole cercare di mantenere grosso modo lo stesso ordine di misura.

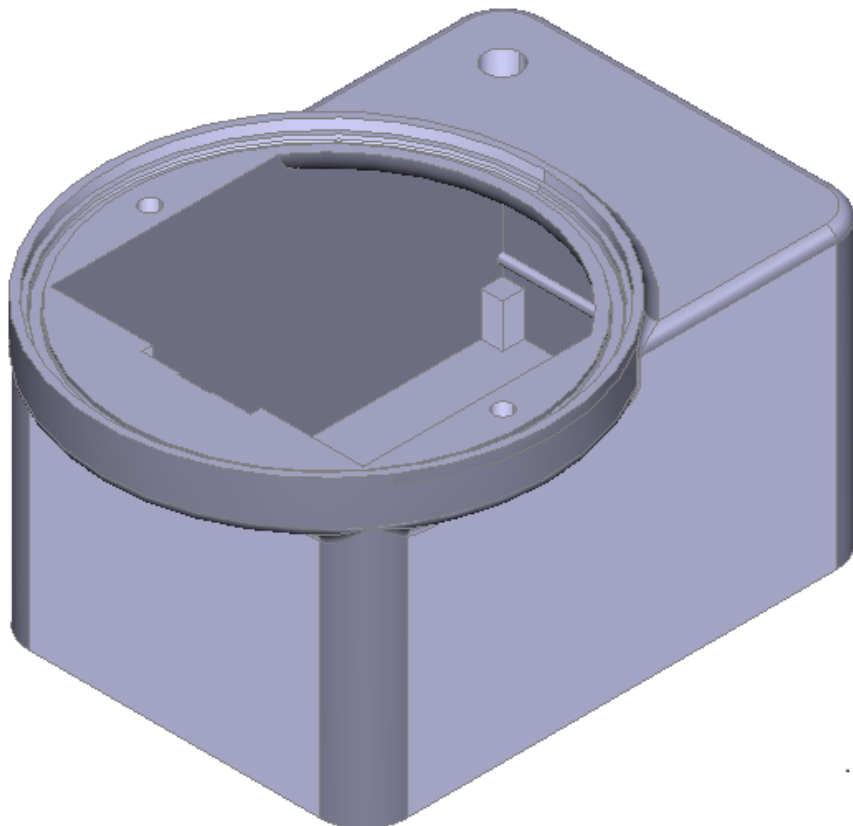


Figure 15.1: General View

15.1 Lenticolar Dome

La luce e l'irraggiamento solare devono poter essere raccolti e analizzati senza attenuazione ne alterazione, quindi si rivela necessario un lenticolare a cupola che opportunamente alloggiato riesca a garantire l'omogeneità della luce all'interno del dispositivo.

Per questo motivo ci si serve di un lenticolare a cupola che ha una risposta piatta lungo l'intero spettro solare ($390nm-1100nm$) e ripari i sensori dagli agenti esterni.

Umidità, raggi UV, neve e pioggia sono infatti cause di possibili malfunzionamenti di un dispositivo non correttamente isolato.

Per questo motivo la struttura presenta al di sotto della lente un O-Ring di materiale plastico in grado di mantenere umidità e infiltrazioni d'acqua lontane dal circuito.



Figure 15.2: Dome

Inoltre, la sua forma a cupola, permette di ricevere l'energia dalla fonte luminosa in modo che sia isotropica.

15.2 Wifi Antenna

Seguendo la strada descritta in precedenza di una comunicazione Wireless si è reso necessario integrare nel design una antenna in modo che possa essere massimizzato il raggio di azione del dispositivo, in quanto esso sicuramente sarà ubicato in una locazione lontana dal *Gateway WiFi*.

Per questo motivo al posto di un controller WiFi con scheda integrata si opta per una antenna esterna.

L'antenna dà sull'esterno del case per mezzo di una connessione SMA J/R qualificata IP66.



Figure 15.3: Antenna

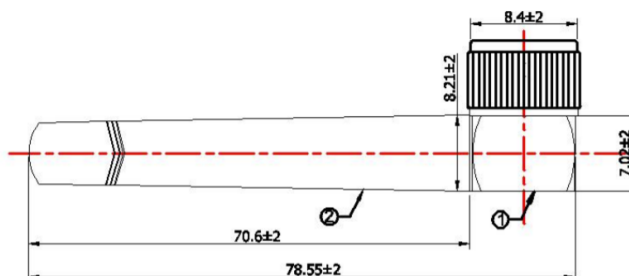
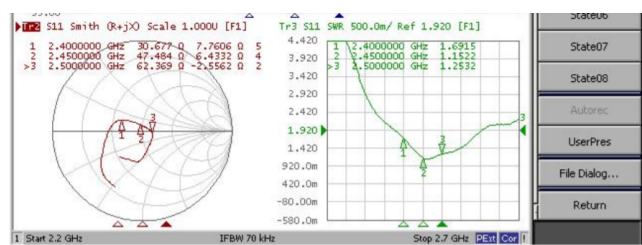


Figure 15.4: Antenna Dimensional Draw



2D、3DRaditation Pattern:

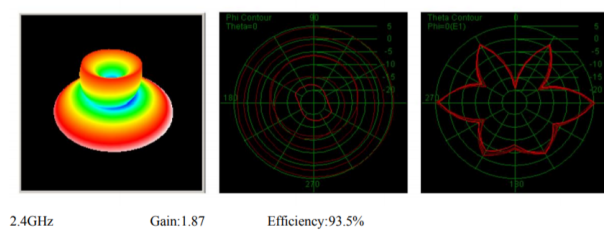


Figure 15.5: 3D Radiation Pattern

15.3 Antenna Cable

La connessione tra il modulo Wifi e l'antenna stessa è permessa grazie all'uso di un cavo dedicato con le seguenti caratteristiche sulle quali non staremo a dilungarci molto.

Specification

1. Electrical Properties

- 1.1 Frequency Range-----DC-3GHz
- 1.2 Impedance-----50 Ω
- 1.3 VSWR-----≤1.5
- 1.4 Cable Loss-----0.1dB / m Max @ 100MHz
- 1.5 Radiation-----Omni-directional
- 1.6 Admitted Power-----2W
- 1.7 Cable-----Φ1.37mm Gray
- 1.8 Insulation Resistance-----1000M ohm

2. Physical Properties

- 2.1 Connector-----SMA J/R
- 2.2 Operating Temp------10°C~+60°C
- 2.3 Storage Temp------10°C~+70°C
- 2.4 Cable Color-----Gray

Figure 15.6: Attenuation vs frequency

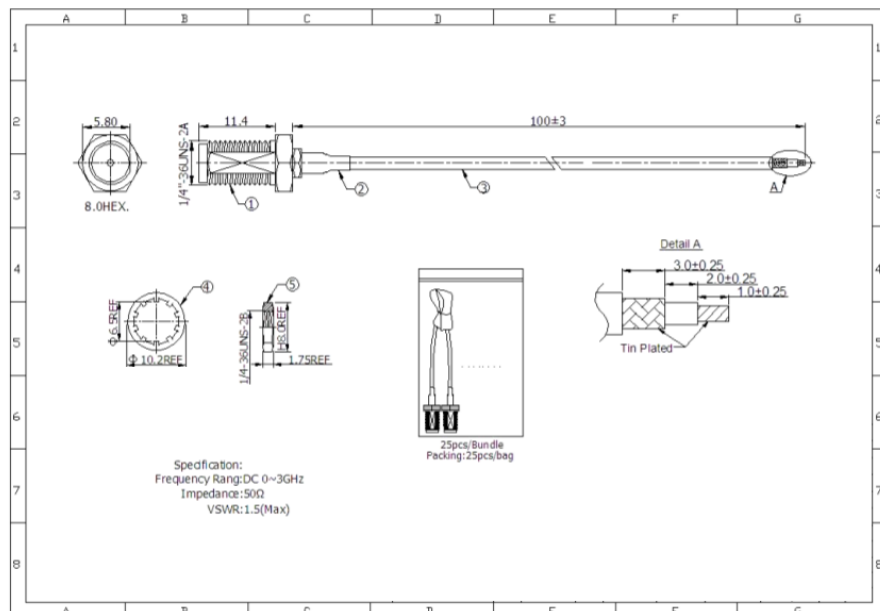


Figure 15.7: Radiation Pattern

15.4 Power Connector e Plug

Al fine anche in questo caso di garantire il massimo isolamento tra il modulo e il mondo esterno è stato scelto un connettore di tipo IP68 USB A, in modo da poter contare sulla reperibilità, semplicità e economicità della connessione senza nessun contro.

Esso ha la funzione di portare la tensione di alimentazione dal dispositivo di supply al modulo.



Figure 15.8: Plug Front



Figure 15.9: Plug Rear

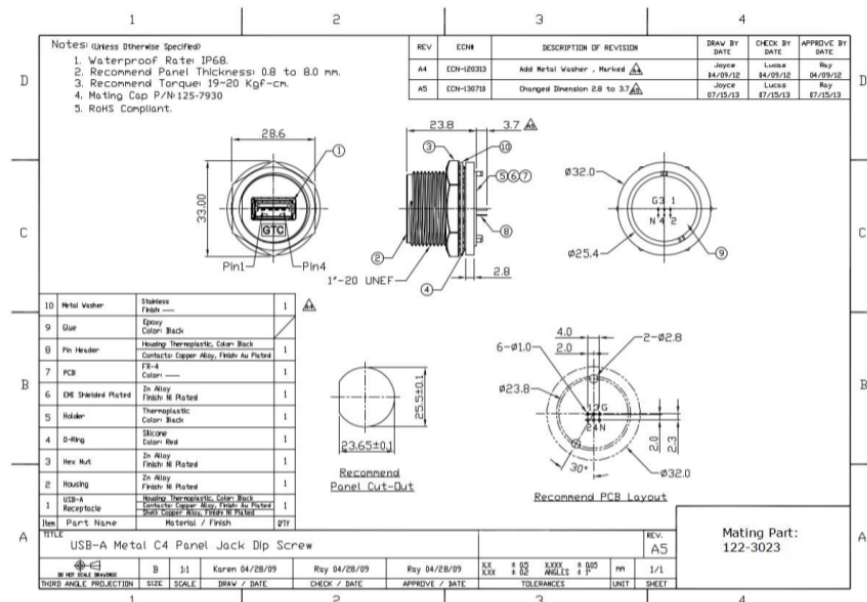


Figure 15.10: Plug Dimensional Draw

Nel caso in cui il dispositivo venga riposto o debba essere scollegato si può coprire la connessione con un *plug* di tipo IP68.



Figure 15.11: Cap Front



Figure 15.12: Cap Rear

15.5 3D Model

La realizzazione è affidata alla conoscenza preliminare del software di modellazione 3d *Catia*.

A livello generale la struttura è stata pensata, essendo un prototipo, per essere stampata con una stampante 3d, dapprima con un prototipo in PLA e successivamente con un prototipo in LongChain Polyamide nero resistente ai raggi UV.

15.5.1 Material

Per il prototipo iniziale è stato scelto un materiale economico giusto per verificare ingombri ed evidenziare eventuali problematiche non calcolate.



FILAMENT DATASHEET
MATERIAL: Longchain PA

WE CARE ABOUT YOUR PRINTS

Suggested printing specs.	Value	Unit	Standard
Extruder Temperature	240° +/-10°	°C	Internal
Bed Temperature	95° +/-10°	°C	Internal
Print speed	40-50	mm/s	Internal
Fan	0-30	%	Internal
Minimum Nozzle Diameter	0,35	mm	Internal

Material Properties	Value	Unit	Standard
Density	1	g/cm³	ISO 1183
Hardness	75	sh/D	ISO 868
Tensile Modulus	1440	MPa	ISO 527
Melting Point	180°	°C	ISO 11357
Charpy impact strength, 23°C	NO BREAK	kJ/m²	ISO 179
Charpy impact strength, -30°C	NO BREAK	kJ/m²	ISO 179
Yield Stress	43	MPa	ISO 527-2

Figure 15.13: LPA Data

Mentre per quanto riguarda il dispositivo vero e proprio è stato utilizzato un materiale innovativo *Z-ASA Pro* dedicato all'utilizzo in ambienti esterni e a contatto degli agenti atmosferici.

Z-ASA Pro infatti è un materiale termoplastico durevole e mostra una resistenza superiore rispetto ai normali ABS verso fattori esterni, tra cui radiazioni UV e condizioni meteorologiche estreme. Utilizzando *Z-ASA Pro*, è possibile stampare modelli e prototipi in 3D che resistono al cambiamento di temperatura, umidità o luce solare, mantenendo la loro forma iniziale e un'estetica eccellente.

TECHNICAL DATA SHEET
Date of Issue: 01.06.2017 | Update: 03.01.2018 | Version: 2.00

Z-ASA Pro



Mechanical Properties	Metric	English	Test Method
Tensile Strength	24.21 MPa	3510 psi	ISO 527:1998
Breaking Stress	21.94 MPa	3180 psi	ISO 527:1998
Elongation at max Tensile Stress	2.64%	2.64%	ISO 527:1998
Elongation at Break	2.76%	2.76%	ISO 527:1998
Bending Stress	45.60 MPa	6610 psi	ISO 178:2011
Flexural Modulus	1.36 GPa	197 ksi	ISO 178:2011
Izod Impact, Notched	3.81 kJ/m ²	1.81 ft-lb/in ²	ISO 180:2004
Thermal Properties	Metric	English	Test Method
Glass Transition Temperature	80.99° C	178° F	ISO 11357-3:2014
Other Properties	Metric	English	Test Method
Melt Flow Rate	74.91 g/10 min Load 10 kg Temperature 220° C	0.165 lb/10 min Load 22 lb Temperature 428° F	ISO 1133:2006
Specific Density	1.176 g/cm ³	9.81 lb/gal	ISO 1183-3:2003
Shore Hardness (D)	68.0	68.0	ISO 868:1998

Figure 15.14: Z Asa Pro Data

15.5.2 Views

Il sensore ambientale *BME680* necessita di una apertura esterna in modo che possa comunicare direttamente con l'ambiente circostante.

La catena di sensori relativi alla luminosità invece è disposta al di sotto del *Dome* che sta a protezione degli stessi.

Si è scelto di non avere aperture supplementari se non quelle strettamente necessarie quali:

- Usb Plug [Figure 18.16]
- Dome Hole [Figure 18.13]
- Antenna Hole [Figure 18.13,18.18]
- Bme680 Sensor Hole [Figure 18.14]

E' possibile apprezzare la struttura dalle visuali isometriche standard.

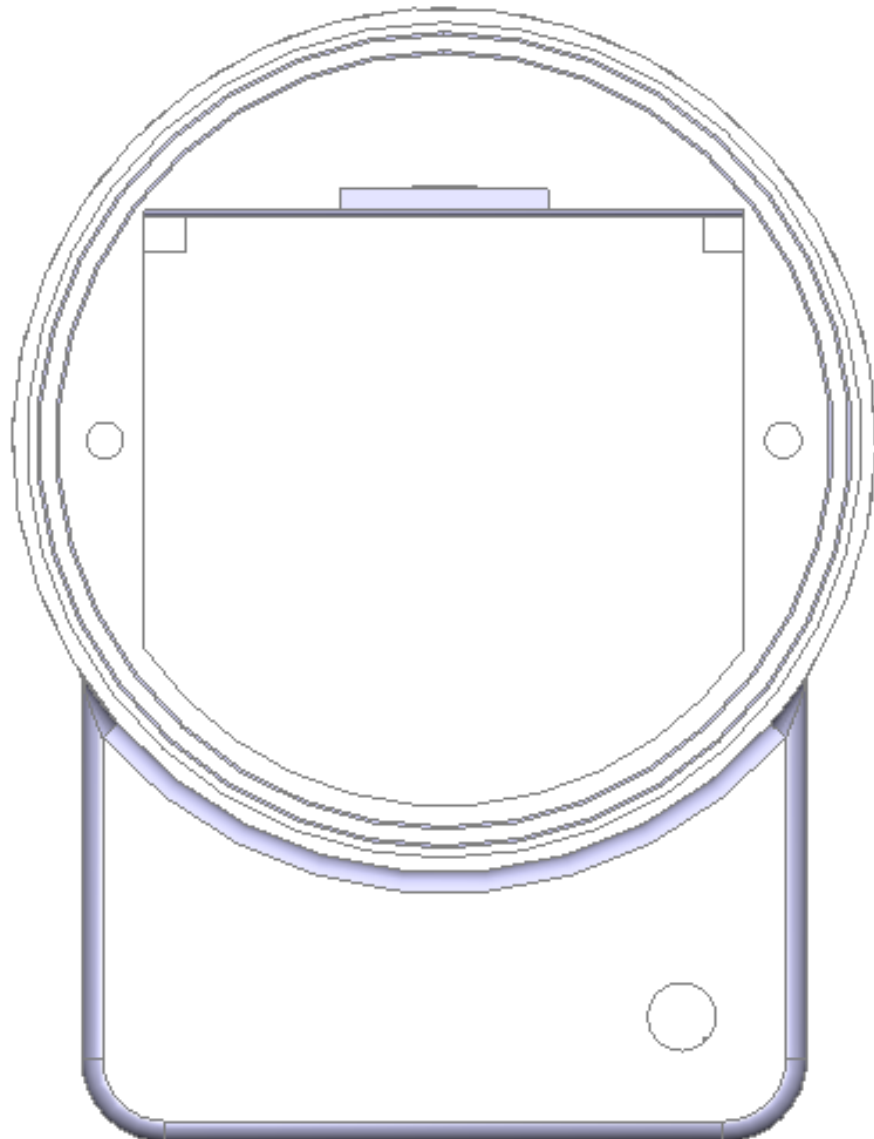


Figure 15.15: Top

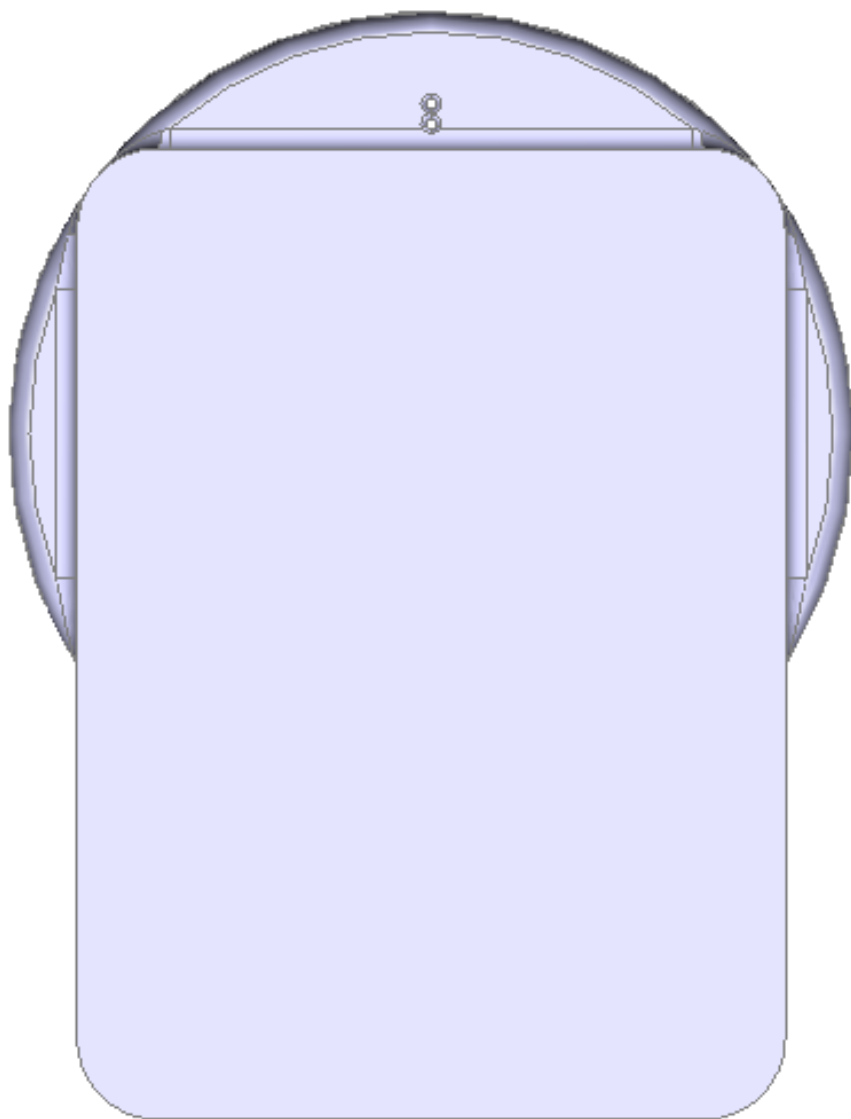


Figure 15.16: Rear

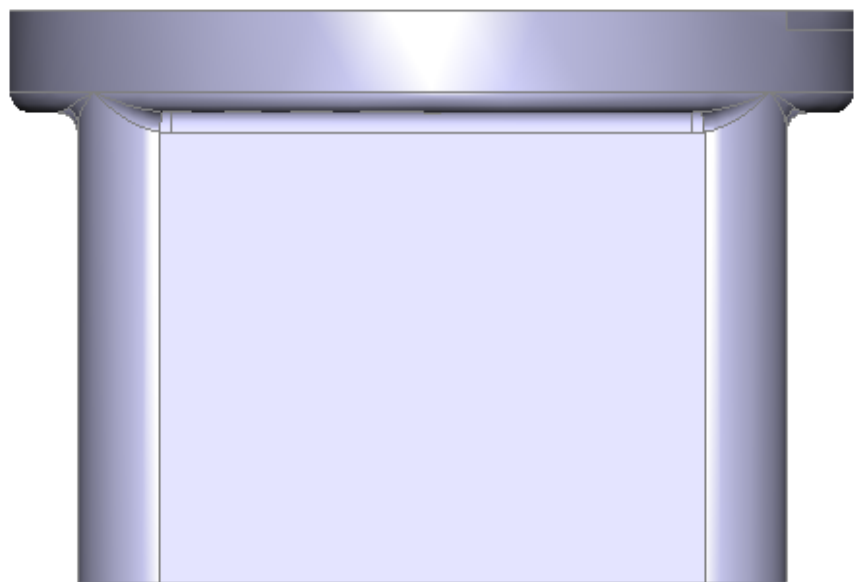


Figure 15.17: Left

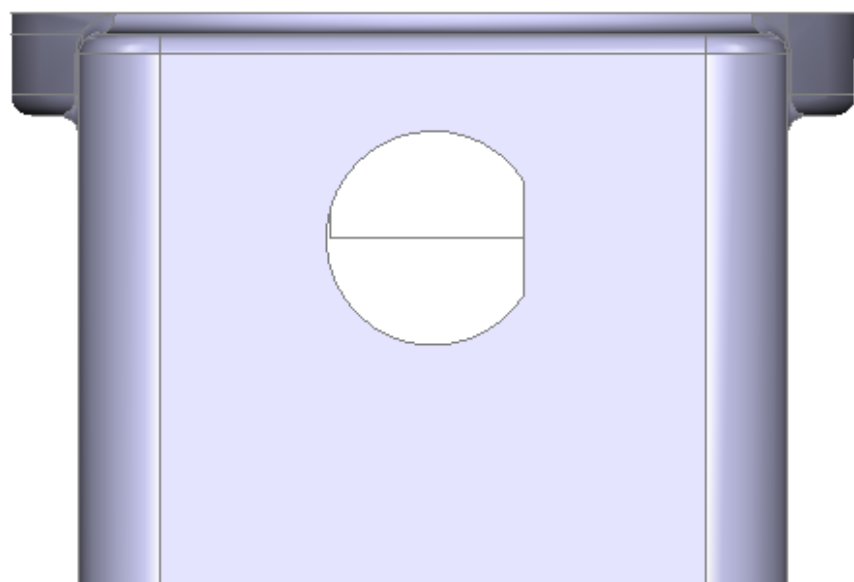


Figure 15.18: Right

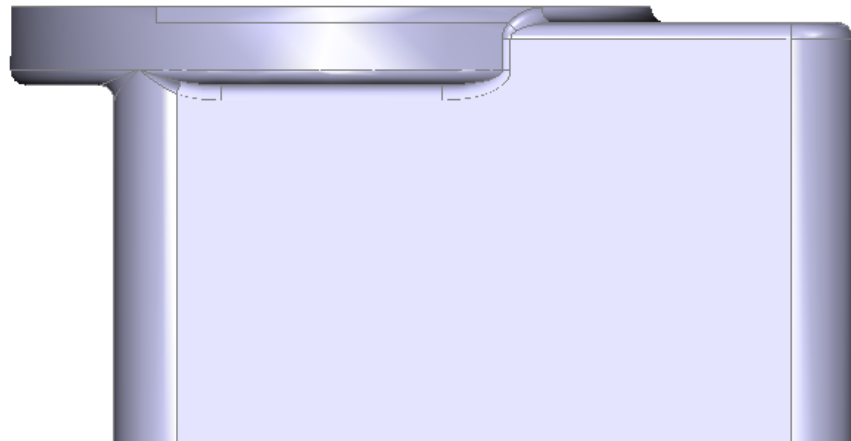


Figure 15.19: Front

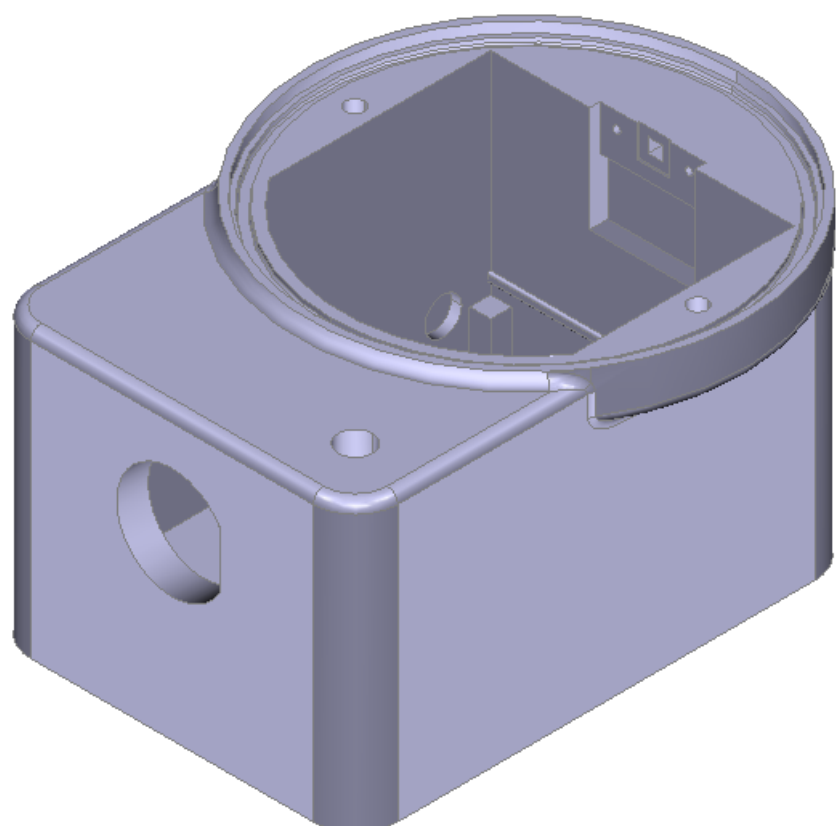


Figure 15.20: N/E

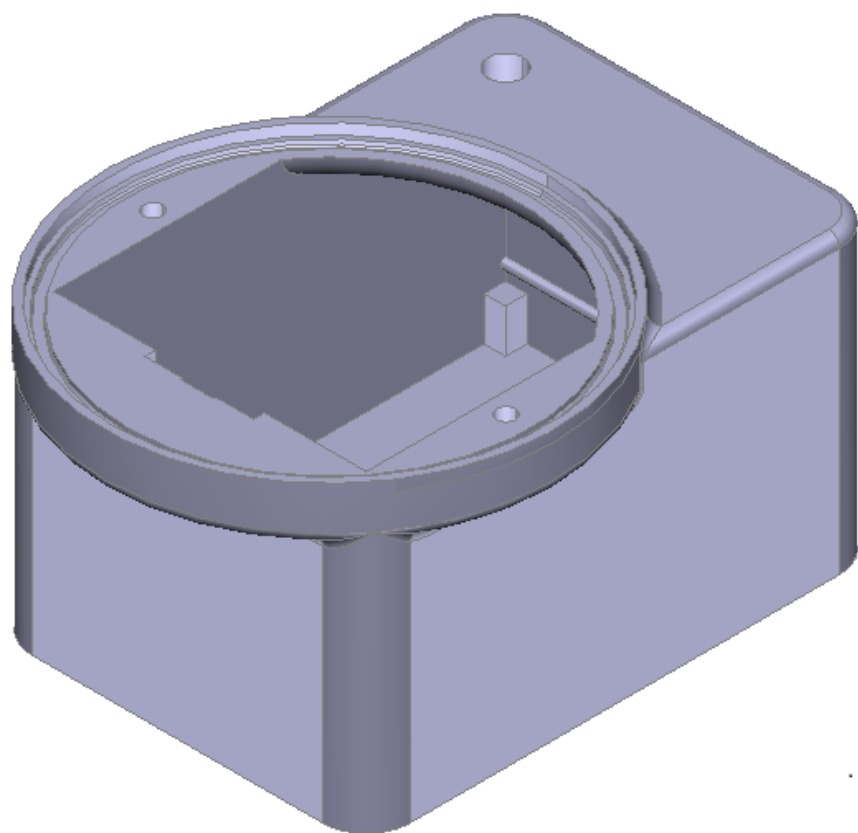


Figure 15.21: S/W

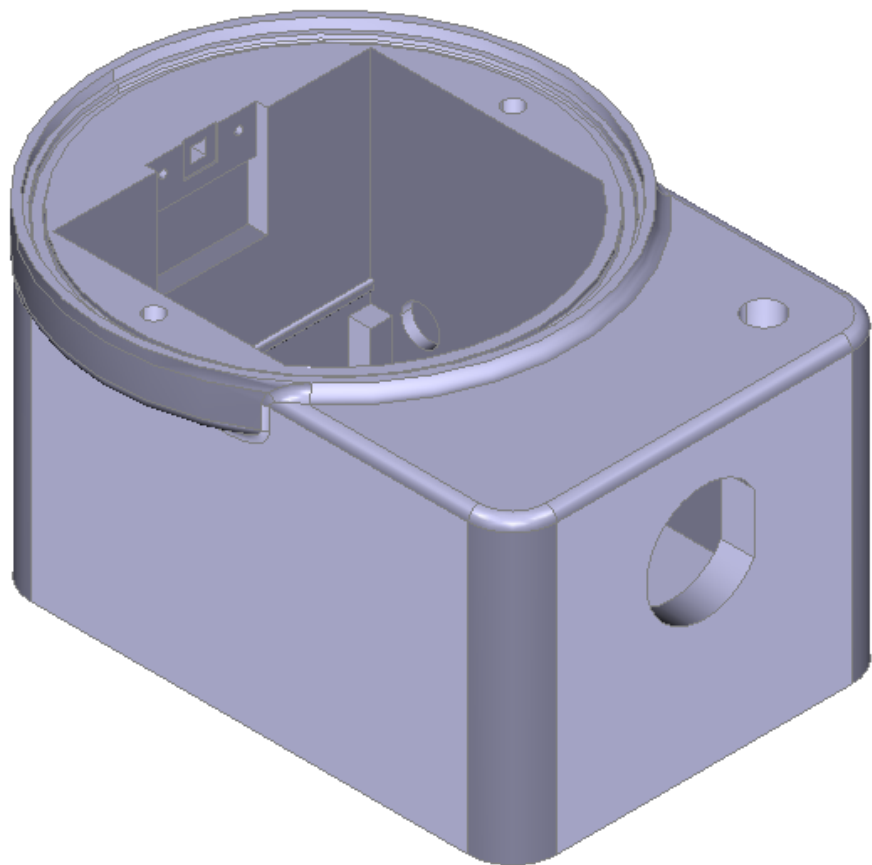


Figure 15.22: S/E

15.6 PLA-Prototipe

La realizzazione del prototipo è affidato a un materiale economico di tipo PLA per mezzo della stampa 3d in scala 1:1.



Figure 15.23: Pla Prototipe 1



Figure 15.24: Pla Prototipe 2

15.7 Final Object

Il risultato è il prodotto finito in *Z-ASA Pro* di cui è stato scelto il color nero.



Figure 15.25: Z Asa 1



Figure 15.26: Z Asa 2



Figure 15.27: Z Asa 3

Chapter 16

DataLogging

Il dispositivo posto all'esterno e montato nella sua integrità è in grado di rilevare i fenomeni che sono stati discussi ampiamente nel documento.

Una volta inizializzato e collegato in remoto, il dispositivo, ha raccolto una serie di dati per quattro giorni consecutivi.

Tramite SQLite è stato creata una struttura ,ad hoc da 21 campi, che contiene i dati rilevati sotto la forma seguente:

‘**IdSample**‘ Integer
‘**Date**‘ Textual [dd/mm/aa]
‘**Year**‘ Integer
‘**Month**‘ Integer
‘**Day**‘ Integer
‘**TimeStamp**‘ Textual
‘**Hour**‘ Integer
‘**Minute**‘ Integer
‘**Second**‘ Integer
‘**Temperature**‘ Integer
‘**Pressure**‘ Integer
‘**Humidity**‘ Integer
‘**Illuminance**‘ Integer
‘**White**‘ Integer
‘**RedChannel**‘ Integer
‘**OrangeChannel**‘ Integer
‘**YellowChannel**‘ Integer
‘**GreenChannel**‘ Integer
‘**BlueChannel**‘ Integer
‘**VioletChannel**‘ Integer
‘**UVChannel**‘ Integer

Se vogliamo parlare in ottica sensoristica,ossia di cosa viene restituito dai vari sensori, la suddivisione dei frame può essere stilata per tipo di sensore.

BME680

‘Temperature‘ ‘Pressure‘ ‘Humidity‘

VEML7700

‘Illuminance‘ ‘White‘

VEML 6075

‘UVChannel‘

AS7262

‘RedChannel‘ ‘OrangeChannel‘ ‘YellowChannel‘ ‘GreenChannel‘ ‘BlueChannel‘ ‘VioletChannel‘

Una volta raccolti i dati possono essere esportati tramite file CSV ed elaborati.

Nella giornata del 14 Agosto sono stati raccolti tutti i dati, relativi ai fenomeni esogeni posizionando, il dispositivo sul tetto della abitazione.

Ne risulta l'acquisizione completa tranne che per quanto riguarda il canale green del chip AS7262 che presenta un disturbo di tipo saturazione.

La misura è stata prontamente filtrata.

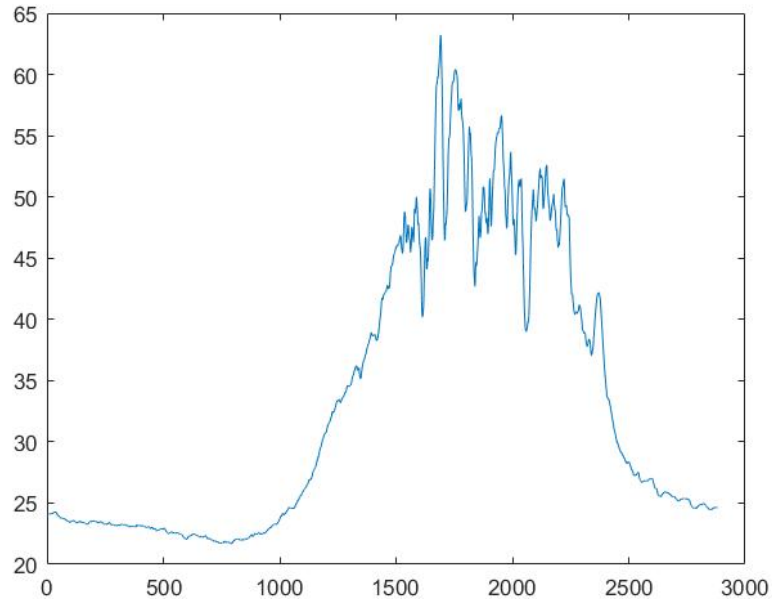


Figure 16.3: TEMPERATURE

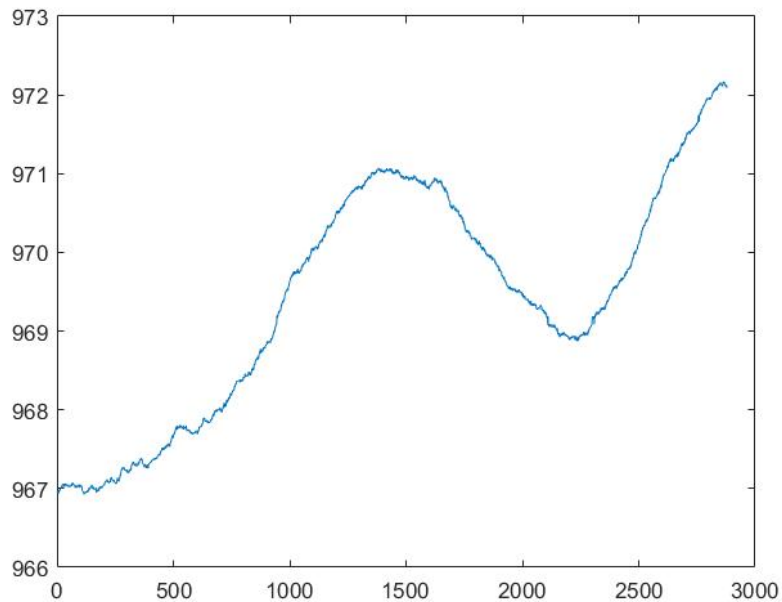


Figure 16.4: PRESSURE

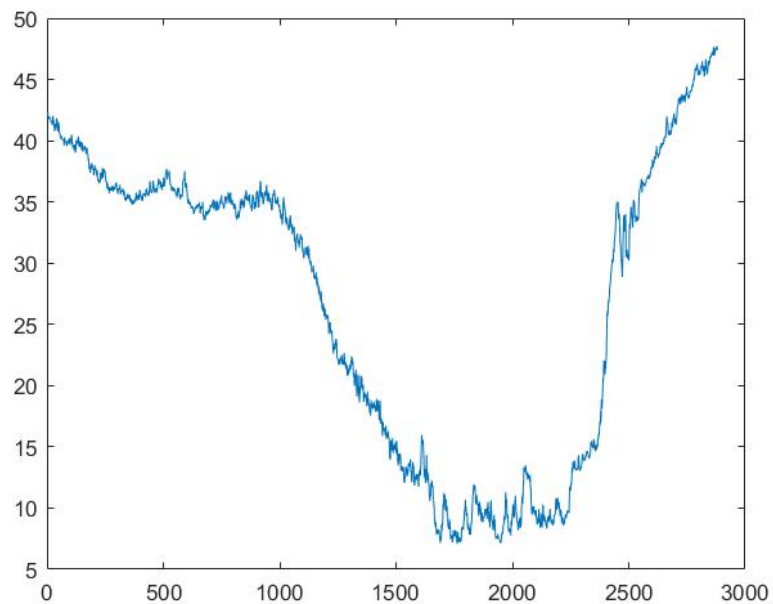


Figure 16.5: RELATIVE HUMIDITY

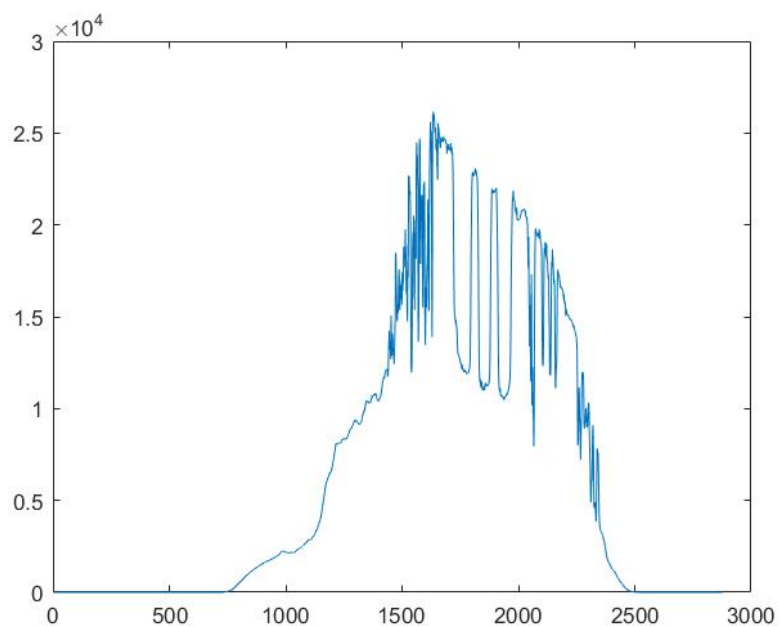


Figure 16.6: VEML 6070 LUX NORMAL CHANNEL

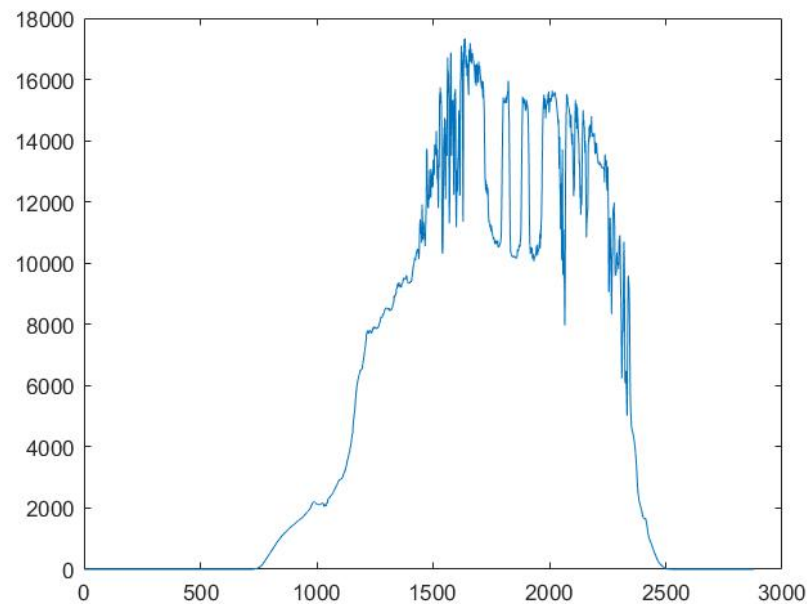


Figure 16.7: VEML7700 WHITE CHANNEL

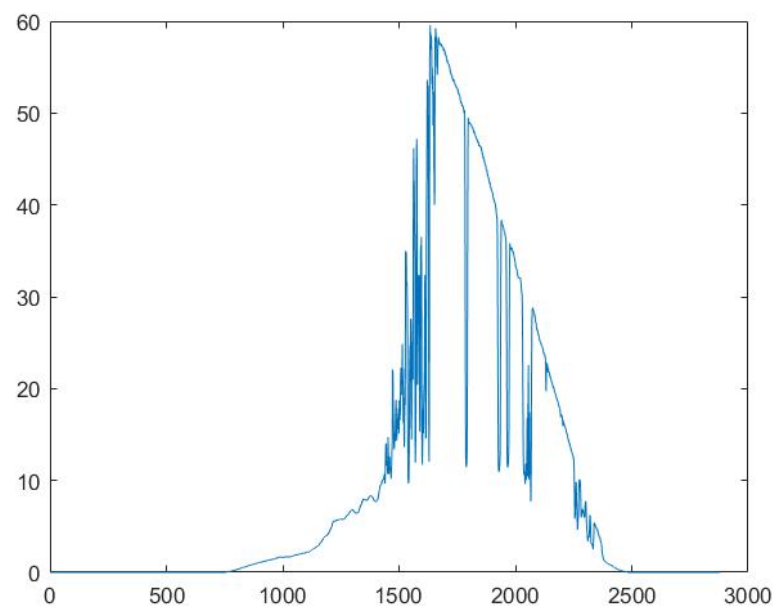


Figure 16.8: VEML 6075 UV CONTENT

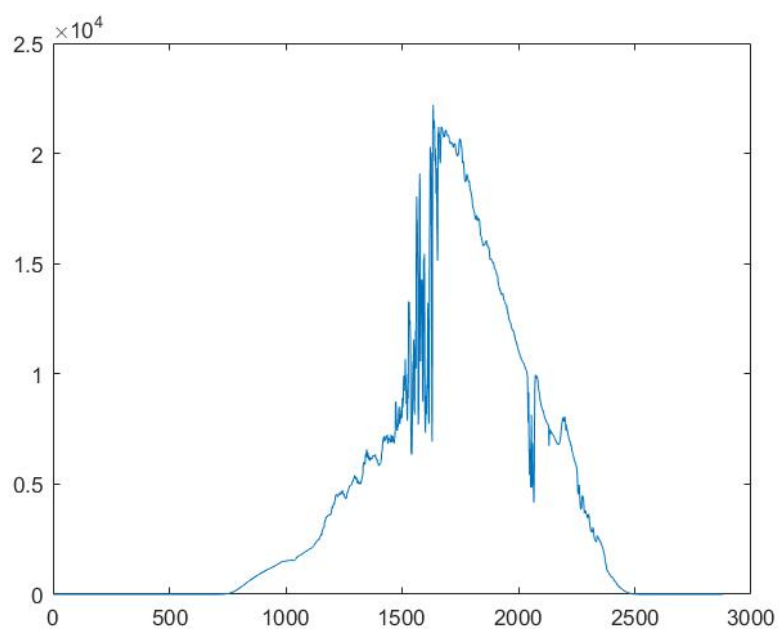


Figure 16.9: AS7262 VIOLET CHANNEL

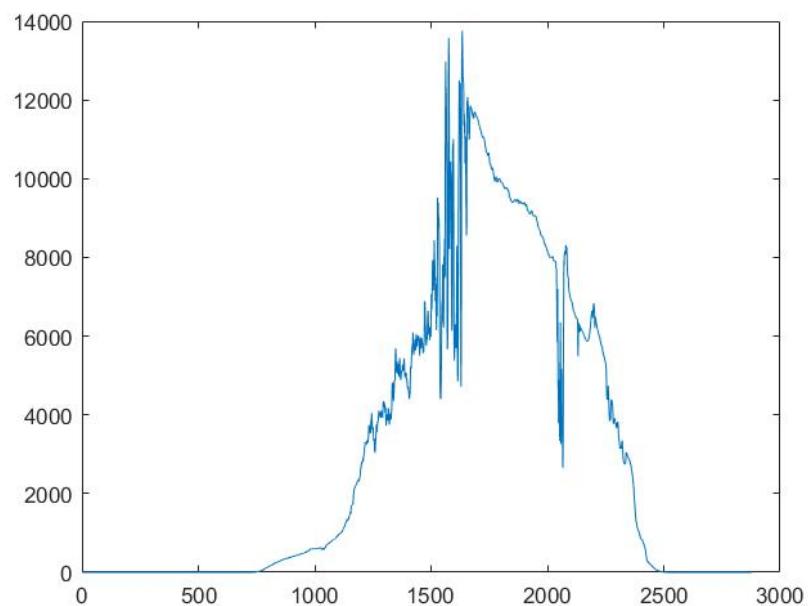


Figure 16.10: AS7262 RED CHANNEL

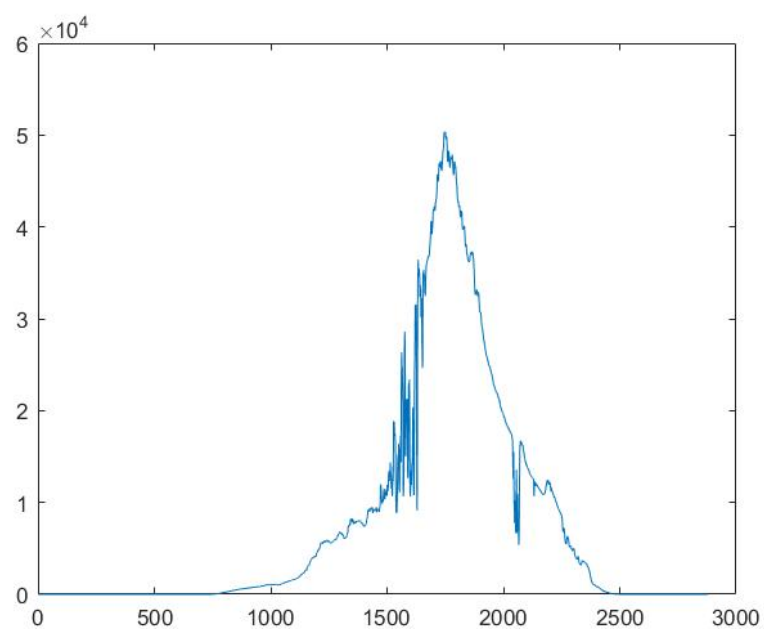


Figure 16.11: AS7262 ORANGE CHANNEL

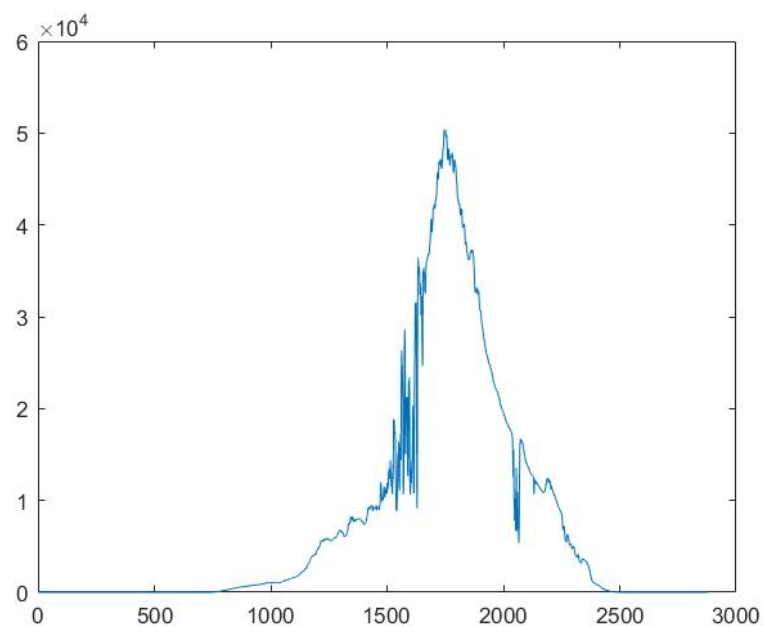


Figure 16.12: AS7262 YELLOW CHANNEL

Il canale verde subisce spesso degli errori di comunicazione imputabili al chip spesso e come raffigurato in rosso porta il valore a saturazione. I valori sono filtrati e interpolati linearmente tramite spline.

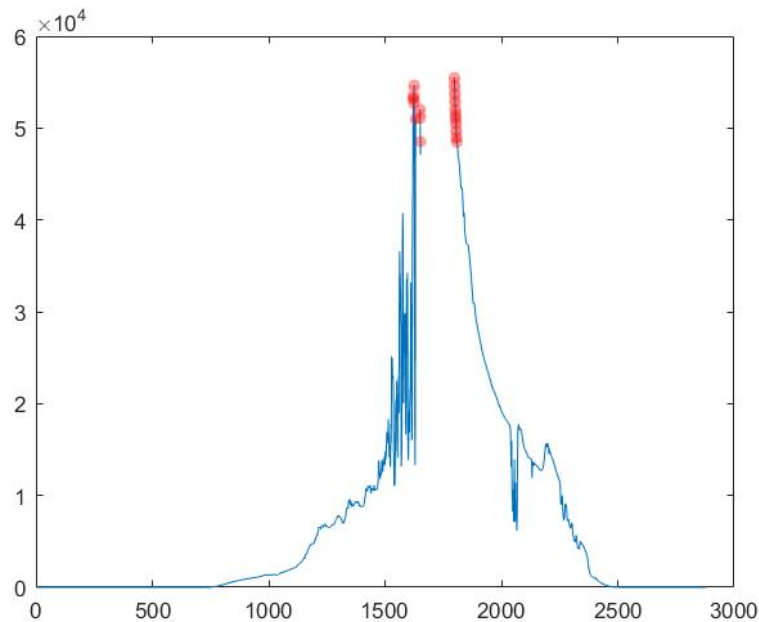


Figure 16.13: AS7262 GREEN CHANNEL - Not Filtered

Al termine della operazione di filtraggio i dati sono i seguenti:

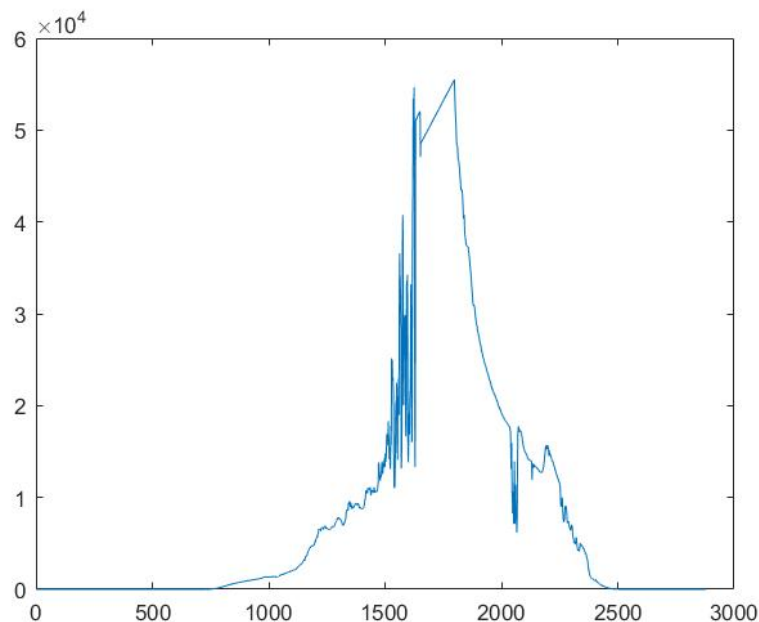


Figure 16.14: AS7262 GREEN CHANNEL

Il dato che sembra presentare una deviazione rispetto ai valori reali è quello della temperatura che ha una dinamica espansa soprattutto quando il sole illumina direttamente il dispositivo, creando così un microclima che non è quello reale.

Detto questo, le temperature minime sono corrette, mentre le massime subiscono un innalzamento rispetto alla vera temperatura massima della giornata.

Per ovviare a ciò risulta necessario creare una funzione di correzione in modo che possa riportare la temperatura massima nel range corretto.

Chapter 17

Data Visualization using Hi-Charts

La visualizzazione dei dati raccolti e delle future previsioni è affidato al software Highcharts rilasciato nel 2009 e scritto in Java.

Ogni volta che si pubblica è necessario effettuare un backup del file DataVault che contiene tutti i log raccolti fino a quell'istante in maniera che il server APACHE e HighChart possano attingere e informazioni da un file nuovo senza possibilità di corrompere il vecchio file DataVault.

La gestione è affidata a 4 file:

- SelectGraph.php
- DataVisualizer.php
- Data.js
- GetSampleData.php

Il file DataVisualizer.php usa il file data.js che a sua volta interroga il file values.php per estrarre i dati contenuti nel database SQLite3.

”SelectGraph.php

```
1  <!doctype html>
2  <html lang="it">
3  <head><title>Data Station</title></head>
4  <body>
5      <FORM action=DataVisualizer.php method="get">
6          <TABLE align="center" BORDER=0>
7              <TR>
8                  <TD>
9                      <fieldset>
10                         <legend>Giorno</legend>
11                         <select name="Giorno">
12                             <option value="16">16</option>
13                             <option value="17">17</option>
14                             <option value="18">18</option>
15                         </select>
16                     </fieldset>
17                 </TD>
18
19                 <TD>
20                     <fieldset>
21                         <legend>Mese</legend>
22                         <select name="Mese" >
23                             <option value="08">Agosto</option>
24                         </select>
25                     </fieldset>
26                 </TD>
27
28                 <TD>
29                     <fieldset>
30                         <legend>Anno</legend>
31                         <select name="Anno">
32                             <option value="2019">2019</option>
33                         </select>
34                     </fieldset>
35                 </TD>
36             <TR>
37             <TR>
38                 <TD COLSPAN="3" align="center">
39                     <button type="submit">
40                         Carica i Dati dei Sensori
41                     </button>
42                 </TD>
43             </TR>
44         </TABLE>
45     </FORM>
46 </body>
47 </html>
```

”DataVisualizer.php

```
1 <html>
2 <head>
3 <title>Casoretti DataStation Visualizer</title>
4 <script src="http://ajax.googleapis.com/ajax/libs/jquery/1.9.1/jquery.min.js" type="text/javascript"></script>
5 <script src="http://code.highcharts.com/highcharts.js"></script>
6 <script src="http://code.highcharts.com/modules/exporting.js"></script>
7 <script type="text/javascript" src="data.js" ></script>
8 </head>
9 <body>
10 <?php
11     $Giorno=$_GET['Giorno'];
12     $Mese=$_GET['Mese'];
13     $Anno=$_GET['Anno'];
14     echo "<DIV ID='SampleDate'>".$Anno."-".$Mese."-".$Giorno."</DIV><br>";
15 ?>
16 <div id="TemperatureChart" style="height: 400px; margin: 0 auto"></div>
17 <br>
18 <div id="PressureChart" style="height: 400px; margin: 0 auto"></div>
19 <br>
20 <div id="HumidityChart" style="height: 400px; margin: 0 auto"></div>
21 </body>
22 </html>
```

”Data.js

```

1 //jQuery Code: Script definition for the Cal Back of the "Document Ready" Event
2 $(function() {
3
4     var x_values = [];
5     var y_values = [];
6     var switch1 = true;
7     //jQuery Code: Get the URL from the Server "values.php" and invoke che
8     // CallBack Function with the loaded document
9
10    // SampleDate Extraction:
11    Date_Str=$('#SampleDate').text()
12
13    // Temperature Graph
14
15    Get_Param={SampleData: "Temperature", SampleDate: "2019-08-16"};
16    Get_Param_Str="SampleData=Temperature&SampleDate="+Date_Str;
17
18    // Syntax to pass the Data: { SampleData:"Temperature"}
19    var
20        Page_URL=encodeURIComponent('GetSampleData.php?SampleData=Temperature&Sample
21 Date=2019-08-16')
22
23    $.get('GetSampleData.php',Get_Param_Str,function(data) {
24        switch1 = true;
25        data = data.split('/');
26        for (var i in data)
27        {
28            if (switch1 == true)
29            {
30                // var ts = timeConverter(data[i]);
31                var ts = data[i];
32                x_values.push(ts);
33                switch1 = false;
34            }
35            else
36            {
37                y_values.push(parseFloat(data[i]));
38                switch1 = true;
39            }
40
41        }
42        x_values.pop();
43
44        //jQuery Code: Select the DOM Object '#chart' and use highcharts function
45        $('#TemperatureChart').highcharts({
46            chart : {
47                type : 'spline'
48            },
49            title : {
50                text : 'Datalogger Highcharts SQLite'
51            },
52            subtitle : {
53                text : 'Source: Casoretti DataStation'
54            },
55            xAxis : {
56                title : {
57                    text : 'Time'
58                },
59                categories : x_values
60            },
61
62        });
63    });
64
65    // CallBack Function
66    function callBackFunction()
67    {
68        // Do something
69    }
70
71    // Call theCallBackFunction
72    callBackFunction();
73
74    // End of the Document Ready Function
75}

```

```

59          yAxis : {
60              title : {
61                  text : 'Temperature'
62              },
63              labels : {
64                  formatter : function() {
65                      return this.value + '° C'
66                  }
67              },
68              tooltip : {
69                  crosshairs : true,
70                  shared : true,
71                  valueSuffix : ''
72              },
73              plotOptions : {
74                  spline : {
75                      marker : {
76                          radius : 4,
77                          lineColor : '#666666',
78                          lineWidth : 1
79                      }
80                  }
81              },
82          },
83          series : [<{
84
85              name : 'Temperature',
86              data : y_values
87          }]
88      );
89      //
90  });
91 //End Chart
92
93 // Pressure Graph
94 Get_Param_Str="SampleData=Pressure&SampleDate="+Date_Str;
95 $.get('GetSampleData.php',Get_Param_Str,function(data) {
96
97     x_values.length=0;
98     y_values.length=0;
99     switch1 = true;
100    data = data.split('/');
101    for (var i in data)
102    {
103        if (switch1 == true)
104        {
105            // var ts = timeConverter(data[i]);
106            var ts = data[i];
107            x_values.push(ts);
108            switch1 = false;
109        }
110        else
111        {
112            y_values.push(parseFloat(data[i]));
113            switch1 = true;
114        }
115
116    }
117    x_values.pop();
118
119 //jQuery Code: Select the DOM Object '#chart' and use highcharts function

```

```

120        $('#PressureChart').highcharts({
121            chart : {
122                type : 'spline'
123            },
124            title : {
125                text : 'Datalogger Highcharts SQLite'
126            },
127            subtitle : {
128                text : 'Source: Casoretti DataStation'
129            },
130            xAxis : {
131                title : {
132                    text : 'Time'
133                },
134                categories : x_values
135            },
136            yAxis : {
137                title : {
138                    text : 'Pressure'
139                },
140                labels : {
141                    formatter : function() {
142                        return this.value + 'hPa'
143                    }
144                }
145            },
146            tooltip : {
147                crosshairs : true,
148                shared : true,
149                valueSuffix : ''
150            },
151            plotOptions : {
152                spline : {
153                    marker : {
154                        radius : 4,
155                        lineColor : '#666666',
156                        lineWidth : 1
157                    }
158                }
159            },
160            series : [{
161                name : 'Pressure',
162                data : y_values
163            }]
164        });
165    });
166    // End Chart
167
168    //Humidity Graph
169    Get_Param_Str="SampleData=Humidity&SampleDate="+Date_Str;
170    $.get('GetSampleData.php',Get_Param_Str,function(data) {
171
172        x_values.length=0;
173        y_values.length=0;
174        switch1 = true;
175        data = data.split('/');
176        for (var i in data)
177        {
178            if (switch1 == true)
179            {

```

```
181          // var ts = timeConverter(data[i]);
182          var ts = data[i];
183          x_values.push(ts);
184          switch1 = false;
185      }
186      else
187      {
188          y_values.push(parseFloat(data[i]));
189          switch1 = true;
190      }
191  }
192 x_values.pop();
193
194
195 //jQuery Code: Select the DOM Object '#chart' and use highcharts function
196 $('#HumidityChart').highcharts({
197     chart : {
198         type : 'spline'
199     },
200     title : {
201         text : 'Datalogger Highcharts SQLite'
202     },
203     subtitle : {
204         text : 'Source: Casoretti DataStation'
205     },
206     xAxis : {
207         title : {
208             text : 'Time'
209         },
210         categories : x_values
211     },
212     yAxis : {
213         title : {
214             text : 'Humidity'
215         },
216         labels : {
217             formatter : function() {
218                 return this.value + '%'
219             }
220         }
221     },
222     tooltip : {
223         crosshairs : true,
224         shared : true,
225         valueSuffix : ''
226     },
227     plotOptions : {
228         spline : {
229             marker : {
230                 radius : 4,
231                 lineColor : '#666666',
232                 lineWidth : 1
233             }
234         }
235     },
236     series : [
237
238         {name : 'Humidity', data : y_values}
239     ]
240 });
241 );
```

```
242    });
243    // End Chart
244 });
245
246
247
248 function timeConverter(UNIX_timestamp){
249     var a = new Date(UNIX_timestamp * 1000);
250     var months =
251         ['Jan', 'Feb', 'Mar', 'Apr', 'May', 'Jun', 'Jul', 'Aug', 'Sep', 'Oct', 'Nov', 'Dec'];
252     var year = a.getFullYear();
253     var month = months[a.getMonth()];
254     var date = a.getDate();
255     var hour = a.getHours();
256     var min = a.getMinutes() < 10 ? '0' + a.getMinutes() : a.getMinutes();
257     var sec = a.getSeconds() < 10 ? '0' + a.getSeconds() : a.getSeconds();
258     var time = date + ' ' + month + ' ' + year + ' ' + hour + ':' + min + ':' + sec ;
259     return time;
}
```

”GetSampleData.php

```
1 <?php
2     # To Extract the Value from the DB, invoke the PHP as
3     # "GetSampleData.php?SampleData=Temperature&SampleDate=2019-08-16"
4     # echo "Extract Data from Vault<br>";
5     # the Parameter to be Extracted from the DB is passed to the PHP page by the
6     # Variable "SampleData"
7     # $_GET['SampleData']
8
9
10    /*
11    if($SampleDate=='')
12    {
13        $SampleDate='2019-08-16';
14    }
15    */
16
17    # echo "Extract SampleData='".$SampleData_AttributeName."'<br>";
18    # echo "Extract SampleData='".$SampleDate."'<br>";
19
20    $DB = new SQLite3('DataVault.db', SQLITE3_OPEN_READONLY);
21
22    /*
23    if($DB)
24    {
25        echo "DataBase 'DataVault' Opened<br>";
26    }
27    else
28    {
29        echo "Error in fetch ".$DB->lastErrorMsg();
30    }
31
32    # $DB->open("DataVault.db", SQLITE3_OPEN_READONLY);
33
34    # echo "Test DB Opening";
35    # echo "Error in fetch ".$DB->lastErrorMsg();
36
37    */
38
39    $QueryText="SELECT Day||'-'||Month||'-'||Year||'-'||TimeStamp AS TS,
40    ".$SampleData_AttributeName." FROM `Sample` WHERE Date='".$SampleDate."'";
41    # echo "Executing Query<br>".$QueryText."<br><br>";
42
43    $result = $DB->query($QueryText);
44
45    /*
46    if($result)
47    {
48        echo "Query Executed<br>";
49    }
50    else
51    {
52        echo "Error in Query Execution: ".$DB->lastErrorMsg();
53    }
54    */
55
56    while($row = $result->fetchArray())
57    {
58        # Warning: use the Attribute Index instead of the Attribute Name
59        echo $row['TS'] . "/" . $row[1]. "/" ;
```

```
59      }
60
61      # echo "Extract Data from Vault Terminated<br>";
62  ?>
```

Implementando la funzione in maniera ricorsiva è possibile visualizzare tutti i parametri loggati e la possibile previsione dell'irraggiamento solare per mezzo delle chart interattive.



Figure 17.1: HiChart Render

Attraverso il box di scelta è possibile scegliere il giorno su cui viene effettuare la query nel database LiteSQL3.

In questa maniera sono disponibili solo i dati nella finestra temporale scelta.



Figure 17.2: WebChart

Chapter 18

Project Conclusion

Il progetto nel semestre estivo è sicuramente impegnativo e dato il tempo limitato è difficile portare a termine l'intera assegnazione.

Il progetto si compone di più parti che spaziano dal design elettronico al disegno in cad 3D alla scrittura del codice in Python per cui la sua complessità non è assolutamente banale.

Il risultato finale si presenta come di seguito:



Figure 18.1: Final Product



Figure 18.2: Final Product 2



Figure 18.3: Final Product 3



Figure 18.4: Final Product 4



Figure 18.5: Final Product 5



Figure 18.6: Final Product 6



Figure 18.7: Final Product 7



Figure 18.8: Final Product 8



Figure 18.9: Final Product 9

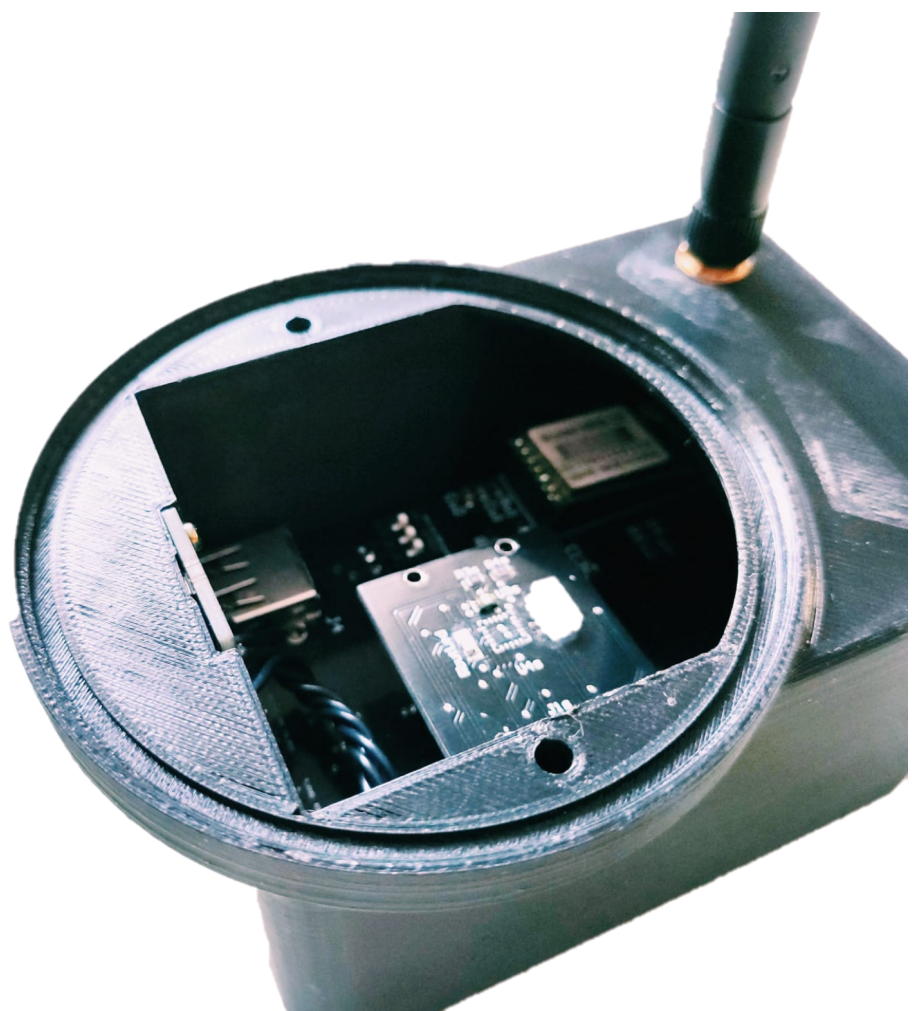


Figure 18.10: Final Product 10



Figure 18.11: Final Product 11

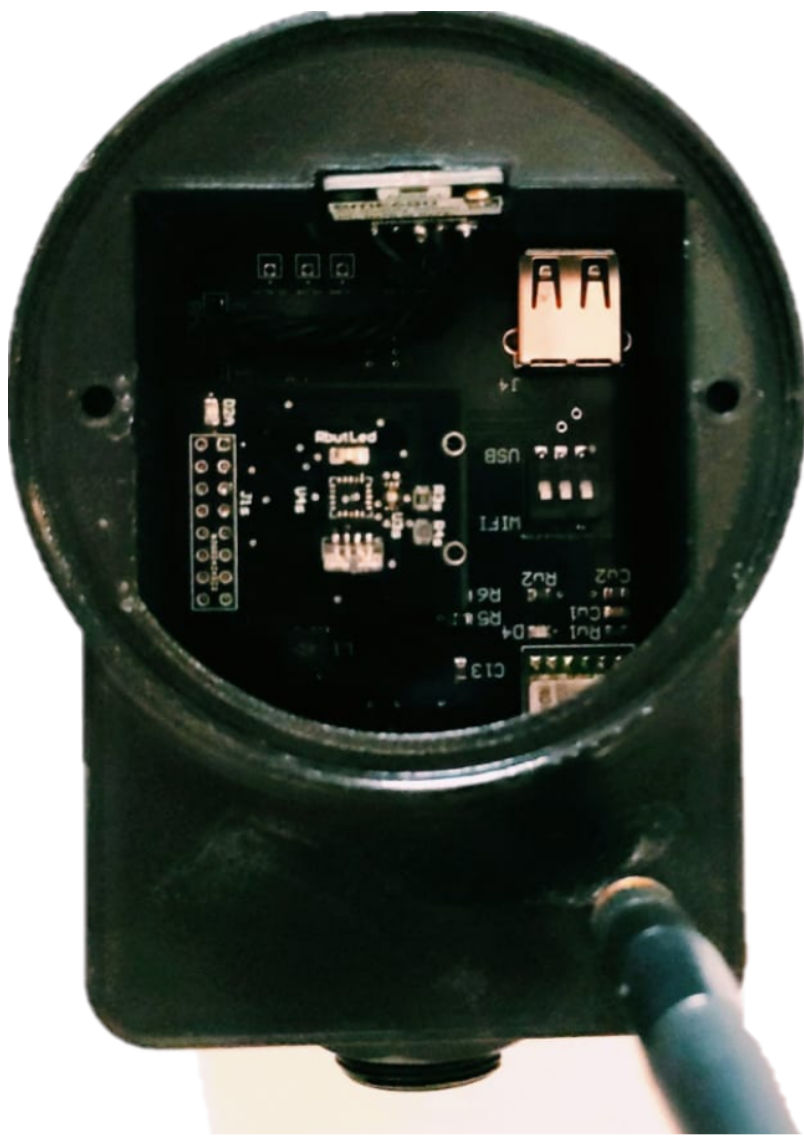


Figure 18.12: Final Product 12

18.0.1 Electronic

Per quanto riguarda la parte elettronica non sono state riscontrate particolari difficoltà se non nel caso della PCB dei sensori dove il protocollo di comunicazione I^2C ha sofferto particolarmente della congiunzione delle due schede elettroniche dovendo far riprogettare quella che contiene i sensori.

Anche l'utilizzo di hardware professionale come il BME680 non ha permesso di integrare lo stesso sensore all'interno della PCB.

Si è resa quindi necessaria la stilatura di due schede elettroniche per poter effettuare le misure che sono riportate all'interno del documento, infatti nella prima versione il bus I^2C portava al rilevamento di dispositivi che non erano presenti fisicamente.

18.0.2 3D CAD

La struttura 3D ha rappresentato una sfida per quanto riguarda la ricerca del materiale e per quanto riguarda la insufficiente conoscenza dei software di modellazione solida.

Tuttavia apparte le difficoltà riscontrate inizialmente si è condotta in positiva la realizzazione della struttura atta a contenere il dispositivo in questione.

La scelta del materiale non ha creato problemi e per mezzo della stampa 3D è stato possibile realizzare in maniera veloce ed economica un prototipo funzionale.

18.0.3 Software

Data il tempo ridotto non è stato possibile raccogliere una serie di dati abbastanza ampia per poter condurre uno studio veritiero sul predittore.

Anche software ha presentato una sfida non indifferente data la difficoltà di unire tramite codice i moduli che permettono il funzionamento del WIFI e la lettura completa dei sensori.

La scrittura dei moduli in *Python* ha creato non poche difficoltà soprattutto nella parte che riguarda il sensore BME680 che si è dovuta tradurre da Circuit Python, un linguaggio proprietario di Bosch, a Python.

18.0.4 Issues

La parte più ostica è stata sicuramente quella che inizialmente si era valutata più banale, ossia quella della pcb sensori.

Il prolungamento delle piste tra le due pcb presenta sporadicamente alcuni disturbi che si presentano senza preavviso e che disturbano il bus di comunicazione.

Per questo motivo in extremis si è reso necessario produrre una ulteriore pcb per cercare di raccogliere più dati possibili prima della scadenza relativa alla consegna.

Siccome erano state valutate inizialmente le breakout board per poter acquisire velocemente i fenomeni esogeni da loggare si sviluppa una pcb ad hoc per poter contenere le tre tipologie di sensori.

Test Sensors Pcb Breakout Board

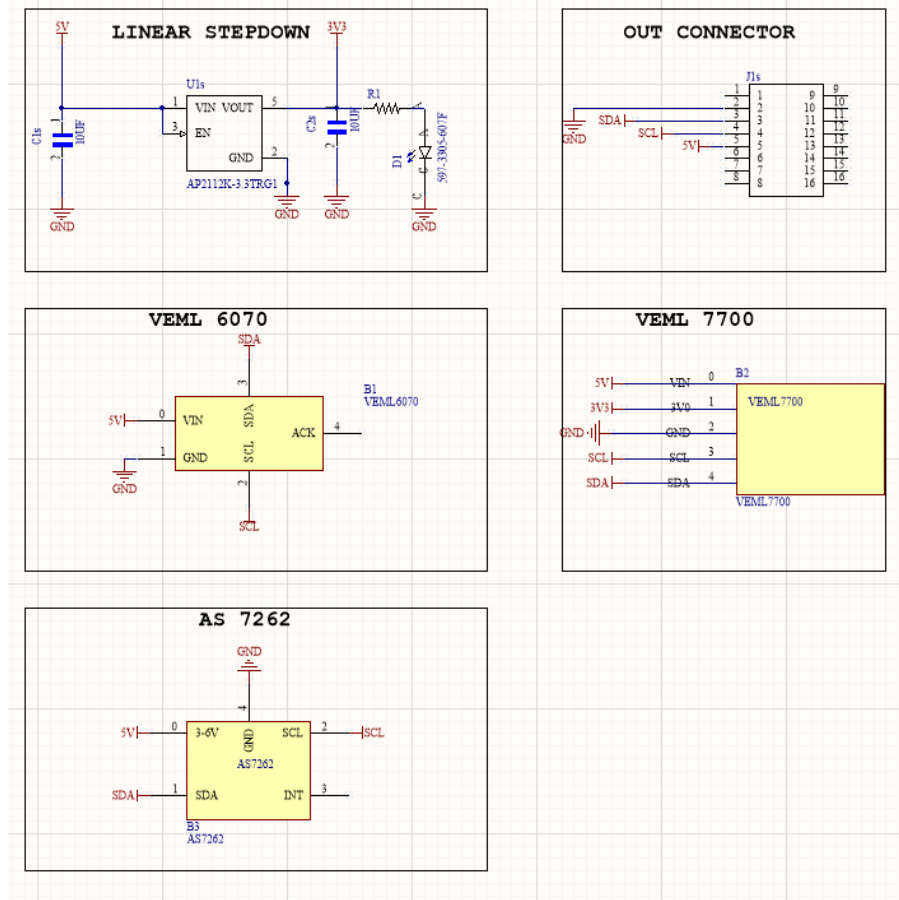


Figure 18.13: New Sensors Pcb Schematic

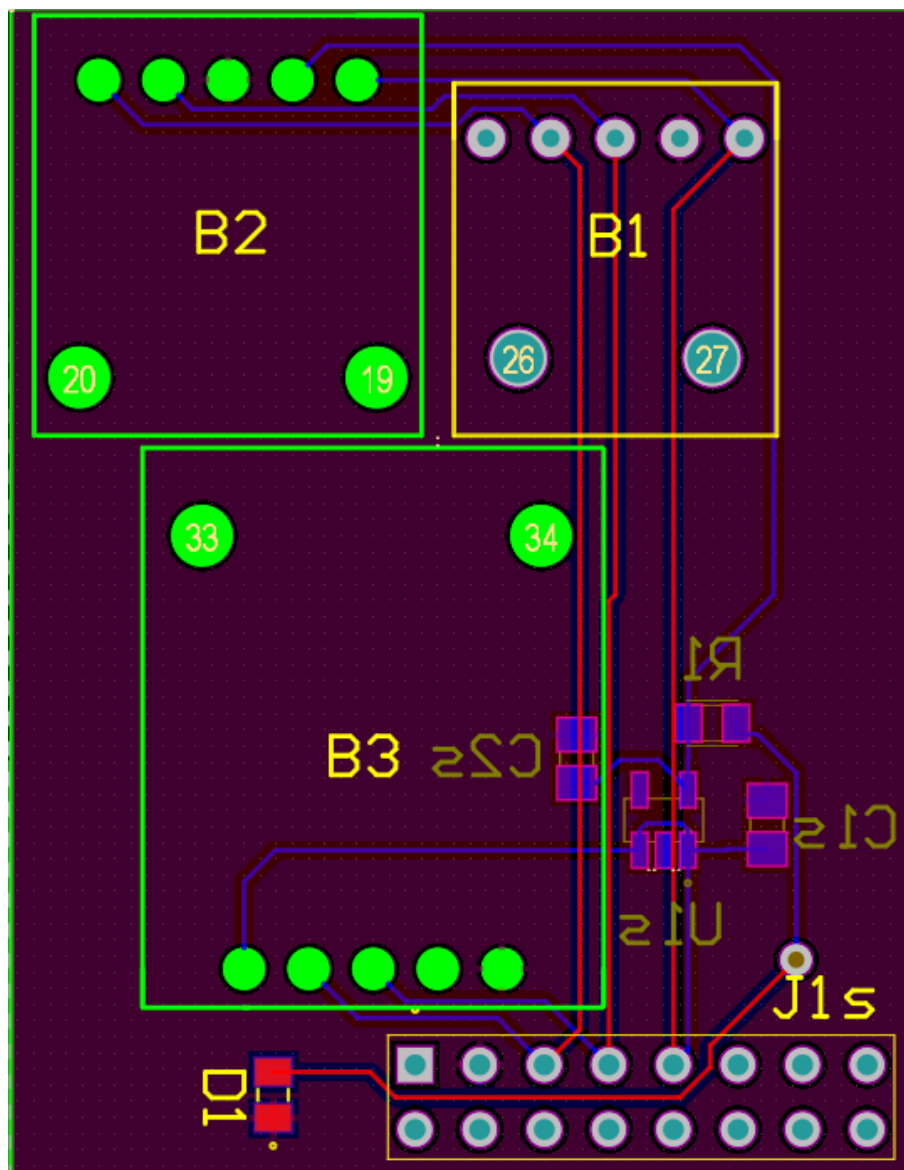


Figure 18.14: New Sensors Pcb 2d

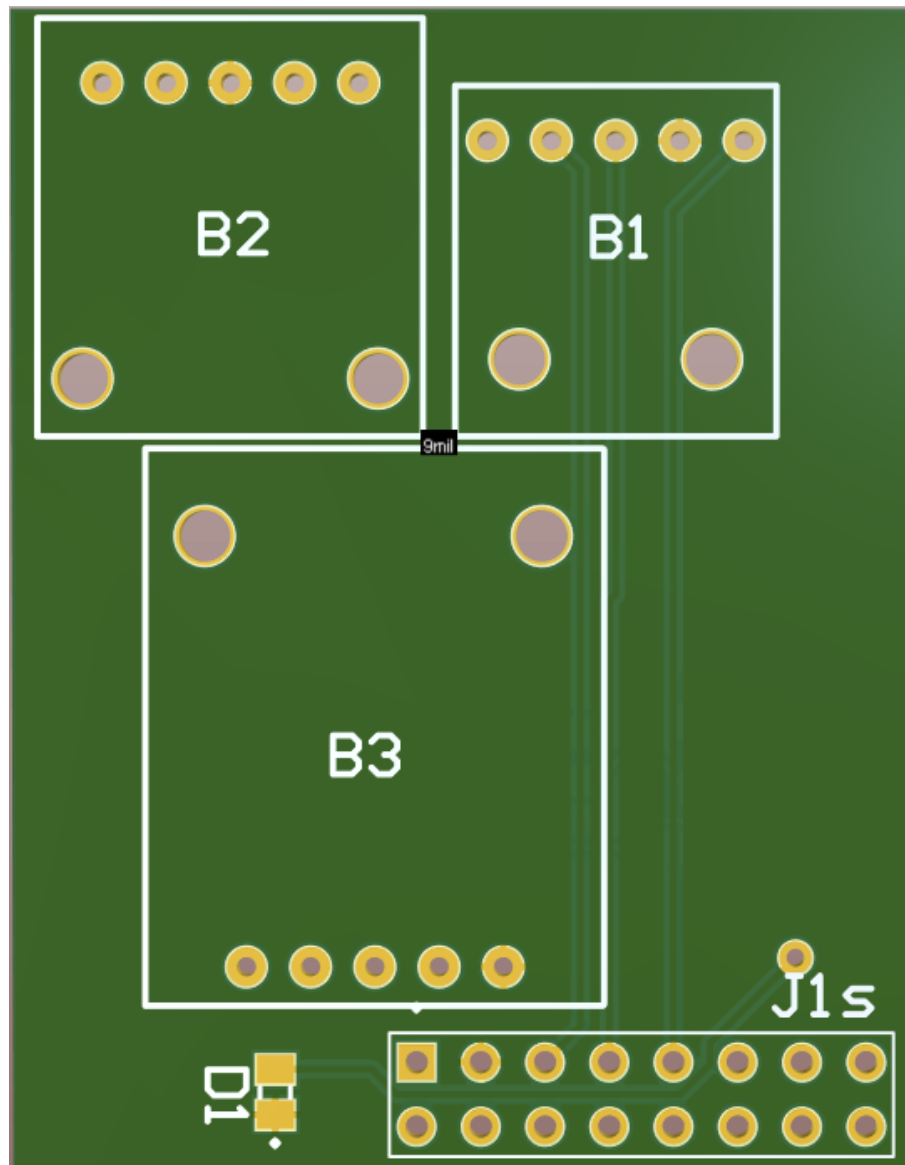


Figure 18.15: New Sensors Pcb 3d front

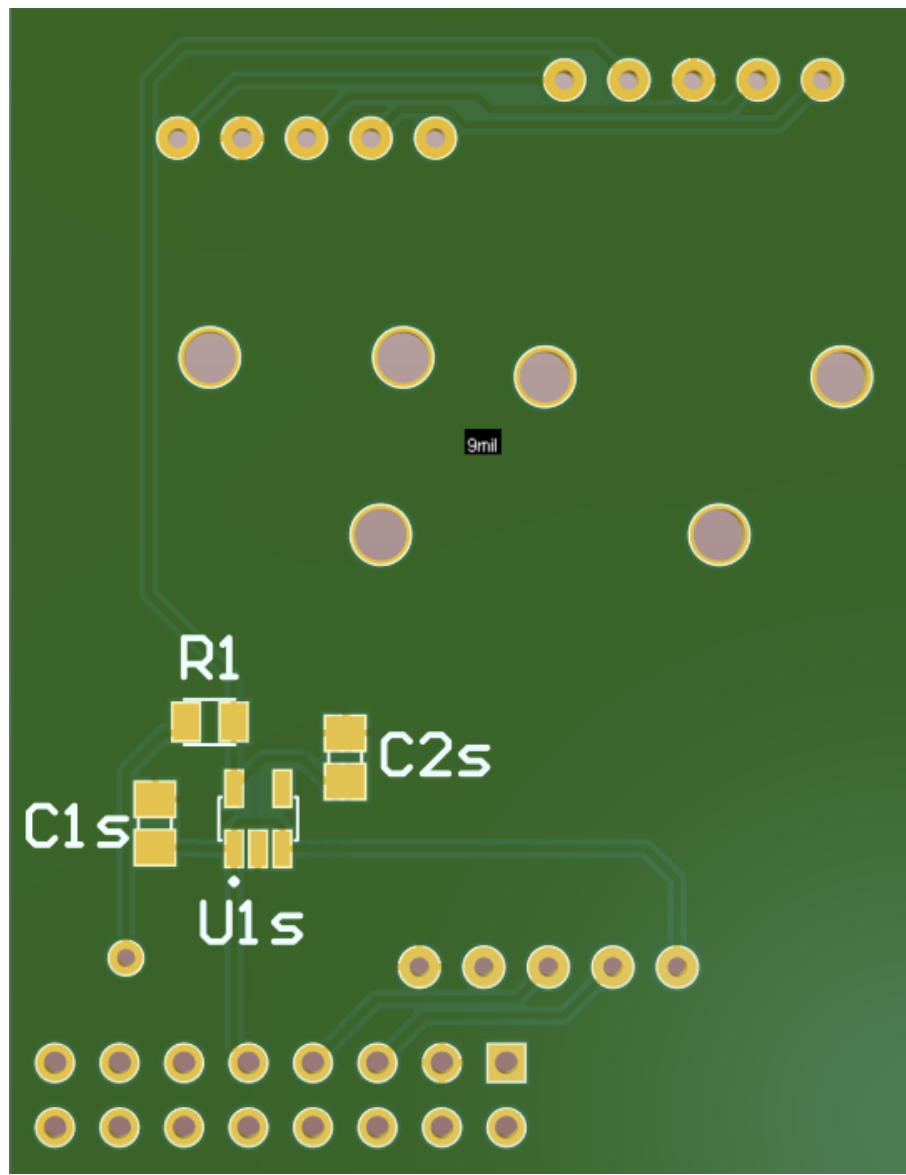


Figure 18.16: New Sensors Pcb 3d back

18.0.5 General Consideration

Il progetto nel complesso ha rappresentato una ottima sfida universitaria , coinvolgendo con notevole interesse lo studente ,creando così un dispositivo non privo di difetti ma che si pone come ottima base per uno sviluppo futuro.

E' possibile tramite di esso raccogliere dati ogni 15 minuti campionando una serie di dati molto interessanti al fine di poter valutare un predittore per la stima dell'irraggiamento solare nei giorni a venire.

Il database successivamente è accessibile tramite remoto per poi essere visualizzato tramite la ferrata piattaforma di visualizzazione High-Charts.

I giorni consecutivi alla stesura del documento prevedono un ulteriore prova della pcb dei sensori con una conseguente raccolta dati che potrebbe portare allo sviluppo del predittore *Persistence* a ridosso della discussione della seguente tesi.

Bibliography

- [1] Ankur Kamthe, Tao Liu and Alberto E. Cerpa. *SIPS: Solar Irradiance Prediction System*. The Pennsylvania State University, University Park, PA 16802.
- [2] Jared A. Lee, Sue Ellen Haupt. *Solar Irradiance Nowcasting Case Studies near Sacramento*. Research Applications Laboratory, National Center for Atmospheric Research, Boulder, Colorado.
- [3] P. Shrivastava, Michael Carmichael. *Cloud Detection with MATLAB*. Sagar Institute of Research & Technology Excellence (SIRTE), Bhopal.
- [4] Dilip Kumar Krishnappa, David Irwin, Eric Lyons, Michael Zink. *CloudCast: Cloud Computing for Short-term Mobile Weather Forecasts*. University of Massachusetts Amherst.
- [5] Munir Husein and Il-Yop Chung. *Day-Ahead Solar Irradiance Forecasting for Microgrids Using a Long Short-Term Memory Recurrent Neural Network: A Deep Learning Approach*. School of Electrical Engineering, Kookmin University.
- [6] Thomas Schmidt. *Small-scale solar irradiance nowcasting with sky imager pictures*. Institute of Physics, Energy Meteorology Group University of Oldenburg.
- [7] Miguel Gomes Lopes. *Development of a low-cost, short-term solar irradiance forecasting system*. Instituto Universitario Superior Tecnico, Lisbon, Portugal.
- [8] Cyril Voyant, Gilles Notton. *Solar irradiation nowcasting by stochastic persistence: a new parsimonious, simple and efficient forecasting tool*. Universidad De La Paz.
- [9] Cristian Crisosto , Martin Hofmann , Riyad Mubarak and Gunther Seckmeyer. *One-Hour Prediction of the Global Solar Irradiance from All-Sky Images Using Artificial Neural Networks*. Institute for Meteorology and Climatology, Leibniz Universität Hannover.
- [10] Evangelos Rikos, Stathis Tselepis, Carsten Hoyer-Klick, and Marion Schroedter-Homscheidt. *Stability and Power Quality Issues in Microgrids Under Weather Disturbances*. IEEE JOURNAL OF SELECTED TOPICS IN APPLIED EARTH OBSERVATIONS AND REMOTE SENSING, VOL. 1, NO. 3, SEPTEMBER 2008.
- [11] Brian C. Ancell. *Weather and Forecasting (WAF) (ISSN: 0882-8156; eISSN: 1520-0434)* . Texas Tech University.
- [12] Amit Kumar Yadav S.S.Chandel. *Solar radiation prediction using Artificial Neural Network techniques: A review*. Universidad de la Tecnica, New Mexico.
- [13] Alexis Fouilloy. *Solar irradiation prediction with machine learning: Forecasting models selection method depending on weather variability*. Universitas Catholica Chilensis, Santiago del Chile.
- [14] Mehmet Demirtas, Mehmet Yesilbudak. *Prediction of solar radiation using meteorological data*. IEEE.
- [15] Md. Earfan Ali Khondaker. *A Short Term Day-Ahead Solar Radiation Prediction Using Machine Learning Techniques*. Danesh Science and Technology University, (HSTU), Dinajpur-5200, Bangladesh
- [16] Mohammad Mehdi Lotfinejad, Reza Hafezi, Majid Khanali, Seyed Sina Hosseini. Mehdi Mehrpooya 5,6 and Shahaboddin Shamshirband 7,8,* I. *A Comparative Assessment of Predicting Daily Solar Radiation Using Bat Neural Network (BNN), Generalized Regression Neural Network (GRNN), and Neuro-Fuzzy (NF) System: A Case Study*. Department of Agricultural Machinery Engineering, Faculty of Agricultural Engineering and Technology, University of Tehran, Karaj 4111, Iran; khanali@ut.ac.ir